

THEORY OF DRYING AND STORAGE OF AGRICULTURAL PRODUCTS

ISBN: 978-93-90753-39-7

Authors

**NAZIROVA R.M.,
XAMRAKULOVA M.X.,
USMONOV N.B**



Published by

Novateur Publication

novateurpublication.com

NAZIROVA R.M., XAMRAKULOVA M.X., USMONOV N.B

**MINISTRY OF HIGHER AND SECONDARY SPECIAL
EDUCATION OF THE REPUBLIC OF UZBEKISTAN**

FERGANA POLYTECHNIC INSTITUTE

FACULTY OF CHEMISTRY - TECHNOLOGY

DEPARTMENT OF "AGRICULTURAL PRODUCTION STORAGE

AND PRIMARY PROCESSING TECHNOLOGY"

**THEORY OF DRYING AND STORAGE OF
AGRICULTURAL PRODUCTS**

MONOGRAPHY

2021

UDC 631.365

BBK

Reviewers:

Head of the Department of Fruit and Vegetable Growing,

Fergana State University, Ph.D., Associate Professor:

M.A. Goziyev

Namangan Institute of Engineering Technologies,

Head of the Department, Ph.D., Associate Professor:

B.Norinboyev

Andijan Institute of Agriculture and Agrotechnology,

Associate Professor, Ph.D.:

X.T. Yuldasheva

Permission is granted for publication on the basis of the Protocol No. 9 of the Academic Council of the Fergana Polytechnic Institute dated May 24, 2021.

Nazirova R.M., Xamrakulova M.X., Usmonov N.B. "Theory of drying and storage of agricultural products". Monograph. Fergana - 2021. 137 pages.

The monograph presents the theoretical basis and results of the calculation of the dynamics of heat and moisture migration in biologically active systems during storage (minimum moisture loss) and drying (maximum moisture release) of agricultural products. The advantages of calculating the heat-mass transfer on the basis of the extended thermodynamic potential (moisture potential) of the phases of non-stationary processes are shown. The calculation methods are based on technological, thermophysical, energy and environmental aspects. The monograph emphasizes the theoretical basis of the laws of heat-mass migration processes that occur in biologically active systems on the basis of non-stationary external influences. In particular, calculations have been developed and are scientifically based to minimize moisture release during storage of freshly harvested agricultural products and to ensure maximum moisture release during drying of wet hay.

The monograph is primarily based on construction and intended for doctoral students and masters of research engaged in the development of methods for improving the design features and technologies of technological facilities, as well as researchers, masters and bachelors, doctoral students, specialists directly involved in the design and operation of buildings and structures.

TABLE OF CONTENTS

INTRODUCTION.....	3
CHAPTER	
1. BALANCING PROCESSES OF HEAT-MOISTURE MOVEMENT IN BIOLOGICALLY ACTIVE SYSTEMS	5
Description of wet hay and agricultural products as thermodynamic systems.....	5
Characteristics of physico-mechanical and thermal-physical processes in the storage and drying of biologically active media	17
CHAPTER 2. HEAT-PHYSICAL PHYSICS OF HEAT AND HUMID MIGRATION IN BIOLOGICALLY ACTIVE SYSTEMS	24
Physico-mathematical description of some problems of heat and mass migration and their solutions	24
Some solutions of heat-mass transfer problems	34
Graphical representation of the processes that determine the state of the air in biologically active systems.....	50
Thermodynamic substantiation of moisture potential in the calculation of the intensity of moisture exchange in biologically active systems	57
Calculation of moisture losses of barley plant raw materials on the basis of moisture potential Methodology	61
Methodology for calculating the intensity of moisture exchange based on the moisture potential in the pile of dried hay has	68
hi the intensity of moisture migration through external barriers specific features of cleaning lashni	77
CHAPTER 3. PRACTICAL RESULTS OF THEORETICAL AND EXPERIMENTAL STUDIES ON HEAT-MASS METABOLISM IN BIOLOGICALLY ACTIVE SYSTEMS	84
Thermophysical basis for calculating the mode of operation and efficiency of microclimate systems in vegetable and potato storage...	84
Theoretical and experimental basis for the graph-analytical method for calculating the intensity of hay drying	100
Thermodynamic bases of formation of microclimate parameters in greenhouses.....	109
Summary	127
Symbols	129
Indices	131
Criteria References	132
List of References	133

1-BOB. BIOLOGIK FAOL SISTEMALARIDA ISSIQLIK-NAMLIK KO‘CHISHINI MUVOZANAT JARAYONLARI

Ho‘l xashak va qishloq xo‘jaligi mahsulotlari uyumlarini termodynamik sistema sifatida tavsifi

Termodinamik sistema. “Termodynamik sistema” tushunchasini saqlanayotgan ho‘l o‘simplik xom ashyosi (kartoshka, sabzavotlar, mevalar) uyumlariga va quritilayotgan xashakga nisbatan biologik ob’ektlar sifatida qo‘llash juda murakkab va ko‘p qirrali masaladir. Bu holatni issiqlik almashinish jarayonlarining intensivligi, o‘ziga xosligi va yo‘nalishlarining turli-tumanligi, ho‘l o‘simplik xom ashyosini saqlashda namlik ajralishini minimallashtirish, dag‘al hashak tayyorlashda o‘rilgan hashakni quritish jarayonida namlikni maksimal darajada ajralishiga bo‘lgan talablar ham tasdiqlaydi.

Har qanday biologik struktura o‘zi va tashqi muhit zarrachalari orasida issiqlik va massa almashinish jarayonlarini amalga oshira oladigan ochiq termodynamik sistemadir. U yoki bu turdagи biologik faol mahsulotni saqlash, quritish yoki ishlov berishning boshqa usullarini rejimlarini aniqlashdagi muhandislik muammolarini yechimi uchun tahlilning makroskopik darjasи etarli. Bu bosqichda tashqi muhit ta’sirlari sharoitlarida mahsulotlar tabiatini o‘zgarishini ko‘rsatuvchi fenomenologik qonunlar muhim ahamiyatga ega. Mahsulotlar sistemasida kechadigan jarayonlar hisobga olinadi, chunki ular mahsulotga u yoki bu ishlov berish jarayonini davomiyligini belgilaydi.

Termodynamikada sistema holatining S funksiyasi keng qo‘llaniladi va aniqlanadi. Barcha qaytar jarayonlar uchun $dS=dQ/T$, qaytmas jarayonlar uchun esa $dS>dQ/T$ bo‘ladi. Bu funksiya *entropiya* deyilib, uning o‘zgarishi issiqlikni elementar miqdorini absolyut haroratga nisbati bilan aniqlanadi. Jarayonning qaytmasligini $dS-dQ/T=dQ'/T$ orasidagi farq belgilaydi. Agar $dQ'=0$ bo‘lsa, jarayon qaytar bo‘lib, uni $S-T$ koordinatalarida aks ettirish mumkin, yakuniy qiymat dQ' bo‘lganda, jarayon qaytmas hisoblanadi. Kompensatsiyalanmaydigan issiqlik dQ' bevosita sistemaning

ichida qaytmas jarayonlarning kechishi natijasida kelib chiqadi, dQ esa tashqi muhit bilan energiya almashinuviga tegishlidir.

Shuning uchun sistema entropiyasi berilgan sistemani ajratuvchi chegara orqali o‘tishi hisobiga, shuningdek ichki qaytmas jarayonlar hisobiga ham o‘zgarishi mumkin.

$$dS = d_e S + d_i S, \quad (1.1.)$$

bu yerda e - indeksi ko‘chgan energiyaga, i - indeksi esa bevosita sistemani o‘zida kelib chiqqan entropiyaga tegishli.

Izolyasiyalangan sistema (tashqi muhit bilan energiya bilan ham, modda massasi bilan ham almashmaydigan sistema) uchun tenglamaning (1.1.) o‘ng qismidagi birinchi qo’shilma nolga aylanadi. Demak bunday sistemada entropiya vaqt o‘tishi bilan ortishi mumkin.

Biologik faol mahsulotda (kartoshka, sabzavotlar, mevalar, namligi konditsion namlik ko‘rsatkichidan yuqori bo‘lgan hashak) tirik bo‘lmagan tabiatning boshqa ob’ektlariga nisbatan o‘z strukturasini tashkillash darajasi yuqori bo‘ladi. Ularda namlik va gaz almashinishi va fiziologik (biologik) issiqlik ajralishi kabi hayotiy jarayonlar belgilari saqlanib qoladi. Shuning uchun hatto tashqi muhit bilan ta’sirlasha olmaydigan (masalan qadoqlangan) mahsulotlarni ham to‘liq izolyasiyalangan termodinamik nuqtai-nazardan yopiq sistema deb qabul qilib bo’lmaydi. Biologik faol mahsulotlarni saqlash va quritish jarayonlarida ularda strukturani yuqori tashkillanish darajasini dekstruksiyalanishiga va nisbatan oddiy moddalar hosil bo‘lishiga olib keluvchi jarayonlar uzlusiz ravishda kechadi. Mahsulot strukturasidagi qaytmas o‘zgarishlarning miqdoriy ko‘rsatkichi sifatida sistemaning berilgan qismida entropiya tezligining ortishi xizmat qiladi.

Muvozanatning umumiy qonuniyatları. Termodinamika asosan zarrachalarni muvozanat holatlarini o‘rganadi xolos. Bu qaytmas jarayonlarni aniq tahlilini istisno qilmaydi, chunki muvozanat holatiga yaqin bo‘lgan holatlar ham ko‘rib chiqilishi mumkin. Muvozanat holatida bo‘lmagan sistemalardagi oqimlar, kuchlar va

fenomenologik qonuniyatlar tabiatini o‘rganuvchi umumiy ta’minot *qaytmas jarayonlar termodinamikasi* deyiladi.

Qaytmas jarayonlar termodinamikasida ularni miqdoriy jihatdan tavsiflash uchun qo‘llaniladigan asosiy qiymat bu sistemada entropiyani vaqt birligiga birlashish intensivligidir. Biologik faol moddalarda bu qiymat asosan kimyoviy va biokimyoviy reaksiyalarga bog‘liq bo‘lib, quyidagicha ifodalanishi mumkin.

$$dS / d\tau = (1/T) \sum A_p v_p, \quad (1.2.)$$

bu yerda v_p – reaksiya tezligi koeffitsienti; A_p – berilgan reaksiya tezligi;

$A_p = - \sum v_k \mu_k$ qiymati. Kimyoviy reaksiya V_k va kimyoviy potensial μ_k larning stexiometrik koeffitsientlari har bir komponent “k” uchun qabul qilinadi. Jumladan, $v_k=1,0$ bo‘lganda. A_p – qiymati berilgan komponentni ikkita fazada kimyoviy potensiallari orasidagi farqga teng: $A_p = \mu'_k - \mu''_k$. Kimyoviy potensiallarning bu farqi *ko‘chishning termodinamik harakatlantiruvchi kuchi* deyiladi.

Yuqoridagi nisbatdan (1.2) ko‘rinib turibdiki, $A_p=0$ yoki $v_p=0$ bo‘lganda, termodinamik muvozanat holati sekinlashtirilgan kimyoviy muvozanat holatidan iboratdir.

Agar v_p qiymati noldan farq qilsa, kimyoviy reaksiya tezligi almashinuvini harakatlantiruvchi termodinamik kuchga proporsional bo‘ladi.

$$v_p = L_{ik} A_p, \quad (1.3)$$

bu yerda L_{ik} – berilgan i – reaksiyani boshqa har qanday “k” indeksli va boshqa sistemada bir vaqtida kechadigan har qanday boshqa jarayonlarga (issiqlik, diffuzion va hokazo) bog‘liqligini belgilovchi proporsionallik koeffitsientidir.

Shuning uchun ikkita o‘zaro bog‘liq reaksiyalarni mikroskopik qaytish koeffitsienti $L_{ik} = L_{ki}$ o‘zaro bog‘liqlik nisbatini qondiradi. Bundan quyidagilar kelib chiqadi.

$$dv_i / dA_k = dv_k / dA_i. \quad (1.4)$$

Klassik termodinamika qonuniyatlariga asosan (1.4) – tenglamadan dv-qiymatni to‘liq differensialligi kelib chiqadi, ya’ni *sistema potensialga* ega. Bunday sistemani undagi entropiyani oshishiga olib keluvchi har qanday o‘zgarish ertami – kech uni

termodinamik muvozanat holatiga keltiradi, ya’ni sistemani turli nuqtalarida potensiallarning tenglashuvi sodir bo‘ladi.

Ochiq sistema uchun vaqt davomida entropiyaning to‘liq o‘zgarishi

$$dS/d\tau = d_e S/d\tau + d_i S/d\tau \quad (1.5)$$

faqatgina musbat yoki nolga teng bo‘ladi ($dS/d\tau \geq 0$). Ayrim hollarda sistemadagi entropiyani vaqt birligiga birlashuvi xuddi shu vaqt oralig‘ida entropiyaning tashqi muhitga o‘tishi bilan kompensatsiyalanishi mumkin, shuning uchun entropiyaning to‘liq o‘zgarishi $dS/dt = 0$ bo‘ladi. Sistemaning bunday holati *statsionar holat* deyiladi.

Statsionar holatni keltirib chiqarish uchun zarur bo‘lgan $d_i S/d\tau < 0$ shartdan ko‘rinib turibdiki, bu holatda sistema tashqi muhitga qabul qilayotganidan ko‘proq energiya chiqarishi kerak. Buni faqatgina sistema erkin energiyaning barqaror darajasiga ega bo‘lganidagina imkonи bo‘lib, bu holat barcha yuqori darajali ozuqali moddalarga, jumladan quritilayotgan hashak va barra o‘simlik xom ashyosiga xosdir. SHunday qilib, biologik faol moddalarni asosiy fizik-mexanik va fiziologik xossalaringin saqlanuvchanligi asosining doimiyligida aynan erkin energiyaning barqarorligi yotadi.

Statsionar holatga termodinamik muvozanatning yakka holati sifatida $d_i S/d\tau -$ qiymatining minimumida erishiladi. Lekin sistemaning evolyutsiyasi jarayonida, u haqiqiy muvozanat holatiga kelishidan avval, entropiyaning birlashuvi minimal darajada bo‘lsa ham yakuniy qiymatni tashkil etadi. Ushbu jarayonning kompensatsiyasi sifatida sistemada zahira sifatida to‘plangan erkin energiyaning tarqalishi (degradatsiyasi) xizmat qiladi. Biologik faol oziq-ovqat mahsulotlari va quritilayotgan hashakni ozuqaligini saqlab qolishda bu kompensatsiya mahsulotlarni ozuqalik qiymatini bir qismini saqlash va quritish jarayonida yo‘qotilishlar (sifatni pasayishi) sifatida namoyon bo‘ladi.

Sistema statsionar holatga ($d_i S/dt \rightarrow min$) kelganda, u tashqi ta’sirlarga shunday reaksiya qiladiki, vujudga kelayotgan oqim bu ta’sirni kompensatsiyalashga harakat

qiladi. Shunday qilib, statsionar holat barqarorlikga ega bo‘lib, sistema bu holatdan chiqarilganda baribir yana shu holatga qaytadi.

Tadqiqotlarning pirovard natijasidan ko‘rinib turibdiki, termodinamik muvozanat holatida bo‘lgan geterogen sistemaning barcha fazalari bir xil haroratga ega bo‘lib, har bir fazaning kimyoviy potensiali teng bo‘ladi.

Namlikni biologik xom ashyo bilan bog‘lanish energiyasi va shakllari.

Kartoshka tugunaklari, oq bosh karam, sabzi va xo‘raki lavlagi ildizmevalari, piyoz boshlari ikki va uch yillik o‘simliklarning vegetativ organlari hisoblanadi. Hashak maysalarni etishtirish, yig‘ib-terish va quritish jarayonlari natijasida olingan yakuniy mahsulot hisoblanadi. Yashil (barra) o‘simlik mahsulotlarida mexanik, zaxira va qoplama to‘qimalar farqlanadi. Birinchi to‘qimalar o‘simlikga barqarorlik, pishiqlik bersa, ikkinchi turdagи to‘qimalarda mahsulotni asosiy ozuqalik qiymatini tashkil etuvchi moddalar jamlangan. Qoplama to‘qimalar (epidermis va periderma) orqali atmosfera va hujayralararo havo bo‘shliq orqali namlik va gaz almashinuvi amalga oshiriladi. Namlik epidermis yoki periderma yuzasida joylashgan ochiq og‘izchalar orqali faol ravishda bug‘lanadi.

Kartoshka va sabzavotlar tarkibida suv miqdori yuqori bo‘lganligi tufayli (75 % dan ortiqroq) ular barra o‘simlik xom ashyosi deb nomlanuvchi guruhga birlashtiriladi. Har qanday botanik tarkibga ega maysalarning strukturasiga ko‘ra namligi juda yuqori bo‘ladi (75...80 %). Biologik faol mahsulotlarda suv ikki xil shaklda – erkin va bog‘langan holda bo‘ladi. O‘simlik mahsulotlaridagi organik moddalarining murakkab strukturasi tufayli ulardagi namlik bog‘lanishining ayrim kuchlarining (kimyoviy, fizik-kimyoviy, fizik-mexanik) tabiatini aniq aniqlashni imkonni bo‘lmaydi. Mahsulotlardagi bog‘langan suv haqida gap ketar ekan, eng mustahkam bog‘langan kimyoviy va fizik-kimyoviy suvni bir qismi ko‘zda tutiladi. Bog‘lanish mustahkamligi nisbatan past bo‘lgan fizik-kimyoviy usulda bog‘langan suv (maysalarning bo‘shliqlari va g‘ovaklaridagi suv) va mahsulot bilan faqatgina mexanik usulda bog‘langan suv erkin namlikni tashkil qiladi. Barra o‘simlik xom ashysidagi va yangi o‘rilgan

maysalar tarkibidagi suvning asosiy qismi erkin holatda bo‘lib, atigi 5...15 % namlik bog‘langan holatda bo‘ladi.

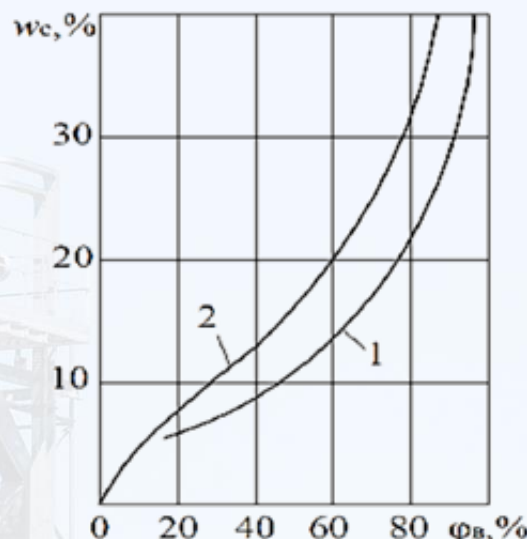
Termodinamik muvozanat holatida namlikni bog‘lanishini barcha shakllarini yig‘indi ko‘rinishi namlik miqdoridan, namlikni mahsulot tomonidan yutilish intensivligi (tezligi) dan kelib chiquvchi *sorbsiya izotermasi* deb nomlanuvchi havoning nisbiy namlik ko‘rsatkichidan va *desorbsiya izotermalariidan* (mahsulotni quritish) kelib chiqadi. Bu egri chiziqlar absolyut quruq mahsulotga to‘g‘ri keluvchi $\varphi = 0$ dagi nuqtada boshlanib, mahsulotdagi maksimal sorbsion namlik miqdoriga i_s to‘g‘ri keluvchi $\varphi = 100\%$ bo‘lgan nuqtada yakunlanadi. Ko‘plab turdagи mahsulotlarning ayrim komponentlarini eruvchanligi yoki muvozanatga kelish jarayonining davomiyligi sababli mahsulotlarning mog‘orlanishi natijasida maksimal sorbsion namlik miqdoriga erishib bo‘lmaydi. Bunday holatlarda sorbsiya izotermasi mahsulotni boshlang‘ich sifatini saqlanib qolishiga to‘g‘ri keluvchi $\varphi = 100\%$ nuqtada uziladi.

Ko‘p hollarda izoterma sorbsiyalari o‘ziga xos S – simon shakldagi egri chiziq ko‘rinishida bo‘ladi. Nam mahsulotni gigrometrik muvozanat holatidagi matematik bog‘liqni aniq analitik tahlil qilishning imkoniy yo‘qligi tufayli sorbsiya izotermalari empirik ravishda aniqlanadi. Turli xil oziq-ovqat va o‘simglik kelib chiqishiga ega mahsulotlar, shuningdek turli navdag‘i xashak va somonlar uchun termodinamik muvozanat holatida sorbsiya (namlash) va desorbsiya (quritish) izotermalari namlikni barcha bog‘lanish shakllarining yig‘indi ko‘rinishi 1.1, 1.2, 1.3 va 1.4 -rasmlarda keltirilgan.

Nisbatan erkin holatda bo‘lgan fizik-kimyoviy bog‘langan suv kapillyar devorlarning materiali bilan kimyoviy ta’sirlasha boshlaydi. Mahsulotlarning ayrim komponentlari ma’lum vaqtadan so‘ng kapillyarlarda hosil bo‘luvchi eritma tarkibiga kiradi. Bu eritma tarkibi va konsentratsiyasi mahsulotni tashqi muhit bilan o‘zaro ta’sirlashuvi natijasida o‘zgaradi, shuningdek kapillyar devorlarning sorbsion xossalari ham o‘zgaradi, bu esa sorbsion gisrezis hodisasining, ya’ni barra o‘simglik

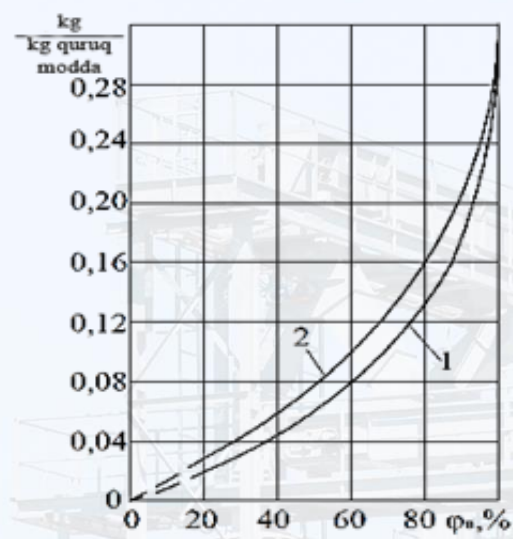
xom ashyosi va quritilayotgan hashakda namlikni sorbsiyalanish va desorbsiyalanish egri chiziqlarini mos kelmasligining asosiy sabablaridan biridir.

Tirik o'simliklarda turli holatdagi suvni ko'p miqdorda bo'lishi biokimyoviy jarayonlarning yuqori faolligini keltirib chiqaradi, mahsulotlarda namlik miqdori kamayib borar ekan, jarayonlar tezligini kamayishi va quritilgan somonda esa to'xtashi kuzatiladi.

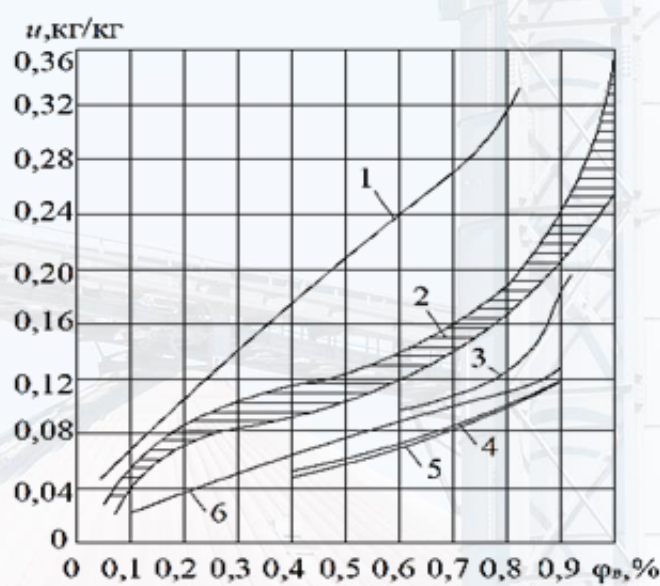


1.1-rasm.

Muvozanat namlik:
1 – hashak; 2 – tamaki;
 $t = 25^{\circ}\text{C}$

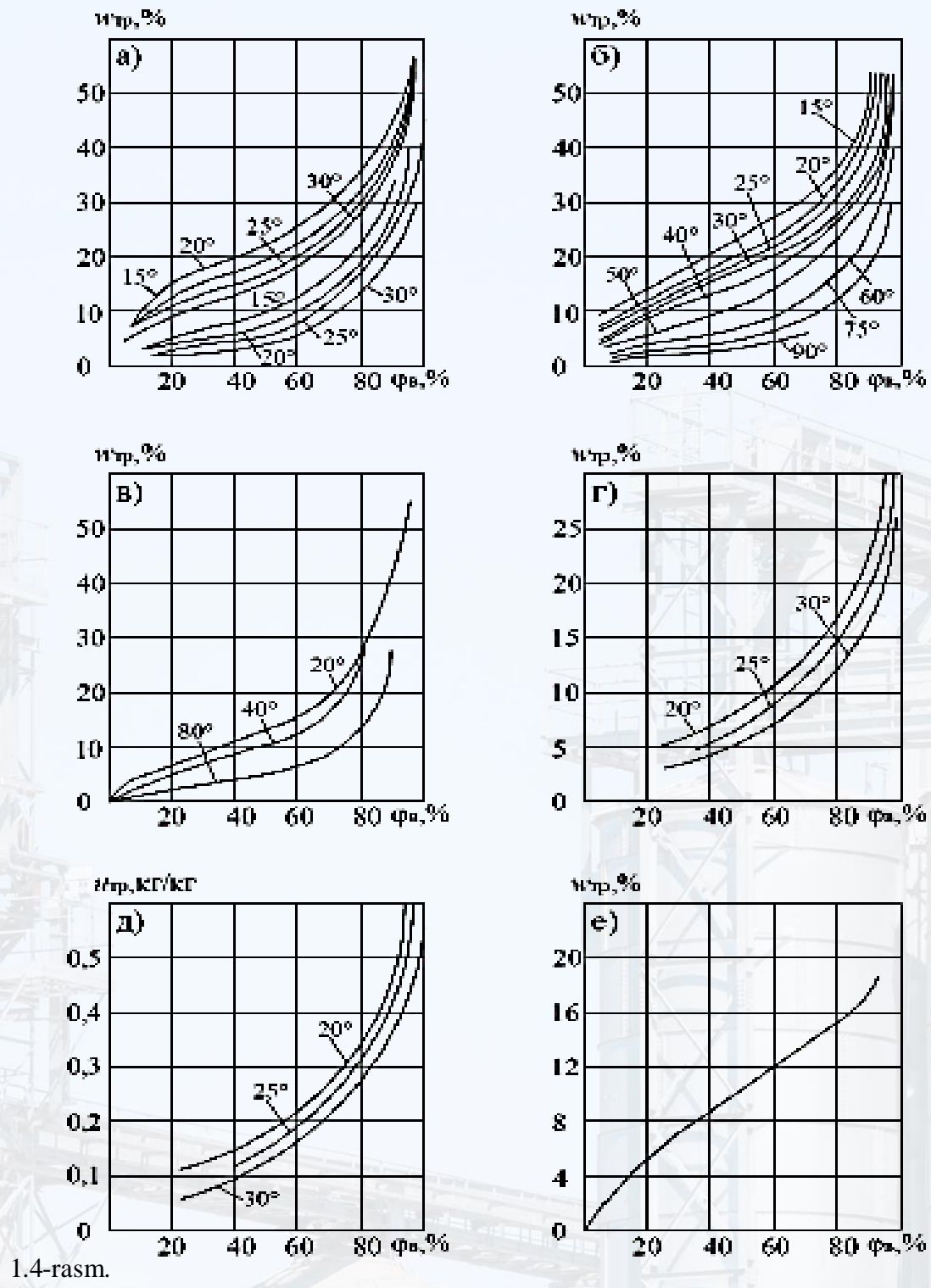


1.2-rasm. Zig'ir trestasining muvozanat namligi, $t=40^{\circ}\text{C}$; 1-sorbsiya; 2 – desorbsiya



1.3-rasm. Sorbsiya izotermalari:

1-tamaki barglari; 2-boshqolilar; 3-soya; 4-kungaboqar urug'lari; 5-nasha, zig'ir; 6-kraxmal.



1.4-rasm.

Izotermalar:

- a – g’umayda sorbsiya va desorbsiya hodisasi;
- b – hashak desorbsiyasi (o’tloqzor) (J.K.Tunker);
- v – hashak desorbsiyasi (o’tloqzor) (E.Potke);
- g – sorbsiya (yo‘ng‘ichka);
- d - sorbsiya (o’tloqzor) (B.Winkler); e – sorbsiya (presslangan somon, $p = 250\text{kg/m}^3$).

Sistemalarning erkin energiyasi. Biologik faol mahsulotning hayot faoliyatining energetik asosini nafas olish jarayoni tashkil qiladi. Anaerob (glikoliz) va aerob parchalanish (oksidlanish) hossalari farqlanadi. Oksidlanish reaksiyalari (o‘zgarishlar) barcha turdag'i ozuqali moddalarni – uglevodlar, aminorkislotalar va yog‘ kislotalarni qamrab olib, bu moddalar energiyaning asosiy manbai hisoblanadi.

(1.6)



gramm – molda $180+192 = 264 + 108;$

bu yerda $\Delta G^0 = -2874$ kDj – mol – energiyaning standart o‘lchovi va ΔG – sistemaning erkin energiyasini o‘zgarishidan iborat bo‘lib, bundan doimiy harorat va bosim sharoitidagi ishlarni bajarishda foydalanish mumkin: $G = \Delta u + p\Delta V - T\Delta S$; Δu - sistemaning ichki energiyasini o‘zgarishi; $p\Delta V$ – sistema tomonidan olingan yoki amalga oshirilgan ish; $T\Delta S$ – issiqlikni sistemadan tashqi muhitga o‘tishi.

Dekstruksiya jarayoni qaytmash jarayon bo‘lganligi uchun mahsulotni yuqori darajada tashkillangan boshlang‘ich strukturasini buzilishiga olib keladi, bunda karbonat angidrid gazi, suv va issiqlik ajralib chiqadi. Tenglama (1.6) bo‘yicha 1 kg organik moddaning oksidlanishi natijasida 15960 kDj issiqlik va 600 gr suv ajralib chiqadi. 1 mg. CO_2 ajralishiga 12,5 kDj energiya to‘g‘ri keladi.

Ajralgan karbonat angidrid SO_2 gazi va yutilgan kislorod O_2 ning molyar miqdorlarining nisbati *nafas olish koefitsienti* (NOK) deyiladi. NOK – qiymati harorat, organizmlarning fiziologik holati va boshqa shu kabi faktorga bog‘liq. Barra o‘simlik xom ashyosini haroratini tebranishi natijasida nafas olish intensivligini o‘zgarishi Gor formulasi bo‘yicha aniqlanadi:

$$q_v = q_o \exp(Kt); \quad g_v = g_o \exp(Kt). \quad (1.7)$$

Nafas olishni solishtirma issiqligi ajralayotgan karbonat angidrid gazining solishtirma miqdori, K – koefitsienti va harorat $10^0 C$ ga ko‘tarilganda reaksiya tezligining Q_{10} harorat faktorlarining qiymatlari 1.1-jadvalda keltirilgan.

1.1-jadval

Barra o'simlik xom ashyosining nafas olish intensivligi qiymatlari

Mahsulot	q_o , Bt/t	g_o , g CO ₂ / (t·s)	K, 1/°C	Q_{10}
Kartoshka	10,0	3,74	0,0617	1,85
Oqbosh karam	14,5	15,40	0,0778	2,18
Sabzi	13,5	3,74	0,1319	3,74
Xo'raki lavlagi	19,6	7,27	0,0717	2,05
Piyoz	11,1	4,12	0,0668	1,96

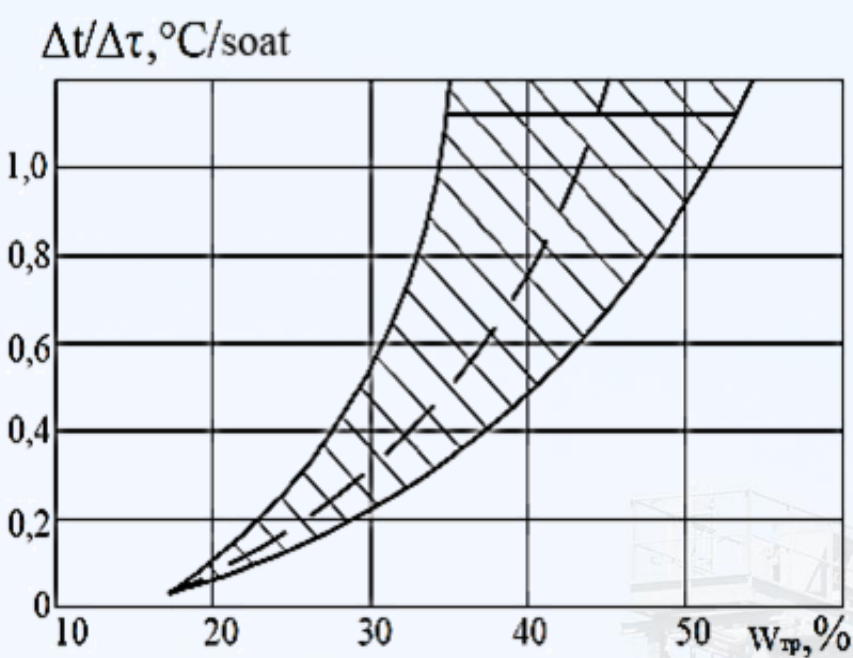
Saqlash jarayonida harorat rejimining barqarorligi nafas olish jarayonini intensivligini kamayishiga olib keladi. Mexanik zararlanishlar, kasalliklar, funksional buzilishlar barra o'simlik xom ashyosining nafas olish intensivligini oshiradi, chunki himoya birikmalarini sintezlash uchun energiya zahirasini to'planishiga ehtiyoj kelib chiqadi. Ekstperimental yo'l bilan shu narsa aniqlandiki, mexanizatsiyalashgan usulda yig'ib-terilgan kartoshka tugunaklari uyumlarini asosiy saqlash davrida solishtirma issiqlik ajralishlar $q_1 = 17,6 \text{ Vt/t}$. ni, oqbosh karam uyumlari uchun $q_v = 9,7 \dots 11,7 \text{ Vt/t}$. ni, sabzi va lavlagi ildizmevalari uyumlari uchun esa bu ko'rsatkichlar tegishgilicha $q_v = 10,4 \text{ Vt/t}$ va $9,0 \text{ Vt/t}$. ni tashkil etadi.

Yangi o'rيلган maysalarda fiziologik hayot davom etib, aerob nafas olish jarayoni kuzatiladi. Hujayralarning nobud bo'lishi erkin suvning asosiy massasi $W\tau p \leq 35 \dots 40 \%$ da ajralganda boshlanadi, mikroorganizmlar va mog'or zamburug'lar esa maysaning $W_m \approx 15 \%$ namligida rivojlanishdan to'xtaydi. Shuning uchun hashakning $W_x = 15 \dots 18 \%$ namligi konditsion namlik hisoblanadi.

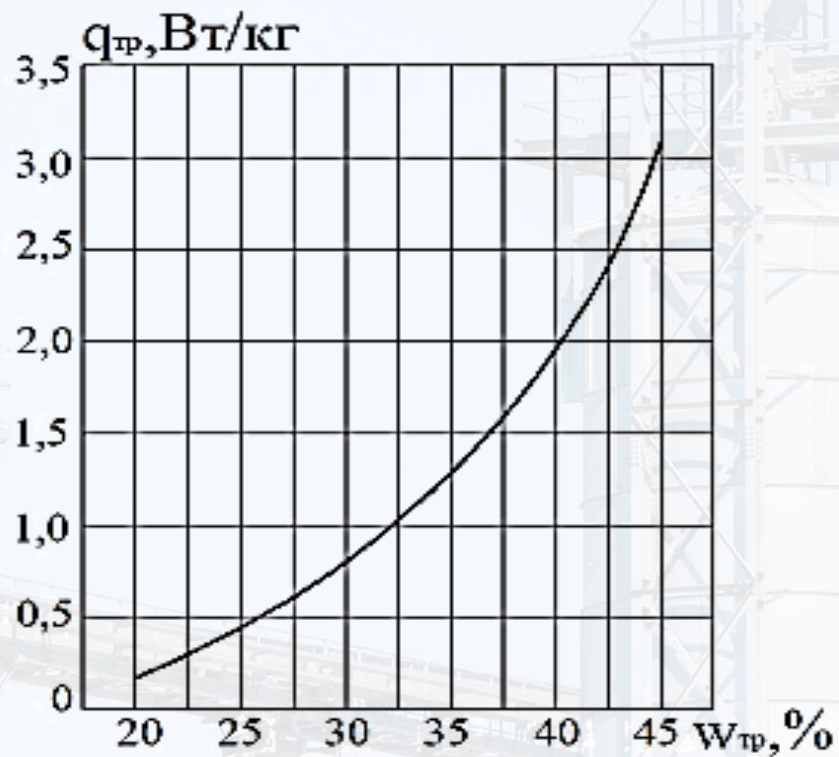
Maysalarning $20 \dots 30 \text{ }^{\circ}\text{C}$ haroratdagi quritish jarayoni doimiy tezlikda sodir bo'ladigan namlik qiymatlari turli maysalar uchun $W_p = 32 \dots 40 \%$ chegaralarida bo'ladi.

Yaxshi quritilmagan hashak uyumida o‘z-o‘zidan alangalanish hodisasi kuzatilishi mumkin. Dj.S.Uotson va M.Dj.Neshlar Plineyning (eramizning I asri) bu masalani dolzarbligini bildiruvchi quyidagi sitatasini keltirishadi: “Maysa o‘rilgach, uni quyoshda quritish darkor va to‘liq qurimagungacha uyumlab bo‘lmaydi. Agar bu ko‘rsatmaga to‘liq amal qilinmasa, tong mahal hashak uyumida o‘ziga xos par ko‘rinadi va qizish jarayoni kuzatilib, o‘z-o‘zidan alangalanish va shu tariqa nobud bo‘lishi mumkin”. O‘z-o‘zidan alangalanishni birinchi biologik bosqichi 8...12 kun davom etadi. Nafas olish jarayoni va bakteriyalarni faoliyati hisobiga harorat 42...49 °C gacha ko‘tariladi. Keyingi 5...7 kun davomida zamburug‘lar rivojlanib, harorat 70...80 °C gacha etadi va mikroorganizmlar faoliyati deyarli to‘xtaydi. Hashak qorayib, bujmayib qoladi va jarayonning ikkinchi - fizik-kimyoviy bosqichi boshlanib, bunda kuygan massa kislородни yutib, adsorbsiya issiqligini ajratib chiqaradi. Qizish jarayoni bir tekisda sodir bo‘lmaydi va harorat 280...320 °C ga etganda kuygan kletchatka va quruq haydash mahsulotlari alangalana boshlaydi.

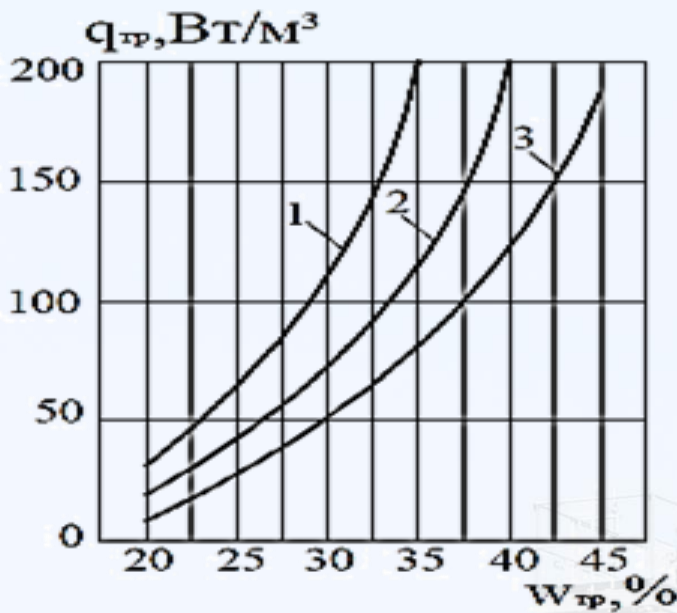
Sovutish jarayonida bug‘latish effekti mavjudligi nafas olishni aniq issiqligini aniqlashni murakkablashtiradi (xorijiy va mahalliy adabiyotlarda 1935 dan 2880 Vt/t gacha qiymatlar uchraydi). Farg‘ona Politexnika institutida olib borilgan tadqiqotlarda aniq issiqlik ajralishlarni quritilayotgan hashak namligiga bog‘liqligini aniqlash bo‘yicha olib borilgan natura tadqiqotlari boshoqli va dukkakli o‘simliklar hashaklari uyumlarida olib borildi. Quritilayotgan hashakning o‘z-o‘zidan qizishini $\Delta t/\Delta \tau$ aniqlash bo‘yicha o‘lchovlar tungi vaqtida, faol shamollatish tizimi ishlamayotgan holatda o‘tkazildi. Uyumdagi dala sharoitida qisman so‘litilgan hashaklar namligini har xil bo‘lishi biologik issiqlik ajralishlarning lokal qiymatlarini o‘zgarishiga sabab bo‘ldi. Turli botanik navlarga mansub maysalarni, ya’ni dukkaklilar (yo‘ng‘ichqa) va boshoqlilar (o‘tloq maysasi) orasidagi o‘z-o‘zidan qizish jarayoni bo‘yicha farqlar aniqlanmadи. O‘rtacha arifmetik qiymatlardan turli cheklanishlarni hisobga olgan holda maysa namligini $\Delta t/\Delta \tau$ bog‘liqligi 1.5-rasmda ko‘rsatilgan. Aniq biologik issiqlik ajralishlar intensivligini maysa namligiga $q_{hash} = f(w_{hash})$ bog‘liqligi 1.6-rasmda ko‘rsatilgan.



1.5-rasm. O‘z-o‘zidan qizish jarayoni tezligini $\Delta t/\Delta\tau$ maysa namligiga bog‘liqligi.



1.6-rasm. Maysanining solishtirma biologik aniq issiqlik ajralishlari



1.7-rasm. Zichligi: 1-60 kg/m³; 2-100 kg/m³; 3-150 kg/m³ bo‘lgan maysa qatlamidan aniq issiqlik ajralishlar

Tabiiy sharoitlarda tadqiqotlar natijasida olingan va 1.6-rasmda ko‘rsatilgan egri chiziqning approksimatsiyasi quyidagi natijalarni berdi:

$$q_{tp} = 383,2 w_{tp}^{4,4} \exp(-2,925 w_{tp}) \quad (1.8)$$

Quritilayotgan xashakning uyum zichligini ma’lum qiymatlarida solishtirma aniq issiqlik ajralishlarining grafik ko‘rinish 1.7-rasmda berilgan.

Biologik faol muhitlarni saqlash va quritish jarayonlaridagi fizik-mexanik va issiqlik-fizik jarayon tavsiflari

Havoli muhit parametrlari. Barra o‘simlik xom ashyosini sifatiga ta’sir qiluvchi tashqi muhitning asosiy fizik parametrlariga harorat t_v , nisbiy namlik φ_v , havoni harakatchanligi v_v va gaz tarkibi kirib, bular etarli darajada to‘liq o‘rganilgan va mahsulot turlari va saqlash davrlari bo‘yicha differensiyalangan.

Har qanday barra o‘simlik xom ashyosini *optimal saqlash haroratini* xarakterlovchi biologik nol ($t=4^{\circ}\text{C}$) tushunchasi asoslangan. Saqlash jarayonida haroratni kamayishi biokimyoviy jarayonlar intensivligini kamaytirib, fitopatogen mikroorganizmlar rivojlanishini cheklaydi. Saqlashda haroratni pasaytirish chegarasi sifatida xom ashyodagi suvni muzlash harorati $t_m = -1,0 \dots -2,5^{\circ}\text{C}$ qabul qilgan.

Barra o'simlik xom ashyo uyumini *optimal namlik rejimi* deyilganda mahsulotni tashqi issiqlik manbalaridan to'liq himoyalangan holatdagi nafas olish issiqligi va mahsulotni bug'lanish xususiyati ta'sirida shakllanadigan rejimi tushuniladi. Mahsulot yuzasidagi havoning muvozanat nisbiy namligi φ_ρ eritmaning depressiya koeffitsientidan aniqlanadi.

$$\varepsilon_k = p_{n,n} / p_{np} = 103 / (103 + \Delta t_m), \quad (1.9)$$

bu yerda $R_{p,n}$ va D_{pr} – tegishlicha bug'ni toza suv va eritma yuzasidagi taranglik koeffitsientlari, P_a ; Δt_m – hujayra sharbatining muzlash haroratini pasayishi; kartoshka tugunaklari uchun $\Delta t_m = 1,3 {}^{\circ}\text{C}$; boshqa sabzavotlar uchun Δt_m qiymati 1,0 dan $2,5 {}^{\circ}\text{C}$ gacha o'zgaradi.

ε_k – qiymatlari (1.9) bo'yicha 0,985...0,995 chegaralarida yotadi. Saqlash amaliyotida turli xil mahsulotlarni saqlashda saqlash omboridagi havoni nisbiy namlik ko'rsatkichlari biroz pastroq, ya'ni $\varphi_\beta = 90...97\%$ atrofida bo'ladi. Barra o'simlik xom ashysosi yuzasida suv bug'ining to'yingan tarangligi yuza haroratiga to'g'ri kelib, atrof-muhitdagi bug' tarangligidan yuqori bo'ladi. Tirik to'qimalar nafas olish jarayonida issiqlik ajratib, ularning harorati atrof-muhit haroratidan yuqori bo'ladi, bu esa tashqi muhit havosining nisbiy namligi $\varphi_\beta = 100\%$ bo'lganda ham mahsulot yuzasidan namlikni bug'lanishiga olib keladi. Namlik almashinish jarayoni sekin kechib, mahsulot elementlarida bug'lanish hududlarining chuqurlashuvi kuzatilmaydi. CO_2 Mahsulotni *boshqariladigan gaz muhitida* saqlash jarayonida karbonat angidrid gazi K_{CO_2} konsentratsiyasini oshishi va kislород K_{O_2} konsentratsiyasining pasayishida nafas olish jarayonlarining sekinlashuvi kuzatiladi. Meva-sabzavot mahsulotlarini gaz muhitini boshqariladigan sovutish kameralarida saqlashda $K_{\text{CO}_2} = 3 \pm 1\%$, $K_{\text{CO}_2} = 5 \pm 1\%$, $K_{N_2} = 92 \pm 1\%$ deb qabul qilinadi. Mahalliy va xorijiy manbalarda boshqariladigan gaz muhitini sun'iy sovutish tizimiga ega bo'limgan saqlash omborlarida qo'llash bo'yicha ko'rsatmalar yo'q.

Barra o'simlik xom ashysosi uyumlarida *havoni harakatchanligi* qiymatlari $i=0,04...0,2$ m/s atrofida bo'lib, xom ashyo tarkibidagi suvni havo tomonidan yutilishini oldini olish maqsadida maksimal qiymatlari 0,4...0,5 m/s dan oshmasligi

kerak. Issiqlik-fizik nuqtai-nazardan balandligi h bo‘lgan tugunaklar uyumidagi harorat rejimini ushlab turish uchun zarur bo‘lgan havoning minimal tezliklari u_{min} va solishtirma sarflari L_{min} qiymatlari 1.2-jadvalda keltirilgan.

1.2-jadval

Tugunaklar uyumi uchun u_{min} va L_{min} qiymatlari

Uyum balandligi h, m	$u_{min}, \text{m/s}$	$L_{min}, \text{m}^3/(\text{m}^2\text{s})$
1,0 gacha	0,075	110
1,0...2,0	0,10	145
2,5	0,15	215
4,0...5,5	0,25	360
5,5 dan ko‘p	0,35 dan ko‘p	500 dan ko‘p

Barra o‘simlik xom ashvosining uyum zichligi quyidagicha: kartoshka uchun $\rho_n = 680 \text{ kg/m}^3$; sabzi va lavlagi uchun $\rho_n = 600 \text{ kg/m}^3$; piyozi uchun $\rho_n = 580 \text{ kg/m}^3$; oqbosh karam uchun $\rho = 250$ dan 400 kg/m^3 gacha. Uyumlar g‘ovakligi ($P=1-\rho_n/\rho_f$); kartoshka uchun $P = 0,38...0,43$; sabzi va lavlagi uchun $P=0,45...0,56$; piyozi uchun $P=0,35...0,37$ ga teng. Xom ashyonini so‘lishi, suvning kamayishi uyumlarning mexanik ifloslanishi g‘ovaklilik qiymatini 25...35 % ga kamaytiradi.

Sog‘lom tugunaklar va ildizmevalar uyumlarini amaliyatda saqlanayotgan xom ashyonini o‘rtacha sifatini va fiziologik holatini real sharoitlarini hisobga olgan holda ruxsat etilgan balandligi; kartoshka uchun $h \leq 5...6 \text{ m}$; oqbosh karam va sabzi ildizmevalari uchun $h \leq 4,0 \text{ m}$ ga teng bo‘ladi.

Sochilgan hashakni *uyum zichligining* ρ_n o‘zgarishi bo‘yicha umumlashtirilgan ma’lumotlar 1.3-jadvalda keltirilgan. Uyumlardagi xashakni zichligi $\rho_n = 40...50 \text{ kg/m}^3$ ni tashkil qiladi. Presslangan va o‘ramga zichlashgan hashakni zichligi saqlash davrining yakunida 150 kg/m^3 ga etadi.

1.3-jadval

Saqlash davri davomiyligi turlicha bo‘lgan uyumlarda saqlanayotgan xashakning
uyum zichligi, ρ_n , kg/m³

Hashak turi	3...5 kun	1 oy	5 oy	6 oy
Qamishsimon dag‘al hashak	37...42	45...51	50...55	51...61
Boshqqli ekin hashagi	40...50	48...61	54...65	58...70
Dukkakli-boshqqli ekinlar hashagi	55...57	67...70	72...78	75...84
Dukkakli ekinlar hashagi	57...66	70...77	75...83	80...85

Hashakni tashqi g‘ovakliligi bog‘liqligi $P=99,0-0,353\rho_n$ ifodasi bilan aproksimtsiyalanadi. To‘liq g‘ovaklilik struktura zarrachalari ichidagi va orasidagi havoli hajmlarini hisobga oladi.

Tugunaklar uyumini aerodinamik qarshiligi. Δp_o , Pa/m quyidagi ifodadan (tegishlicha so‘liguncha va so‘ligandan so‘ng aniqlanadi):

$$\Delta p_o = 125u_\phi; \quad \Delta p'_o = 135u_\phi, \quad (1.10)$$

bu yerda i_f – uyumga kelayotgan havo tezligi, m/s: $i_f = iP$.

Toza va mexanik aralashmalar bilan ifloslangan boshqa turdagи barra o‘simlik xom ashylolarining aerodinamik qarshiliklarining qiymatlarida keltirilgan.

Havoni bir tekisda filtratsiyalash natijasida xashak qatlamiitag bosim yo‘qotilishlari quyidagi formuladan topiladi, Pa/m:

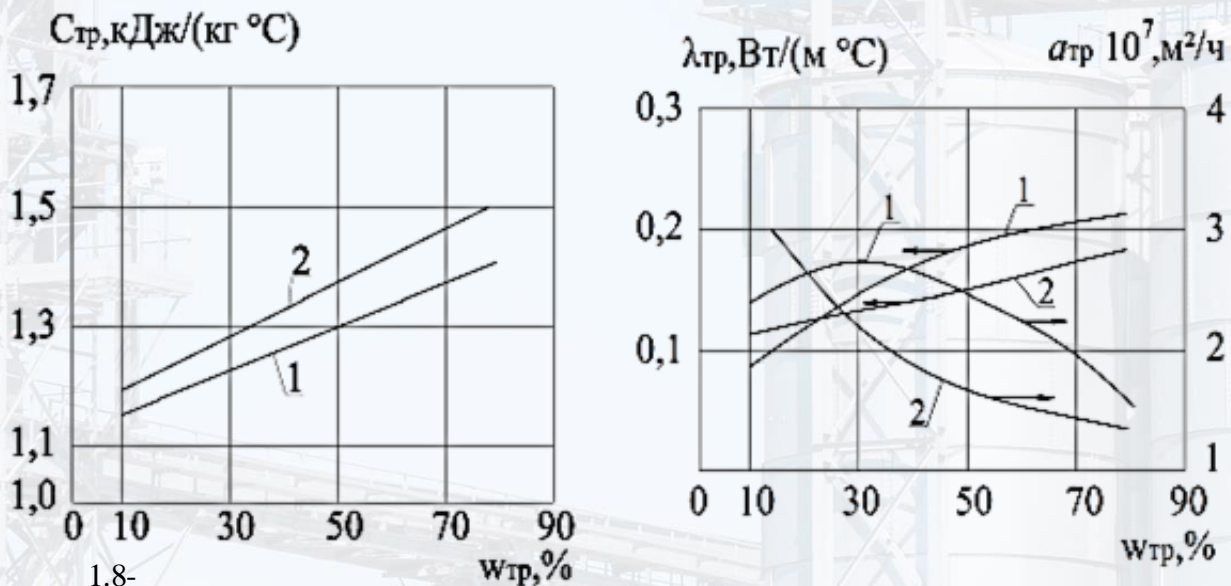
$$\Delta p_o = K\rho_n^m u_\phi^n. \quad (1.11)$$

Sochilgan hashak va somon qatlamlaridan tabiiy zichlashishga parallel ravishda havo haydashda havo oqimining yo‘nalishidan qat’iy nazar $K = 0,092$, zichlanishga perpendikulyar ravishda havo haydalganda $K=0,054$; serbarg hashak uchun $m=2,74$, $n=1,54$, bargi kam hashak uchun $m=2,40$, $n=1,60$; somon uchun $m=1,20$, $n=1,60$ bo‘ladi.

Somon uyumlari uchun Δp_o , Pa/m qiymatlari havo oqimining yo‘nalishi presslashga perpendikulyar bo‘lganda minimal bo‘ladi. Hashak yoki maysaning namligi aerodinamik qarshilikga sezilarsiz ta’sir ko‘rsatadi.

Mahsulotni issiqlik-fizik tavsifi. Tugunaklar, ildizmevalar va maysalarni issiqlik-fizik ko‘rsatkichlarini qiymatlari amaliy aniqlik doirasida quruq modda n_{km} , % miqdori bilan korrelyasiyalanadi. Kartoshka va sabzavotlar tarkibidagi quruq moddalarning issiqlik sig‘imi $C_{km} = 1,4$ ni, maysaniki esa $C_{km} = 1,2 \text{ kDj/(kg } ^\circ\text{C)}$, kartoshka tuganaklaridagi quruq moddalarning issiqlik o‘tkazuvchanligi $\lambda_q m = 0,255 \text{ Bt/(m } ^\circ\text{C)}$ ni tashkil qiladi. Mahsulot uchun (uyum karkasi) mahsulot issiqlik sig‘imi C_k , issiqlik o‘tkazuvchanlik koeffitsienti λ_k va harorat o‘tkazuvchanlik ak qiymatlari 1.4-jadvalda keltirilgan. Barcha turdagи barra o‘simglik xom ashyosi uchun issiqlik o‘tkazuvchanlik koeffitsienti 6 % aniqlikgacha $\lambda_k = 0,62 - 0,0074 \frac{\text{pq.m}}{\text{m}^2}$ ifodasi bo‘yicha aniqlanadi.

Maysalarning issiqlik-fizik ko‘rsatkichlari qiymatiga o‘simglikning botanik qismi (yaproq, novda) katta ta’sir ko‘rsatadi (1.8-rasm).



rasm. Maysalarning issiqlik-fizik xarakteristikalari:

1-yaproqlar; 2-novdalar.

Yaproqlarni harorat o‘tkazuvchanligi koeffitsienti ularning namligi $w_m = 35...40$ % bo‘lganda, o‘zgarish xususiyatiga ega bo‘lib, bu holat yaproqlardagi suvni bog‘langan holatga o‘tishi bilan izohlanadi.

Barra o'simlik xom ashyosi yoki quritilayotgan hashak uyumlarining hajmiy issiqlik sig'imi havo zichligi ko'rsatkichiga nisbatan karkas zichligi qiymati yuqoriligi ($\rho_k >> \rho_v$) va karkasnинг solishtirma issiqlik sig'iminи havoni issiqlik sig'iman kattaligi ($C_k >> C_v$) tufayli muhandislik hisoblari uchun etarli aniqlikdagi ko'rsatkichi $c_n=c_k \rho_k (1-P)$ ni tashkil etadi.

1.4-jadval

Barra o'simlik xom ashyosi uchun c_k, λ_k va a_k qiymatlari

Mahsulot	$s_k, \text{kDj}/(\text{kg } {}^{\circ}\text{C})$	$\lambda_k, \text{Wt}/(\text{m } {}^{\circ}\text{C})$	$a_k, \text{m}^2/\text{s}$
Kartoshka	3,30...3,80	0,52...0,66	12,27...15,90
Oqbosh karam	3,49...3,97	0,34	12,20...13,90
Sabzi	3,61...3,82	0,48...0,66	12,70...15,90
Lavlagi	3,61...3,82	0,48...0,66	12,00...18,00
Piyoz	3,78	0,50...0,60	13,90

G'ovak muhitda issiqlik uzatilishi issiqlik o'tkazuvchanlik λ_1 , konvensiya λ_k va nurlanish λ_i usullarida amalga oshiriladi. Uyumlardagi barcha issiqlik uzatish usullari odatda samarali issiqlik o'tkazuvchanlik qiymati λ_{ef} bilan almashtiriladi: $\lambda_{ef}=\lambda_T + \lambda_k + \lambda_i$. Barra o'simlik xom ashyosi yoki quritilayotgan hashak yuzalari va uyumga purkalayotgan havo haroratlari orasidagi farqni kichikligi tufayli nurlanish hisobga olinmaydi.

Qatlamdagagi havo harakatchan bo'lganda issiqliknini konduktiv va konvektiv uzatish usullarining nisbatini baholash konveksiya koeffitsienti $\varepsilon_k = \lambda_{ef}/\lambda_n$ orqali amalga oshiriladi. Yopiq havo qatlamlari uchun Reley soni $Ra=(G_r \cdot P_r) < 10^3$ bo'lgandagi shartli samarali issiqlik o'tkazuvchanlikni real issiqlik o'tkazuvchanlikga λ_n nisbati $\varepsilon_k=1,0$ ni tashkil etadi. Ra – sonining boshqa qiymatlarida ε_q – qiymati quyidagicha:

$$\begin{aligned} \varepsilon_k &= 0,105 Ra^{0,3} & (10^3 < Ra < 10^6); \\ \varepsilon_k &= 0,40 Ra^{0,2} & (10^6 < Ra < 10^{10}). \end{aligned} \quad (1.12)$$

G‘ovak muhitlarda Ra soni $Ra=10^4\dots10^6$ dan boshlab issiqlik o‘tkazishni hal qiluvchi faktori tabiiy konveksiya hisoblanadi.

Barra o‘simlik xom ashyo uyumlarida tabiiy konveksiya sharoitida $\varepsilon_k \gg 70$ bo‘ladi.

Barra o‘simlik xom ashyosi va maysaning havo bilan namlik almashinish yuzasi navbatma-navbat keluvchi “nam” bo‘limlarda $\varepsilon_i S_y$ va “quruq” $\varepsilon_i (1-S_y)$ bo‘limlaridan iborat bo‘lib, ular yashirin issiqlikni suv bug‘lari holida (“nam” bo‘lim) yoki sovutish jarayonida (“quruq” bo‘lim) aniq issiqlik ajratadi. Xom ashyoning po‘stlog‘i namlanganda yoki olinganda, uning bug‘latish xossasining koeffitsienti $\varepsilon_i = 1,0$ ni, tinim holatidagi kartoshka tugunaklari uchun $\varepsilon_i = 0,009 \dots 0,012$ ni, piyoz uchun $\varepsilon_k = 0,20 \dots 0,30$ ni, oqbosh karam uchun $\varepsilon_i = 0,37 \dots 0,45$ ni, sabzi ildizmevalari uchun esa $\varepsilon_i = 0,35 \dots 0,40$ ni tashkil qiladi.

Uzoq muddatlari saqlash jarayoni ε_i – koeffitsienti qiymatini kamaytiradi.

2-BOB. BIOLOGIK FAOL SISTEMALARDA ISSIQLIK VA NAMLIK KO‘CHISHINING ISSIQLIK-FIZIK HODISALARI

Issiqlik-massa ko‘chishining ayrim masalalarining fizik-matematik ta’rifi va ularning yechimlari

Umumiy yechimlarni qo‘llash sohalari. Barra o‘simplik xom ashyosi va quritilayotgan hashak uyumlarida harorat-namlik maydonlarini shakllantirish masalalarining umumiy yechimlari juda murakkab bo‘lib, hamma vaqt ham ularning oddiy interpretatsiyasini qo‘llab bo‘lmaydi. Ayrim hollarda aniq raqamli vazifani murakkabligi va ichki va tashqi rejim shartlariga rioya qilinishi, shuningdek o‘zgaruvchilar ko‘pligi tufayli hisoblashni aniq muhandislik usullari umuman qo‘llanilmaydi. Bu esa aniq hisoblash texnikasini qo‘llashni qadrsizlantiradi. Shuning uchun bevosita fizik-matematik modelni rivojlantirish va takomillashtirishni umumiy muammosidan tashqari uning asosli soddalashtirilgan va empirik korrektirovkalangan yechimlarini tanlash va qo‘llash muammosi ham kelib chiqadi.

Issiqlik-massa ko‘chish jarayonlarini Reynolds tenglamalari sistemasi asosida aniq ifoda qilish mumkin. Mazkur jarayonni ta’riflash uchun mo‘ljallangan bir o‘lchovli α model asosidagi tenglamalar sistemasi o‘z ichiga quyidagilarni oladi:

- harakat (Nave - Stoks) tenglamasi

$$\frac{du_\phi}{d\tau} + \frac{1}{2} \frac{d(u^2)}{dx} = - \frac{1}{\rho_b} \frac{dp}{dx} + \Phi_x + \frac{d}{dx} \left(\xi \frac{u^2}{2} \right); \quad (2.1)$$

- uzluksizlik tenglamasi

$$\frac{d\rho}{d\tau} + \frac{d(\rho u)}{dx} = 0; \quad (2.2.)$$

- issiqlik energiyasining balans tenglamasi

$$\frac{1}{u} \frac{dt}{d\tau} + \frac{dt}{dx} = \frac{\alpha_t F_{ya}}{(c_b \rho_b)_t u \Pi} (t_{yuzda} - t_b); \quad (2.3)$$

- namlik yoki namlik miqdori potensiallaridagi modda massasi balansi tenglamasi

$$\frac{1}{u} \frac{d\theta}{d\tau} + \frac{d\theta}{dx} = \frac{\alpha_0 F_{ya}}{(c_b \rho_b)_0 u \Pi} (\theta_{nob} - \theta_b); \quad (2.4.)$$

$$\frac{1}{u} \frac{\partial d}{\partial \tau} + \frac{\partial d}{\partial x} = \frac{\alpha_d F_{ya}}{\rho_b u \Pi} (d_{nob} - d_b), \quad (2.5.)$$

bu yerda $F_x = x$ -o‘qidagi massaviy kuchlarni zichligi proeksiyasi: $F_{ul} = 1$ m. uzunlik yuzasining maydoni, m^2 da.

Bu sistemadan foydalanishni asosiy murakkabligi shundan iborat, uni EXMlarda raqamli yechimini ishonchli asoslangan usuli yo‘q, ayniqsa turbulent rejim uchun.

Dispers muhitlardagi issiqlik-massa ko‘chish jarayonlari nostansionar tabiatga ega bo‘lib, bunda holat funksiyasi qatlamning ayrim nuqtalarida vaqt bo‘yicha aniqlanadi. Issiqlik va massa almashinish jarayoni “mahsulot yuzasi – nam havo” sistemasida amalga oshadi (α -model). Bunday jarayonlarni sistemanı ayrim muvozanatda bo‘lmagan elementlarini boshlang‘ich holatidan chegaraviy muvozanat holatiga nisbatan oraliq holatlarga o‘tish jarayonlari deb qabul qilish mumkin.

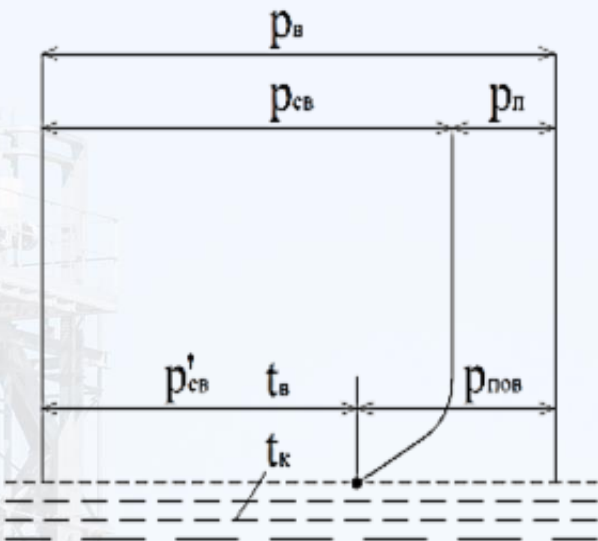
Ko‘chish koeffitsientlarini α iteraktiv tanlov usuli va raqamli yechim o‘rniga muhit parametrlariga bog‘liq bo‘lgan potensiallarning ayrim shartli farqlari qabul qilinganda issiqlik va namlik ko‘chishi jarayonlar orasida o‘xhashlikga amal qilib bo‘lmaydi. Olingan ifodalarni faqatgina tadqiqotlar davomida kuzatilgan parametrlar diapazonida hisoblar uchun qo‘llash mumkin xolos.

Issiqlik va namlik ko‘chishi jarayonlarining o‘xhashligi. Barra o‘simglik xom ashyosi yoki quritilayotgan hashak uyumlarida ikkita hududni alohida ajratish mumkin. Birinchisida havoni harakatlanishi borasida korreksion qatlamda ko‘chish potensiallarining tenglashuvi amalga oshadi. Asosiy qatlamda mahsulot t_k va havo t_v haroratlari deyarli teng bo‘ladi, havoning nisbiy namligi har bir turdagи xom ashyoni muvozanat namligiga teng bo‘ladi.

Yuqorida keltirilishicha, saqlash jarayonida biologik faol xom ashyoning yuzasidagi havoning nisbiy namligi $\varphi_{yuza} \approx 100\%$ bo‘lib, chuqur bug‘lanish hududlari bo‘lmaydi. Issiqlik koeffitsientlari uchun ma’lum qonuniyatlar bo‘yicha massa uzatish koeffitsientini topish imkonini aniqlash uchun, ya’ni biologik faol xom

ashyo uyumlarida issiqlik va namlik ko‘chishi kabi jarayonlarni aniqlashda kontakt apparatlarda havoga ishlov berishdagi issiqlik va massa almashinish tahlilini asos sifatida olamiz.

Barra o‘simlik xom ashysosi uyumida mahsulot tomonidan generatsiyalanayotgan issiqlik va namlikni ($R_{yuza} > P_h$, $R'_{kh} < R_{kh}$) bug‘lanish rejimida ($t_k > t_v$) quruq havo R_{φ} va suv bug‘ining R_n parsial bosimlarini qiymatlarini o‘zgarishi 2.1-rasmda ko‘rsatilgan.



2.1-rasm. Bug‘lanish rejimida parsial bosimlarni taqsimlanishi

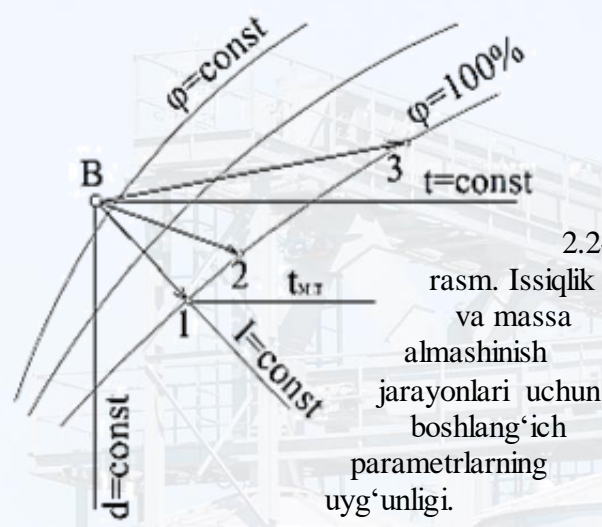
Umumiyl holatda adiabatik namlantirish va issiqlik va namlikni molyarmolekulyar ko‘chishida issiqlik va massa almashinish koeffitsientlarining nisbati quyidagi chegaralar oralig‘ida bo‘ladi.

$$\alpha_t / \alpha_d = c_{BS} \quad (2.6)$$

ya’ni Lyuis nisbati bajariladi (5 % xatolikkacha). Shunday qilib, biologik faol xom ashyo uyumlari uchun “quruq” rejimda issiqlik almashinish tenglamalari bo‘yicha massa almashinish koeffitsientlarini topishni issiqlik-fizik shartlarini asoslash imkonini paydo bo‘ldi.

Kirpichev-Guxman teoremasiga asosan hodisalar o‘rtasida o‘xshashlikni saqlanib qolishi ikkita talab bajarilganda kuzatiladi: ikkala holat ham bir xil tenglamalar sistemasi bilan ta’riflanganda; bir xillilikni o‘xshash shartiga riosa qilinganda. Issiqlik va massa almashinish jarayonlari strukturasi bir xil bo‘lgan

25



2.2-rasm. Issiqlik va massa almashinish jarayonlari uchun boshlang‘ich parametrлarning uyg‘unligi.

tenglamalarga ega (2.3-2.5). Teoremaning birinchi talabi bajarilmoqda. Aniq jarayonni ajratish uchun o‘z ichiga geometrik, fizik, vaqt va chegara shartlarini olgan bir xillilik shartlarini shakllantirish zarur. Biologik sistemalarni bir xil nuqtalarida oqimlarning fizik xarakteristikalari o‘xhash bo‘ladi. Uyum balandligi bo‘ylab statik bosimlarning o‘zgarishi va tezliklarning o‘xhashligi kuzatiladi. Shu bilan bir vaqtda oqim chegaralarining geometrik o‘xhashligi, shuningdek parsial bosimlar va harorat maydonlarining o‘zgarishi issiqlik va massa almashinish jarayonlarini bir xil kechish xususiyatlariiga bog‘liq bo‘ladi.

Havo va suvni boshlang‘ich parametrlarini turli xil uyg‘unliklarini tavsiflash uchun parametrik kriteriy kiritildi.

$$O_T = (t_{M,T} - t_{k1}) / (t_{B1} - t_{M,T}). \quad (2.7)$$

Barra o‘simlik xom ashyosini saqlashda butun uyumning balandligi bo‘ylab dominant harorat rejimi sifatida xo‘l termometr haroratidan $t_{x,t}$ karkas haroratining t_{k1} yuqoriligi xizmat qilib, buning natijasida havo entalpiyasining oshishi va mahsulot uyumi bo‘ylab haroratni pasayishi kuzatiladi. Uyumlarda kelib chiqishi mumkin bo‘lgan issiqlik massa almashinish jarayonlaridagi havo va suvning boshlang‘ich parametrlarining uyg‘unligi 2.2-rasmda, havo va suvning boshlang‘ich parametrlarining turli xil uyg‘unligidagi ko‘chishini tajriba koeffitsientlarining nisbatlarining parametrik kriteriy O_t orqali o‘zgarish grafigining fragmenti 2.3-rasmda keltirilgan.

Havoning adiabatik namlanishi sodir bo‘lsa (B-1 jarayoni, 2.2-rasm), issiqlik va namlik oqimlarning chegaralari bir xil bo‘lib, parsial bosim va harorat gradientalarining o‘zgarishi o‘xhash bo‘ladi. Buning natijasida (2.6.) nisbat bajariladi. Jarayonning B-2 yo‘nalishida ham oqimlarning geometrik chegaralari, ham kontaktlar yuzasidagi parsial bosim va haroratlar gradientalarining o‘zgarishlarini o‘xhashliklari buziladi. Issiqlik va namlik massasini butun almashinuv yuzasi bo‘ylab havoga ko‘tarilish shartlariga B-3 hodisasi to‘g‘ri keladi. Oqimlarning geometrik chegaralari bir xil, ko‘chish potensiallarining o‘zgarishi o‘xhash bo‘ladi. Shuning uchun ko‘chish

koeffitsientlarining nisbatining doimiyligi saqlanib qoladi. Xuddi shunday hodisa O_t – kriteriyasining qiymati $O_t = -1$ da ham kuzatiladi.



rasm.Ko‘chish koeffitsientlarining nisbatlari fragmenti.

B_2 va B_3 jarayonlarini orasida t_{k1} harorati t_{B1} haroratidan bir necha gradusga yuqori bo‘lgan rejimni ko‘rib chiqamiz. Bunday sharoitlarda suv bug‘larining parsial bosimi oshadi, aniq issiqlik almashinish natijalari esa sezilarsiz bo‘ladi. Bunday rejimda issiqlik va massa oqimlarining geometrik chegaralari va harorat va parsial bosimlar ($a_t/a_d < C_v$) gradientalarining o‘zgarishlarining o‘hshashligi buziladi.

2.3-rasmdan foydalangan holda biologik faol mahsulot qatlamini chegaralarini belgilash mumkin, bunda issiqlik va massa almashinish koeffitsientlarining nisbatlarining tengligiga asoslangan hisob usullaridan foydalaniadi. Yuqoridagilar to‘g‘ri bo‘ladi, qachonki issiqlik va namlik ko‘chishi molyar tashkil etuvchi bilan aniqlansa. Bu holda massa almashinishni hisoblash uchun unga o‘xhash bo‘lgan issiqlik almashinish jarayonini o‘rganish natijasida olingan tenglamalarni qo‘llash mumkin. Buning uchun oxirgilarda issiqlik sonlari Nu_t , Pr_t va Gr_t tegishlicha Nu_d , Pr_d va Gr_d diffuzion sonlarga almashtiriladi.

Havo uchun $Pr_t = 0,71$, $Pr_d = 0,60$; havoning hajmiy kengayishi koeffitsienti $\beta=1/273$, $1/\text{grad.}$, diffuziya koeffitsienti esa quyidagiga teng:

$$D = 0,0754(T / 273)^{1.89} 760 / p_6. \quad (2.8)$$

$\varphi_v \rightarrow 100\%$ da issiqlik va massa almashinishni o‘xhashlik holatlari kuzatiladi (2.2 va 2.3-rasmlardagi B-1, B-3 holatlar) ya’ni (2.6.) nisbat va $Nu_t = Nu_d$ bajariladi. Shuning uchun hisoblarda issiqlik almashinish sonini Nu_t bog‘liqligidan foydalanish mumkin.

$$Nu_t = Nu_d = 2 + 0,85 Re^{0,52} Pr_d Gu^{0,135}. \quad (2.9.)$$

$t=-1,5\dots2,0^{\circ}\text{C}$ diapazonida $Gu^{0,135} \approx 0,464$ bo‘ladi.

Havoni isishi va namlanishi, ya’ni biologik faol mahsulot uyumlarida kechadigan jarayonlarga o‘xhash jarayonlarda (2.6.) tenglamaning bajarilishi V.P.Isachenko ($Nu_t/Nu_d = 0,90\dots1,08$, L.D.Berman ($Nu_t/Nu_d = 1,046$) eksperimental tadqiqotlarida, havoning yuqori nisbiy namligi sharoiti (2.6.) tenglamaning bajarilishi esa A.V.Nesterenko, E.E.Karpis, O.Y.Kokorin tadqiqotlarida, namlik almashinishini past intensivligida (2.6.) tenglamaning bajarilishi A.A.Gogolin tadqiqotlarida keltirilgan. Lekin α_d -koeffitsientini aniqlash shu darajada murakkabki, olingan hisoblar aniqligi qoniqarsiz holatda bo‘ladi. Eksperimental tadqiqotlar natijalarini hisob-kitoblar orqali olingan natijalardan farqi 25 % gacha, ayrim hollarda undan ham ko‘p bo‘ladi.

Issiqlik massa ko‘chishi potensiali shkalasi. Namlikni suv bug‘lari shaklidagi taranglik holatining shkalasi ko‘plab mualliflar tomonidan biologik faol mahsulot yuzasidagi namlik almashinish jarayonlarini ta’riflash uchun quyidagi ko‘rinishda qo‘llaniladi.

$$j = \alpha_p (p_{noB} - p_B), \quad (2.10)$$

va xom ashyo yuzasi va havodagi suv bug‘larini taranglik qiymatlari o‘zgaruvchan bo‘lganligi uchun xom ashyonи sovutishga nisbatan qo‘llab bo‘lmaydi. (2.10) da ular doimiy hisoblanadi.

M.A.Volkov tomonidan izotermik bo‘limgan sharoitlarda saqlanayotgan xom ashydagi namlik yo‘qotilishlarini aniqlashda tashqi massa almashinishini umumlashtiruvchi kuchi sifatida *modda potensiali gradientasidan* foydalanishni tavsiya qildi.

$$\Delta\Psi = (\mu_o - \mu) + \theta'_r (T_o - T); \quad j_\Psi = \alpha_\Psi \Delta\Psi, \quad (2.11.)$$

bu yerda θ'_τ - massa almashinish potensialining harorat koeffitsienti; μ – izobar – izotermik kimyoviy potensial.

Kimyoviy potensialning μ miqdoriy qiymati nam materialda 1 kilomol suvni ajratishi uchun sarflangan energiyani miqdorini bildirib, quyidagi formuladan aniqlanadi:

$$\mu = -RT \ln \varphi. \quad (2.12)$$

Havoning nisbiy namligi ko'rsatkichlari yuqoriligidagi va $\varphi=1,0$ bo'lganda kimyoviy potensial $\mu = 0$ ($\mu = -RT \ln 1,0 = 0$) bo'ladi.

Kimyoviy potensial μ izotermik sharoitlarda havoning nisbiy namligi φ orqali aniqlanib, u izotermik bo'lmagan sharoitlarda almashinish potensiali hisoblanmaydi. Muvozanat holatidagi $\Delta G^0 = -RT \ln K_p$ Gibbsning erkin energiya tenglamasini tahlil qilib, $\Delta G^0 = \Delta l^0 - T \Delta S^0$ bog'liqlikni hisobga olgan holda quyidagi ko'rinishga keltiramiz.

$$\ln K_p = -\Delta l^0 / RT + \Delta S^0 / R, \quad (2.13)$$

F.Frenks, (2.13) ifodasi Δl^0 va ΔS^0 qiymatlarini ekstperimental yo'1 bilan aniqlashda natijalar to'g'riligiga juda qattiq talablar qo'yilganligi tufayli anglashmovchiliklarga olib kelishini ko'rsatdi. Har qanday biokimyoviy sistemaning harorat intervali 0°C dan 50°C gachani tashkil qilib, bu $(\Delta T)^1$ qiymatlarini atigi $5, 6 \cdot 10^{-4}$ ga teng bo'lgan tebranishlarini tashkil etadi. Agar eksperiment xatoligi 1 % dan oshiq bo'lsa, Δl^0 va ΔS^0 qiymatlarini aniqlashga ehtiyoj qolmaydi. Grafikning (2.13) logarifmik ifodasidan ko'rinish turibdiki, $1,0$ – hududlarga yaqin bo'lgan K_r – konentratsiyalariga yaqin bo'lgan fizikaviy qiymatlar, bu holat esa barra o'simlik xom ashyosining uyumlarida kuzatiladi, T^{-1} dan $\ln K_p$ koordinatalarida grafik bir xil qiyalikga ega bo'lib, o'xshash K_r konstantalarni beradi.

2.11-bog'liqlikni yuqorida sanab o'tilgan kamchiliklariga qaramay, modda potensialining taklif etilayotgan gradientasi "barra o'simlik xom ashyosi yuzasi nam havo" sistemasida massa almashinish miqdoriy baholashda etarli darajada aniq ko'rsatkich hisoblanadi.

Professor V.N.Bogoslovskiy tomonidan ishlab chiqilgan issiqlik-massa almashinish intensivligini hisoblash nazariyasi fizikaviy hodisalarni mikrohodisalar va alohida qonuniyatgarsiz bitta umumlashtiruvchi ko'rsatkich yordamida (*namlik potensiali*) ta'riflashga imkon beradi. Sistemaning barcha xossalari massa yoki faza zarrachalari soniga bog'liq bo'limgan (T , P , μ , θ va boshq.) va almashinishni o'tkinchi jarayonlarini o'z-o'zidan kechish chegaralari va yo'nalishini belgilovchi va sig'im xossalari (F , S , V , m) xarakterlovchi faktorlarining intensivligi xarakteristikalariga bo'lingan.

Nam material holatini ochiq geterogen sistema holatidagi tenglamasining tahlili
(2.14)

$dF_* = -S_* dT_* + (p_* / \rho_* + \mu_* + \mu_{*i} + \theta_r) dm_* = 0$, Ko'rinib turibdiki, qavslardagi qiymatlar faza massasini o'zgarishini belgilaydi va fizikaviy jihatdan θ – fazaning (namlik potensiali) termodinamik potensiali hisoblanadi:

$$\theta = -p_* / \rho_* + \mu_* + \mu_{*i} + \theta_r. \quad (2.15)$$

Namlik potensialining θ qiymati bosim P_j , kimyoviy potensial M_{ji} kabilarga bog'liq bo'lib, tajribalarda ularni fizikaviy jihatdan aniqlab bo'lmaydi. Son shkalasini θ hosil qilish uchun etalon haroratdagi $t=20$ °C filtr qog'oz namligi qabul qilingan.

Biologik faol xom ashyo yuzasidagi namlik potensiallarining farqlari orqali ifodalangan namlik oqimi quyidagiga teng:

$$j_0 = \alpha_0 (\theta_{noe} - \theta_s). \quad (2.16)$$

θ - ning har bir qiymatiga namlik va harorat muvozanatining ko'plab uyg'unligi to'g'ri keladi. Bularning aniq fiksatsiyasi namlikning nisbiy potensialining qiymati bilan amalga oshiriladi.

$$\varphi_0 = f_1(\theta) / f_1(\theta_{mc}), \quad (2.17)$$

bu yerda θ_{ms} – maksimal sorbsion namlikga to'g'ri keluvchi namlik potensiali.

Namlik potensiali nazariyasini eksperimental tekshirushi nazariyani ham izotermik, ham izotermik bo'limgan namlik muvozanatida to'g'riliгини ko'rsatdi. Biologik faol sistemalarda namlik almashinish intensivligini hisoblash uchun uyumlardagi namlik potensialari $\Delta\theta$ va massa uzatish $\alpha\theta$ koeffitsientlari farqlarini va

miqdoriy qiymatlarini o‘rganish zarur bo‘ladi, chunki uyumlarda o‘ziga xos harorat va namlik maydonlari shakllanadi.

Professor V.Z.Jadan tomonidan barra o‘simlik xom ashyosi uyumlaridagi *issiqlik-namlik jarayonlarining nazariyasi* ishlab chiqilgan bo‘lib, mazkur nazariya mahsulotni saqlashdagi issiqlik va massa almashinishni noodatiy jarayonlarini ta’riflashga va qatlam orasidan purkalayotgan havo tomonidan assimilyasiyalangan namlikni w umumiyy massasini aniqlashga imkon beradi:

$$W = Q/\varepsilon_t, \quad (2.18)$$

bu yerda Q – shamollatish uchun mo‘ljallangan havoga berilayotgan aniq tashqi va ichki issiqlik oqimlari yig‘indisi; ε_t – barra o‘simlik xom ashyosi uyumidagi havo holatining o‘zgarish jarayonini issiqlik-namlik xarakteristikasi (nam havoning *I-d* - diagrammasida):

$$\varepsilon_t = 6385 - 147t \quad \text{при } 0^{\circ}\text{C} \leq t \leq 15^{\circ}\text{C}; \quad (2.19)$$

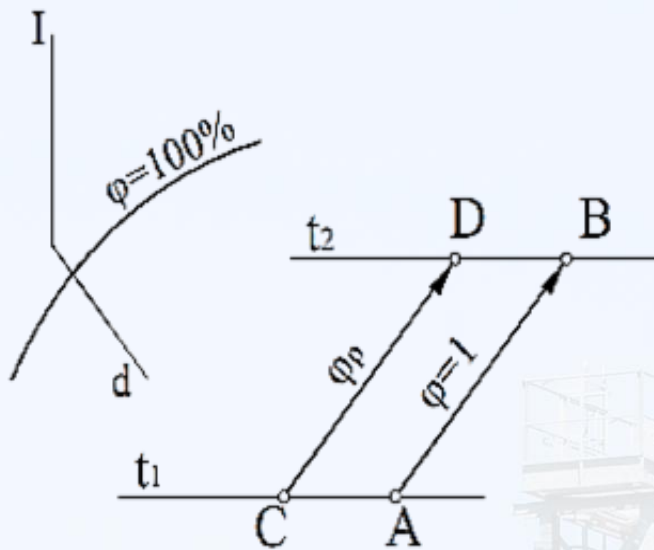
$$\varepsilon_t = 6385 - 1,21t^2 - 335t \quad \text{при } -25^{\circ}\text{C} \leq t \leq 0^{\circ}\text{C}, \quad (2.20)$$

bu yerda t – sovituvchi havoning o‘rtacha harorati.

Qatlamdagi namlik almashinuvi psixrometrik qonuniyat sifatida emas (suvni havoga bug‘lanishi), balkim aniq va yashirin issiqlik ajralayotgan saqlanayotgan mahsulot uyumini yuza qatlamlariga purkalayotgan havoga ishlov berish jarayoni deb qaraladi. Mazkur qarash nazariyani mohiyatini va termodinamik asosini, 2.18-bog‘liqligi esa namlik almashinish energetik asosini tashkil qiladi. Quyidagi tenglama qatlamdagи issiqlik – namlik jarayonining matematik ifodasıdır:

$$\varphi_p = \varphi_a = \text{const}, \quad (2.21)$$

Tenglamadan sovitilayotgan uyumning balandligi bo'ylab ($1-\varphi r = \text{const}$, 2.4-rasm) havodagi namlik miqdorining tanqisligi ko'rinish turipdi.



2.4-rasm. Sovutilayotgan uyumda havo holatining o'zgarishi: $AB - I-d$ -diagrammaning chegaraviy egri chizig'i; CD – uyumdagi jarayon.

Barra o'simlik hom ashysosi tomonidan namlik yo'qotilishlarni topishdagidagi 2.18-bog'liqlikning universalligiga ko'plab tadqiqotchilar e'tiborini qaratgan. "Sovutish texnikasi" jurnalining tahririyat bo'limida mamlakatning issiqlik-massa almashinishi jarayonlari bo'yicha etakchi olimlar orasida olib borilgan baxs-munozaralar natijasida 2.18-bog'liqligi barra o'simlik xom ashysosi qatlamicidagi issiqlik-namlik jarayonlarining muvozanat ko'rinishlari uchun haqqoniy deb topilgan.

Uyumni korreksiyalovchi qatlamida muvozanatning bo'lmasligi (2.21) biologik faol xom ashyo qatlamicidagi namlik yo'qotilishlarini shamollatish uchun mo'ljallangan havoga kelib tushayotgan aniq issiqlikni yig'indisi miqdoridan kelib chiqib aniqlashga imkon beruvchi (2.18) – bog'liqlikni amaliy ahamiyatini pasaytirmaydi. Bevosita nam havo diagrammasidan $I-d$ yoki (2.19 yoki 2.20) formulalaridan topiladigan E_t – koeffitsientini aniqlash murakkabligi bo'yicha – keltirilgan e'tirozlarni ishonchli deb bo'lmaydi.

Issiqlik – massa almashinish masalalarining ayrim yechimlari

Barra o'simlik xom ashyosining uyumi. Umumiy holatlar. Barra o'simlik xom ashyosi uyumlarida harorat – namlik maydonlarining shakllanishi masalalari bir o'lchovli α – model asosida o'z yechimini topib, u mahsulot yuzasidan issiqlik va massa almashinish koeffitsientlarini qiymatlarini bilish bilan ifodalanadi. Strukturaviy tarkibi jihatidan barra o'simlik xom ashyosiga eng o'xshash bo'lgan Biologik faol muhitlarda havoning turbulent oqimida *issiqlik almashinish koeffitsientlarini* qiymatlarini aniqlash bo'yicha o'tkazilgan nazariy va eksperimental tadqiqotlarni alohida ta'kidlash kerak.

Laminar harakatda qatlamda α_1 – koeffitsientni aniqlash bo'yicha ma'lumotlar M.E.Aerov tomonidan umumlashtirilgan.

Tugunaklar va boshqa ayrim qatlam elementlarining o'rtacha diametri $d_{o,r}=0,05$ m, g'ovakligi $P = 0,4$, yuza maydoni $S_y = 120 \text{ m}^2/\text{m}^3$ bo'lgan muhitlarda, havoning turbulent oqimi rejimida issiqlik uzatish koeffitsientlari qiymatlarini sonli taqqoslash natijalari 2.1-jadvalda keltirilgan.

2.1-jadvalda keltirilgan natijalarni taqqoslashni tahlil qilishdan asosiy xulosa α_1 -qiymatlarni tarqoqligidan iborat. Masalan, (2.23) va (2.30) bo'yicha bunga 12-marta erishilsa, (2.22) va (2.23) bo'yicha tarqoqliklar 8-martani tashkil etadi. Hattoki, tuganaklar uchun eksperimental usulda olingan natijalarda α_1 – ning qiymatlari (2.25) va (2.26) bo'yicha 2-marta farq qiladi. Shuning uchun har bir turdag'i mahsulot uyumlaridagi kechadigan jarayonlarni o'ziga xos bo'lgan real xususiyatlarini ko'rsatuvchi issiqlik uzatishni koeffitsientlarini aniqlash nazariy va eksperimental tadqiqotlar oldida turgan birinchi navbatdagi dolzarb masaladir.

Qatlam elementlaridagi harorat maydonini bir tekis deb qabul qilish mumkin, tashqi konvektiv issiqlik almashinishni esa $F_0 \geq 0,3 \dots 0,4$ va $V_{it} \leq 0,1 \dots 0,25$ sonlarida cheklovli tashkil etuvchi deb qabul qilish mumkin. Karam uchun $V_{it} \approx 1,3$ ni tashkil etib, karam boshlari hajmi bo'ylab issiqlik tarqalishidagi inersiyani hisobga olish zarur:

$$\alpha_i^* = \alpha_i (1 + 0,2Bi_i). \quad (2.22)$$

2.1-jadval

QatlAMDAGI issiqlik berish α_t koeffitsienti qiymatlarini taqqoslash

Tartib raqami	Hisoblanadigan bog'liqliklar	$\alpha_t, Vt/(m^2 \cdot ^0C)$, havoni harakatchanligida u, m/s, uyumda						
		0,05	0,10	0,15	0,20	0,25	0,30	0,35
2.22	$Nu_t = 0,106Re \quad 20 \leq Re \leq 200$	3,83	7,94	11,49	-	-	-	-
	$Nu_t = 0,61Re^{0,67} \quad Re > 200$	-	-	11,49	13,54	15,74	17,76	19,69
2.23	$\alpha_t = 0,05Id_{sr} + 7,27u^{0,67}Id_{sr}^{33}$	1,59	1,83	2,04	2,23	2,40	2,56	2,71
2.24	$\alpha_t = 5 + 3,4u$	6,01	6,21	6,41	6,61	6,80	7,00	7,20
2.25	$Nu_t = 2,7 + 0,278Re^{0,608} \quad Re > 400$	-	-	3,91	4,49	5,01	5,58	6,07
2.26	$\alpha_t = 0,075\lambda_v(1-P)u_f/vd_{sr}P^2 S_u$	1,70	3,40	5,08	6,79	8,47	10,16	11,86
2.27	$Nut = 2 + 0,6Re^{0,5}$	3,54	4,59	5,41	6,09	6,69	7,23	7,73
2.28	$Nu_t = 0,8Re^{0,7} Pr^{0,33}$	7,11	11,6	15,34	18,76	21,94	24,95	27,78
2.29	$Nut = 1,95Re^{0,49} Pr^{0,33} \quad Re < 350$	7,02	9,89	12,03	13,85	15,21	-	-
	$Nut = 1,064Re^{0,59} Pr^{0,33} \quad Re > 350$	-	-	-	-	15,48	17,36	18,53
2.30	$Nut = 1,166Re^{0,725} Pr^{0,33}$	10,2	15,6	17,05	19,4	23,47	26,9	31,65
2.31	$Nu_t = 1,32 \cdot 10^5 u(1-P)/\rho_v P d_e S'u$	4,25	8,50	12,75	17,0	21,26	25,51	29,75

Izotermik bo'lmagan sharoitlarda saqlanayotgan biologik jihatdan faol bo'lgan mahsulotni saqlash jarayonidagi so'lishi natijasida massa almashinish koeffitsientini ad kriterial tenglamalarini termik koeffitsientlar α_1 orqali hisoblashda bug'lanish yuzalaridagi aniq fizik sharoitlar hisobga olinmaydi. Professor V.Z.Jadan Dalton tenglamasiga mahsulot yuzasidagi "nam" bo'lim ulushini ko'rsatuvchi koeffitsientni E_i kiritdi:

$$j_p = \alpha_p \varepsilon_n S_y (p_{yuz} - p_a) \tau. \quad (2.23)$$

Ushbu formulaning (2.23) tahlili shuni ko‘rsatyaptiki, “... mahsulotni bug‘lanish xossasini har qanday faktorini o‘zgarishi ... havo namligini tanqisligini tegishli (to‘g‘rilovchi) o‘zgarishini keltirib chiqaradi...”.

Demak bug‘lanish xususiyati yuqori bo‘lgan shtabeldagi mahsulot o‘zini-o‘zi ko‘p miqdordagi namlik yo‘qotilishidan saqlab, o‘zining namlik rejimini hosil qiladi. Namlik rejimini o‘z-o‘zini boshqarish hodisasi ham kuzatilib, massa uzatilish koefitsienti esa nam havo parametrlari va barra o‘simlik xom ashyo yuzasining issiqlik-fizik xossalaringin hosila qiymati hisoblanadi.

Ideal biologik nofaol sharlar qatlamida bir o‘lchamli majburiy konveksiya sharoitida $V_{it} = 0$ da kontakt issiqlik o‘tkazuvchanlik hisobga olinmaganda issiqlik almashinish masalalarini yechimi birinchi marta A.Anselius, X.Shuman, V.Nusselt ishlarida keltirilgan. Keyinchalik bu masala ichki issiqlik almashinishni hisobga olib, ($V_{it} > 0$) o‘z yechimini topgan kriterial shakldagi yechimi A.V.Likov va Y.A.Mixaylov tomonidan keltirilgan. Issiqlik almashinish jarayonini erkin boshlang‘ich va chegaraviy shartlardagi umumlashtirilgan masalasini analitik yechimi tegishli manbalarda keltirilgan.

G‘ovak muhitlarda issiqlik-massa almashinishni birlashgan masalalarini nazariy yechimlarini rivojlanishi EXM yordamida raqamli modellashtirishga asoslangan. Lekin bunday strukturalar uchun jarayonning matematik modelidan raqamli algoritmgaga o‘tishi murakkabligi tufayli hozirgi vaqtgacha to‘liq amalga oshirilmagan. Issiqlik almashinish masalasining teskari prinsiplariga asoslangan tadqiqotlarni mashina usuli tobora rivojlanib bormoqda. Lekin bunday masalalarni keng miqyosda amaliy jihatdan g‘ovak muhitlardagi issiqlik almashinish jarayonlariga qo‘llashda samarali algoritmlar yo‘qligi tufayli bir qator qiyinchiliklar kelib chiqmoqda.

G‘ovak muhitlarda issiqlik almashinish masalalarini tadqiqotlarini rivojlanishini zamonaviy bosqichida ularning eng aniq yechimi nazariy-eksperimental uslub hisoblanadi. Qatlam kesimi bo‘ylab harorat egri chiziqlarini nazariy guruhi tashkil qilinmoqda. Nazariy guruhgaga soya soladigan harorat o‘zgarishining real egri chiziqlari

eksperimental yo‘l bilan aniqlanmoqda va eksperimental va nazariy egri chiziqlarning birini bir-biriga to‘g‘ri kelishi bo‘yicha α_t – koeffitsienti aniqlanadi.

Tabiiy konveksiya sharoitida yopiq hajmda u yoki bu cheklovchi yuzalar orqali isitilishi yoki g‘ovak muhit elementlaridan issiqlik ajralishi mavjudligida havo oqimlarini kelib chiqishi va tabiiy intensivligi tahlili adabiyotlarda keltirilgan. Havoning tabiiy konvektiv toklarining kelib chiqish kriteriysi sifatida $Ra > Ra_{akr} = 40...46$ soni xizmat qiladi.

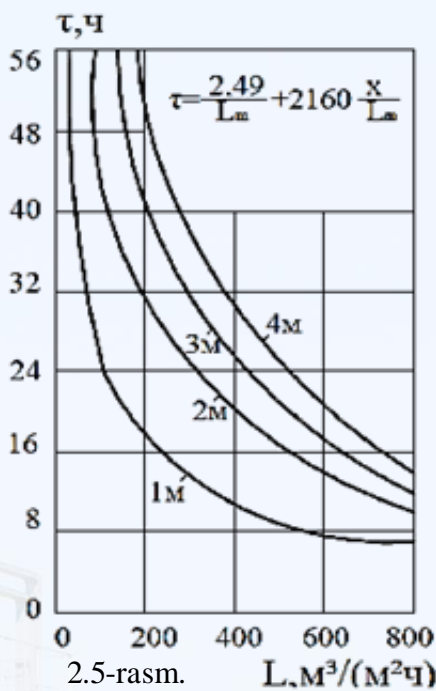
Barra o‘simglik xom ashysosi uyumlarida berilgan harorat – namlik parametrlarini ushlab turish bo‘yicha *amaliy tavsiyalar* asosan alohida empirik bog‘liqlarga yoki tashqi faktorlarni kompleks ravishda hisobga olinmagan tahminiy analitik hisoblarga asoslangan bo‘lib, bu faktorlarning asosiyлari mahsulotdan ajraladigan aniq issiqlik, karkas balandligi bo‘ylab haroratni beqarorligi, issiqlik berishni eksperimental koeffitsientlarining qiymati qatlama α_t nofaol uyumlar uchun aniqlanganligi kabilar kiradi. Quyida keng tarqalgan tavsiyalarni tahlilini keltiramiz.

Adabiyotlarda keltirilgan ko‘plab hisoblar uslubida uyumlardagi aniq biologik issiqlik ajralishlar hisobga olinmagan, ayrimlarida esa bu faktorlar qisman hisobga olingan.

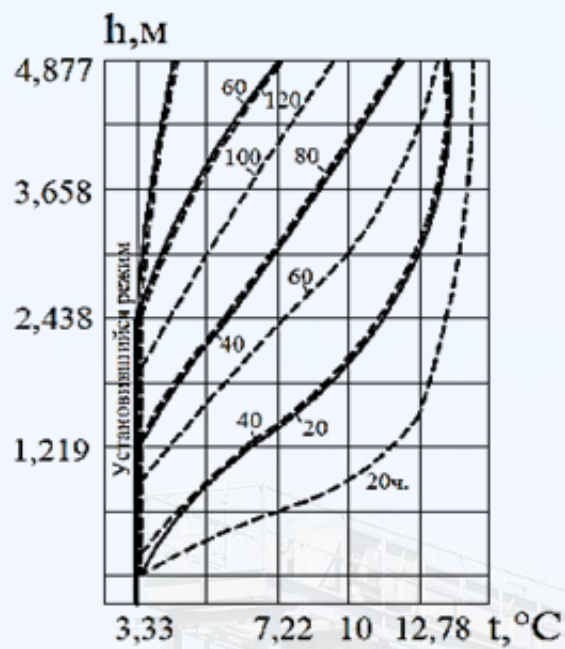
G.B.Chijov asos sifatida $dt/d\tau = -m (t_{o\cdot rt} - t_{vo})$ formulasini qabul qilib doimiy boshlang‘ich haroratda va uyumda issiqlik ajralishlar yo‘qligida ($q_v = 0$) uyumni sovutish vaqtini hisobladi.

B.Opxuz qiymatlari $d=4,0$ sm va $q_v=0$ bo‘lgan ko‘p funksiyali qatlam uchun o‘lchovsiz haroratgacha $Y_k = 0,1$ sovutish vaqtini tajriba va hisob qiymatlarini Buzinger tenglamasi bo‘yicha muvofiqligiga erishdi (2.5-rasm).

J.H.Hunter sferalarni sovushini uyumlardagi havo tezligini ikkita qiymatidan va III-turdagi chegaraviy shartlarda tahlil qildi (2.6-rasm). Olingan natijalarni eksperimental tahlilini yo‘qligi keltirilgan nazariy yechimlarni qiymatini sezilarli darajada kamaytiradi.



Tugunaklar uyumini
 $Y_k = 0,1$ gacha sovush vaqtin.



Biologik issiqlik ajralishlarni hisobga olgan holda uyumlardagi aniq issiqlik balansi bo'yicha kartoshka saqlash omborlaridagi faol shamollatish tizimi unumdorligini hisoblashni soddalashtirilgan uslubi keltirilgan:

$$L_m = q_v G / c_b (t_{cp} - t_{bo,cp}). \quad (2.34)$$

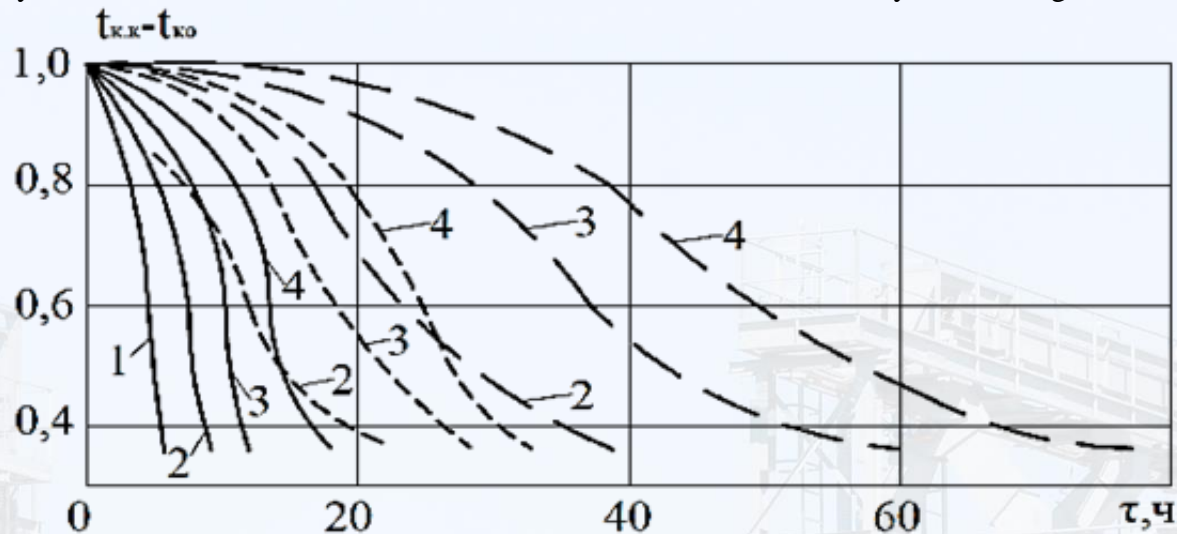
Bu usulni sovutishni nostatsionar rejimiga nisbatan qo'llash L_m – qiymatiga 3,0 gacha bo'lgan tuzatma kiritishga zaruriyat keltirib chiqaradi.

Y.P.Kalugina kartoshka uyumi bo'ylab harorat qiymatini doimiy deb qabul qilib ($t_{ko} = \text{const}$), yakuniy yechimda biologik issiqlik ajralishlarni c_k – qiymatini tugunaklarni issiqlik sig'imini qayta hisoblash yo'li bilan olingan issiqlik sig'imi c_{kr} qiymatini kiritish orqali hisoblashga muvaffaq bo'ldi:

$$c_{kp} = c_k + \frac{q_v \tau}{t_{ko} - t_{kk}} - \frac{q_v \tau i}{t_{ko} - t_{kk}}. \quad (2.35)$$

Yechim natijalari 2.7-rasmida keltirilgan. Issiqlik sig‘imini yangi birligini kiritish sovutish davri davomida mahsulotni issiqlik-fizik xarakteristikalarining doimiyligi tufayli to‘g‘ri hisoblanmaydi. Issiqlik berish koeffitsienti deyarli 20 % ga oshadi.

2.7-rasm. Tugunaklar uyumining $t_k = f(h)$; --- -400m/soat; --- -200m/soat; --- 100m/soatdagি nisbiy harorati; I-1 m; 2-2 m; 3-3 m; 4-4 m – uyum balandligi.



Bir qator tadqiqotchilar asossiz ravishda barra o‘simlik xom ashysosi uyumlarida issiqlik tabiiy konveksiya usulida uzatilmaydi deb hisoblashadi. Ular qatlamni issiqlik manbasi hajmi bo‘ylab bir tekis tarqagan izotrop parallelepiped deb hisoblashadi. Bunday masalani yechimi A.V.Likovning plastinalar uchun ma’lum bo‘lgan yechimiga kelib taqaladi.

Aniq biologik issiqlik ajralishlar va tabiiy konveksiyaning mavjudligi uyum balandligi bo‘ylab oshib borayotgan harorat profilining paydo bo‘lishiga sabab bo‘lib, u birinchi yaqinlashuvda chiziqli bo‘ladi: $t_k = t_{ko} + bx$. Uyumlardagi haroratni boshlang‘ich gradientalarini hisobga olish natijasida jarayonni tegishli dinamikada aniq tahlilidan qat’iy nazar sovutishni hisoblangan vaqt 20 % ga kamaydi.

Boshlang‘ich harorati doimiy $t_{ko} = \text{const}$ bo‘lgan kartoshka uyumlaridagi aniq issiqlik ajralishlar qv issiqlik va massa ko‘chishini balans tenglamalar sistemasini yechimi va namlikni ko‘chish tenglamasini qo‘shilishi EXMLaridagi analitik va sonli yechimlarni shu darajada murakkablashtiradiki, sonli va eksperimental natijalarni qoniqarli o‘xshashligiga erishib bo‘lmaydi.

Uyumning uzunlik va ko‘ndalang yo‘nalishlarida issiqlik o‘tkazuvchanlikni konduktiv tashkil etuvchisini hisobga olish modelni yanada murakkablashuviga va yakuniy amaliy yechimlarda noaniqliklarga olib keladi.

N.I.Gamayunovning xulosasiga ko‘ra mahsulot qatlami balandligi bo‘ylab haroratni boshlang‘ich gradientasini hisobga olish va sonli yechimlarni eksperimental tekshirushiyo‘qligi, α_1 va α_2 koeffitsientlarining berilishidagi noaniqliklar issiqlik almashinishni konduktiv tashkil etuvchilarining modeliga tavsiya qilinayotgan kiritishlarni qo‘shilishini asosli deb hisoblashga imkon bermaydi. Yechimning amaliy ahamiyati natijalardan olingan ko‘chish koeffitsientlarining aniqligiga bog‘liq. Matematik modelni tanlash ularni topishni aniqlik darajasiga mos kelishi kerak. Ko‘chish koeffitsientlarining haqqoniyligi qancha kam bo‘lsa, matematik model shuncha sodda bo‘lishi kerak.

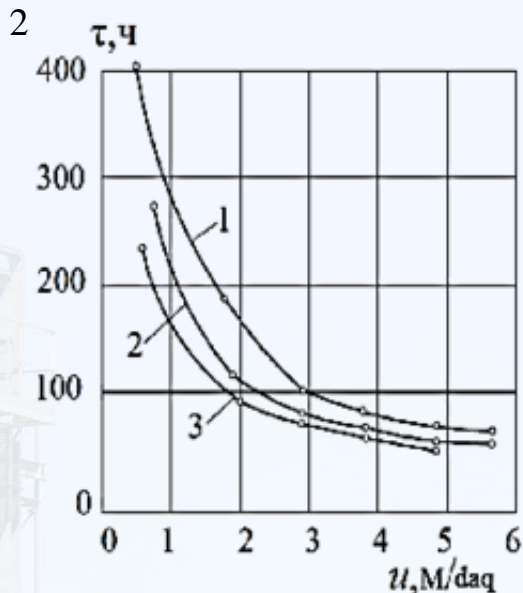
Barra o‘simglik xom ashysosi uyumida issiqlik-massa ko‘chish jarayonini modelini asossiz ravishda murakkablashtirishga misol qilib turli manbalarda keltirilgan ma’lumotlarni keltiramiz. Modelga qo‘shimcha ravishda issiqlik o‘tkazuvchanlik λ_k va mahsulot issiqlik sig‘imini e_k o‘zgaruvchan koeffitsientlarini, tugunaklar shakli koeffitsientini, V_i sonini α_1 va α_2 ko‘chishidagi asosiy parametrlarini eksperimental tekshiruvlari yo‘qligida qo‘shimcha ravishda kiritish masala yechimini murakkablashtirib, aniq natijalar olishga imkon bermaydi. Yakuniy natijada yechim $t_{ko}=\text{const}$ va $q_v=0$ dagi ma’lum bog‘liqlardan iborat.

Biologik faol mahsulot uyumlarida, qatlamni doimiy boshlang‘ich haroratida ($t_{ko}=\text{const}$), xom ashyni real issiqlik o‘tkazuvchanligi va aniq issiqlik ajralishlarini hisobga olgan holda harorat maydonlarining shakllanishi masalalarining yechimlari olingan. Lekin ular eksperimental jihatdan tasdiqlanmagan. Shuning uchun faol shamollatish tizimini ish rejimlarini maqbullashtirish va muhandislik hisoblash usullarini ishlab chiqish yangi mustaqil tadqiqotlar mavzusi hisoblanadi.

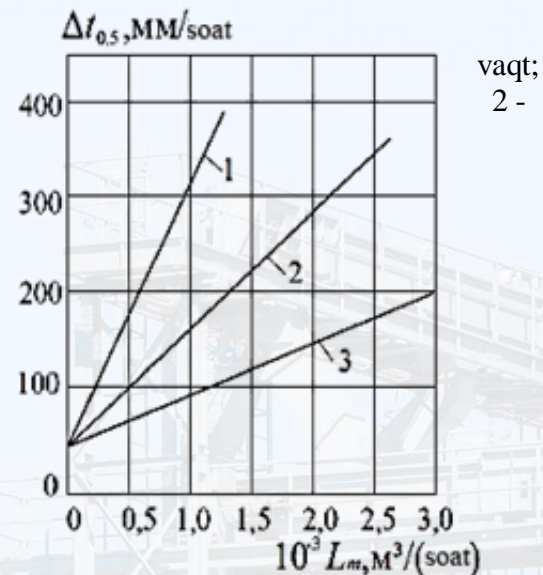
Biologik faol mahsulot qatlamida issiqlik va massa ko‘chishi masalalarining umumiyl analitik yechimlarini foydali tomonlari hisobga olinganda ham ular hali

amaliyot talablariga to‘liq javob bermaydi. Natijada tajriba ma’lumotlarini umumlashtirish asosida mantiqiy yechimlarga erishish yo‘llari qidirilmoqda.

Balandligi $h=4,8$ m bo‘lgan aniq issiqlik ajralishlari ($q_t=\text{const}$) va qatlamdagi boshlang‘ich harorat doimiy ($t_{ko}=\text{const}$) bo‘lganda, uyumdagi havo tezligi turlicha bo‘lgan sharoitlarda uyumni sovish vaqtini grafik bog‘liqligi taklif qilindi (2.8-rasm).



2.8-rasm. Uyumi umumiyo sovish vaqtini ($t_{ko}=18,3^{\circ}\text{C}$): 1 – $t_{kk}=4,5^{\circ}\text{C}$ gacha umumiyo



$t_{kk}=5,5^{\circ}\text{C}$ gacha ventilyatorning ish vaqtini; 3 – $t_{kk}=7,2^{\circ}\text{C}$ gacha bo‘lgan umumiyo vaqt.

2.9-rasm. Yarim sovish frontining tezligi: 1 –ildizmevalar; 2 –ertangi karam, ismalloq, salat yaproqlari; 3 – oqbosh karam.

Kartoshka va sabzavotlar uyumini harorati yarmigacha pasaytirilganda $\Delta t_{0,5}$, mm/soat, uyumlarni sovush frontini tarqalish tezligi eksperimental yo‘l bilan aniqlandi (2.9-rasm).

$$u_{\Delta t_{0,5}} = 10^{-5} mL_m \rho_b + b, \quad (2.36)$$

bu yerda m va b – doimiy qiymatlar; sabzi va kartoshka uchun ular tegishlichcha 251,7 va 49,9 ni, karam uchun esa 48,4 va 49,2 ni tashkil etadi.

Boshqa ma’lumotlarga ko‘ra kartoshka uyumida sovutish frontining harakatlanish tezligi 40 mm/soat atrofida bo‘ladi ($L=40 \text{ m}^3 / (\text{m}^2 \text{soat})$, $\Delta t=5,25^{\circ}\text{C}$ da).

Natura tadqiqotlar tugunaklar qatlamini shamollatish davomiyligi va havoni solishtirma sarfi orasida teskari proporsionallik mavjudligini bildirmoqda.

Sabzi va lavlagi uyumlarini sovutishni hisoblashda ($\Delta t_{ko}=2\ldots 12^{\circ}\text{C}$, $u=0,022\ldots 0,161 \text{ m/s}$) sovutish vaqtini aniqlash uchun quyidagi bog'liqlikdan foydalanish bo'yicha tajriba yo'li bilan olingan tavsiyalar mavjud:

$$\tau = A + B \left(\frac{t_{ko} - t_{bo}}{u} \right) h, \quad (2.37)$$

bu yerda koeffitsient $A=1,5$, koeffitsient $B=3,05 \cdot 10^{-2}$ – sabzi uchun; $A=1,0$, $B=5,45 \cdot 10^{-2}$ – lavlagi uchun.

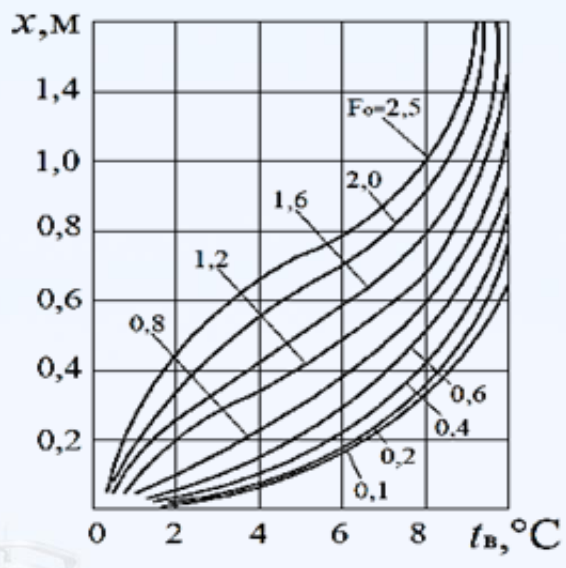
Barra o'simlik xom ashyosi uyumlarida *namlik maydonlarini shakllantirish* bo'yicha bir qator mualliflar keltirgan analitik bog'liqlarda bevosita biologik faol mahsulot tomonidan havoni muvozanat nisbiy namligini o'zi boshqarish faktori hisobga olinmagan.

Oziq-ovqat mahsulotlari qatlami balandligi bo'ylab havoni nisbiy namligi va haroratni balans tenglamalar sistemasini yechimi orqali tarqalishi formulada berilgan.

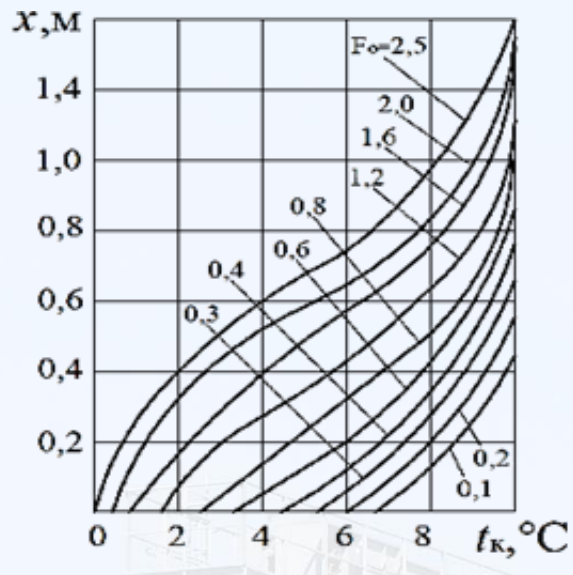
$$\begin{aligned} \alpha_t (t_k - t_{bo}) l_o dx &= 0,278 \cdot 10^{-3} L_m \rho_B c_B dt_B; \\ \alpha_m [(\mu_{bo} - \mu_k) + \theta'_T (t_{bo} - t_k)] \varepsilon_u l_o dx &= 0,278 \cdot 10^{-6} L_m \rho_B c_m d\mu_B, \end{aligned} \quad (2.38)$$

bu yerda l_o – qatlamning keltirilgan balandligi, m/t ; α_m – massa almashinish koeffitsienti, $\text{kg} \cdot \text{mol} / (\text{m}^2 \text{ Dj} \cdot \text{s})$; C_m – solishtirma izotermik massa sig'imi, kmol/Dj .

Kartoshka harorati t_k , havo harorati t_h , uyum balandligi bo'ylab tugunakkarning kimyoviy potensialini μ_k o'zgarishiga misollar 2.10 va 2.11-rasmlarda keltirilgan.



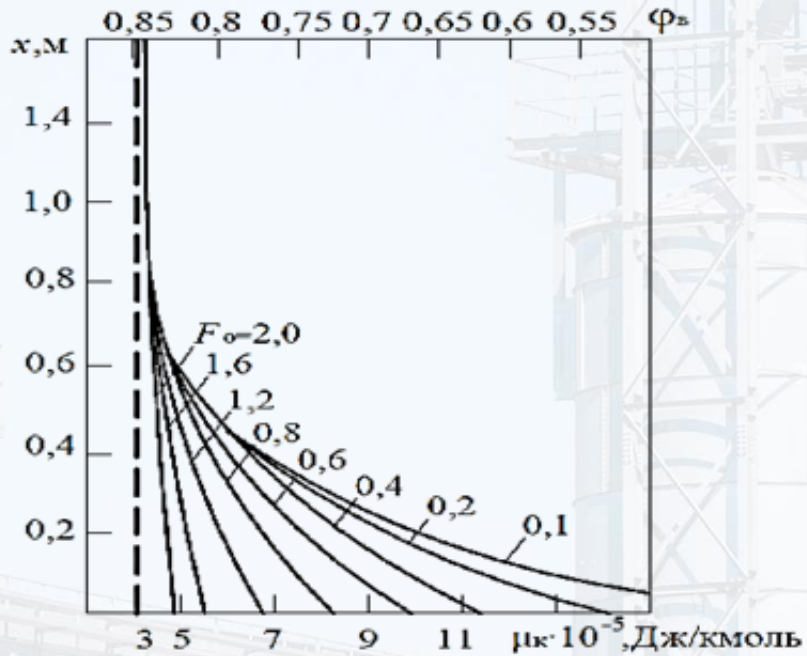
2.10-rasm.

a**b**

Kartoshka uyumlaridagi harorat rejimi;

a- havo haroratining o'zgarishi

b- tugunaklar yuzasi haroratining o'zgarishi



2.11-rasm. Tugunaklar uyumining namlik rejimi.

Rasmlardagi grafik bog'lanishlarni hisoblash masalalarini shartlari: $h=5,0$ м, $t_{k_0}=10$ °C, $t_{v_0}=0$ °C, $\varphi_{v_0}=0,85$, $\mu_{v_0}=-3,69 \cdot 10^5$ Dj/k.mol, $L_m=70$ м³/ (м·soat), $E_u=0,012$, $\alpha_1=11,2$ Vm/(м²°C), $\alpha_k=1,37 \cdot 10^{-7}$ м²/с. Sonli yechimlarni tahlili uyumning

korreksiyalovchi (havo harakatining yo‘nalishidagi birinchi qatlamda) qatlamida massa ko‘chish intensivligini sifat jihatidan baholashga imkon beradi.

Adabiyotlarda kartoshka singari biologik faol mahsulot yuzasidan namlikni bug‘lanish jarayonini intensivligini aniq eksperimental bog‘liklarini uchratish mumkin:

$$-\text{saqlashni davolash davrida } W = 5,3 \cdot 10^{-4} \Delta p_{\text{B}}^{0,59} \tau^{-0,35}; \quad (2.39)$$

$$-\text{saqlashni asosiy davrida } W = 10^{-5} (1,2 + 0,6S) \Delta p_{\text{B}}, \quad (2.40)$$

bu yerda $\Delta p_{\text{v}} = \rho_{\text{yuza}} - \rho_{\text{xavo}}$ – havo purkashdan oldin parsial bosim tanqisligi, mm.simob ustuni; τ – vaqt, s; S-mahsulotdagi namlik miqdori, %

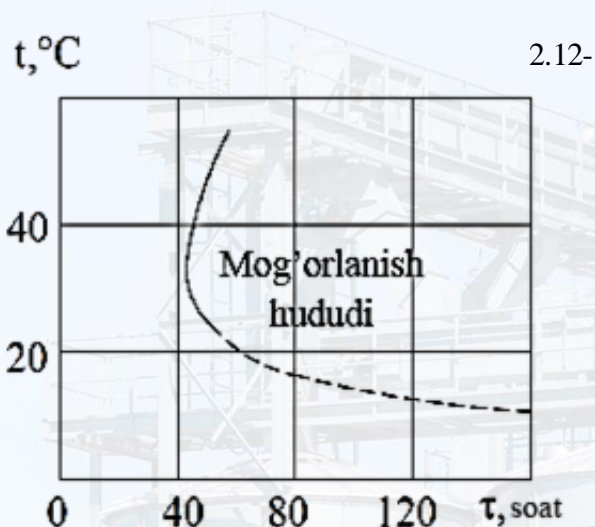
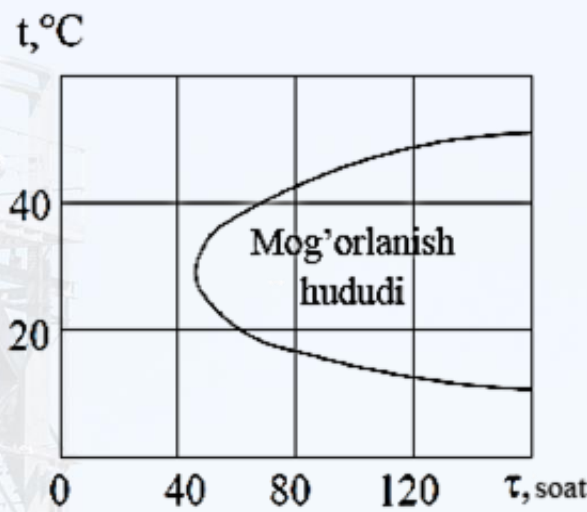
Bunday bog‘liklarni saqlash shartlari o‘ziga xosligi tufayli boshqa mikroiqlimiylar sharoitlarda qo‘llab bo‘lmaydi.

Barra o‘simplik xom ashyosi uyumlarini saqlashdagi issiqlik-massa ko‘chish jarayonlarini nazariy va eksperimental tadqiqotlarni rivojlanishining zamonaviy holatini qisqacha tahlili shuni ko‘rsatyaptiki qatlamdagи harorat va namlik maydonlarini shakllanish masalalarini analitik 0 yoki sonli usullar bilan echishga imkon beruvchi issiqlik-fizikaviy nuqtai-nazardan asoslangan mahsulot yuzasidan havoga issiqlik va namlik ko‘chishi modellari yo‘qligini ko‘rsatdi. Sabzavot-kartoshka saqlash omborlarida mikroiqlim parametrlarini ta’minlovchi sistemalarni konstruktiv xossalariiga, unumdorligiga va ish rejimiga sezilarli ta’sir qiluvchi uyumlarni sovutishni nostatsionar sharoitlarida issiqlik-massa ko‘chishini umumlashtiruvchi potensiali aniqlanmadi.

Quritilayotgan hashak qatlami. Dala sharoitida tabiiy quritish jarayonida ozuqali moddalarni yo‘qotilishi kuzatilib, bu yo‘qotilishlar 30...50 %, karotin uchun esa 80 % ni tashkil qiladi. Ayrim boshoqli o‘simpliklar dukkakli o‘simpliklarga nisbatan 2...3 marta tez o‘sganligi sababli, dukkaklilarni quritishda 1,5...2,0 marta tezlashuvga ularni yanchish orqali erishiladi. Hashak tayyorlashni maksimal muddatlari mog‘or paydo bo‘lishi bilan chegaralanadi. Hashakni saqlanuvchanlik muddatini haroratga bog‘liqligi 2.12-rasmida keltirilgan. Hashaklarni quritish jarayonini 7...10 sutkada

yakunlash tavsiya etiladi. Somonni quritish davomiyligi hashakli aralashmalarda mog‘or zamburug‘lari paydo bo‘lish vaqtidan oshmasligi kerak.

Shamollatilmaydigan hashak qatlamida o‘z-o‘zidan qizish jarayoni tezligi 1,0 °C/soatdan 2...3 °C/soatgacha bo‘ladi. Shamollatish uchun mo‘ljallangan havoni nisbiy namligini past qiymatlarida φ_v nafas olish jarayoni bug‘lanish uchun zarur bo‘lgan issiqlikni 25 % ni, $\varphi_v > 75\%$ da esa 60 % dan oshig‘ini ta’minlaydi. Lekin quritish jarayonini tezlashtiruvchi biologik issiqlik ajralishlarda mahsulotda quruq moddalar yo‘qotilishi kuzatiladi.



rasm. Ho‘l hashakni saqlanuvchanlik muddati:
a – Terry bo‘yicha; b – Lehmann bo‘yicha

Maysalarni quritish uchun *faol shamollatish sistemalarini* hashak tayyorlash texnologiyalarda qo‘llanilishi quyidagi afzallikkarga ega: hashakni dalada bo‘lishni umumiyligi vaqtiga 1...3 kungacha qisqaradi; hashak sifati 1,7...2,0 marta oshadi; hashak tayyorlash texnologiyasini maqbullahadi; mexanik yo‘qotishlar 20...25 % ga qisqaradi. Maysalar dastlab dalada yayma hashak tayyorlashda $w_{hash} = 35...45\%$ namlikgacha va presslangan hashak tayyorlashda $w_{hash} = 30...35\%$ namlikgacha so‘litiladi.

Boshlang‘ich namligi 50...60 % gacha bo‘lgan maysalarni hashak sifatini yuqori darajada saqlab qolgan holda isitilmagan atmosfera havosi bilan quritish bo‘yicha ijobjiy tajribalar mavjud. Havoni qizib ketishi quritish vaqtini qisqartiradi va har doim

ham 40...60 °C dan yuqori bo‘lgan haroratda oqsillarni parchalanishi bilan bog‘liq bo‘lgan ozuqali moddalar yo‘qotilish hodisasi kuzatilmaydi. Energetik sabablarga ko‘ra havoni sun’iy ravishda qizdirish keng tarqalmagan va hattoki tobora qisqarib bormoqda. Hashaklarni quritishda havoni solishtirma sarfida sezilarli tebranishlar kuzatilib, bu holat quritish jarayonidagi texnologik va texnik-iqtisodiy holatlarni hisobga olinmaganligi bilan bog‘liq.

Konditsion hashakni saqlashdagi ozuqali moddalarni yo‘qotilishi saqlash omborlarida yiliga 1...3 % ni, uyumlarda saqlashda 15...30 % va undan ham yuqori ko‘rsatkichni tashkil qilib, uyumlar o‘lchami oshgan sari yo‘qotishlar miqdori qisqarib boradi.

Kapillyar – g‘ovak materiallardagi massa va issiqlik oqimlari uchun A.V.Likov tomonidan tenglamalar sistemasi keltirilgan:

$$\begin{aligned} c_p \rho_o (dt/d\tau) &= \lambda \nabla^2 t + \varepsilon r_o \rho_o (du/d\tau); \\ (du/d\tau) &= a_m (\nabla^2 u + \delta_\tau \nabla^2 t), \end{aligned} \quad (2.41)$$

bu yerda $a_m = D$ – namlik diffuziyasi koeffitsienti; r_0 – bug‘ hosil bo‘lishining solishtirma issiqligi; $\delta_\tau = a_m^t/a_m$ termodiffuziyaning solishtirma koeffitsienti: a_m^t – termodiffuziya koeffitsienti.

Majburiy konveksiyada (2.41) sistema qatlam ichidagi maysa yuzasidagi nam havoning tashqi issiqlik-massa almashinishi bilan to‘ldiriladi.

$$j = D \rho_o (\nabla u + \delta \nabla t)_{\text{nob}} = \alpha_t (t - t_k)/r. \quad (2.42)$$

Quritish jarayonidagi (2.41) va (2.42) dagi muhit ko‘chishi va holati koeffitsientlari faqatgina eksperimental yo‘l bilan aniqlanadi. Haroratni kichik gradientalarida g‘ovak izotrop muhitlardagi bunday tadqiqotlar faqatgina ayrim turdagи mahsulotlar uchun o‘tkazilib, biologik faol muhitlarga tegishli bo‘lmaydi. Shuning uchun maysalarni quritish jarayonidagi muhandislik hisoblari amaliyotida (2.41) va (2.42) – tenglamalar sistemasini qo‘llashni imkonli yo‘q.

Quritilayotgan hashak yuzasidan bug‘lanish zonalarining chuqurlashuvida issiqlik berish koeffitsienti α_1 va quritish tezligini kamayishi kuzatiladi. Quritish jarayonining doimiy tezligi davrida ($N = dw/dt = 0$) maysaning butun yuzasi suvga to‘yingan bo‘ladi ($u_{yuza} > u_1$, $R_{nas} = R_{yuza} > P_v$) va materialga berilayotgan barcha issiqlik q_1 namlik bug‘lanishiga sarflanadi. Bu davr davomiyligi maysa yuzasi yoki uning bir qismida namlik miqdori gigroskopik qiymatdan kamayguncha davom etadi ($u_{yuza} < u_g$, $p_{nas} > p_{yuza} > p_v$), namlikni bug‘lanishiga issiqliknini bir qismi q_2 sarflanadi. Zarur issiqliknini miqdori quyidagi formuladan topiladi:

$$q_1 + q_2 = rG_c N(t) [1 + (w - w_p)/w_{tp}], \quad (2.43)$$

bu yerda $N(t)$ – quritish jarayonini eksperimental yo‘l bilan aniqlangan tezligi.

Bog‘langan suvni dispatsiya issiqligi suyuqliknini bug‘ga aylantirish uchun sarf bo‘lgan issiqliknini atigi 0,2-0,4 % ni tashkil qiladi. Namligi yuqori bo‘lgan hashaklarni quritishda inobatga olinmaydi.

Majburiy konveksiya sharoitida hashak qatlamini quritish jarayoni to‘g‘risida hozirgi vaqtida qabul qilingan sifatiy tushuncha quyidagicha (2.13-rasm). Maysa ho‘l termometr $t_{m,t}$ haroratigacha izoentalpa bo‘ylab sovutiladi. Quritish zonasasi qatlam ichiga qarab siljiydi. Quruq hashak zonasida uning parametrlari t_{sk} va w_{sk} qatlamga ko‘tariluvchi havo t_{vo} va φ_{vo} bilan muvozanatda bo‘lib, bug‘lanish jarayoni kuzatilmaydi. Quritish zonasida harorat avval $t_{m,q}$ gacha kamayib, so‘ngra φ_v qiymati 100 % ga yaqin bo‘lganda nam maysaning haroratigacha t_m ko‘tarilishi mumkin. Quritish zonasasi qatlam chegarasidan chiqqa boshlagach, havoning nisbiy namligi φ hashak massasidan chiqishda kamayadi, harorati esa oshadi. Quritish zonasasi qatlamda qancha ko‘p vaqt bo‘lsa ($h = h_3/h$ qancha ko‘p bo‘lsa), jarayon shuncha iqtisodiy jihatdan tejamkor bo‘ladi. Zona o‘lchami va uning harakatlanish tezligi havo sarfiga L proporsional. Maysaning namligi $W_{may} < W_r$ bo‘lganda, quritish zonasasi ko‘rilayotgan qatlamni butun qalilagini $\varphi_v < 100$ % egallaydi. Havoni nam yutish xossasini maysani nafas olish hisobiga oshirish bo‘yicha bir qator amaliy tavsiyalar mayjud. Masalan quyidagi balans tenglamada keltirilgan:

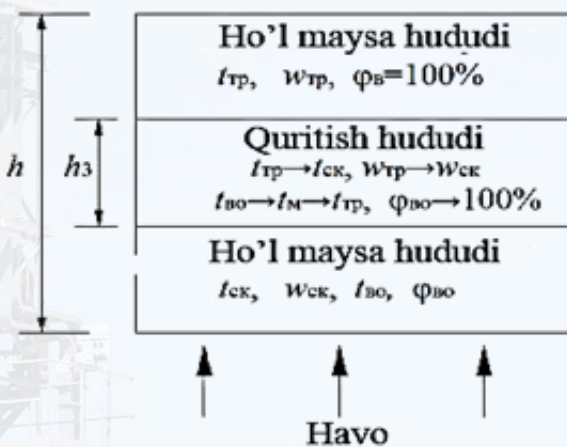
$$\Delta d_c = d_k - d_o = 10^3 q_v G_c / L_o r \rho_s. \quad (2.44)$$

Berilgan analitik bog'liqlik adabiyotlarda keltirilgan quritish vaqtini aniqlash bo'yicha bog'liqlikga o'xshash bo'ladi

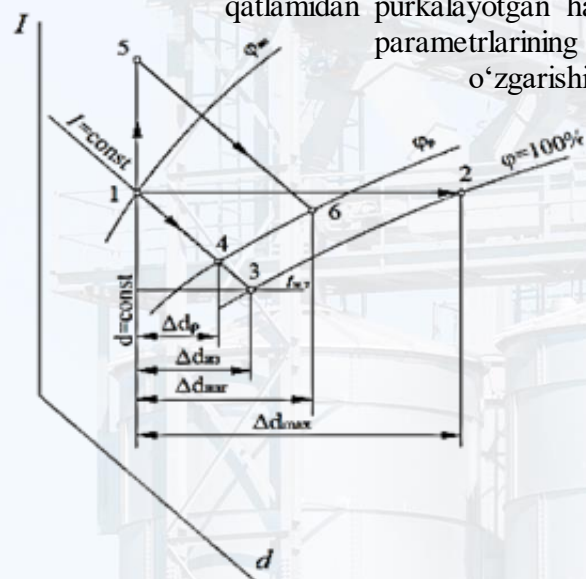
$$\tau = \frac{w_{tp} - w_p}{N} - \frac{1}{\chi_c N} [1 + 2,3 \lg \chi_c (w - w_p)] \quad (2.45)$$

va amaliyot talablarini qondirmaydi, chunki quritishni doimiy va kamayib boruvchi tezliklari davrida va X_s – koefitsientiga nisbatan maysani quritish tezligini ko'p faktorli qiymatlari $N = dw/d\tau$ yo'q. Biologik issiqlik ajralishlar mavjudligi faol shamollatish tizimini ish vaqtini aniqlashda yanada murakkablashtiradi.

2.13-rasm. Uyumdagi havo, quritilayotgan maysa va hashak parametrlari



2.14-rasm. Quritilayotgan hashak qatlamiidan purkalayotgan havo parametrlarining o'zgarishi.



Bir qator mahalliy va chet el mualliflari tomonidan hashakni quritish intensivligini hisoblashni umumlashtirilgan usullarini olish uchun nam havo diagrammasini I-d qo'llash tavsiya qilingan. Ular tomonidan taklif qilinayotgan hashak qatlamiagi havo parametrlarining o'zgarishi 2.14-rasmda ko'rsatilgan.

Agarda quritish jarayonida bug'lanish hodisasi umuman kuzatilmaganda ($t_{vo} = t_1 = \text{const}$), havoning maksimal nam yutishi $\Delta d_{max} = d_2 - d_1$ ni tashkil etardi (jarayon 1-2). Haqiqiy jarayon ($I = \text{const}$) izoentalpasi bo'yicha boradi. Maysadagi namlik miqdori gigroskopik darajadan yuqori bo'lsa, havo namlik bilan $\varphi \approx 100\%$ gacha to'yinadi (jarayon 1-3). Gigroskopik hududda havo hashak bilan termodinamik muvozanat

holatiga to‘g‘ri keluvchi φ_p gacha namlanadi. Havoning nam yutish hossasini keyingi oshishiga haroratni oshirish orqali erishiladi (1-5-jarayon), $\Delta d_{nat} = d_6 - d_5$ (5-6-jarayon).

Quritilayotgan hashakdan ajratilayotgan namlik massasi G_n quyidagiga teng:

$$G_{nam} = G_{hash} (w_{hash} - w_k) / (100 - w_k) \quad (2.46)$$

yoki

$$G_{nam} = G_c (w_{hash} - w_k) / (100 - w_{hash}). \quad (2.47)$$

Havoning nam yutish hossasi Δd_{cp} I-d-diagrammada ko‘rsatilgan. Hashak qatlami orasidan purkalayotgan havo miqdori:

$$L_o = 10^3 G_{nam} / \Delta d_{cp} \rho. \quad (2.48)$$

Ventilyator unumdorligi L_v , $m^3/soat$ bo‘lganda, faol shamollatish tizimini uzluksiz ish vaqtி $\tau_v = L_0/L_v$ ni tashkil etadi. Agar shamollatish vaqtி avvaldan berilgan bo‘lsa, sistemani unumdorligi $L_v = L_0/\tau_v$ dan kam bo‘lmasligi kerak.

Ko‘rib chiqilgan holatlar xashaklarni quritish bo‘yicha konstruktiv va texnik-iqtisodiy ko‘rsatkichlarni loyihalash va hisoblash bo‘yicha I-d-diagrammaning to‘liq imkoniyatlarini ko‘rsatib bera olmagan. Bularga quritilayotgan hashakning asosiy va korreksiyalanayotgan qatlamlariga kelayotgan havoga termodinamik ishlov berishni asoslash; faol shamollatish tizimini surunkali yomg‘irlar davrida ishlashi; maysalarni nafas olish issiqligidan quritish jarayonlarini jadallashtirishda foydalanish va boshqalar.

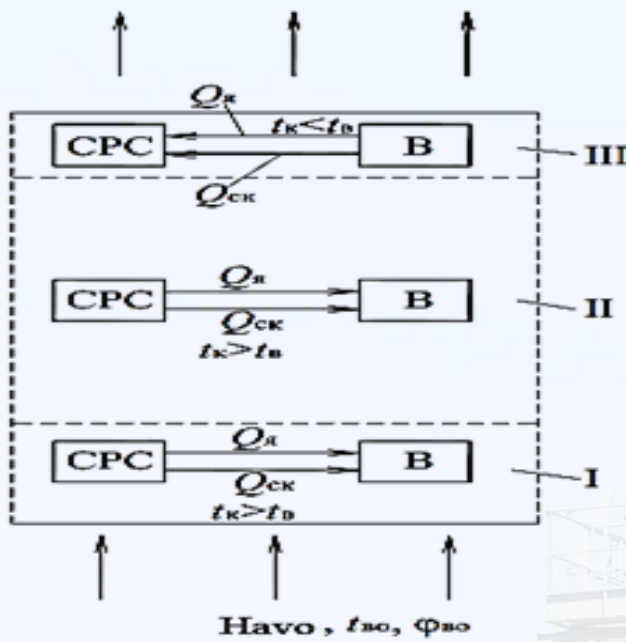
SHunday qilib, quritilayotgan hashak qatlamida issiqlik-massa almashinish jarayonlarini issiqlik – fizik modelini ishlab chiqish va asoslash bo‘yicha qo‘srimcha nazariy va eksperimental tadqiqotlar olib borish zarur bo‘lib, bu tadqiqotlar jarayonning energetik mohiyatini ochishga, namlik ko‘chishini umumlashtiruvchi potensialini aniqlashga, faol shamollatish tizimini hisoblash usulini aniqlashtirishga va asoslashga, havoni sun’iy isitish jarayonidan foydalanishni texnik-iqtisodiy chegaralarini belgilashga va quritish jarayonini jadallashtirishni boshqa usullarini belgilashga imkon beradi.

Biologik faol sistemalarda havo holatini belgilovchi jarayonlarni grafik ifodasi

Farg‘ona politexnika instituti va “Real-logistik” MCHJda olib borilgan saqlanayotgan barra o’simlik xom ashyosi uyumlarida va dag‘al em-xashak tayyorlashda quritilayotgan hashak qatlamlarida kechadigan issiqlik-massa almashinish jarayonlarini o‘rganish bo‘yicha olib borilgan nazariy va eksperimental tadqiqotlar mahsulot hajmlarida issiqlik va namlik ko‘chishi jarayonini dinamikasini issiqlik-fizik modelini ishlab chiqishga imkon berdi.

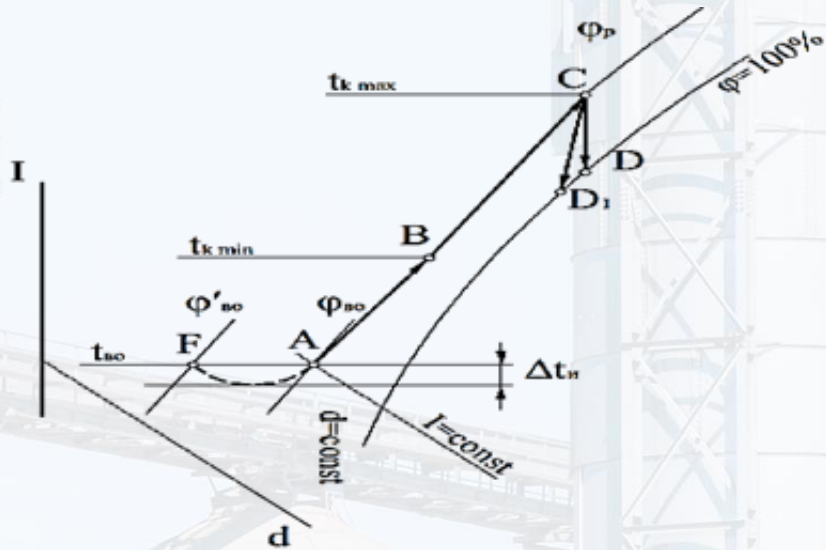
Barra o’simlik xom ashyosi uyumi. Xom ashyoning yuzasi vasovutuvchi havo orasidagi issiqlik va massa ko‘chish jarayonlarini uyumning korreksiyalovchi (I), asosiy (II) va yuqorigi (III) qatlamlardagi yo‘nalishi 2.15-rasmida ko‘rsatilgan. Ochiq va yashirin issiqlik ko‘chish jarayonlarining yo‘nalishining bir xilligi – biologik faol mahsulot uyumlarida kechadigan jarayonlarning o‘ziga xos xususiyatidir.

Sovutuvchi havo parametrlarini *I-d*-diagrammada o‘zgarishi 2.16-rasmida berilgan. Korreksiyalovchi qatlama havo φ_{vo} dan $\varphi \approx \varphi_r$ gacha namlanadi va bir vaqtning o‘zida t_{vo} harorattan asosiy qatlamning quyi qismining haroratigacha $t_k \text{ min}$ (AV - jarayoni) isiydi. Kelayotgan havoning nisbiy namligining quyi qiymatlarida φ_{vo} bug‘lanish hodisasi Δt_b (FA-jarayoni) kuzatilishi mumkin. Asosiy qatlama havoga issiqlik namlik ishlovi berish jarayoni $\varphi_r = \text{const}$ (BC-jarayoni) bo‘yicha kechib, bu chegaraviy egri chiziqning $\varphi = 100\%$ ekvidistant bo‘lishiga to‘g‘ri keladi. Havoni qurituvchi hossasini uyumdagi harakati yo‘nalishi bilan bir xil yo‘nalishli o‘zgarishlar bo‘lmasligini isbotlar ekanmiz (BC-jarayonini $\varphi_r = \text{const}$ dan chetlanishini professor V.Z.Jadan ta’riflar ekan, quydagilarni qayd qildi “... havo tarkibidagi namlik miqdori va uni qurituvchi xossasi orasida fizikaviy jihatdan izohlanadigan qarama-qarshilik paydo bo‘ladi) va bu holatni havo tarkibida namlik miqdorining tanqisligi keltirib chiqaradi: havodagi namlikni yuqori miqdoriga namlik miqdorining oz darajadagi to‘g‘ri keladi va aksincha bo‘lishi mumkin emas”.



2.15-rasm. Barra o'simlik xom ashysiga uyumlarida issiqlik va namlik ko'chishi jarayonlarining yo'nalishi: I-korreksiyalanuvchi qatlam; II-asosiy qatlam; III-yuqorigi qatlam.

Havo uyumdan S – nuqta (t_{kmax}, φ_p) parametrlari bilan ajralib chiqadi. Yuqorigi, nisbatan sovuq qatlamidan III (2.15-rasm) o'tar ekan, nam havo to'yinish holatigacha (CD-jarayoni) yoki kondensat ajralguncha (CD₁-jarayoni) sovushi mumkin.



2.16-rasm. Uyumdagi sovutuvchi havo holatining o'zgarishi: AV(GAV) – korreksiyalanuvchi qatlamda; VS-asosiy qatlamda; CD(CD₁) – yuqorigi qatlamda.

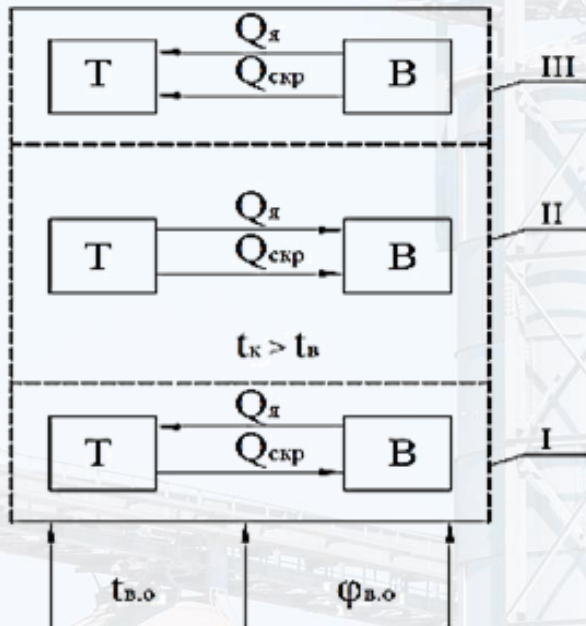
Quritilayotgan hashak qatlami. Maysalarni nafas olishi va mikroorganizmlarning hayot faoliyati massani o'z-o'zidan qizishini keltirib chiqarishi

mumkin. Isitilmagan atmosfera havosi bilan quritish jarayonini harorat rejimi $t_k > t_{vo}$ bilan xarakterlanadi.

Havo oqimi yo‘nalishidagi hashakning birinchi qatlami saqlanayotgan mahsulot uyumiga o‘xshash holda korreksiyalovchi qatlam (I, 2.17-rasm) deyiladi. Maysaning boshlang‘ich harorati gigroskopik namlik ko‘rsatkichidan yuqori ($w_m > w_r$) bo‘lib, bug‘lanish jarayoni xuddi suvni ochiq yuzasidan bug‘langani kabi sodir bo‘ladi. Havo AG izoentalpiya bo‘ylab muvozanat nisbiy namlikgacha φ_r namlanadi (2.18-rasm). Biologik issiqlik ajralishlar jarayonning adiabatikligini buzib, havoni to‘yinish nurini $I=\text{const}$ chizig‘idan suradi (AB-jarayoni). Havoni assimiliyalovchi xossasini Δd ortishi havoni Δt_{vo} dagi isishiga ekvivalent bo‘lib (AA₁B jarayoni), quyidagi muvozanat tenglamasi orqali ifodalanadi:

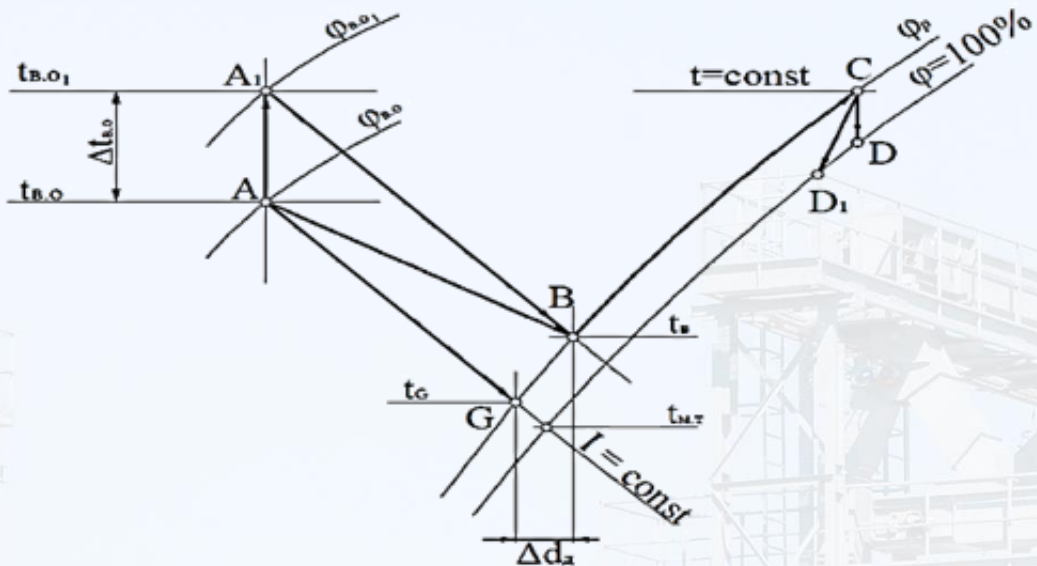
$$G_k (c_{tp} \Delta t_{vo} + q_v) = \Delta d \rho_B L_B r, \quad (2.49)$$

bu yerda G_k – o‘simlik xom ashyosining korreksiyalovchi qatlami qalinligi.



2.17-rasm. $t_k > t_{vo}$ da quritilayotgan hashak qatlamidagi issiqlik va massa ko‘chishi yo‘nalishlari: I-faol quriyotgan hashak qatlami (korreksiyalovchi qatlam); II-asosiy qatlam; III-yuza qatlam.

Quritish jarayonida faol quriyotgan hashak qatlami (korreksiyalovchi qatlam) havo harakati yo‘nalishi bo‘ylab siljiydi. Quritilayotgan massani issiqlik uzatish intensivligi bug‘lanish zonasini chuqurlashuvi sababli pasayadi. Gigroskopik muvozanatga erishish lahzasi sorbsiya-desorbsiya izotermasidan aniqlanadi (1.1, 1.2, 1.3, 1.4-rasm).

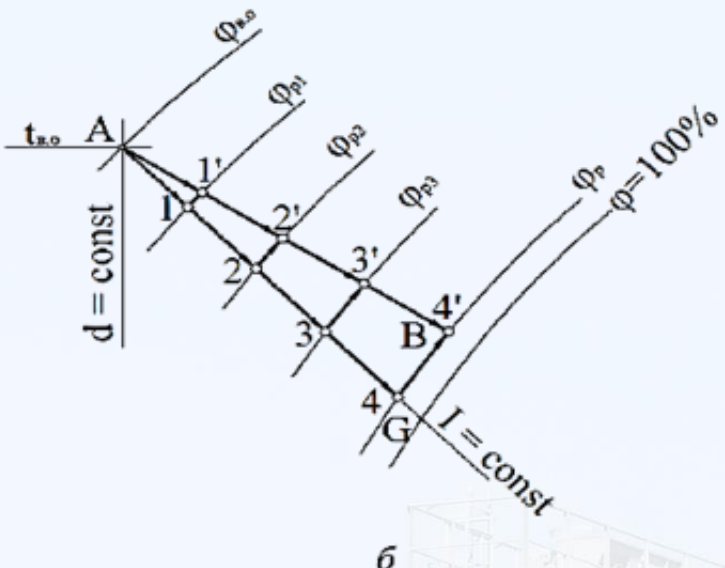


2.18-rasm. Quritilayotgan hashak qatlamida $t_k > t_{v_o}$ da havo holatini o‘zgarishini I-digrammasidagi ko‘rinishi.

Faol quriyotgan hashak qatlamidagi ($w_m > w_r$ da) havo haolatini tahlil qilish uchun (II, 2.17-rasm) havo oqimi yo‘nalishi bo‘ylab uni bir necha hududga bo‘lamiz (2.19 a-rasm). Xashakning issiqlik-fizik xossalariini o‘zgarishini har bir hudud markazida to‘lqinsimon tarzda oshishini tahlil qilsak, fizik issiqliknini echilishi bir tekisda sodir bo‘ladi. Nol hududdan havo doimiy parametrlar bilan o‘tadi (2.19 b-rasm), birinchi hududda φ_{ρ_1} gacha sovutiladi va namlanadi (A11 - jarayoni), ikkinchi hududda- φ_{ρ_2} gacha (A 22jarayoni), uchinchi hududda - φ_{ρ_3} gacha (A 33 jarayoni) va to‘rtinchi hududda - φ_{ρ} gacha soviydi va namlanadi (AGB - jarayoni). Haqiqiy natijali jarayon butun qatlam bo‘ylab quritilayotgan hashakni issiqlik – fizik xossalariini o‘zgarishi bir tekisda amalga oshgani uchun w_k gacha AV – o‘qi bo‘ylab sodir bo‘ladi.

4 w_r	φ_p
3 w_{e3}	φ_{p3}
2 w_{e2}	φ_{p2}
1 w_{e1}	φ_{p1}
0 w_z	$\varphi_{z,0}$

a

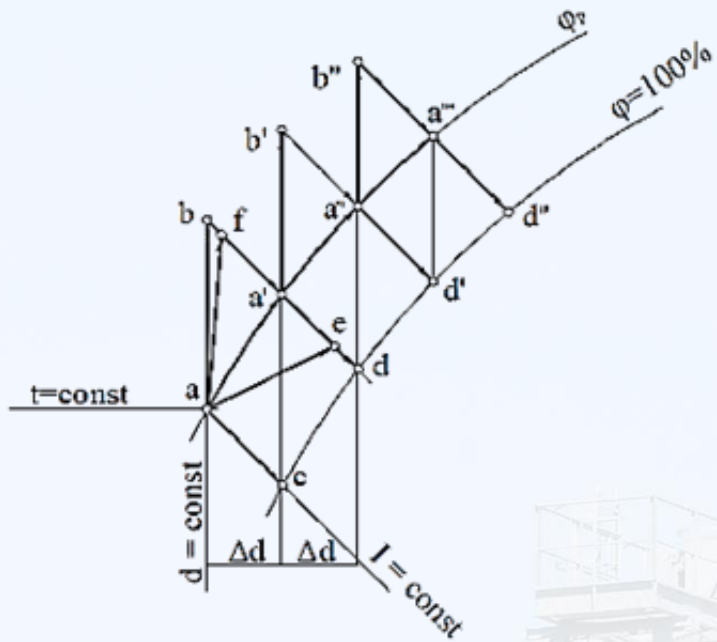


b

2.19-rasm. Qurilayotgan hashak qatlamida $\mathcal{W}_{\varphi\rho} \leq \mathcal{W}_1$ da havo holatini o‘zgarishi: a – qatlamni hududlarga bo‘linishi; b – jarayonlarni I-d-diagrammada ifodalanishi.

$\mathcal{W}_{\varphi\rho} \leq \mathcal{W}_1$ ga ega qurilayotgan hashakni asosiy qatlamidagi namlik almashinishiga oid ishlar psixrometrik nazariyaga asoslangan: jarayonlarning izotermikligi; filtrlanayotgan havo tomonidan $\varphi_\rho = 100\%$ qiymatga erishish imkonini mavjudligi, bunda havo va hashak orasida namlik almashinishi kuzatilmaydi. Lekin bunday yondashuv hashakning biologik xususiyatlarini hisobga olmaydi. Psixrotermik nazariyani amaldagi jarayonlarga sifatiy jihatdan mos kelmasligini ko‘rib chiqamiz.

Havo a – nuqta parametrlariga ega bo‘lib, (2.20-rasm) namlikni assimilyasiyalaydi va o‘zining qurituvchi xossasini nolgacha kamaytiradi (as – gipotetik jarayon). Biologik issiqlik ajralishlar bir vaqt ni o‘zida havoni isitib (ab – gipotetik jarayon), uning $\Delta d = dc - da$ dagi quritish xossasini oshiradi. Natijalovchi jarayon aa havoni nisbiy namligi bo‘yicha I-d-diagrammaning ko‘rib chiqilgan bo‘limida ma’lumot beradi. Keyingi o‘xshash siljishlar nisbiy namlikni $\varphi_\rho = \text{const}$ egri chizig‘ini $\varphi = 100\%$ ekvidistal bo‘lgandagi butun chizig‘ini aa` aa``...aaⁿ topishga imkon beradi.

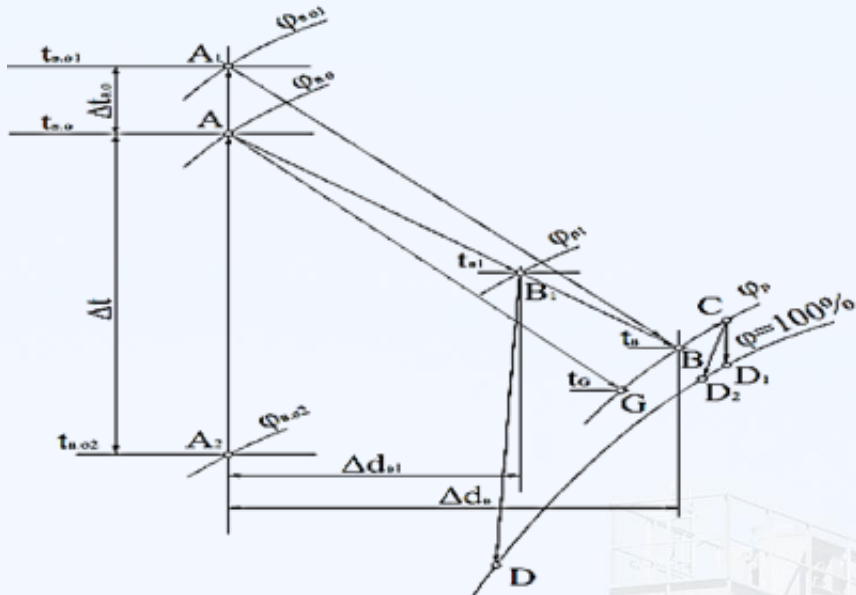


2.20-rasm. Quritilayotgan hashakning asosiy qatlamida havo holatining o‘zgarishi.

Namlikni assimilyasiyasida havoni muvozanat nisbiy namligi $\varphi = 100\%$ chizig‘iga yaqinlashsa ham eta ham olmaydi. Biologik issiqlik ajralishlar doimiy ravishda nisbiy ko‘rsatkichni kamaytiradi. Boshqa tomondan olganda, agar biron-bir sababga ko‘ra havo namligini dastlabki tanqisligi (Δd) ortsa, φ_ρ – qiymati chapga og‘adi, bu esa bug‘lanish intensivligini oshirib, bu tufayli gigroskopik muvozanat tiklanadi, jarayon $\varphi_\rho = \text{const}$ chizig‘iga qaytadi. Quritilayotgan hashakning asosiy qatlamidagi issiqlik-massa alamashinishi dinamikasining fizikaviy mohiyatiga af va ae gipotetik jarayonlari qarshilik qiladi.

Yuqorida aytilganlar 2.18-rasmda BC-jarayoni ko‘rinishida ifoda etilgan va bu holat quritilayotgan biologik materialning asosiy qatlamida namlikni havo tomonidan assimilyasiysi hattoki $\varphi_\rho \rightarrow 100\%$ da ham sodir bo‘lishini isbotlaydi. Quritilayotgan hashakning asosiy qatlamidagi namlikni bug‘lanishini intensivligi (2.18-rasm) ($d_c - d_v$) qiymatini belgilaydi.

Shamollatish uchun mo‘ljallangan havoni Δt da dastlabki sun’iy qizdirilishi (2.21-rasm) qatlamdagи ($t > t_k$) issiqlik-massa almashinish jarayonlarini yo‘nalishini o‘zgartirmaydi.



2.21-rasm. Quritilayotgan hashak qatlamida isitilgan havo parametrlarining o‘zgarishi.

Biologik issiqlik ajralishlar jarayonni izoentalpadan Δt_{BO} –qiymatga chetlatadi. Qizdirilgan havo bilan quritish jarayonini o‘ziga xos xususiyati shundan iboratki, Δt ning yuqori qiymatlarida korreksiyalanuvchi qatlam hashak qatlaming butun balandligi bo‘yicha bo‘lishi mumkin. Bu hodisa shamollatuvchi havo hashak haroratigacha sovushga ($t > t_\kappa$; $\varphi_{\rho 1} < \varphi_\rho >$ ulgurmaganda va o‘zining nam yutishi xossasini ($\Delta d_{B1} < \Delta d_a$) to‘liq namoyon qilmaganda kuzatiladi. Yuza qatlamda V₁D – o‘qining yo‘nalishi bo‘ylab kondensat hosil bo‘lishi mumkin. Agar asosiy qatlam shakllanayotgan bo‘lsa, jarayon ABC yo‘nalishi va keyinchalik yuza qatlamda CD₁ yoki CD₂ bo‘yicha boradi. Hashak uyumidan havo haydashda ayrim o‘simliklarni qatamlarda (korreksiyalovchi va asosiy) qurishining o‘ziga xos farqlari quyidagilar: birinchi holatda issiqlik va namlik oqimlari qarama-qarshi tomonlarga yo‘naltirilgan bo‘ladi, ikkinchi holatda esa bu oqimlar yo‘nalishning bir xilliligi kuzatiladi.

Ochiq havoda ayrim zarrachalarni suvsizlanishi energiya va namlikni issiqlik o‘tkazuvchanlik va diffuziya jarayonlari orqali ko‘chishi bilan izohlanadi; korreksiyalovchi qatlam bug‘lanish effektini hal qiluvchi rolida konvektiv issiqlik – massa ko‘chish bilan xarakterlanadi; asosiy qatlamda havo bir vaqtning o‘zida ham isiydi ham namlanadi, jarayon biologik faol mahsulot qatlamida mikroiqlim

shakllanish parametrlariga, ya’ni havoni nisbiy namligini o‘z-o‘zini boshqarish qonuniyatiga bo‘ysunadi.

Biologik faol sistemalarda namlik almashinish intensivligini hisoblashda namlik potensialini termodinamik asoslash

Namlik potensiali tushunchasidan foydalanishga umumiy yondashuv

Yuqorida qayd etilganidek, barra o‘simlik xom ashyosini saqlash va hashakni quritishdan turlicha pirovard maqsadlar ko‘zda tutiladi: birinchi holatda xom ashyodagi namlikni imkon qadar maksimal darajada saqlab qolish zarur bo‘lsa, ikkinchi holatda namlik ajralishi jarayonlarini jadallashtirish uchun sharoit yaratish kerak bo‘ladi.

Shuningdek namlik almashinishni psixrometrik nazariyasini qo‘llash nomaqbulligi ko‘rsatilib, bu nazariyaga ko‘ra mahsulotga keltirilayotgan aniq issiqlikning hammasi namlikni bug‘lanishi uchun sarflanadi.

(2.50)

$$\text{bu yerda } r = 2500 - \frac{W}{Q/r}, \quad 2,29 \text{ t}.$$

Barra o‘simlik xom ashyosining izotermik bo‘lmagan sharoitlarda yo‘qotilgan namligini asoslash umumlashtirilgan bog‘liqlikga (2.18) bo‘ysunadi. Lekin bu bog‘liqlik ham, uning quyidagi ko‘rinishdagi

$$W = Q/\varepsilon_t = B(1 - \varphi_p) = \text{const} \quad (2.51)$$

ifodasi ham izotermik bo‘lmagan ko‘chishini harakterlantiruvchi kuchini (potensiallar farqi) aniqlashga imkon bermaydi. Bu sharoitlarda havoning nisbiy namliklari orasidagi farq namlik ko‘chishidagi harakatlantiruvchi kuch hisoblanmaydi va mahsulotdagi namlik yo‘qotilishlariga mustaqil tarzda ta’sir etmaydi.

Namlikni ko‘chish potensialini aniqlash masalalariga oid zamonaviy ishlanmalar shu narsani ko‘rsatyaptiki, nostansionar sharoitlarda o‘zaro bog‘langan termo-massa almashinish jarayonlarining umumlashtiruvchi harakatlantiruvchi kuchi bo‘lib fazalarning to‘liq termodinamik potensialining farqi $\Delta\theta$ xizmat qiladi. O‘simlik xom

ashyosini saqlash vasovutish haroratlarini chegarasida havo namligi potensiali qiymatini aniqlash quyidagi qiymat bilan approksimiritsiyalanadi.

$$\theta = a + bt + c\varphi + du + eq_a, \quad (2.52)$$

Bu yerda a, b, c, d, e – koeffitsientlar.

Nurlanish issiqlik almashinuvi ($q_u = 0$) va havo namligini namlik almashinish jarayoniga (u) ta'sirini inobatga olmasak, nam havo va mahsulot yuzasi namligi potensiallari farqi quyidagiga teng:

$$\Delta\theta_k = b(t_{yuza} - t_b) + c(\varphi_{yuza} - \varphi_b). \quad (2.53)$$

Uyumning korreksiyanuvchi qatlamaiga (2.53)-bog'liqligi xos bo'lib, bunda sovutuvchi havo bir vaqtda namlanib (uyumning asosiy qismidagi boshlang'ich nisbiy namlikdan φ_{vo} dan $\varphi_v = \varphi_p$ gacha isitiladi (sovutiladi), demak tegishlicha t_{vo} dan $t_v \approx t_{pov}$ gacha bo'ladi. Korreksiyalovchi qatlama da namlik potensiallarining farqini qiymatining, ya'ni ikkita qiymatning: Δt va $\Delta\varphi$ larning funksiyasi hisoblanadi.

Barra o'simlik xom ashysini saqlashda uning yuzasida bug'lanish zonalarining chuqurlashuvi kuzatilmaydi, yuzadagi havoning nisbiy namligi $\varphi_{yuza} \approx 100\%$ ni (suv bug'ining tarangligi mahsulotning boshlang'ich haroratiga to'g'ri keladi) tashkil etadi. Uyumning asosiy qatlami balandligi bo'yicha $\varphi_v = \varphi_p$ qiymatlarining barqarorligi va o'z-o'zini boshqarishi ko'plab tadqiqotlarda eksperimental yo'l bilan tasdiqlangan. Uyumning asosiy qatlamining butun balandligi bo'yicha sovituvchi havo harakati yo'nalishi bo'ylab ($\varphi_{yuza} = \varphi_p$) lokal qiymatlarini farqlarini tengligi va doimiyligi namlik potensiallarining farqini $\Delta\theta_k$ qiymatini aniqlashda dominant faktor hisoblanadi.

Asosiy qatlamdagagi havo va xom ashyo yuzasidagi haroratlarning farqi ($t_{yuza} - t_v$) eksperimental jihatdan miqdori qayd etilmaydi, chunki qiymati $0,05\dots0,10\ ^\circ\text{C}$ dan yuqori bo'lmaydi. O'simlik xom ashysining asosiy qatlamida ($t_{yuza} - t_v$) qiymatlarini eksperimental yo'l bilan qayd qilishni ishonchli usuli yo'qligi sababli haroratlarning bu farqiga tajribalarda olingan namlik potensiallari farqini qiymatlarini kiritib bo'lmaydi va ularni o'zgarish dinamikasini tahlil qilib bo'lmaydi. SHu bilan bir

vaqtida biologik faol mahsulot yuzasi va qatlam balandligi bo‘ylab havo harorati orasidagi lokal farqlarni mavjudligi inobatga olinib, bular xom ashyo tomonidan aniq issiqlik ajralishlar tufayli kelib chiqib, uyumdagи havoni to‘liq to‘yinishiga imkon bermaydi, namlik almashinish jarayoni hattoki $\varphi_v = 100\%$ da ham davom etadi.

Muhit komponentlari ($t_{yuza} \approx t_v$) haroratlarining lokal qiymatlarini amaldagi tengligi va mahsulot yuzasi va yuzasidan tashqarida ($\Delta\varphi_{yuza} = \varphi_{yuza} - \varphi_v (\varphi_\rho) = \text{const}$) barra o‘simlik xom ashvosining asosiy qatlamiagi havoning nisbiy namliklari orasida doimiy farqlarning mavjudligi saqlanayotgan xom ashyo yuzasi va nam havo orasidagi namlik ko‘chish jarayonlarini hisoblash va tahlil qilishda ularning intensivligini faqatgina bitta qiymat bilan xarakterlashga imkon beradi.

$$\Delta\theta_k = c(\varphi_{yuza} - \varphi_v). \quad (2.54)$$

Shunday qilib barra o‘simlik xom ashvosining asosiy qatlamida namlik almashinish jarayonining harakatlantiruvchi kuchi mahsulot yuzasidagi havo va uyum havosini nisbiy namliklari orasidagi farq orqali ifodalanadi. Mahsulot uyumining asosiy qatlamlaridagi tabiiy yo‘qotilish bo‘yicha olib borilgan eksperimental tadqiqotlar shuni ko‘rsatyaptiki havo harakati yo‘nalishi bo‘ylab lokal qurish darajasi amalda doimiy bo‘lib qoladi $W=J\theta$. Yuqorida keltirilgan eksperimental faktlar va (2.54) ning qo‘shma tahlili har bir turdagи saqlanayotgan mahsulot uyumlarini asosiy qatlamlarining butun balandligi bo‘ylab namlik ko‘chishining farqlaridagi doimiylilik haqida ya’ni namlik potensiallarining farqi doimiyligi ($\Delta\theta_k = \text{const}$) haqida xulosa chiqarishga imkon beradi.

Havo namligining potensiali (tashqi θ_n va ichki θ_v) turli haroratlarda quyidagi bog‘liqlardan aniqlanadi.

$$\theta = -3,81 + 0,195t + 0,164\varphi - 0,0027q_p - 0,035v \quad t \leq -20^{\circ}\text{C}; \quad (2.55)$$

$$\theta = 6,027 + 0,227t + 0,046\varphi - 0,00143q_p - 0,0483v \quad -20 \leq t \leq -10^{\circ}\text{C}; \quad (2.56)$$

$$\theta = 2,86 + 0,219t + 0,0965\varphi - 0,00349q_p - 0,0081v \quad -10 \leq t \leq 0^{\circ}\text{C}; \quad (2.57)$$

$$\theta = -4,01 + 0,448t + 0,169\varphi - 0,00468q_p - 0,0165v \quad 0 \leq t \leq 10^{\circ}\text{C}; \quad (2.58)$$

$$\theta = -13,6 + 1,22t + 0,204\varphi - 0,0026q_p + 0,022v \quad 10 \leq t \leq 20^{\circ}\text{C}, \quad (2.59)$$

bu yerda q_p - quyosh radiatsiyasining farqi; (2.55...2.59) da o‘lchov birligi q_p kkal/(m²soat); V-havo harakatchanligi, m/s.

Mahsulot va havo orasidagi namlik oqimining intensivligi sistema elementlarining namlik potensiallari orasidagi farq bilan aniqlanadi:

$$j_{\theta} = \alpha_{\theta}(\theta_{yuza} - \theta_b) = \alpha_{\theta}\Delta\theta_k. \quad (2.60)$$

Biologik faol mahsulot uyumining asosiy qatlamida issiqlik-massa almashinish jarayonlarini kechishi uchun (2.60)-ni o‘zgartiramiz ($\varphi_{yuza} - \varphi_v(q_p) = \Delta\varphi_{yuza} - v = const$, issiqlik va namlik oqimlarining yo‘nalishini mahsulotdan havo tomon bir xilligi). Namlik almashinish koeffitsientini $\alpha_0 = b\alpha_{tv}$ ($b_1 = const$ – proporsionallik koeffitsienti; α_{tv} - issiqlik almashinish koeffitsienti, o‘z ichiga ham aniq, ham yashirin issiqliknki ko‘chishini oladi) shaklida ifoda qilamiz. Harorat o‘zgarishini $t_n = -1 \dots 5^{\circ}\text{C}$ diapazonida va $\varphi_v \geq 90\%$ da (xatoligi 3 % gacha) havoni nisbiy namligini o‘zgarishini to‘g‘ri chiziq shaklida qabul qilib, $\Delta\varphi_{yuza} - b$ ifodani (2.54-formuladagi) $\Delta t_{yuza} - b$ ifodasiga almashtiramiz. Saqlanayotgan mahsulotning asosiy qatlamida va havoda orasida kelib chiqqan haroratlarning yakuniy farqi $\Delta t_{yuza-b} = t_k(x, \infty) - t_b(x, \infty)$ doimiy bo‘ladi:

$$\Delta t_{yuza} = q_v / \alpha_{tv} \approx 0,05^{\circ}\text{C} = const. \quad (2.61)$$

Ifodalar almashtirilgach, quyidagi ifoda kelib chiqadi:

$$\Delta\theta_k = c(\varphi_{yuza} - \varphi_b) \approx b_2(t_{yuza} - t_b) = b_2 q_v / \alpha_{tv}, \quad (2.62)$$

bu yerda $b_2 = const$ – proporsionallik koeffitsienti.

(2.60)-dagi α_0 va $\Delta\theta_k$ qiymatlarini almashtirib, quyidagi ifodani hosil qilamiz:

$$j_0 = \alpha_0 \Delta \theta_k = b_1 \alpha_{tv} b_2 q_v / \alpha_{tv} = b_3 q_v, \quad (2.63)$$

bu yerda $b_3 = b_1 b_2$ – proporsionallik koeffitsienti.

(2.63) – bog‘liqlikdan ko‘rinib turibdiki, uyumning asosiy qatlamicagi namlik yo‘qotilishlari solishtirma biologik issiqlik ajralishlar intensivligiga proporsional bo‘ladi. Bu issiqlik va massa ko‘chishi potensiallarini topishga umumiyl yondoshgan holda hosil bo‘lgan (2.18) – bog‘liqlikni fizikaviy ishonchlilagini tasdiqlaydi.

Namlik oqimlarini (2.60) va (2.18) bo‘yicha tenglashtirib, quyidagini hosil qilamiz:

$$\alpha_0 \Delta \theta_k = q_v / \varepsilon_t. \quad (2.64)$$

Yuqorida ko‘rsatilgan uyumning asosiy qatlaming butun balandligi bo‘ylab q_v / ε_t va $\Delta \theta_k$ – qiymatlarining doimiyligi mahsulotni sovutishni statsionar rejimida namlik almashinish koeffitsientini doimiyligini keltirib chiqaradi.

Namlik potensiali asosida barra o‘simlik xom ashvosining namlik yo‘qotilishlarini hisoblash metodikasi

Barra o‘simlik xom ashvosining yuzasi θ_{yuza} va uyum hajmidagi θ_v , havoning namlik potensialari $t=0\dots10$ °C haroratlar diapazonida (2.58) bo‘yicha aniqlanadi. Issiqlik-fizik modelni hisobga olgan holda $\Delta \theta_k = \theta_{yuza} - \theta_v$ qiymati quyidagiga teng.

$$\Delta \theta_k = 0,048(t_{yuza} - t_B) + 0,169(\varphi_{yuza} - \varphi_B). \quad (2.65)$$

Uyumning asosiy qatlami. Barra o‘simlik xom ashvoi uyumining asosiy qatlamida $\Delta \theta_k$ qiymatlarini hisoblashda qatlam hajmidagi va yuzasidagi havo haroratlarining farqi hisobiga amalga oshuvchi namlik ko‘chishi hisobga olinmaydi.

Kartoshka hosilini saqlashning eng maqbul rejimi $t_b = 2\dots4$ °C, $\varphi = 90\dots95$ % hisoblanadi. Saqlashni bu rejimini ta’minlash uchun (2.65) ga ko‘ra havoning nisbiy

namligi va haroratining turli variatsiyalarida namlik potensiali farqini qiymatlari teng bo‘ladi:

$$\begin{aligned}\Delta\theta_k &= \theta_{yuza}(4^{\circ}\text{C}, 100\%) - \theta_b(4^{\circ}\text{C}, 95\%) = 0,845^{\circ}\text{B}; \\ \Delta\theta_k &= \theta_{yuza}(2^{\circ}\text{C}, 100\%) - \theta_b(2^{\circ}\text{C}, 95\%) = 0,845^{\circ}\text{B}; \\ \Delta\theta_k &= \theta_{yuza}(4^{\circ}\text{C}, 100\%) - \theta_b(4^{\circ}\text{C}, 90\%) = 1,69^{\circ}\text{B}.\end{aligned}\quad (2.66)$$

Sabzi va lavlagi ildizmevalari uchun saqlashning optimal sharoitlari $t_b=0\dots1^{\circ}\text{C}$, $\varphi_v=90\dots95\%$ ni tashkil etadi. Bunda $(\varphi_{yuza} - \varphi_n) = 10\%$ da $\Delta\theta_k = 1,69^{\circ}\text{B}$ ni, $\Delta\varphi = 5\%$ da $\Delta\theta_k = 0,845^{\circ}\text{B}$ ni tashkil etadi. Karam boshlari uyumida φ_v ning 97 % gacha oshishi $\Delta\theta_R$ qiymatini $0,169 \times (100-97) = 0,507^{\circ}\text{B}$ gacha kamaytiradi.

Boshqa tavsiya qilinayotgan yoki amalda qo‘llanilayotgan barra o‘simlik xom ashyosini saqlash rejimlarida namlik potensiallari farqining qiymati $\Delta\theta_k$ (2.65) – bo‘yicha aniqlanadi.

Issiqlik va massa ko‘chishining statsionar rejimi namlik almashinish koeffitsientining α_θ doimiyligi bilan xarakterlanadi. Quyidagi jadvalda (2.2) α_θ ning (2.64) – bo‘yicha aniqlangan aniq qiymatlari keltirilgan.

2.2-jadval

α_θ koeffitsientining hisoblangan qiymatlari

Mahsulot	$tsr, ^{\circ}\text{C}$	$\varphi r, \%$	$\varepsilon t \cdot 103, kDj/g$	$qv, kDj/(m^3 s)$	$W, g/(m^3 s)$	$\Delta\theta k, ^{\circ}\text{B}$	$\alpha\theta, g/(m^3 s^{\circ}\text{V})$	$\alpha\theta m, g/(t ch^{\circ}\text{B})$
Kartoshka	3	95	5944	43,5	7,32	0,845	8,66	12,37
Karam	0	97	6385	15,4	2,41	0,507	4,75	11,60
Lavlagi	0,5	95	6312	22,2	3,19	0,845	3,78	6,10
Sabzi	0,5	95	6312	30,6	3,73	0,845	4,41	7,10

2.2-jadvalda keltirilgan massa ko‘chish koeffitsientlarining α_0 va α_{θ_m} hisoblangan qiymatlarini o‘simlik kelib chiqishiga ega barra xom ashyoni har bir turi uchun o‘rtachasi qabul qilinadi. α_0 – koeffitsienti namlik potensiallarining farqi 1^0V bo‘lganda bir soat davomida uyumning 1 m^3 yuzasidan bug‘lanayotgan namlik miqdorini qiymatini, α_{θ_m} – koeffitsienti esa xuddi shu sharoitlarda 1 t mahsulot yuzasidan bug‘langan namlik miqdorini bildiradi.

Mahsulot uyumining korreksiyalovchi qatlami. Uyumning korreksiyalovchi qatlaming balandligi bo‘ylab mahsulot va havo haroratlari tenglashuvi amalga oshadi, havoning nisbiy namligi uyumga kirishdagi φ_{vo} - qiymatdan muvozanat φ_p qiymatgacha ko‘tariladi. Korreksiyalovchi qatlamda havoning nisbiy namlik ko‘rsatkichi doimiy bo‘lmasligi tufayli issiqlik-namlik munosabatlarini lokal qiymati ε_t ham doimiy bo‘lmaydi va O/ε_t bog‘liqligi namlik yo‘qotishlarini hisoblashda e’tiborga olinmaydi. Namlik yo‘qotishlarni hisoblash asosiga namlik potensiallarining farqi $\Delta\theta_k$ mazkur kamchilikni bartaraf etib, korreksiyalovchi qatlamda mahsulot uyumi balandligini belgilovchi barcha asosiy faktorlarni hisobga olishga imkon beradi. $\Delta\theta_k$ qiymati (2.65) – bo‘yicha aniqlanadi.

Tabiiy konveksiya siklida (TK) havo harakatchanligining amalda to‘liq bo‘lmasligi ($u \ll 0,01 \text{ m/s}$) mahsulot uyumining butun balandligi $t_{yuza} \approx b$; $\varphi_{yuza} \approx \varphi_1$ bo‘ylab va korreksiyalovchi qatlamdagи namlikni qo‘srimcha yo‘qotishlarini hisobga olmaslikga imkon beradi. Shuning uchun TK – siklida namlik potensiallarining farqi $\Delta\theta_k$ butun uyum uchun (2.66) – bo‘yicha aniqlanadi. Muhitning boshqa aniq parametrlarining mavjudligida ($t_{yuza} \neq b$) (2.65) turidagi bog‘liqliklardan foydalanilib, har bir holat uchun $\theta_{yuza} = f(t_{yuza}, \varphi_{yuza})$ va $\theta_v = f(t_v, \varphi_V)$ alohida topiladi.

T.K. siklida (2.65) quyidagi ko‘rinishga ega.

$$\Delta\theta_k^{TK} = 0,169(100 - \varphi_p). \quad (2.67)$$

Bir sutkada davomida TK sikli ulushi quyidagicha

$$K_b^{TK} = (1 - K_b) = (24 - \tau)/24, \quad (2.68)$$

bu yerda τ – faol shamollatish tizimining ish vaqtisi, soat/sutka.

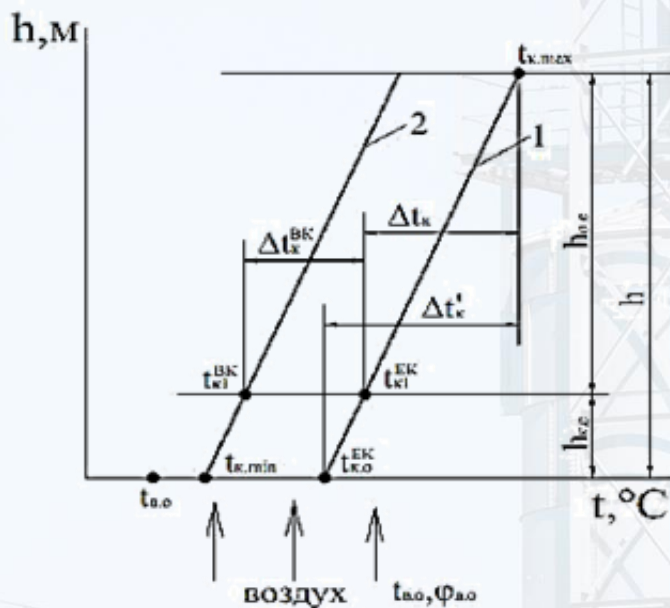
Majburiy konveksiya (MK) sikli davomiyligi $K_B = \tau/24$ bo‘lib, buning davomida barra o‘simlik xom ashyo yuzasida harorat t_{yuza} korreksiyalovchi qatlama balandligi bo‘ylab o‘zgaruvchan bo‘ladi va umumiy holatda qatlama yuqori qismidan quyi qismi tomon t dan $t_{k,min}$ gacha o‘zgaradi (2.22-rasm). TK – sikli so‘ngida t_{kl} maksimal qiymatga ega bo‘ladi: $t_{kl} = t - \Delta t_k$. Uyuming asosiy qatlami balandligi h bo‘ylab harorat gradientasining qiymatini kartoshka va lavlagi uchun quyidagicha bo‘ladi:

$$\Delta t_k \cong 0,65\sqrt{q_v h};$$

- kartoshka va lavlagi uyumlari uchun (2.69)

$$\Delta t_k \cong 0,55\sqrt{q_v h}.$$

- oq bosh karam uyumi uchun
(2.70)



2.22-rasm. Uyuming korreksiyalovchi qatlamidagi $\Delta\theta_k$ – aniqlash uchun: 1 va 2 – haroratlarning boshlang‘ich va yakuniy taqsimlanishi.

Korreksiyalovchi qatlamning yuqori qismidagi minimal harorat MK sikli yakunida kuzatiladi: $t_{K1}^{MK} = t_{kl}^{EK} - \Delta t_{kl}^{MK}$. Tugunaklar uyumi uchun Δt_{kl}^{MK} – qiymati quyidagi nisbatdan aniqlanadi [18]:

$$\Delta t_k / \Delta \tau = -0,49 \cdot 10^{-3} bL, \quad (2.71)$$

bu yerda b – uyum balandligi bo‘ylab harorat gradientasi, s/m

MK – siklida korreksiyalovchi qatlamning quyi qismlarining harorati $t_{TO}^{TK} = (t_{k,max} - \Delta t_k^1)$ dan biron bir turdag'i xom ashyoni saqlash davri uchun minimal bo'lgan $t_{k,min}$ gacha pasayadi. Δt_k qiymati uyumning butun h balandligi uchun aniqlanadi.

MK – sikli davomida korreksiyalovchi qatlamning yuqori va quyi qismlaridagi o'rtacha harorat: $\Delta t_{kl}^{o,rt} = t_{k,max} - \Delta t_k - 0,5\Delta t_k^{MK}, t_{ko}^{o,rt} = 0,5(t_{k,max} + t_{k,min} - \Delta t_k)$.

MK sikli uchun korreksiyalovchi qatlamdagi mahsulotning o'rtacha harorati $t_{kl}^{o,rt}$ va $t_{ko}^{o,rt}$ orasidagi o'rtacha arifmetik qiymat holida aniqlanadi:

$$t_{B_{KC}}^{o,rt} = 0,75t_{k,max} + 0,25(t_{k,min}^{MK} - \Delta t_k - \Delta t_k') - 0,5\Delta t_k. \quad (2.72)$$

MK – sikli davomida korreksiyalovchi qatlamdagi havo harorati harakatlanish yo'nalishi bo'y lab kirishdagi haroratdan t_{vo} dan $t_{kl}^{o,rt}$ gacha o'zgaradi. U holda butun qatlam bo'y lab o'rtacha harorat quyidagini tashkil etadi:

$$t_{B_{KC}}^{o,rt} = (t_{BO} + t_{k,max} - \Delta t_k^{MK} - 0,5\Delta t_k) / 2. \quad (2.73)$$

Mahsulot yuzasi va korreksiyalovchi qatlamdagi havo haroratlarining MS – sikli davomida o'rtacha farqi (2.72) dan (2.73) – qiymatini ayrish orqali aniqlanadi.

$$\Delta t_{KC}^{MK} = 0,25(t_{k,max} + t_{k,min} - \Delta t_k') - 0,5\Delta t_{BO}. \quad (2.74)$$

Korreksiyalovchi qatlamdagi havoning nisbiy namligi to'g'ri chiziq bo'y lab o'zgarishini birinchi yaqinlashuvini qabul qilganimizda, uning qatlamdagi o'rtacha tanqisligi quyidagicha bo'ladi:

$$\Delta\varphi_{B_{KC}} = 100 - (\varphi_{BO} + \varphi_p) / 2. \quad (2.75)$$

Barra o'simlik xom ashyosi uyumining butun hajmi V_{um} asosiy V_{as} va korreksiyalovchi V_{kc} qatlamlar hajmlarini o'z ichiga oladi.

$V_{um} = V_{ac} + V_{kc}$ (2.63), (2.67) va (2.68) larning hamkor yechimi TK-sikli davrida mahsulot tomonidan yo'qotilayotgan namlik qiymatini ifodalaydi:

$$j_{\theta}^{TK} = 0,169\alpha_{\theta}V_{um}(100 - \varphi_p)(1 - K_B)24. \quad (2.76)$$

$$j_{\theta_{oc}}^{MK} = 0,169 \alpha_{\theta} V_{oc} (100 - \varphi_p) K_B 24; \quad (2.77)$$

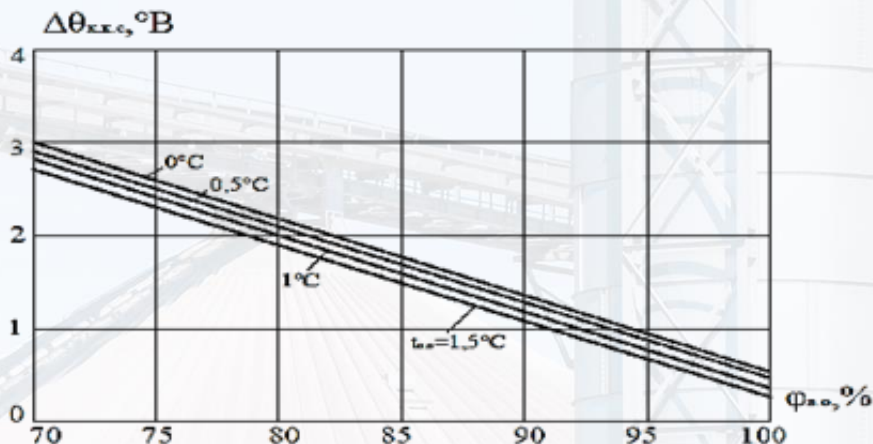
$$j_{\theta_{kc}}^{MK} = \alpha_{\theta} V_{kc} (0,448 \Delta t_{kc}^{MK} + 0,169 \Delta \varphi_{B_{kc}}) K_B 24. \quad (2.78)$$

Sutka davomida barra o'simlik xom ashyosining umumiy qurishi (2.7.6)... (2.78) dagi yo'qotishlarni qo'yish orqali aniqlanadi.

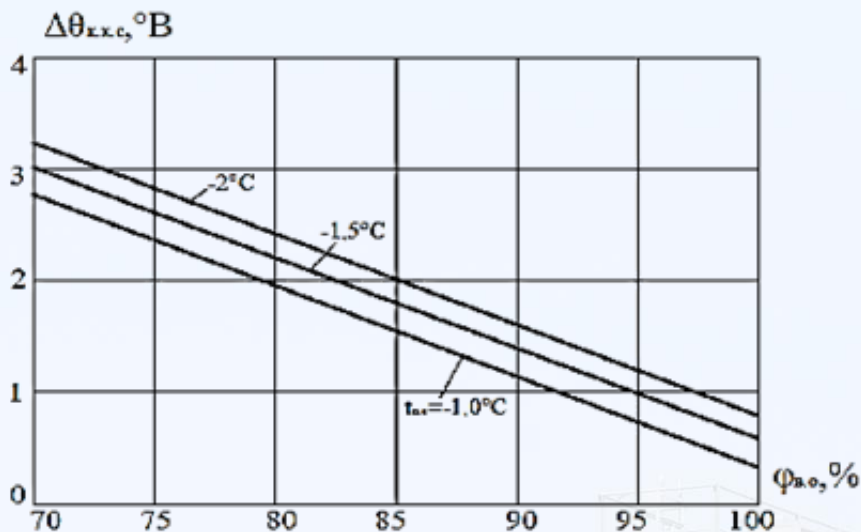
$$j_{\theta_{umum}} = j_{\theta}^{TK} + j_{\theta_{oc}}^{MK} + j_{\theta_{kc}}^{MK}. \quad (2.79)$$

Mahsulot yuzasi harorati, korreksiyalovchi qatlam balandligi bo'ylab harorat va nisbiy namlikni to'g'ri chiziq bo'ylab o'zgarishlarini qabul qilsak, korreksiyalovchi qatlam balandligining doimiyligi ($h_{kc} = const$) (2.78) – bo'yicha $J_{\theta_{ks}}^{mk}$ aniqlashda 20 % gacha noaniqliklarga olib keladi. Lekin korreksiyalovchi qatlam uyumning 15 % gacha bo'lgan hajmini egallaydi. SHuning uchun (2.79) bo'yicha umumiy yo'qotishlarni $J_{\theta_{um}}$ aniqlashdagi noaniqliklar yuqoridagilarni hisobga olgan holda 5...8 % dan oshmaydi.

2.23-rasmida kartoshkaning korreksiyalovchi qatlamida namlik potensiallarini balandligi $h=3,0$ m va $q_v=12$ Bm/m³=17 Bm/m.da $t_{(k,max)}=5$ °C $t_{(k,min)}=5$ °C $t_{(k,min)}=2$ °C $t_{vo}=0,0; 0,5; 1,0$ va $1,5$ °Cda kelayotgan havoning nisbiy namliligiga nisbatan hisoblangan qiymatlari (2.78-dagi qiymatlar qavs ichida) keltirilgan. $t_{vo}=-2,0-1,5$ va $1,0$ °C da; $h=2,0$ m, $q_v=4,2$ Bm/m³≈11 Vt/t, $t_{(k,max)}=1,0$ °C, $t_{kmin}=1,0$ °C da shu kabi o'xshash ma'lumotlar karam uyumlarini korreksiyalovchi qatlamlari uchun ham olingan.



2.23-rasm. Tugunklarni korreksiyalovchi qatlamida $\Delta\theta_{k,kc}$ – qiymatlarini havoning boshlang'ich parametrlariga bog'liqligi.



2.24-rasm. Oq bosh karam uyumlarining korreksiyalovchi qatlamida $\Delta\theta_{k.kc}$ – qiymatlarining havoning boshlang‘ich parametrlariga bog‘liqligi.

Namlik potensiali asosida barra o‘simlik xom ashysosi tomonidan namlik yo‘qotishlarini hisoblashni umumlashtirilgan metodikasi saqlash jarayonining har qanday harorat – namlik sharoitlarida va kelayotgan havo haroratining har qanday nisbatlarida qo‘llanilishi mumkin.

Namlik potensiali nazariyasi asosida kartoshka tugunaklari tomonidan namlik yo‘qotishlarini hisoblashga doir misol:

Boshlang‘ich ma’lumotlar. Kartoshka saqlash uchun mo‘ljallangan ombor sig‘imi $G_p = 1000m$, uyum balandligi $h = 3,0 m$, havoning solishtirma hajmi $L_p = 60m^3/(m^3.soat)$, havoning muvozanat nisbiy namligi $\varphi_p = 97,5 \%$, kelayotgan havo harorati $t_{vo}=1,0 {}^\circ C$. Saqlashning asosiy davrida ventilyatsiya tizimidan foydalanish koeffitsienti $K_v = 0,16 (\Delta\tau_v \approx 3,5 \dots 4,0 soat/sut)$. Tabiiy konveksiya siklining davomiyligi (2.68) $K_v^{TK} = 1 - K_v = \frac{24 - \Delta\tau_v}{24} = 0,84, \Delta\tau_v^{tk} \approx 20 soat$.

Tugunaklar uyumi tomonidan TK-sharoitida namlik yo‘qotilishlari hisobi (2.76) bo‘yicha: $f_\theta^{TK} = 0,169 \cdot a_\theta \cdot V_{um} (100 - \varphi_p) - (1 - K_v) \cdot 24$

$a_\theta = 8,66 g/(m^3 soat^V)$ koeffitsienti 2.2-jadvalga ko‘ra qabul qilinadi. Uyumanning umumiyligi $V_{um} = G_p/P_H = 1000/0,68 = 1470 m^3$.

$$J_\theta^{TK} = 0,169 \cdot 8,66 \cdot 10^{-3} \cdot 1470 \cdot (100 - 97,5) \cdot (1 - 0,16) \cdot 24 = 107,6 kg/sut$$

Majburiy konveksiya siklida ajralayotgan namlik miqdori uyumning asosiy va korreksiyalovchi qatlamlari uchun alohida hisoblanadi. Korreksiyalovchi qatlam balandligi uyumning umumiyligi

balandligini 10 % ni tashkil qilganida uning hajmi $V_{kc} = 0,1 \cdot 1470 = 147 m^3$ ni tashkil etadi. Bu holda asosiy qatlam hajmi $V_{ac} = 1470 - 147 = 1323 m^3$

$$\text{Asosiy qatlam uchun (2.77) } - \text{ bo'yicha } J_{\theta as}^{mk} = 0,169 \cdot \alpha_\theta \cdot (100 - \varphi_\rho) \cdot K_v \cdot 24 = 0,169 \cdot 8,66 \cdot 10^{-3} \cdot 1323 \cdot (100 - 97,5) \cdot 0,16 \cdot 24 = 18,5 \text{ kg/sut}$$

(2.78) va 2.23-rasm bo'yicha korreksiyalovchi qatlam uchun

$$J_{\theta ks}^{MK} = \alpha_o \cdot 10^{-3} V_{kc} \cdot \Delta \theta_{k \cdot kq} V_B \cdot 24 = 8,66 \cdot 10^{-3} \cdot 147 \cdot 0,5 \cdot 0,16 \cdot 24 = 2,4 \text{ kg/sut}$$

Bir sutka davomida namlikning umumiy yo'qotishlari ($0,1285/1000 \cdot 100\% = 0,01285\%$) oy davomida esa $0,01285 \cdot 30 = 0,386\%$. Taqqoslash uchun, sun'iy sovutish tizimiga ega bo'lмаган statsionar saqlash omborlarida saqlashni asosiy davrida kartoshka tugunaklarining tabiiy yo'qotishlarining ruxsat etilgan me'yorlari quyidagicha : dekabr oyi uchun -0,5 %; yanvar oyi uchun - 0,3 %; fevral oyi uchun - 0,3...0,5 %; mart oyi uchun - 0,5 %; aprel oyi uchun - 0,9...1,0 %.

Quritilayotgan hashak qatlami uyumida namlik potensiali asosida namlik almashinish intensivligini hisoblash metodikasi

Umumiy holatda quritilayotgan hashak uyumidagi namlik yo'qotishining intensivligi (2.60) – bo'yicha aniqlanadi. Havo namligining potensiali uning harorati va nisbiy namligidan kelib chiqib (2.58) yoki (2.59) nisbatlari bo'yicha topiladi. Faol quritilayotgan hashak qatlamanidan ajralayotgan havo namligining potensiali (1,2.17-rasm) uning V – nuqtadagi harorati (2.18-rasm) bo'yicha, (2.49) – bo'yicha aniqlanadigan biologik issiqlik ajralishlar hisobiga qizishni va desorbsiya egri chiziqlarida maysa namligiga to'g'ri keluvchi φ_ρ hisobga olingan holda aniqlanadi. Quritilayotgan hashak yuzasidagi havo namligining potensiali θ_{yuza} massa namligiga bog'liq:

$$W_{xash} > W_{rda} \quad \varphi_{yuza} \approx 100\%; \quad W_{hash} < W_r \quad \text{da} \quad \varphi_{yuza} = \varphi_\rho \text{ bo'ladi.}$$

Hashakning korreksiyalovchi qatlami yuzasining joriy harorati quyidagi nisbat bo'yicha aniqlanadi (rasm 2.18):

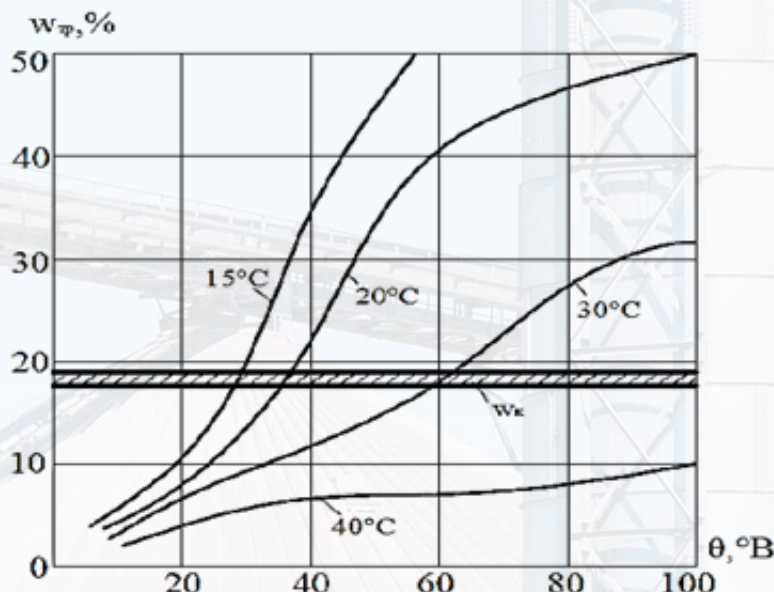
$$t_k = t_G + (t_A - t_G + \Delta t_{bo}) x / x_k. \quad (2.80)$$

Asosiy qatlamda (II, 2.17-rasm) quritilayotgan hashak yuzasi namligi va nam havo potensiallarining farqi $\Delta \theta_k$ qatlamdagи havoning nisbiy namligi ($\varphi_\rho = \varphi_v =$

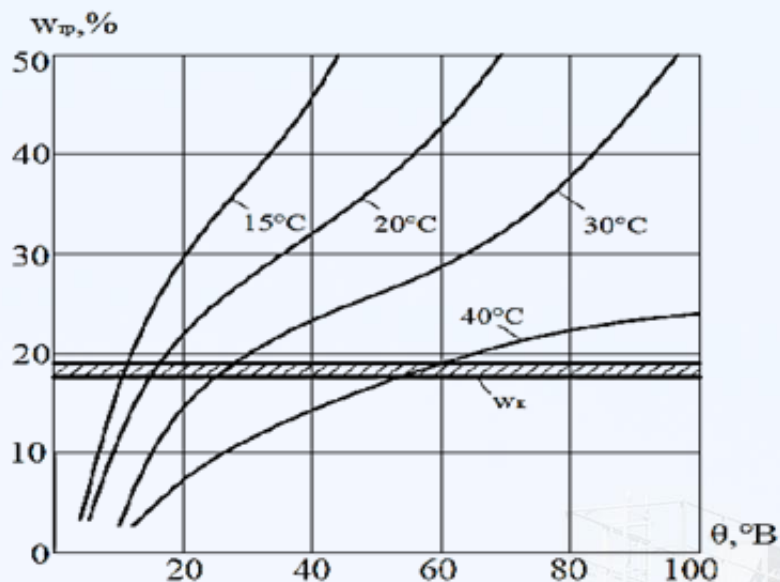
const) va havo va mahsulot yuzasi haroratlarining farqi ($\frac{q_v}{d_{tv}} = const$, $2.61 - formula$) doimiy bo‘lganligi uchun ham doimiy va o‘zgarmas bo‘ladi. Yuqorida keltirilgan quritilayotgan hashak va barra o‘simlik xom ashyosi uyumlarining asosiy qatlamlarida kechadigan issiqlik-massa almashinishing issiqlik-fizik jarayonlari ham yuqoridagilarni tasdiqlaydi.

Farg‘ona politexnika instituti va “Real-Logistik” MCHJda barra o‘simlik xom ashyosi va hashakni quritish bo‘yicha o‘tkazilgan eksperimental, laboratoriya va natura tadqiqotlari asosida qatlamdagи havo namligi potensiallarining qiymatlari olingan. θ -qiymatlarini aniqlash metodikasi manbalarda keltirilgan. Boshoqli va dukkakli maysalarni desorbsiya egri chiziqlari va namlik potensialini havoning nisbiy namligiga bog‘liqligini hisobga olgan holda 15,20,30 va 40 °C haroratlar uchun $W_{hash} - \theta^V$ koordinatalari uchun desorbsiya egri chiziqlari qurildi (2.25, 2.26-rasmlar). Ular hashak qatlamini quritish intensivligini hisoblashda boshlang‘ich xarakterlovchi havo namligi potensiallarining qiymatlari 2.3-jadvalda keltirilgan.

Quritilayotgan hashak tomonidan konditsion namlikga erishish somon uchun $W_k = 17 \dots 19\%$ qatlamdan chiqayotgan havo namligi potensiali θ qiymati bilan fiksatsiyalanadi (2.25, 2.26-rasmlar). Quritish jarayonini yakunlanishini xarakterlovchi havo namligi potensiallarining qiymatlari 2.3-jadvalda keltirilgan.



2.25-rasm. $W_{hash} - \theta$ koordinatalarida boshoqlilarning desorbsiyasi egri chiziqlari.



2.26-rasm. $W_{\text{hash}} - \theta$ koordinatalarida dukkanlilarning desorbsiya egri chiziqlari.

2.3-jadval

Hashak qatlamidan ko‘tarilayotgan havo namligi potensiallarining minimal qiymatlari

Havo harorati, ${}^{\circ}\text{C}$	Namlik potensiali, 0^0V	
	Boshoqli (o‘tloq) maysa	Dukkanli maysa (yo‘ng‘ichqa)
15	27...28	9...9,5
20	36...37	16...17
30	60	31...32
40	-	62...64

Asosiy qatlam. Asosiy qatlamda hashak quritishni issiqlik-fizik modeliga ko‘ra $\varphi_\rho = \text{const}$, $w_{\text{hash}} > w_r$ namlik almashinish bug‘lanish hududini chuqurlashtirmay $\varphi_{yuz} \approx 100 \%$ sodir bo‘ladi. Havo bilan namlik almashinishda ishtirok etuvchi xashak yuzasining ulushi barra o‘simlik xom ashyosidan ko‘p bo‘lib, misol uchun dag‘al choy barglari uchun $E_u = 0,42 \text{ ni}$, mayin choy barglari esa uchun esa $E_u =$

0,58 ni tashkil etadi. SHuning uchun ($t_{yuza} - t_x$) haroratlar farqi kartoshka va sabzavotlar uyumlariga nisbatan hashak uyumida bug‘lanuvchi sovutish samaradorligi yuqoriligi tufayli kichik bo‘ladi. Qatlam balandligi bo‘ylab t_{yuza} va t_v larning proporsional oshishi $\Delta\theta_T$ – qiymatini o‘zgartirmaydi. Havo va maysa yuzasi orasidagi namlik potensiallarining farqi (2.53) va (2.59) ga asosan quyidagiga teng:

$$\Delta\theta = 0,204(100 - \varphi_p). \quad (2.81)$$

Namligi gigroskopik namlikdan yuqori bo‘lgan xashakdan ajralayotgan issiqliklarni aniqlash uchun amalda zarur bo‘lgan qiymatlar doirasida $w_{hash} = 30 \dots 40\%$; $\frac{\Delta t}{\Delta \tau} \approx 0,8 C$ $\Delta t/\Delta\tau$ ning eksperimental qiymatlarini o‘rtachagacha me’yorlashtiramiz (1.5-rasm). Bunday namlikga ega maysaning barg va novdalarning solishtirma issiqlik sig‘imi $C_{hash} = 1,26 \text{ kDj}/(\text{kg}\text{`C})$ ga teng (1.8-rasm). Maysadan ajralayotgan solishtirma aniq issiqlik $q_{pr} = 10^3 C_{hash} \Delta\tau = 10^3 \cdot 1,26 \cdot 0,8 = 1000 \text{ kDj}/(\text{T.soat}) = 278 \text{ Bm/soatni tashkil qiladi}.$

Nam havoning termodinamik xossalari keltirilgan jadvallar va ularga matematik ishlov berish asosida $t=15 \dots 35 {}^\circ\text{C}$ haroratlar diapazonida issiqlik-namlik nisbatining bog‘liqligi olingan.

$$\varepsilon_t = 6385 - 88t. \quad (2.82)$$

Xashakdan bug‘lanayotgan namlikning umumiyligini miqdori:

$$W = q_{hash} G_{hash} / (6385 - 88t). \quad (2.83)$$

Quritilayotgan hashakning asosiy qatlamiy namlik berish koeffitsientining qiymati $\alpha_\theta, \text{kg}/(\text{soat}\cdot\text{`V})$, (2.81) va (2.83)-larni hisobga olgan holda quyidagi tenglamadan aniqlanadi:

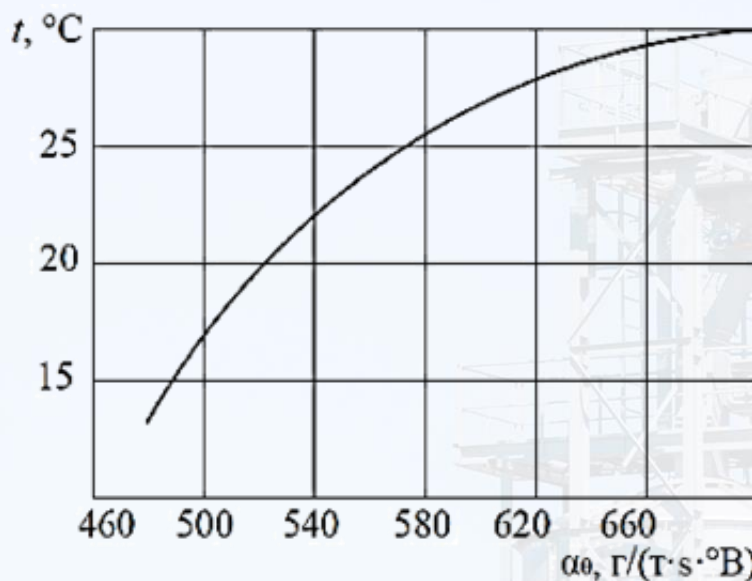
$$\alpha_\theta = W / \Delta\theta_T = q_{hash} G_{hash} / 0,204(100 - \varphi_p)(6385 - 88t). \quad (2.84)$$

$\varphi_p = 98\%$ da (2.84) – bo‘yicha hisoblar natijasi 2.4-jadvalda jamlangan.

Hashak qatlamining massaviy zichligi $\rho_n = 110 \text{ kg/m}^3$ da koeffitsient $a_\theta = 0,11 a_\theta$ bo‘ladi. $\alpha_\theta = f(t)$ ning grafik bog‘liqligi 2.27-rasmda keltirilgan. a_θ -qiymatlari quritish davri va maysalarning botanik navlari bo‘yicha maqbullashtirilgan.

α_θ va a'_θ koeffitsientlarining qiymatlari

Koeffitsientlar	$t = 15^\circ\text{C}$	$t = 20^\circ\text{C}$	$t = 25^\circ\text{C}$	$t = 30^\circ\text{C}$
ϵ_t , kDj/kg ,	5065	4625	4185	3481
$\text{kg}/(\text{t} \cdot \text{s} \cdot {}^\circ\text{V})$,	0,484	0,530	0,580	0,704
$\text{kg}/(\text{m}^3 \cdot \text{s} \cdot {}^\circ\text{V})$	0,0532	0,0583	0,0640	0,0774

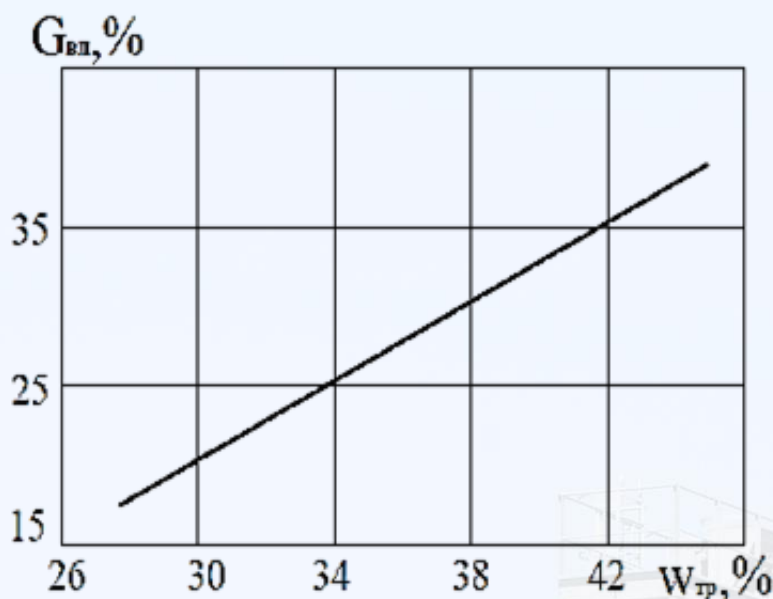
2.27-rasm. Quritilayotgan hashakning asosiy qatlamidagi α_θ - koeffitsientlarining qiymati

Faol quritilayotgan hashak qatlami (korreksiyalovchi qatlam). Bu qatlama (2.59) ga asosan:

$$\Delta\theta_T = 1,22(t_{yuz} - t_B) + 0,204(\varphi_{yuz} - \varphi_p). \quad (2.85)$$

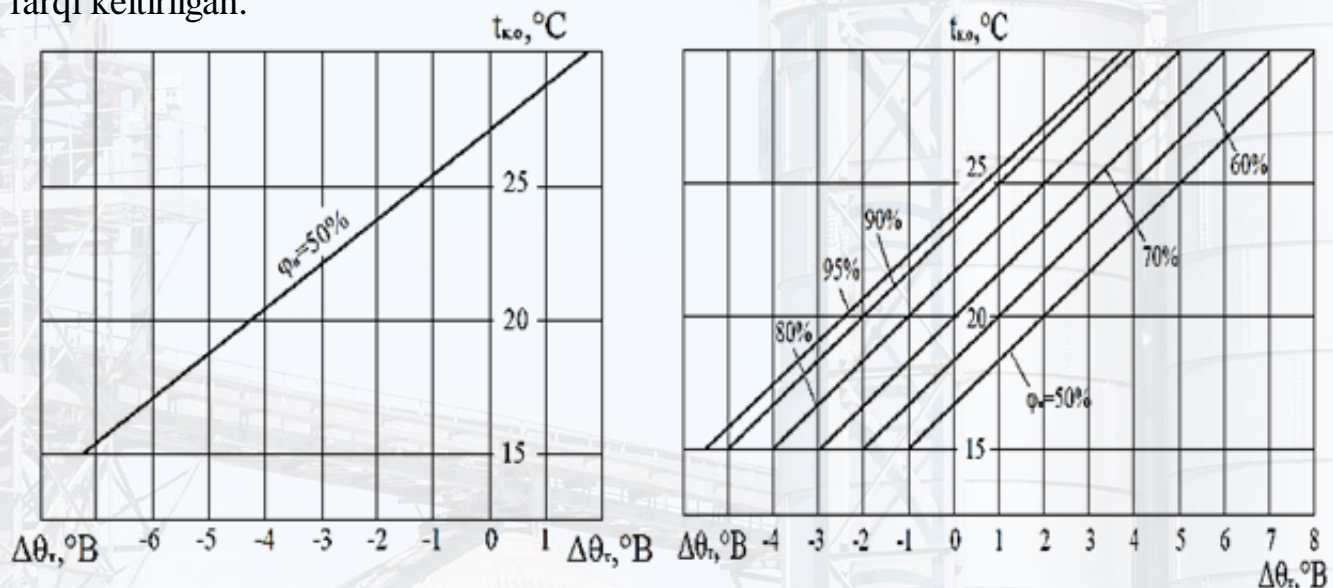
O‘rilgan maysaning biologik issiqligi hisobiga bug‘lanayotgan namlikning eksperimental bog‘liqligidan (2.28-rasm) ko‘rinib turibdiki, maysaning boshlang‘ich namligi $25 < w_{hash} < 45\%$ ($w_{hash}^{o'rt} = 35\%$) bo‘lganda suvning yaqin 25 % nafas olish issiqligi hisobiga ajralib, buni amaliy hisoblarda e’tiborga olish kerak.

Korreksiyalovchi va asosiy qatlamlarda quritilayotgan hashak va purkalayotgan havo namlik potensiallarining farqi $\Delta\theta$ qiymatlarini hisoblash uslubiyoti tegishli manbalarda keltirilgan. Amaliy muhandislik hisoblari uchun $\Delta\theta_T = f(t_{vo}, t_{ko}, \varphi_4)$ qo‘llaniladi.

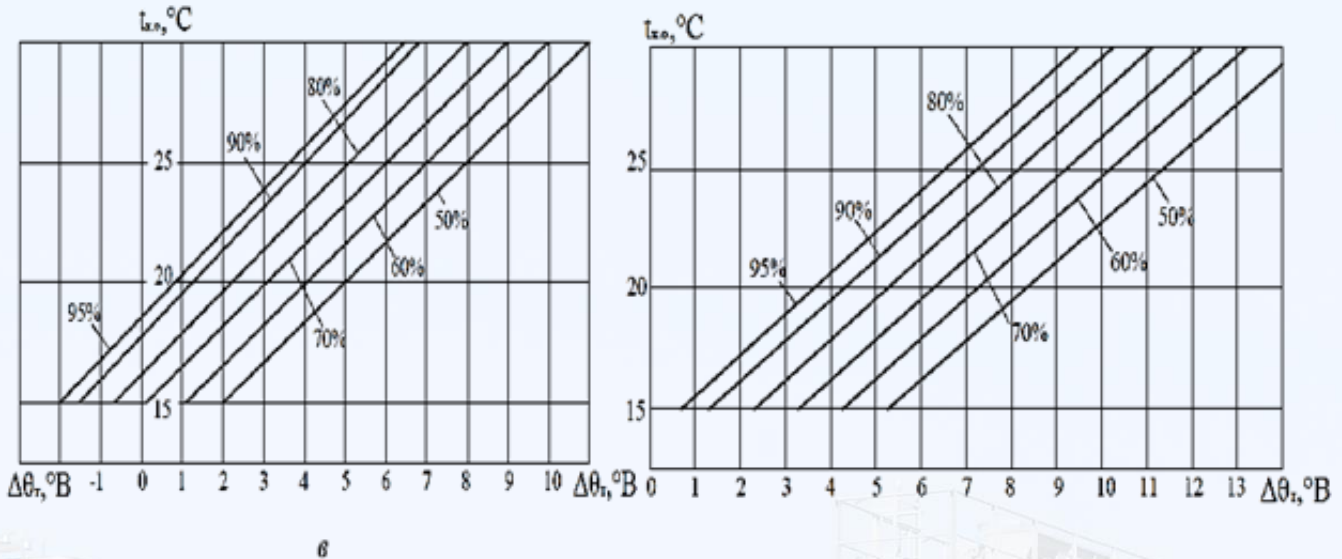


2.28-rasm. Aniq issiqlik ajralishlar q_{hash} hisobiga bug‘lanayotgan namlik miqdorining maysa namlikligiga w_{hash} bog‘liqligi.

2.29-rasmida maysa harorati $t_k=15\dots30\ ^\circ\text{C}$ va tashqi havo parametrlarining $t_n=15\dots30\ ^\circ\text{C}$; $\varphi_n = 50 - 95\%$ diapazonida quritishning o‘ta gigroskopik hududidagi ($w_{hash} > w_r$) havo va hashak yuzasi namligi potensiallarining $\Delta\theta$ (2.85) – hisoblangan farqi keltirilgan.



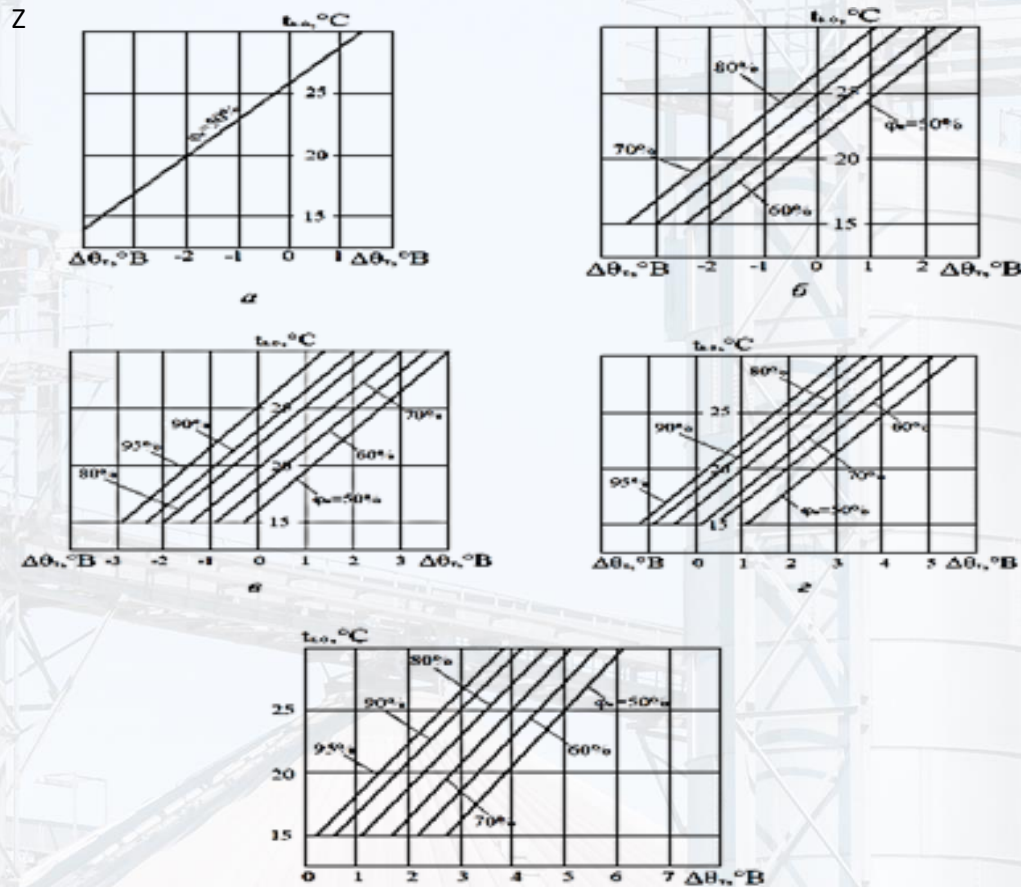
2.29-rasm. $w_{hash} > w_r$ da (yuqori gigroskopik hudud) namlik potensiallari farqlarining bog‘liqligi $\Delta\theta_t = f(t_n, t_{ko}, \varphi_n)$: a – $t_n = 35\ ^\circ\text{C}$ da b – $t_n = 20^\circ\text{C}$ da



2.29-rasm. (davomi) $w_{hash} > w_r$ da (yuqori gigroskopik hudud) namlik potensiallari farqining bog'liqligi $\Delta\theta_\tau = f(t_n, t_{ko}, \varphi_n)$: $a - t_n = 20$ °Cda; $g - t_n = -15$ °C da

Quritishning gigroskopik hududi ($w_{hash} < w_r$) uchun o'xshash ma'lumotlar

2.30-rasmda keltirilgan



2.30-rasm. $w_{hash} < w_r$ da namlik potensiallari farqining bog'liqligi $\Delta\theta_\tau = f(t_n; t_{ko}; \varphi_n)$ [18]: $a - t_n = 35$ °C da $b - t_n = 30$ °C da; $v - t_n = 25$ °C da; $g - t_n = 20$ °C da $d - t_n = 35$ °C da

2.29 va 2.30-rasmlardagi grafik bog‘liqlarning tahlili bir qator amaliy xulosalar va tavsiyalar olishga imkon berdi.

1. Hashak qatlamiga berilayotgan havoning nisbiy namligi $\varphi_n = const$ da haroratining ko‘tarilishi, hashak haroratining kamayishiga ($t_k \rightarrow t_{m.t}$) olib keluvchi qatlamga doimiy ravishda havo purkash kabi faktorlarning barchasi quritish jarayonining samaradorligini kamaytiradi.

2. Hashak quritish jarayonini davomiyligini maqbullashtirish va jarayonning texnik-iqtisodiy parametrlariga faol shamollatish tizimini siklik ish rejimini tadbiq qilish orqali erishilib, bunda hashakni o‘z-o‘zidan qizish va keyingi quritish bilan birgalikda kechadigan sovutish rejimlari navbatma-navbat qo‘llaniladi.

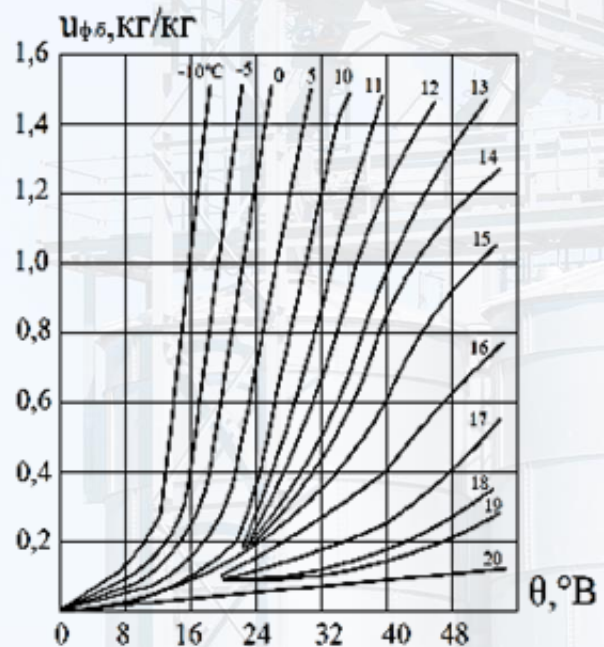
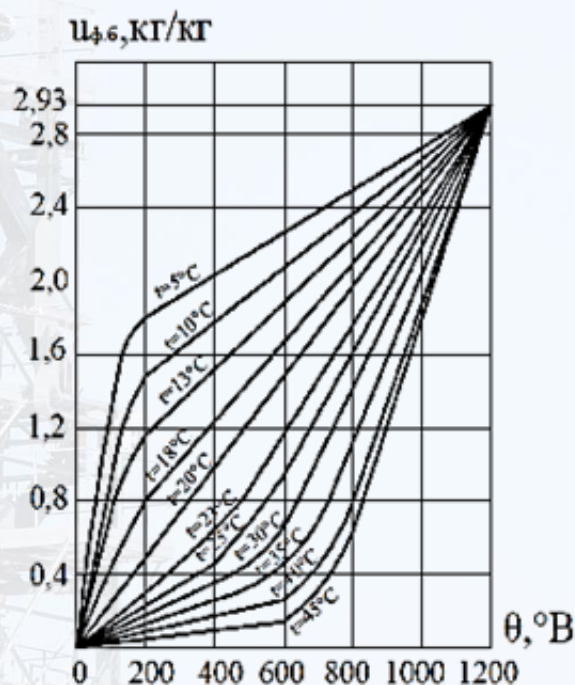
3. 2.29 va 2.30-rasmlarda $\Delta\theta_\tau = 0$ ordinatasidan chapda joylashgan hududlarni xarakterlovchi hashak va tashqi havoning parametrlarida faol shamollatish tizimini ish rejimlariga yo‘l qo‘ymaslik kerak. Aks holda mahsulot qatlamiga purkalayotgan havo uning namlanishini keltirib chiqaradi.

Hashakli quritish jarayonining nazorati. Quritish jarayonini nazorat qilish uchun turli botanik navlarga mansub maysalarni desorbsiya izotermalarini qo‘llash qatlamdagi harorat t_v va havoning nisbiy namligi φ_v kabi ikkita mustaqil parametrlarni bir vaqtda qayd qilishni taqozo etadi. t_v – qiymatlarini aniqlash hech qanday texnik qiyinchilik tug‘dirmaydi. SHu bilan bir vaqtda hashak qatlamida φ_v qiymatini an’anaviy usullarda, ho‘l va quruq termometrlar haroratlari bo‘yicha aniqlash amalda deyarli imkonsiz, chunki havo purkalayotgan hashak qatlamida $t_v \rightarrow t_{x.t}$ va $\varphi_v \rightarrow 100\%$ bo‘ladi.

Farg‘ona politexnika instituti olimlari tomonidan tabiiy sharoitlarda quritilayotgan hashak qatlamidagi namlikni yagona termodinamik ko‘rsatkich – namlik potensiali θ bo‘yicha aniqlash usuli taklif qilingan va amalda sinalgan. Namlik potensiali θ mualliflar tomonidan ishlab chiqilgan termo-namlik shup yordamida aniqlanib, uning konstruksiysi adabiyotlarda keltirilgan. Quritilayotgan hashakning joriy namligi 2.25 va 2.26-rasmlarda ko‘rsatilgan hashak desorbsiyasining egri chiziqlari bo‘ylab, $w_{hash} - \theta$ koordinatalari bo‘yicha aniqlanadi.

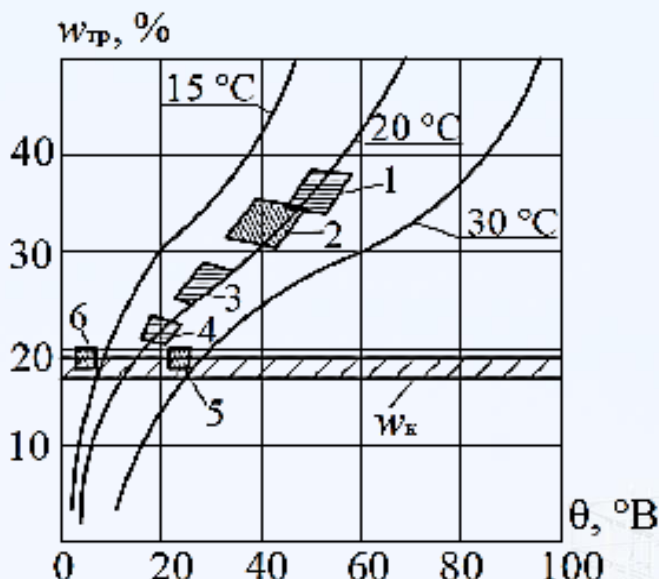
Maysa namligini aniqlash ketma-ketligi. Termo-namlik shir muftalariga filr-qog'oz namunalari joylanib, ularning massasi absolyut quruq holda m_c quritish shkafida ishlov berilgandan so'ng aniqlanadi. Termo-namlik shupi hashak qatlamiga 1,5-soatga joylanadi, so'ngra termoparalar yordamida t_v – harorat fiksatsiyalanib, beshta muftaning har biridagi filr-qog'ozning massasini Δm ortishi elektron tarozuda aniqlangan.

Filtr-qog'ozning ma'lum bo'lgan namligi u , kg/kg va uning harorati namlik potensiallari θ qiymatlarini (2.31-rasm) va ular asosida 2.25 va 2.26-rasmlarda keltirilgan grafiklar bo'yicha maysaning boshlang'ich namligini w_{hash} turli kesimlarda aniqlash imkonini berdi.



2.31-rasm. Namlik potensiali shkalasi: a-turli haroratlarda; b-0...50°B diapazonida salbiy haroratlar hududini ham hisobga olgan holda.

Quritish va saqlash jarayonlari davomida yo'ng'ichqa namligini aniqlash bo'yicha nazorat o'lchov natijalari 2.32-rasmida keltirilgan.



2.32-rasm. Yo‘ng‘ichqa uyumida havo namligi potensiallarining eksperimental qiymatlari hududi (2019 y.) : 1-06.07; 2-07.07; 3-09.07; 4-12.07; 5-17.07; 6-20.11 ($t_b = -3^{\circ}\text{C}$ da)

Maysani quritish jarayonini nazorat qilish kriteriysi sifatida namlik potensialini qo‘llanilishi massa va harorat singari ikkita oson o‘lchanadigan fizik qiymatlarning fiksatsiyalanish imkonini mavjudligi tufayli maysa namligini w_{hash} aniqlash jarayonini soddalashtirib, o‘lchovlar aniqligini oshiradi.

Tashqi to‘sqliar orqali namlik ko‘chishini intensivligini hisoblashni o‘ziga xos xususiyatlari

To‘sqliarning namlik rejimi. Tashqi to‘sqliarning ekspluatatsion namlik holati yil davomida namlik miqdorini o‘zining doimiy o‘rtacha qiymati atrofida davriy ravishda o‘lchashni o‘z ichiga oladi. Fuqarolik va sanoat binolarida bu ko’rsatkichlarni aprel-may oylarida biroz ortishi va kuz oylarida biroz pasayishi kuzatiladi, qishki vaqtida esa namlik qiymatlari o‘rtacha yillik ko‘rsatkichlarga yaqin turadi. Kartoshka va sabzavotlarni saqlash uchun mo‘ljallangan omborlarning er ustki devorlarining mavsumiy ekspluatatsiyalash sharoitlari tufayli qurishi yozgi vaqtida, namlanib qolishi esa qishki vaqtida kuzatiladi. Yer osti devorlarining namligi amalda ekspluatatsiya sharoitlariga deyarli bog‘liq bo‘lmaydi. Saqlash omborlarning binolari (piyoz saqlash omborlaridan tashqari) nam binolar hisoblanib, qurilishning barcha hududlari uchun materiallarning issiqlik-fizik xarakteristikasini B* guruh bo‘yicha tanlash kerak.

To'siq materiallarining namlik rejimini namlik potensiallari yordamida to'liq ta'riflash mumkin. Amaliy hisoblar uchun statsionar namlik uzatilishini ko'rib chiqish etarli hisoblanadi.

Tashqi θ_t va ichki θ_u havoning namlik potensiallari (2.55...2.59) bog'liqliklar bo'yicha aniqlanadi.

Ko'p qatlamlili to'siqdagi materialning har qanday qatlaming ekspluatatsion namlik holati quyidagi formuladan topiladi.

$$\theta_{\text{сл}} = \theta_{\text{в}} - \bar{R}_{\text{в-сл}} (\theta_{\text{в}} - \theta_{\text{н}}), \quad (2.86)$$

bu yerda \bar{R}_{v-sl} – namlik uzatilishiga qarshi solishtirma qarshilik.

Tashqi to'siqlar orqali namlik ko'chishining intensivligi:

$$j_{\theta} = \chi (\theta_{\text{в}} - \theta_{\text{н}}). \quad (2.87)$$

Xom g'isht va penobeton uchun namlik o'tkazuvchanlik koeffitsientining X eksperimental qiymatlari manbalarda keltirilgan.

(2.55...2.59) bog'liqliklarning tahlili shuni ko'rsatyaptiki, yilning sovuq davrida saqlash omborlarida ichki havoning namlik potensiali θ_u tashqi havoning namlik potensialidan θ_t yuqori ($t_u > t_t, \varphi_u \geq \varphi_t$) bo'ladi. SHuning uchun er ostki to'siqlari namligi gigroskopik namlikdan yuqori bo'lgan ($\theta_{gr} > \theta_u$) grunt bilan ta'sirlashuvi tufayli konstruksiyalarning namlanishini oldini olishga qaratilgan chora-tadbirlar faqatgina saqlash omborlarining tashqi devorlari tomonida amalga oshiriladi.

Tashqi to'siqlar orqali o'tadigan namlik oqimini sun'iy nazorat qilish konstruksiyalarning ekspluatatsion xarakteristikalarini oshirishni asosiy shartlaridan biri hisoblanadi. Yakuniy natija bo'yicha esa bu issiqlik uzatilishiga boshqariladigan qarshilik ko'rsatuvchi to'siqlar yaratishning samarali usuli hisoblanadi.

Konstruksiyalar orqali namlik oqimini boshqarish elektroosmotik effekt orqali amalga oshirilishi mumkin. Texnik adabiyotlarda namlik migratsiyasini mazkur usulda boshqarishga doir ko'rsatmalar uchraydi. Lekin mazkur usul hozirgi vaqtga qadar to'siq konstruksiyalarining muhandislik hisoblarida nazariy jihatdan etarli darajada asoslanmaganligi uchun keng qo'llanilmaydi.

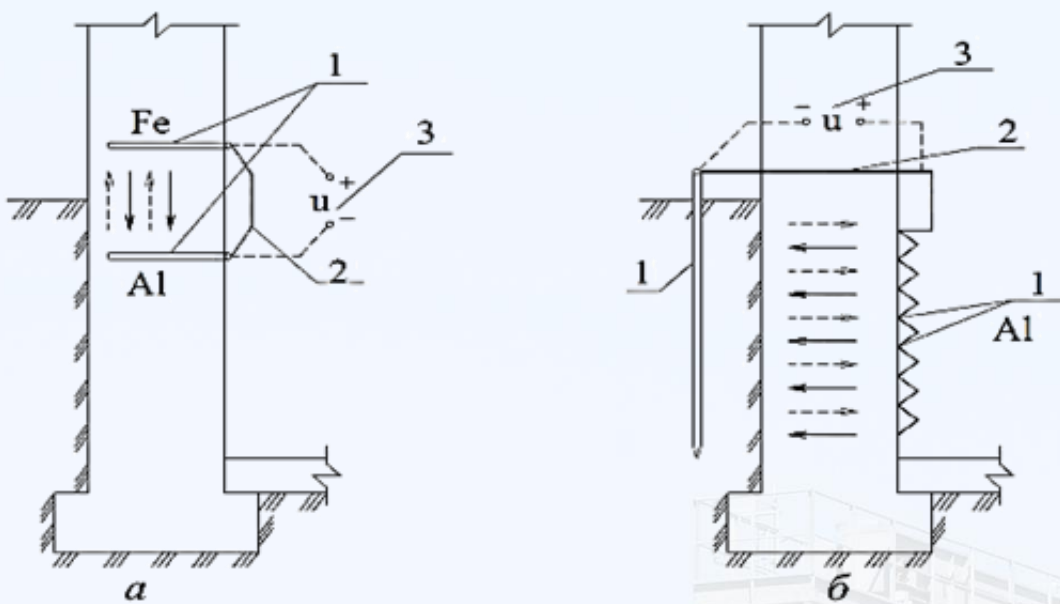
Elektroosmos effekti o‘zining termodinamik mohiyatiga ko‘ra intensivlik xarakteristikasidan iborat bo‘lib, bu ko‘rsatkich modda ko‘chishining chegarasi va yo‘nalishini belgilaydi va qo‘srimcha ravishda “nam havo-to‘siq” sistemasida namlik ko‘chish gradientasiga ta’sir ko‘rsatadi.

Faol va passiv qo‘zg‘alishga ega elektroosmos turlari farqlanadi. Passiv elektroosmos hisobiga namlikning ko‘chishi turli xil metallardan tayyorlangan ikkita o‘zaro bog‘langan elektrodlarni devorda o‘rnatalishida kuzatiladi. Namlik migratsiyasining intensivligi metallarning elekrokimyoviy kuchlanish qatoridagi o‘rnidan kelib chiqadigan potensialga proporsional bo‘ladi. Namlikning kapillyar yoki osmotik harakatining intensivligi yoki uning harakat yo‘nalishining qarama-qarshi yo‘nalishiga o‘zgarishi doimiy tok manbasi hisobiga samarali va faolroq boshqariladi (faol qo‘zg‘alish). Faol va passiv qo‘zg‘alishda devorlarning yer ustki qismini ularning yer ostki qismlaridan namlikni migratsiyasi hisobiga namlanishini oldini olishga qaratilgan elektrodlarning o‘rnatalishini prinsipial sxemasi 2.33a-rasmida ko‘rsatilgan. Yer ichiga botgan devorlarni quritish sxemasi 2.33b-rasmida ko‘rsatilgan. Punktir chiziqlar bilan namlikni osmotik va kapillyar kuchlar hisobiga, to‘g‘ri chiziq bilan esa elektroosmos hisobiga namlik migratsiyasi ko‘rsatilgan.

To‘siqdagi namlik potensiallarining farqi elektroosmos samarasini $\pm\Delta\theta_{eo}$ qiymatidan kelib chiqib ortib yoki kamayib boradi. (+) plus yoki (-) minus belgisi migratsiyalanayotgan namlik harakatining yo‘nalishiga nisbatan elektrodlarning elekrokimyoviy faolligiga asosan yoki suyuqlikning harakatini yo‘nalishini belgilovchi elektrodlarning qutbliligidan kelib chiqib belgilanadi.

Namlikning umumiy oqimi quyidagicha:

$$\Delta\theta_{eo} = K_{eo} U, \quad (2.88)$$



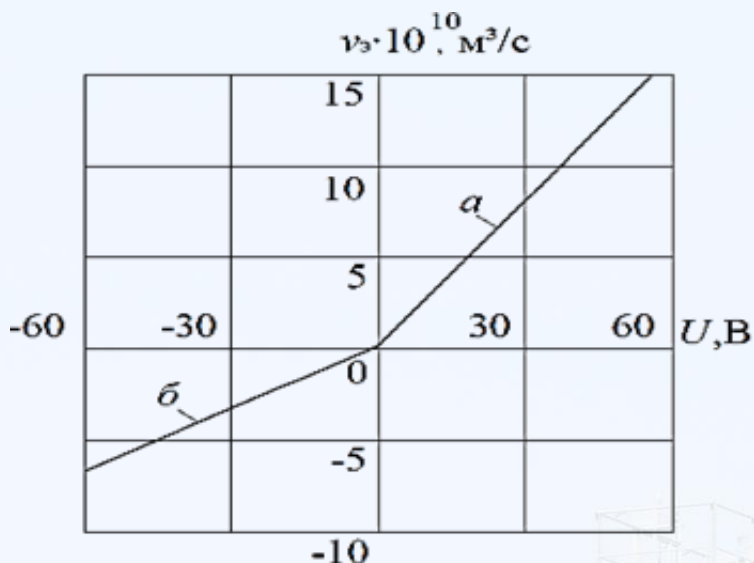
2.33-rasm. Devorlarda namlikni harakatlanishini oldini oluvchi elektrodlarning o'rnatilishi: a – yer ustki; b – yer ostki; 1 – elektrodlar; 2 – passiv elektroosmosda qisqa tutashuv uchun izolyasiyalangan o'tkazgichlar; 3 – faol qo'zg'alishda doimiy tok manbalari.

Asosiy masala materiallarning fizik-mekanik xossalari, elektrodlarga berilayotgan kuchlanish va ularning qutbliligiga bog'liq bo'lgan qurilish konstruksiyalarida namlik oqimi zichligini o'zgarish qonuniyatlarini aniqlash va olingan natijalarni namlik potensiali shkalasida quyidagicha namoyon etishdan iborat:

$$j = \chi(\theta_b - \theta_h \pm \Delta\theta_{so}) . \quad (2.89)$$

bu yerda K_{eo} – proporsionallik koeffitsienti, U – elektrodlarga nisbatan qo'llanilayotgan kuchlanish yoki elektrodlarning elektrokimyoviy jihatdan faol bo'lgan metallar orasida kelib chiqadigan kuchlanishi.

Namlikning elektroosmotik oqimining intensivligi olib borilgan laboratoriya tadqiqotlari davomida aniqlandi. 2.34-rasmida U , V – elektrodlariga nisbatan qo'llanilayotgan kuchlanishdan kelib chiqadigan xom g'isht namunasidan o'tuvchi elektroosmosning hajmiy tezligini $V_e = V/\tau$, m^3/s grafik natijalari ko'rsatilgan. Qalinligi $b=0,13m$ V_{eg} , $m^3/(m^2/soat)$ xom g'ishtning maydon birligidan o'tuvchi suyuqlikning solishtirma hajmini eksperimental ma'lumotlar $V_e, m^3/soat$ bo'yicha qayta hisoblash $V_{eg} = 5 \cdot 10^{-7} V_e$ nisbati bo'yicha amalga oshiriladi.



2.34-rasm. Xom g‘isht namunasida sodir bo‘layotgan elektroosmosning hajmiy tezligi.

Keyingi tadqiqotlar davomida elektroliz samarasining ta’siri aniqlanishi kerak va bu, bizning fikrimizcha, barcha o‘tkazilgan tajribalarimizda $V_e = f(U)$ grafikning nol nuqtasidagi o‘zgarishlarni keltirib chiqaradi.

Suyuq namlikning kapillyar so‘rilishi intensivligining xom g‘isht namunasida massa ko‘chish jarayoniga ta’siri shuni ko‘rsatyapdiki, elektroosmos samarasi qiymatiga bu hodisa sezilarli ta’sir ko‘rsatmaydi. Sutka davomida kapillyar so‘rilihsning o‘rtacha tezligi xom g‘isht uchun $I_{kv} = 4,3 \cdot 10^{-3} \text{ sm/min} = 0,72 \cdot 10^{-3} \text{ mm/s}$ ni tashkil etadi. Qalinligi $\delta = 13 \text{ mm}$ bo‘lgan xom g‘isht namunasidan suyuq namlik kapillyar so‘rilihs hisobiga $\tau_{kv} = \delta/u_{kv} = 13/0,72 \cdot 10^{-3} = 1,82 \cdot 10^4 \text{ s}$ bo‘ladi, ya’ni 5 soatga yaqin bo‘ladi.

Real sharoitlarda elektroliz samarasi hodisasi to‘siqlardan namlikni filtrlanishini oldini olishda yoki ularni quritishda namlik ko‘chishi intensivligiga ta’sir qilmaydi (yuzalarda ajaralayotgan gazlar havoga tarqaydi). Shuning uchun eksperimental ma’lumotlar tahlilini elektroliz hodisasini hisobga olmasdan amalga oshiramiz.

Namlikning elektroosmotik oqimi quyidagiga teng:

$$j_s = \chi_s U / \delta. \quad (2.90)$$

Namlik o‘tkazuvchanlikning elektroosmotik koeffitsienti 2.35-rasmdagi b-to‘g‘ri chizig‘iga asosan quyidagi qiymatga ega:

$$\chi_3 U / \delta = \mu \Delta e / \delta. \quad (2.91)$$

Qo‘llanilayotgan kuchlanish U , V va qurilish konstruksiyalarining ikkala tomonidagi haqiqiy parsial bosimlar orasidagi farq $\Delta e = e_a - e_b, Pa$ ko‘chish potensiali sababli kelib chiqadigan oqimlarni tenglashtirib, aniqlaymiz:

$$(2.92) \quad \chi_3 U / \delta = \mu \Delta e / \delta.$$

bu yerdan:

$$\Delta e = \chi_3 U / \mu; \quad U = \mu \Delta e / \chi_3, \quad (2.93)$$

Oddiy xom g‘ishtdan ($\rho = 1700 \text{ kg/m}^3$) ko‘tarilgan devor $\mu = 0,12 \text{ mg/(m} \cdot \text{s} \cdot \text{Pa)}$ ga teng. (2.91) bo‘yicha μ va χ –qiymatlarini taqqoslab, quyidagiga ega bo‘lamiz:

$$\chi_3 = 2,53 \cdot 10^3 \mu. \quad (2.94)$$

(2.93) ga $e_a = \varphi_a \rho_{na}$, $e_b = \varphi_b \rho_{nb}$ va χ_e –qiymatlarini (2.94) bo‘yicha qo‘yib, U – kuchlanishni topamiz.

$$U = 0,369 \cdot 10^{-3} (\varphi_a p_{\text{na}} - \varphi_b p_{\text{nb}}), \quad (2.95)$$

bu yerda p_n – bug‘-havo aralashmasining haroratida to‘yingan bug‘ning parsial bosimi, Pa.

$$t = 35^\circ\text{C}, \quad \varphi = 35\dots60\%, \quad \varphi = 26,7 + \theta/3,0; \quad (2.97)$$

$$t = 30^\circ\text{C}, \quad \varphi = 50\dots75\%, \quad \varphi = 25,0 + \theta/2,4; \quad (2.98)$$

$$t = 25^\circ\text{C}, \quad \varphi = 65\dots90\%, \quad \varphi = \theta/2,63; \quad (2.99)$$

$$\varphi = 0\dots65\% \quad \varphi = (\theta - 5)/0,662; \quad (2.100)$$

$$t = 20^\circ\text{C}, \quad \varphi = 80\dots100\%, \quad \varphi = 13,3 + \theta/3,0; \quad (2.101)$$

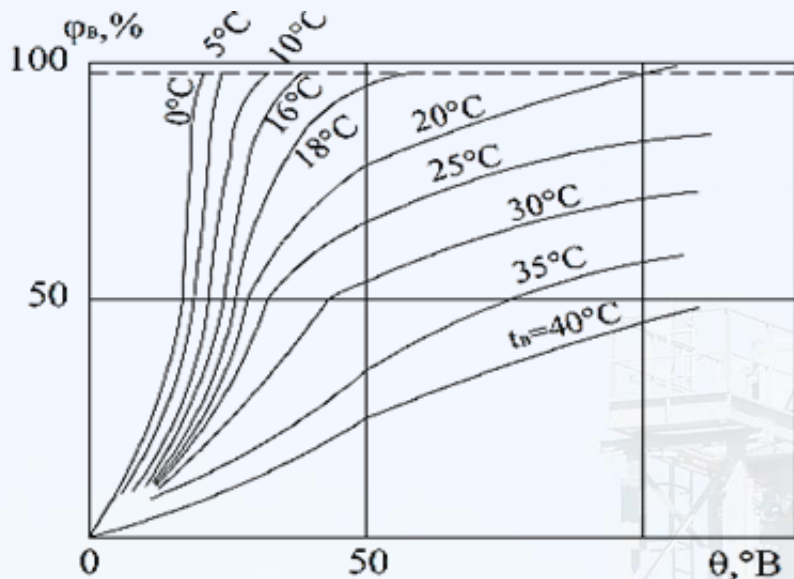
$$\varphi = 0\dots80\% \quad \varphi = (\theta - 5)/0,43; \quad (2.102)$$

$$t = 18^\circ\text{C}, \quad \varphi = 0\dots85\%, \quad \varphi = (\theta - 10)/0,25; \quad (2.103)$$

$$\varphi = 85\dots95\% \quad \varphi = (\theta - 10)/0,1; \quad (2.104)$$

$$t = 0^\circ\text{C}, \quad \varphi = 0\dots95\%, \quad \varphi = (\theta - 10)/0,05. \quad (2.105)$$

Havoning nisbiy namligi va namlik potensiallarining analitik bog'liqligi 2.35-rasmda ko'rsatilgan turli haroratlarda bu qiymatlarni grafik bog'liqligini approksimatsiyalash orqali aniqlaymiz:



2.35-rasm. Havoning nisbiy namligini namlik potensialigiga bog'liqligi.

(2.96...2.105) dagi φ larini (2.95) ga olib o'tish orqali xom g'ishtdan tayyorlangan konstruksiyalarning yuzasidagi iqlimi shartlarga to'g'ri keluvchi U -kuchlanishni yoki namlik potensialari farqini ($\theta_a - \theta_b$) aniqlaymiz, bunda namlik ko'chishining intensivligi U-kuchlanishda hisoblangan qiymatga teng bo'lib, (+) yoki (-) belgilari U-qiymatini (2.90) - olib o'tishda albatta hisobga olinadi.

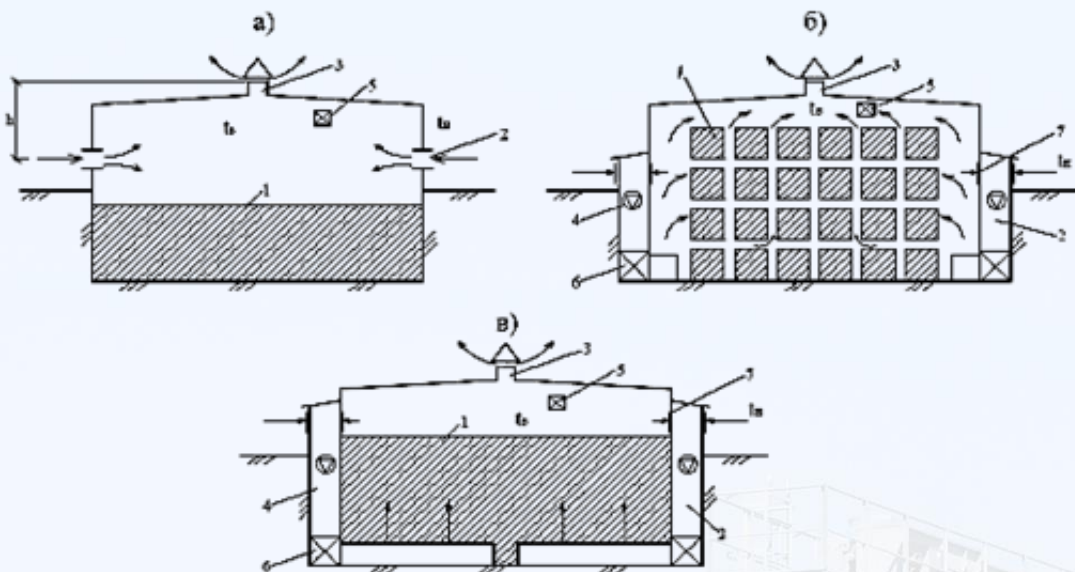
3-BOB. BIOLOGIK FAOL SISTEMALARDA ISSIQLIK-MASSA ALMASHINISH BO‘YICHA OLIB BORILGAN NAZARIY- EKSPERIMENTAL TADQIQOTLARNING AMALIY NATIJALARI

**Sabzavot va kartoshka saqlash omborlarida mikroiqlimni ta’minlash
sistemalarining ish rejimi va unumdarligini hisoblashni issiqlik-fizik asoslari**

Barra o’simlik xom ashvosini saqlash usullari. Sabzavot va kartoshka saqlash omborlarining mo‘ljallanishi mahsulotni yilning kuzgi, qishki va bahorgi davrlarida texnik, urug‘lik, furaj va oziq-ovqat maqsadlarida saqlanuvchanligini ta’minlashdir. Sabzavot va kartoshkalarni ommaviy saqlash uchun vaqtinchalik va doimiy omborlar qo‘llaniladi. Vaqtinchalik qurilmalardan (burtlar) odatda dala sharoitida foydalaniladi. Doimiy omborlar mikroiqlimni texnologik parametrlarini ta’minlashni muhandislik sistemalari bilan ta’minlangan.

Tabiiy shamollatish tizimiga ega binolarda havo almashinish gravitatsion kuchlar hisobiga (3.1a-rasm) amalga oshiriladi. Tabiiy shamollatish tizimi oq bosh karamni balandligi 0,8 m gacha, ildizmeva va tugunaklarni balandligi 1,0 m gacha bo‘lgan uyumlarini saqlashdagi texnologik parametrlarini ta’minlay oladi.

Umumalmashinuv mexanik shamollatish tizimi (3.1b-rasm) mahsulotni konteynerlarga qadoqlab saqlanganda qo‘llaniladi. Bunday shamollatish tizimining asosiy kamchiligi havo muhitining me’yorlashtirilgan parametrlarini har bir konteynyerdagi mahsulot massasida emas, balkim saqlash omborining havo hajmida hosil bo‘lishidir. Konteynerlardagi tugunaklararo bo‘shliqda havoning tezligi konteynerlar orasidagi havoning o‘rtacha tezligini 8,5 % ni tashkil qilishi analitik jihatdan ko‘rsatib berilgan. Bu qiymat konteynerlarda zarur bo‘lgan muhitni harorat namlik parametrlarini ta’minlash uchun zarur bo‘lgan tezlikdan kamdir, bu esa mahsulotni konteynerlarga qadoqlab saqlash usulida saqlash omborlarining binolarida havo almashinish sonini o‘zgartirish orqali mahsulot massasida mikroiqlim parametrlarini boshqarish samarasiz ekanligidan dalolat beradi.



3.1-rasm. Tabiiy (a), umumiy (b) va faol shamollatish tizimlariga ega statsionar saqlash omborlari: 1-mahsulot; 2, 3, 7-tegishlichcha havo keltiruvchi havo chiqaruvchi va retsikulyasion havo kanallari; 4-ventilyator; 5-isitish agregatlari; 6-kelayotgan havoga ishlov berish uchun mo'ljallangan qurilmalar.

Faol shamollatish tizimining prinsipial farqi har bir saqlash ob'ekti atrofida bevosita uyumga havo berish orqali saqlash texnologiyasida belgilangan mikroiqlim parametrlarini ta'minlash va boshqarish imkonini mavjudligidadir (3.1b-rasm).

Hozirgi vaqtida vaqtinchalik saqlash omborlarida kartoshka va sabzavotlarni saqlashda faol shamollatish tizimi va doimiy to'siqlarga ega modifikatsion burtlardan tobora keng foydalanish kuzatilmoqda.

Faol shamollatish tizimi rejimlarini hisobi. Kartoshka saqlash omborlarining ventilyatsiya tizimi. Hisoblash usullarini ishlab chiqish asosiga tugunkalar uyumida harorat va namlik maydonlarini shakllanish jarayonlarini issiqlik-fizik modeli va saqlash omborlari hajmi bo'ylab energetik o'zgarishlar kompleksi kabilar kiradi. Faol shamollatish tizimlarini ish rejimlarini hisoblash usullari saqlash davrlari bo'ylab differensiyalangan va balandligi $h=6,0$ m.gacha bo'lgan uyumlar uchun yaroqli hisoblanadi. Hisoblash ketma-ketligi va qo'llanilish sohasi manbalarda batafsil ko'rib chiqilgan va asoslangan.

Sovutish davri. Bu davrda uyumning vasovutuvchi havo haroratlarining boshlang'ich farqi $\Delta T_o = t_{ko} - t_{BO} = 10...20$ °C tugunkalarning sovutishni optimal

tezligi $\Delta z = 0,02 \dots 0,04 {}^{\circ}\text{C}/\text{soat}$, mahsulotdan chiqayotgan aniq issiqlik ajralishlar (mahsulotni zararlanish darajasidan kelib chiqib) $q_v = 80 \dots 100 \text{ kDj}/(m^3 \cdot \text{soat}) = 32 \dots 36 \text{ Bm/m}$ (amaliyotda saqlanayotgan o‘rtacha tugunaklar uchun) bo‘ladi.

Havoning solishtirma sarfining saqlash jarayonini turli davrlari uchun optimal diapazonlari $L_{v, \text{opt}}$, $\text{m}^3/(\text{m}^3 \text{ soat})$ quyidagi ifodadan aniqlanadi:

$$(3,8 q_v + 1,1 \cdot 10^4 \Delta z_{\text{opt}}) / \Delta T_o \leq L_{v, \text{opt}} \leq 717 / h. \quad (3.1.)$$

Bir sutkada faol shamollatish tizimining ish vaqtini $\Delta \tau_v$ soat ko‘rsatuvchi shamollatish tizimidan foydalanish koeffitsienti $K_\Delta = \Delta \tau_v / 24$ (3.2) – formula yoki grafikdan (3.2-rasm, chap ordinata) aniqlanadi:

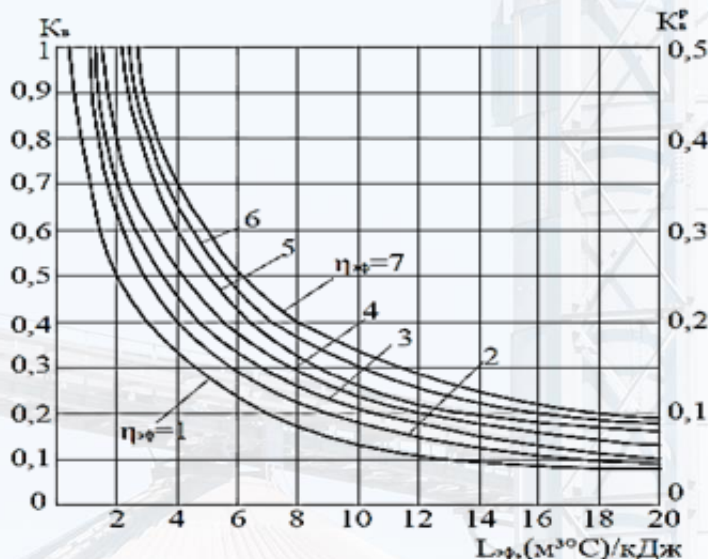
$$K_B = 2 (1 + 0,25 \eta_{\varphi}) / (1 + 1,5 L_{\varphi}). \quad (3.2)$$

Sovutish parametri η_{ef} , $\text{m}^3 {}^{\circ}\text{C}/\text{kDj}$ 1...7-sonli qiymatlar oralig‘ida quyidagiga teng.

$$\eta_{\varphi} = 10^4 \Delta z / q_v. \quad (3.3)$$

Havoning keltirilgan solishtirma sarfi L_{ef} , $\text{m}^3 {}^{\circ}\text{C}/\text{kDj}$ quyidagi nisbatdan aniqlanadi.

$$L_{\varphi} = L_v \Delta T_o / q_v. \quad (3.4)$$



3.2-rasm. Tugunaklar uyuminisovutish davrida ventilyatsiyadan foydalanish koeffitsienti Sovutish davrida faol shamollatish sistemasidan tunda, sovuq vaqtida foydalaniлади, bu esa $K_B \leq 0,3$ rejimlarini faqatgina tabiiy sovuq qo’llaniladigan ratsional rejim deb qabul qilishga imkon beradi.

Saqlashning asosiy davri. Boshlang'ich asoslar: $\Delta T_o = 10 \dots 20 {}^{\circ}\text{C}$, $q_v = 43,5 \text{ kDj}/(\text{m}^3\text{s}) = 17,0 \text{ BT/T}$; saqlash omborining quyi qismidagi harorat $t_{xp} = 1,5 {}^{\circ}\text{C}$. Xavoning optimal sarflarining diapazoni quyidagiga teng:

$$0,4 q_v \leq L_{v \text{ опт}} \leq 717 / h. \quad (3.5)$$

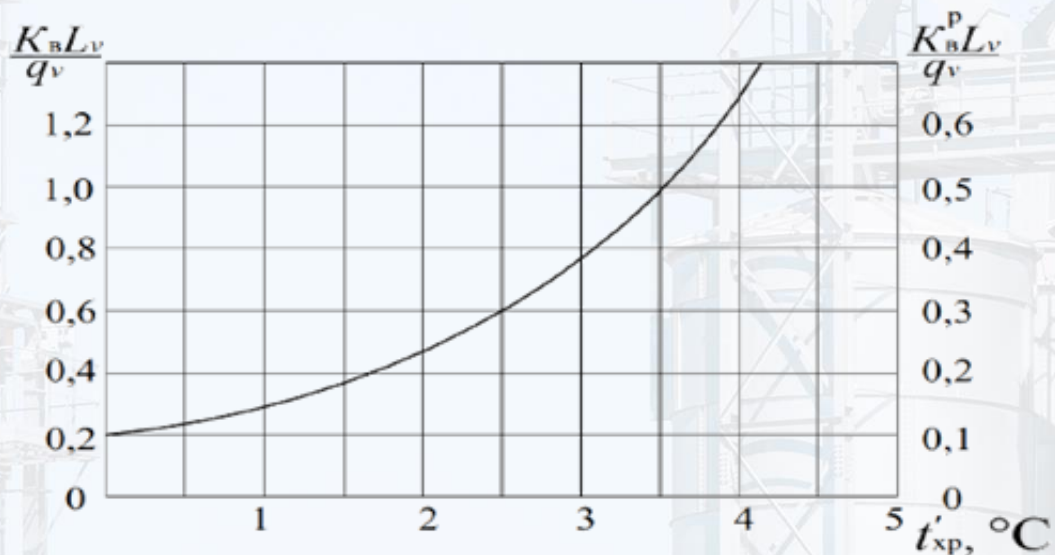
$L_{v \text{ опт}} \leq 0,4 q_v$ shartida shamollatish uzlucksiz ravishda olib boriladi.

Saqlash omborining quyi qismidagi xarorat $t_{om}=1,5 \dots 2,0 {}^{\circ}\text{C}$ bo'lganda, tugunaklar uyumini $t_{kk}=4-2=2 {}^{\circ}\text{C}$ sovutish diapozonida faol shamollatish tizimini ish faoliyati quyidagilarni tashkil qiladi:

$$\text{при } t'_{xp} \leq 3 {}^{\circ}\text{C} \quad K'_B = 0,4 q_v / L_v - 3,4 / L_v h; \quad (3.6)$$

$$\text{при } t'_{xp} > 3 {}^{\circ}\text{C} \quad K''_B = 0,65 q_v / L_v. \quad (3.7)$$

K_B , L_v , q_v va t_{xp} larning grafik ifodasi 3.3-rasmida keltirilgan:



3.3-rasm. Kartoshka saqlash omborida saqlashni asosiy davrida faol shamollatish tizimini ish rejimlarini hisoblash uchun K_B bog'liqligi

(3.6) va (3.7) formulalarda $q_v = \text{kDj}/(\text{m}^3\text{s})$; $L_v = \text{M}^3/(\text{m}^3\text{s})$ da ifodalanadi.

Ishlab chiqilgan hisoblash metodikasi saqlash omborlari loyihalarini rekonstruksiyalashda va yangi namunaviy loyihalar ishlab chiqarishda, shuningdek faoliyat yuritayotgan inshootlarni ekspluatatsiyalashni aniq rejimlarini ishlab chiqishda qo'llaniladi. Ikkinchi holatda (faoliyat olib borayotgan kartoshka saqlash omborlari sharoitida) dastlab uyumga berilayotgan havoning solishtirma sarfi L_v aniqlanadi.

Bunga asosan Kv qiymati va (3.2) yoki 3.2-rasm bo‘yichasovutish davri va (3.6) yoki (3.7) yoki 3.3-rasm bo‘yicha asosiy davr uchun ventilyatsiya sistemalarini bir sutkalik ish vaqtianiqlanadi. Aniqlangan $\Delta\tau_v$ – qiymati optimal ko‘rsatkichdan farq qilishi mumkin, lekin saqlashni ikkala davrida ham kartoshka uyumlaridagi saqlashni texnologik parametrlarini ta’minlab beradi.

Lavlagi ildizmevalarining biologik va issiqlik – fizik xossalari tugunaklar xarakteristikasiga yaqin bo‘ladi. SHuning uchun ishlab chiqilgan hisoblash metodikasidan lavlagi ildizmevalarini saqlashda ham foydalanish mumkin. Sabzi ildizmevalari uchun ham issiqlik ajralish jarayonlari va faol shamollatish tizimi ish rejimining sifatiy tavsifi tugunaklar uyumiga o‘xshash bo‘ladi.

Masala 3.1. Sig‘imi 1000 t. bo‘lgan loyihalanayotgan kartoshka saqlash omborida faol shamollatish tizimini ish davomiyligini aniqlang, uyum balandligi $h=3,0$ m, havo sarfi $L_v \text{ opt} = 60m^3/(m^3\text{soat})$.

Sovutish davrida uyum vasovutuvchi havo haroratlari orasidagi boshlang‘ich farq $\Delta T_0 = 14^0C$, tugunaklarni sovush tezligi $\Delta z_{\text{opt}} = 0,04^0C/\text{soat}$, issiqlik ajralish intensivligi $q_v = 100 \text{ kDj}/(m^3\text{soat})$ ni tashkil qiladi. Sovutish parametrlari $\eta_{\text{ef}} = 10^4 \cdot 0,04/100 = 4 (m^3 \cdot C)/\text{kDj}.\text{ni}$, keltirilgan havo sarfi $L_{\text{ef}} = 60 \cdot 14/100 = 8,4 (m^3 \cdot C)/\text{kDj}.\text{ni}$ tashkil qiladi.

Havo sarfi diapazoni (3.1) – shart bilan belgilanadi.

$L_{\text{V opt}} > (3,8 \cdot 100 + 1,1 \cdot 10^4 \cdot 0,04) / 14 = 58 m^3 (m^3 \text{ soat})$. Sovutish davrida ventilyatsiyadan foydalanish koeffitsienti $K_v = 2 (1+0,25 \cdot 4) / (1+1,50 \cdot 8,4) = 0,3$ ga teng. Sutka davomida faol ventilyatsiya tizimini ish davomiyligi $\Delta t_B = 24 \cdot 0,3 \approx 8,0$ soatni tashkil qiladi.

Saqlashni asosiy davrida $\Delta T_0 = 2,0 \dots 2,5^0C$; $t_{\text{saq}}^0 = 1,0^0C$, $q_v = 43,5 \text{ kDj}/(m^2\text{soat})$. Ventilyatsiyadan foydalanish koeffitsienti (3.6) bo‘yicha $K_v^0 = 0,16$ ga teng. Faol ventilyatsiya tizimining ish vaqtini $\Delta\tau_v = 24 \cdot 0,16 = 3,5 \dots 4,0$ soat/sutkani tashkil etadi.

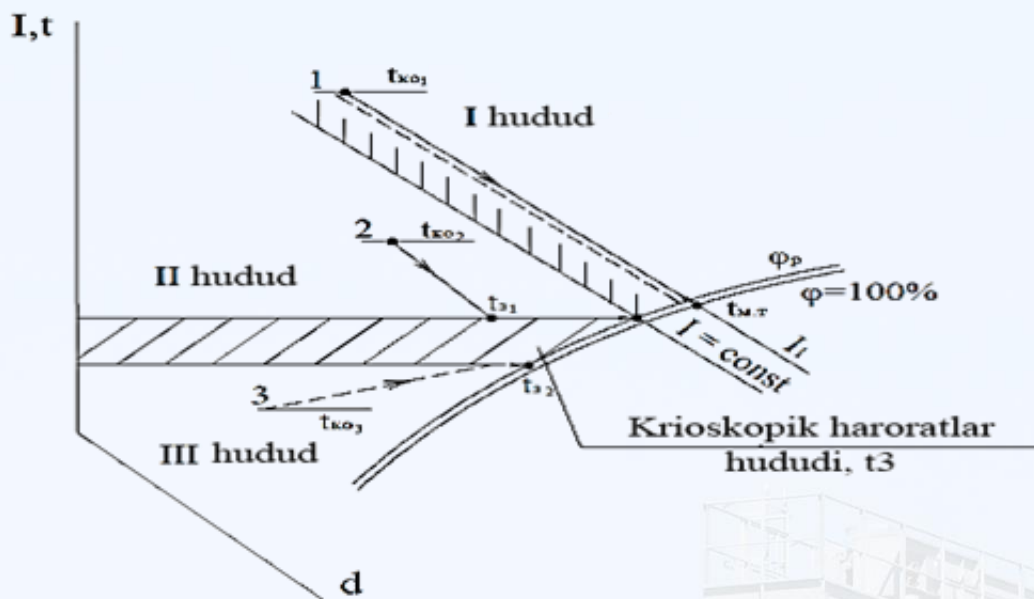
Masala 3.2. Foydalanilayotgan kartoshka saqlash omborida uyumga berilayotgan havoning o‘lchangan miqdori $L_v = 40m^3/(m^3\text{soat})$ ni tashkil etadi.

Sovutish davrida $\Delta T_0 = 10^0C$; $\Delta z_{\text{opt}} = 0,04^0C/\text{soat}$, aniq issiqlik ajralishlar $q_v = 100 \text{ kDj}/(m^3\text{soat})$; $\eta_{\text{por}} = 10^4 \cdot 0,04/100 = 4m^{3/0}C/\text{kDj}$; $K_v = 2(1+0,25 \cdot 4) / (1+1,5 \cdot 4,0) = 0,57$; $\Delta\tau_a = 24 \cdot 0,57 = 13,5 \dots 14$ soat/sutka. SHunday qilib, sovutish davrida tugunaklar uyumida sutka davomida tashqi (yoki sun’iy sovutiladigan) havoning $t_v \leqslant 1,0 \dots 1,5^0C$ ko‘rsatkichida $13,5 \dots 14$ soatdan kam bo‘lmagan harorat parametrlarini ta’minalash imkonini mavjud.

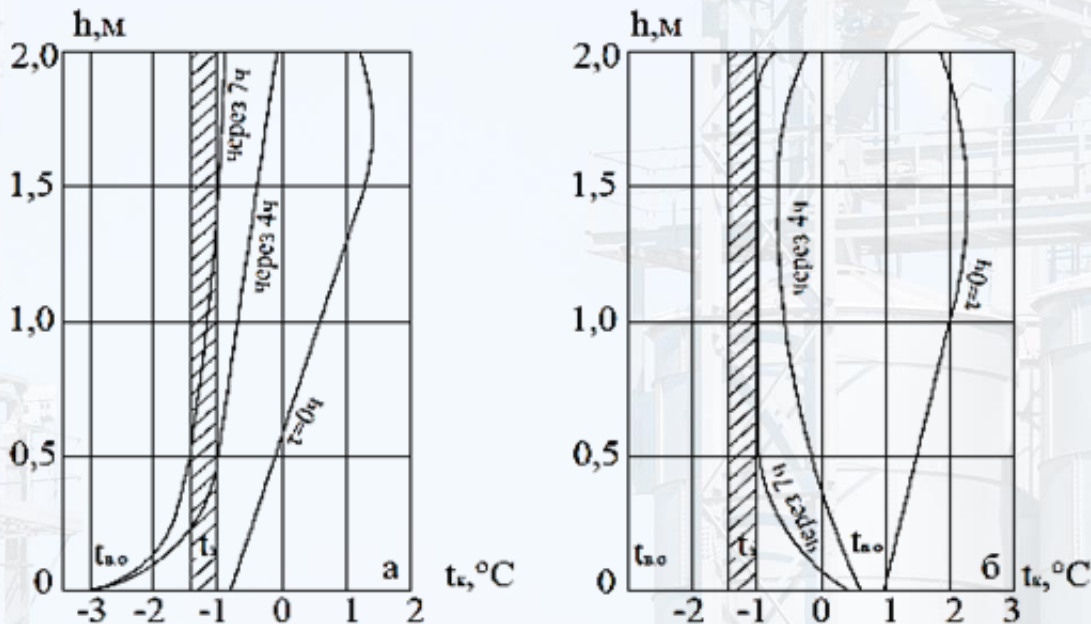
Sabzavotlar va kartoshka tugunaklari saqlanayotgan burtlarda faol ventilyatsiya tizimi ish rejimlari ham ushbu metodika bo'yicha aniqlanadi. Burt hajmi bo'ylab havo tarqalishi notejis bo'lganligi uchun mahsulotni shamollatishni umumiy vaqtini Δt 30...40 % ga oshirish zarur.

Karam saqlash omborlarining ventilyatsiya tizimi. Karam boshlari uchun tashqi va ichki qatlamlarining termik qarshiligi o'zaro bir-biriga mos bo'ladi. Tashqi issiqlik almashinish bilan bir vaqtda, uyum qoplamasi elementlari orasidagi issiqlik almashinish hodisasini ham e'tiborga olish kerak, chunki bu holat karam boshlari uyumini sovutish dinamikasi sifatiga boshqa turdag'i barra o'simlik xom ashvosiga ko'ra katta ta'sir ko'rsatadi.

Karam boshlari uyumlarini sovutishni o'ziga xos xususiyati shundaki, namlik bug'lanishining intensivligi (xuddi shu diametrдagi sharlarni namlanish intensivligidan 37-45 % ni tashkil etadi) yuqori bo'ladi. Bug'lanuvchi sovuqlik karam boshlari yuzasi haroratini deyarli ho'l termometr haroratigacha $t_{M.T}$ ($t_{ko1} \rightarrow t_{m.t}$) jarayoni, $\varphi_r \approx \varphi = 100\%$ pasaytiradi, bunda karam boshlarining boshlang'ich harorati $t_{ko1} I$ – hududda ($I_1 > I$) yotadi (3.4-rasm). II-hududda joylashgan karam boshlarining yuzasi harorati t_{ko2} – da sovutish jarayoni haroratni izoentalpa bo'ylab krioskopik nuqtagacha t_3 ($t_{ko2} \rightarrow t_3$) pasayishi bilan xarakterlanadi. Sovutish jarayoni korreksiyalovchi qatlama yuzanadi, uyum balandligi bo'ylab purkalayotgan havoning harorati t_3 dan yuqori bo'lganda ham, past bo'lganda ham yuzaning doimiy haroratiga $t_k \approx t_3$ erishiladi (III-hudud), bu esa 3.5-rasmda keltirilgan karam uyumlarini sovutish dinamikasining eksperimental yo'l bilan olingan qiymatlarini tasdiqlaydi.



3.4-rasm. Korreksiyalovchi qatlamda karam boshlari yuzasining harorati



3.5-rasm. Karam boshlari uyumini sovutish dinamikasi: havoning solishtirma sarfi $L=180 \text{ m}^3/(\text{m}^2 \text{ soat})$, havoning nisbiy namligi $\varphi_{vo} = 80\ldots85\%$; a – havoning boshlang‘ich harorati $t_{vo} = -3 {}^\circ\text{C} < t_3$; b – havo harorati $t_{vo} = 0,5 {}^\circ\text{C} > t_3$.

Yuqorida keltirilgan o‘ziga xos xususiyatlarni hisobga olgan holda karam boshi yuzasi harorati t_k va karam boshi markazidagi haroratni t_k aniqlash bo‘yicha qo‘yilgan masala quyidagi formulirovkaga ega. Radiusi R bo’lgan sharni a_k , s_k va r_k ning berilgan qiymatlarida doimiy harorat t_{vo} o‘rnataladi, shar hajmi bo‘ylab issiqlik manbalari q_v bir tekisda tarqalgan bo‘ladi.

Sharning boshlang‘ich harorati t_{k_0} ga teng. Shar markazidagi haroratning t_k ma’lum vaqt oralig‘ida τ_k ni aniqlash zarur.

Karam boshlarini gomogen issiqlik fizik xossalarga ega element deb qabul qilib, unga nisbatan super holatlar prinsipini qo‘llaymiz va masala yechimini ikkita masala yig‘indisini qo‘shish orqali topamiz, bunda boshlang‘ich argumentlar $F_0 = \alpha_k \tau_k / (0,5 d_{cp}^2)$; $\eta = r/R$; bitta holatda biologik issiqlik ajralishlar q_v hisobga olinmaydi, lekin boshlang‘ich va chegaraviy shartlar (t_1) berilgan bo‘ladi, ikkinchi holatda – issiqlik ajralish manbalari mavjud, lekin boshlang‘ich va chegaraviy shartlar (t_q) bo‘lmaydi:

$$t_{k R=0} = t_1 + t_q. \quad (3.8)$$

Birinchi holatda masala yechimi 3.6-rasm bo‘yicha quyidagi formulaga asosan Θ_t – parametrining qiymatlarini aniqlashdan iborat:

$$t_1 = t_{bo} + \theta_t (t_{k_0} - t_{bo}). \quad (3.9)$$

Haroratni t_q aniqlash uchun issiqlik ajralishlar masalalar yechimini va I va III turdagи chegaraviy shartlarda vaqt bo‘yicha o‘zgaruvchanlarga ega masalalar yechimini orasidagi bog‘liqlikdan foydalanamiz.

$$t_q = t_{ad} - t_t, \quad (3.10)$$

bu yerda t_{ad} – vaqt lahzasidagi τ_k jismdagи adiabatik harorat (yuza bo‘ylab issiqlik almashinish umuman yo‘qligida):

$$t_{ad} = \frac{1}{c_k \rho_k} \int_0^{\tau_k} q_v d\tau = \frac{q_v}{c_k \rho_k} \tau_k \quad (3.11)$$

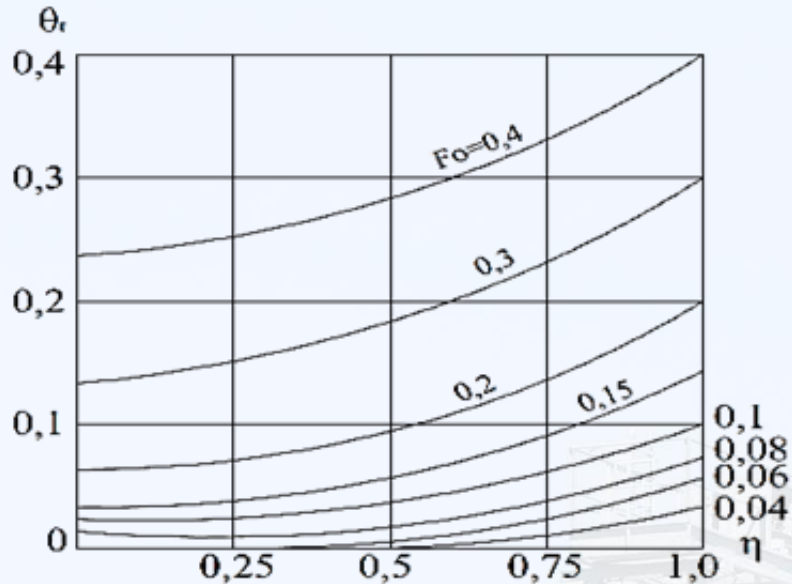
t – qiymati jismni issiqlik ajratmagan holatdagi haroratini q_v namoyon qiladi, bunda yuza harorati (3.11) ga o‘xhash qonuniyat asosida o‘zgaradi va quyidagi bog‘liqlikga ega.

$$t_t = t_{bo} + \theta_t b (0,5 d_{cp})^2 / a_k \quad (3.12)$$

boshlang‘ich va chegaraviy shartlarda:

$$t_{k\tau=0} = t_{k_0}; \quad t_{r=R} = t_{k_0} + b\tau; \quad \frac{\partial t}{\partial \tau} \Big|_{\tau=0} = 0.$$

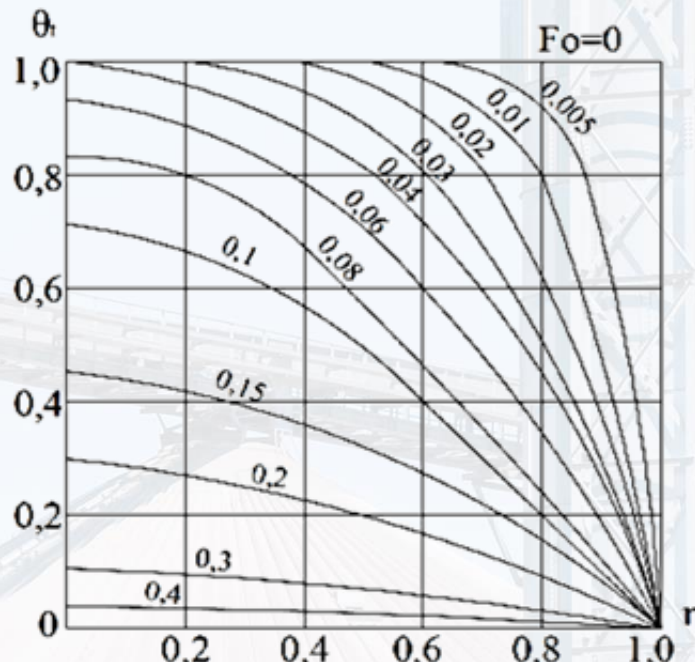
Harorat parametri Θ_t jadval bo'yicha aniqlanadi (3.7-rasm).



3.7-rasm. (3.12) – formuladagi havoning parametrlari Θ_t

Karam boshlari uyumi tomonidan $t_{m,1}$ yoki t_3 haroratlarga erishish vaqtini kelayotgan havoni $\varphi_{vo} > 75\%$ dagi nisbiy namlik qiymati, havo sarfining $L = 75 \dots 300 \text{ m}^3/\text{m}^2$. soat) diapazonlarida uyumdagagi haroratni boshlang'ich profilini hisobga olmagan holda 15% xatolikgacha quyidagi bog'liqlikdan aniqlash mumkin.

$$\tau_h = 1,6 \cdot 10^3 x / L. \quad (3.13)$$



3.6-rasm. (3.9) – formuladagi havoning parametrlari Θ_t

Karam boshlari tomonidan havoning kirish kesimidan x – masofada joylashgan $t_{m.t}$ yoki t_3 – haroratlar tomon vaqtinchalik siljishga erishishi (3.13) – bo‘yicha aniqlanadi. Uyum balandligi h bo‘ylab τ_n , soat, qiymatlari 3.1-jadvalda berilgan.

3.1-jadval

Karam boshlari yuzasini $t_{m.1}$ yoki t_3 haroratlarga erishish vaqt, soatda

$L, m^3/(m^2s) / h, m$	1,0	1,5	2,0	2,5	3,0	3,5	4,0
100	16,0	24,0	32,0	40,0	48,0	56,0	64,0
150	10,6	16,0	21,3	26,7	32,0	37,3	42,7
200	8,0	12,0	16,0	20,0	24,0	28,0	32,0
250	6,4	9,6	12,8	16,0	19,2	22,4	25,6

Saqlash omborlarini h va t -ning berilgan qiymatlarida faol shamollatish tizimlarini yangidan loyihalashda yoki rekonstruksiyalashda havoning solishtirma sarfi:

$$L = 1,6 \cdot 10^3 h / \tau_n. \quad (3.14)$$

Ichki masalani yechimi I-turdagi chegaraviy shartlarda bir bosh karamningsovush vaqtini aniqlashdan iborat. Bu masalaning yechimi 3.3-misolda keltirilgan.

Misol 3.3 Radiusi $R=d$ o‘rt/2=0,1 m bo‘lgan karam boshining markazidagi harorat (3.8) – bo‘yicha aniqlanadi. Boshlang‘ich ma’lumotlar $\Theta_k = 5 \cdot 10^4 \text{ m}^2/\text{soat}$; $S_k R_k = 4,7 \cdot 700 = 3290 \text{ kDj}/(\text{m}^3 \text{ }^\circ\text{C})$; $t_{kg} = R = -1 \text{ }^\circ\text{C} = \text{const}$; karam boshining boshlang‘ich harorati t_{ko} : - 0,5 $^\circ\text{C}$; 0,0 $^\circ\text{C}$; 1,0 $^\circ\text{C}$; 2,0 $^\circ\text{C}$; 3,0 $^\circ\text{C}$; 5,0 $^\circ\text{C}$; 10,0 $^\circ\text{C}$; sovutishni hisoblangan vaqt $\tau_{vn} = 1,0 \text{ soat}$; 2,0 soat; 3,0 soat; 4,0 soat; 6,0 soat; 8,0 soat; Fure soni $F_0 = a_k \tau_{ichki} / (0,5 \text{ s/o’rt}^2)$.

Hisob natijalarini 3.2-jadvalga jamlaymiz (suratda t_1 – qiymatlari maxrajda – t_q qiymatlari).

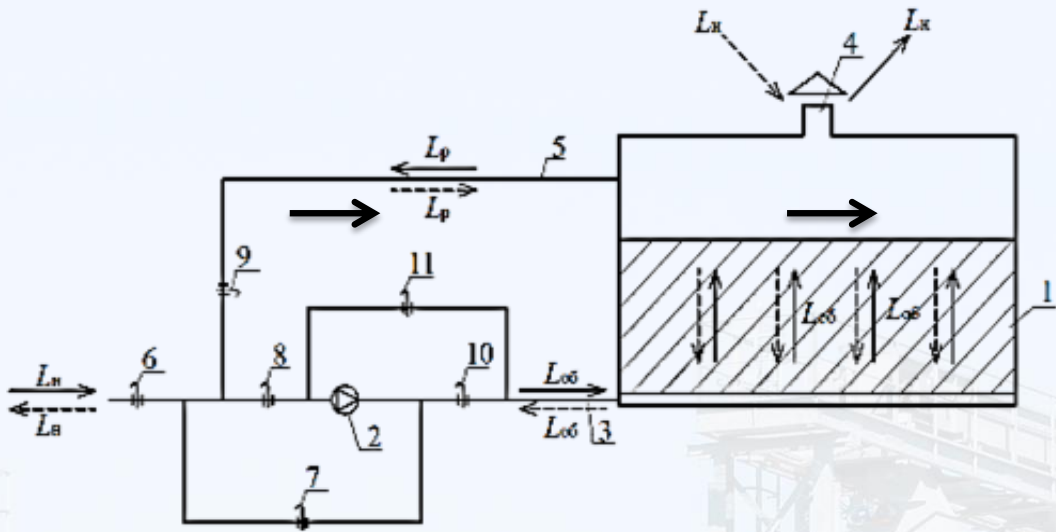
3.2-jadval

Karam boshining yuzasida va markazida haroratlar $t_k \text{ R=0}$ dinamikasi

τ_{vn} , s	Fo	θ_{tl}/θ_q	$t_{ko}, {}^{\circ}\text{C}$						
			-0,5	0,0	1,0	2,0	3,0	5,0	10,0
1	0,005	$\frac{0,97}{0,005}$	$\frac{-0,52}{0,005}$	$\frac{-0,03}{0,005}$	$\frac{0,94}{0,005}$	$\frac{1,91}{0,005}$	$\frac{2,88}{0,005}$	$\frac{4,82}{0,005}$	$\frac{9,67}{0,005}$
2	0,10	$\frac{0,71}{0,018}$	$\frac{-0,65}{0,018}$	$\frac{-0,29}{0,011}$	$\frac{0,42}{0,011}$	$\frac{1,13}{0,011}$	$\frac{1,84}{0,011}$	$\frac{3,26}{0,011}$	$\frac{6,81}{0,011}$
3	0,15	$\frac{0,44}{0,028}$	$\frac{-0,78}{0,016}$	$\frac{-0,56}{0,016}$	$\frac{-0,12}{0,016}$	$\frac{0,32}{0,016}$	$\frac{0,76}{0,016}$	$\frac{1,64}{0,016}$	$\frac{3,84}{0,016}$
4	0,20	$\frac{0,275}{0,006}$	$\frac{-0,86}{0,024}$	$\frac{-0,72}{0,024}$	$\frac{-0,45}{0,024}$	$\frac{-0,16}{0,024}$	$\frac{-0,12}{0,024}$	$\frac{0,68}{0,024}$	$\frac{2,08}{0,024}$
6	0,30	$\frac{0,11}{0,13}$	$\frac{-0,95}{0,04}$	$\frac{-0,89}{0,04}$	$\frac{-0,78}{0,04}$	$\frac{-0,67}{0,04}$	$\frac{-0,56}{0,04}$	$\frac{-0,34}{0,04}$	$\frac{0,21}{0,04}$
8	0,40	$\frac{0,04}{0,23}$	$\frac{-0,98}{0,058}$	$\frac{-0,96}{0,058}$	$\frac{-0,92}{0,058}$	$\frac{-0,88}{0,058}$	$\frac{-0,84}{0,058}$	$\frac{-0,76}{0,058}$	$\frac{-0,56}{0,058}$
τ_{vn} , s	Fo	θ_{tl}/θ_q	$t_{kr=0}, {}^{\circ}\text{C}$						
			-0,5	0,0	1,0	2,0	3,0	5,0	10,0
8	0,005	$\frac{0,97}{0,005}$	-0,515	0,025	0,945	1,915	2,885	4285	9,675
1	0,10	$\frac{0,71}{0,018}$	-0,639	-0,279	0,431	1,141	1,851	3,271	6,821
2	0,15	$\frac{0,44}{0,028}$	-0,764	-0,544	-0,104	0,336	0,776	1,656	3,856
4	0,20	$\frac{0,275}{0,006}$	-0,836	-0,696	-0,426	0,136	0,144	0,704	2,104
6	0,30	$\frac{0,11}{0,13}$	-0,91	-0,85	-0,74	-0,63	-0,52	-0,30	0,25
8	0,40	$\frac{0,04}{0,23}$	-0,922	-0,902	-0,862	-0,822	-0,782	-0,702	-0,502

Faol shamollatishni reversiv tizimlari. Saqlash omborining faol shamollatishni reversiv tizimining principial sxemasi 3.8-rasmida keltirilgan. Bu tizimni ishi davomida shamollatish uchun mo‘ljallangan havo oqimlarini mahsulot uyumida “pastdan yuqoriga” va “yuqoridan pastga” sxemalari bo‘yicha navbatma-navbat almashilishi kuzatiladi.

“Pastdan yuqoriga” shamollatish. Barra o’simlik xom ashyosi uyumiga 1 ventilyator 2 yordamida havo kelish kanali 3 bo‘ylab mahsulotni sovutuvchi havo uzatiladi.



3.8-rasm. Saqlash omborlarining reversiv faol shamollatish tizimida havo oqimining harakati yo‘nalishi: “pastdan yuqoriga” shamollatishda; “yuqoridan pastga” shamollatishda.

Sovutish davrida uyumga tashqi havo to‘g‘ri oqim holida (retsirkulyasiyasiz) uzatilib ($L_v = L_{ym}$), bu havo chiqarish shaxtasi 4 orqali to‘liq atmosferaga chiqariladi. Bu vaqtda havo kelish kanalidagi 6, 8 va 10 boshqaruvchi armaturalar (drosellar, shiberlar) to‘liq ochiq bo‘ladi, boshqa havo kelish kanallarida 7, 9 va 11 da ular yopiq bo‘ladi.

Saqlashni asosiy davrida kelayotgan havoni shakllantirish kelayotgan havoni L_n minimal miqdorini retsirkulyasyon havo kanali 5 orqali saqlash omboridan chiqarilayotgan retsirkulyasyon havo L_r bilan aralashtirish orqali amalga oshiriladi. Reversiv faol shamollatish tizimini bu tariqa ekspluatatsiya rejimida ventilyatorning 2 ishi davrida, 6, 8, 9, 10 armaturalar to‘liq yoki qisman ochiladi, 7 va 11 armaturalar esa yopiladi. Mahsulot uyumidan o‘tgan havo $L_n = L_r$ miqdorda atmosferaga chiqariladi, qolgan qismi esa retsirkulyasiyaga beriladi.

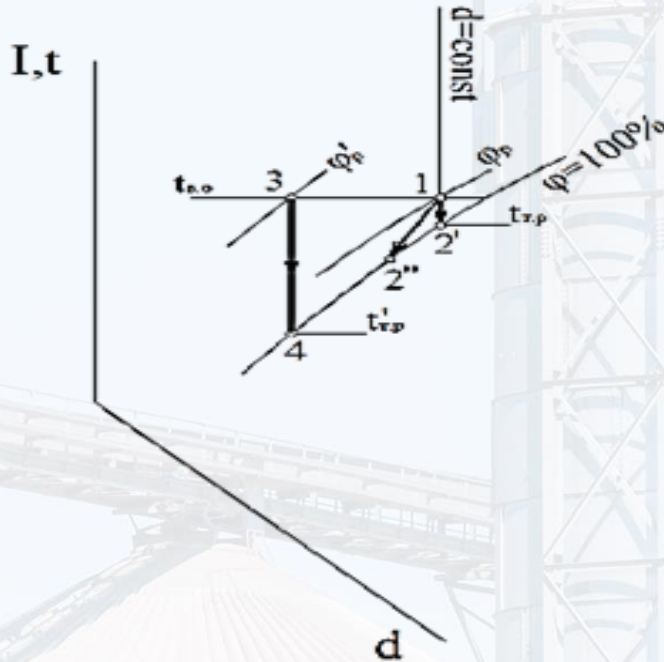
“Yuqoridan pastga” shamollatish. Sovutish davrida uyumga $L_m = L_{ym}$ miqdorda to‘liq tashqi havo keladi. Atmosfera havosi ventilyator 2 yordamida chiqarish shaxtasi

4 orqali tortilib, mahsulot uyumidan 1 o‘tadi va tashqariga chiqariladi. To‘siq armaturalar 6, 7, 9 ochiq, 8, 9, 10 armaturalar yopiq bo‘ladi.

Saqlashni asosiy davri tashqi (L_T) va retsirkulyasion (L_P) havolarni saqlash omborining mahsulotdan holi bo‘lgan yuqori qismida, uyumga purkalishdan avval o‘zaro aralashishi bilan xarakterlanadi. Drossellar (shiberlar) 6, 7, 9, 10 ochiq, 8, 10-esa yopiq bo‘ladi.

Reversiv faol shamollatish tizimining unumdorligi va ish rejimi. havo oqimining yo‘nalishi “yuqoridan pastga” bo‘lganda mahsulot uyumining yuqori qismida paydo bo‘lishi mumkin bo‘lgan kondensatsiya hududlarini kelib chiqish sabablarini tahlil qilamiz. Uyumning yuqori qismida isigan havo qatlamlardagi nisbatan past haroratli mahsulot bilan o‘zaro ta’sirlashib, shudring nuqtasigacha (1-2[’]) jarayonlar) va undan ham past haroratgacha (1-2[”]) jarayon) sovushi mumkin (3.9-rasm). Suv bug‘lari quyidagi tengsizlik shartlari bajarilganda kondensatsiyalanmaydi (3.1-rasm):

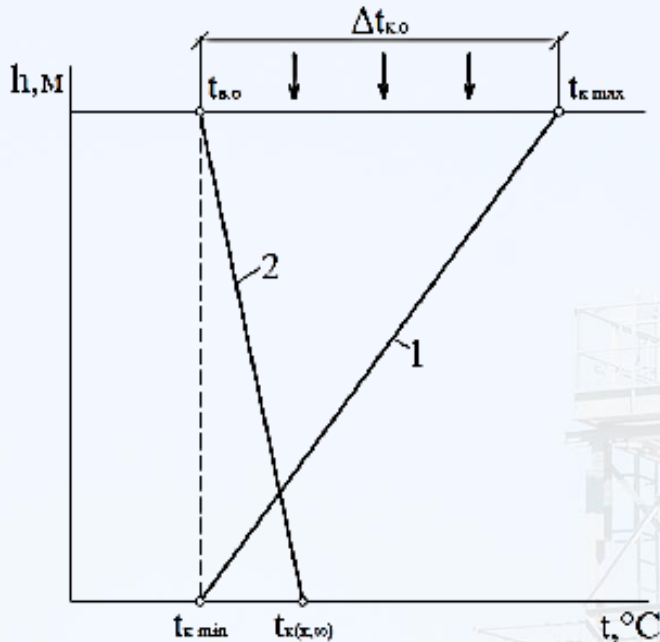
$$t_{k,\max} - t_{k,\min} \leq \left(\frac{q_v}{\Pi c_u \rho_u u} + \frac{q_v}{a_{rv}} \right) + (t_{s,o} - t_{s,p}) \quad (3.15)$$



3.9-rasm. Mahsulot uyumida kondensatsiya hodisasining tahlili.

Tengsizlikni o‘ng qismida birinchi qavs karkasni (mahsulotni) biologik issiqqliq ajralishlar hisobiga havoga nisbatan qizishini, ikkinchi qavs esa havoning boshlang‘ich

holatini ko'rsatadi. Uyumdagi nisbiy namlik muvozanati (φ) kamayishi bilan kelayotgan havo parametrlari chap tomonga (3-nuqta, 3.9-rasm siljiydi va shudring nuqtasi harorati ($t_{\tau,p}$) pasayadi (4-nuqta).



3.10-rasm. Uyumda havoning “yuqoridan pastga” purkashda haroratlarni tarqalishi: 1-TK siklidan so'ng yakuniy holat; 2-MK siklidan so'ng yakuniy holat.

Misol 3.4. Kartoshka va karam uyumlarini “yuqoridan pastga” shamollatishda suv bug'larini kondensatsiyalanishini oldini oluvchi shartlarni aniqlang.

Kartoshka saqlash ombori. Boshlang'ich ma'lumotlar: tugunklardan ajralayotgan solishtirma issiqlik miqdori $q_v=12 \text{ Bm/m}^3$; uyumlar balandligi $h=1,0; 2,0; 3,0; 4,0; 5,0$ va $6,0 \text{ m}$; kelayotgan havo parametrlari $t_{v,0}=2,0 \text{ }^{\circ}\text{C}$, $\varphi_{v,0}=95, 90, 85$ va 80% ; havoning solishtirma sarfi $L=320 \text{ m}^3/(\text{m}^2 \cdot \text{soat})$, bu esa qatlamdagi havoning $u=0,222 \text{ m/s}$ tezligiga to'g'ri keladi, uyum g'ovakligi $P=0,4$; havoning solishtirma massaviy issiqlik sig'imi $s=0,279 \text{ Bm} \cdot \text{soat}/(\text{kg }^{\circ}\text{C})$; havoning zichligi $\mathcal{P}_{x,26}=1,28 \text{ kg/m}^3$. Tugunklar uyuming issiqlik berish koeffitsienti $a_{tv}=30+1400u \text{ Vm}/(\text{m}^2 \text{ }^{\circ}\text{C})$.

Shudring nuqtasi haroratini I-d-diagramma bo'yicha $t_{v,0}$ va $\varphi_{v,0}$ qiymatlari asosida aniqlaymiz, tegishlichcha $\varphi_{v,0}=95, 90, 85$ va 80% ; $t_{mp}=1,6; 1,0; 0,4; -0,2 \text{ }^{\circ}\text{C}$.

Hisob natijalari (3.15-bo'yicha) 3.3-jadvalda keltirilgan.

Karam saqlash ombori. Boshlang'ich ma'lumotlar: $q_v=4,3 \text{ Bt/m}^3$; $h=1,2,3 \text{ m}$; $t_{v,0}=-0,1 \text{ }^{\circ}\text{C}$; $\varphi_{v,0}=97, 95, 90, 85 \%$; havoning solishtirma farqi $L=300 \text{ m}^3/(\text{m}^2 \cdot \text{soat})$; $u=0,208 \text{ m/s}$; $P=0,4$; $S_v=0,279 \text{ Vt} \cdot \text{soat}/(\text{kg }^{\circ}\text{C})$; $\mathcal{P}_v=1,30 \text{ kg/m}^3$; $a_{tv} \approx 175 \text{ Bm}/(\text{m}^3 \text{ }^{\circ}\text{C})$

Shudring nuqtasi harorati I-d-diagramma bo‘yicha t_{vo} va φ_{vo} qiymatlari asosida aniqlaymiz, t_{tr} : -1,4; -1,8; -2,5; -3,5 °C.

Hisob natijalari (3.15-bo‘yicha) 3.4-jadvalda keltirilgan.

3.3-jadval

Kartoshka saqlash ombori uchun haroratlar farqini ($t_{k,max} - t_{k,min}$) hisoblash natijalari

$\varphi\% /h, m$	1,0	2,0	3,0	4,0	5,0	6,0
95	0,549	0,663	0,742	0,856	0,970	1,084
90	1,149	1,263	1,342	1,456	1,570	1,684
85	1,749	1,863	1,942	2,056	2,170	2,284
80	2,349	2,463	2,542	2,656	2,770	2,884

3.4-jadval

Karam saqlash ombori uchun haroratlar farqini ($t_{k,max} - t_{k,min}$) hisoblash natijalari

$\varphi\% /h, m$	1,0	2,0	3,0
97	0,449	0,513	0,557
95	0,869	0,913	0,957
90	1,569	1,613	1,657
85	2,569	2,613	2,657

Misollarda olingan uyumni isitilgan (yuqorigi) vasovutilgan (pastki) qatlamlarini haroratlarini farqi bo‘yicha olingan qiymatlar biologlar tomonidan tavsiya qilingan haroratlar diapazonida yotadi. Shunday qilib, barra o‘simlik xom ashyosini saqlashda optimal va ruxsat etilgan sharoitlarida kondensat hosil bo‘lishi kuzatilmaydi.

Sovutish davrida ($b=0$) barra o‘simlik xos ashyosini qatlamlı sovushi kuzatiladi. Harorat ajralishining eng intensiv davrida ko‘chish tezligini fronti shamollatishni har qanday yo‘nalishda doimiy bo‘ladi. Vaqt ni kamaytirish va mahsulotni sovish tezligini oshirishni asosiy yo‘li bilan bu “pastdan yuqoriga” va “yuqoridan tepaga” qarab shamollatish usullarini navbatma-navbat almashtirishdir, bunda faol shamollatish tizimlarini ish vaqtiga 50 % ga qisqaradi. Ventilyatsiyadan foydalanish koeffitsientini topish formulasi (3.2) quyidagi ko‘rinishga keladi:

$$K_{\text{v}}^{\text{p}} = 0,5K_{\text{v}} = 0,5\Delta\tau_{\text{v}}/24. \quad (3.16)$$

Havo sarfining L_{v} optimal qiymati (3.1) bo'yicha aniqlanadi. K_{v}^{r} ning olingan qiymati (reversiv shamollatishda) 3.2-rasmda koordinatalar o'qi bo'yicha o'ngda keltirilgan.

Saqlashni asosiy davri. Uyumga havo berishni reversiv usulida ("yuqoridan pastga") ventilyatsiyadan foydalanish koeffitsienti K_{v}^{r} quyidagi ko'rinishga ega:

$$K_{\text{v}}^{\text{p}} = 0,5(0,4 q_{\text{v}} / L_{\text{v}} - 3,4 / L_{\text{v}} h). \quad (3.17)$$

Sistema ishini reversiv siklida havoni ham "pastdan yuqoriga" ham "yuqoridan pastga" qarab uzatish usullarida K_{v} , K_{v}^{r} , L_{v} , q_{v} va t_{xp}^0 larning bog'liqliklari 3.3-rasmda ko'rsatilgan.

Misol 3.5. Foydalilanayotgan kartoshka saqlash omborida to'g'ri oqimli va reversiv faol shamollatish tizimlarini ish rejimlarini aniqlang. Havoning belgilangan sarfi $L_{\text{v}}=40\text{m}^3/(\text{m}^3\cdot\text{soat})$.

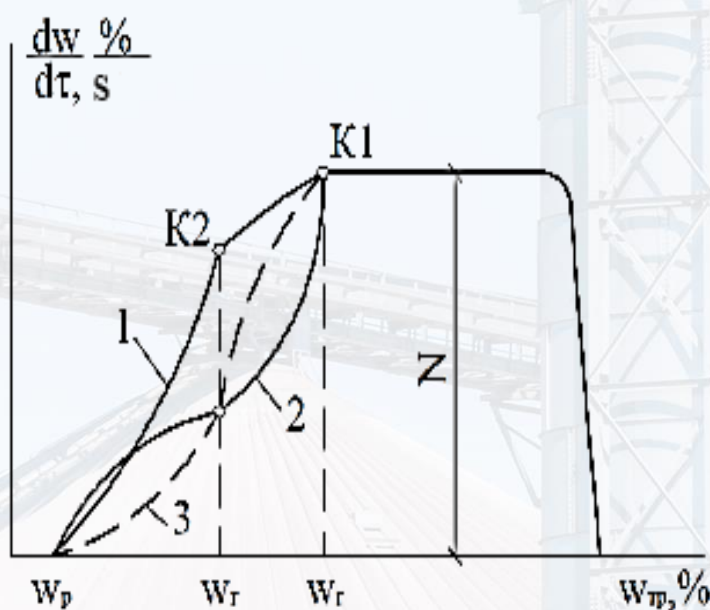
Uyumni sovutish davrida $\Delta T_0=10^{\circ}\text{C}$, $\Delta z_{\text{opt}}=0,04^{\circ}\text{C}/\text{soat}$, $q_{\text{v}}=100\text{ kDj}/(\text{m}^3\cdot\text{soat})$, $\eta_{\text{ef}}=10^4\cdot0,04/100=4,0\text{m}^3\cdot\text{C/kDj}$, $L_{\text{ef}}=40\cdot10/100=4,0\text{m}^3\cdot\text{S/kD}$. Uyumni "pastdan yuqoriga" qarab shamollatishda $K_{\text{a}}=2\cdot(1+0,25\cdot4)/(1+1,5\cdot4,0)=0,57$ bo'ladi. Faol shamollatish tizimining ish vaqtini $\Delta\tau_{\text{v}}=0,57\cdot24=13,5\dots14,0$ soat bir sutkada. Sovutish davrida to'g'ri oqimli shamollatish tizimi bir sutka davomida tuginaklar uyumida $t_n\leqslant1,0\dots1,5^{\circ}\text{C}$ texnologik harorat parametrlarida kamida $13,0\dots14,0$ soat ishini ta'minlab bera oladi. Agar $\Delta\tau_{\text{v}}<13,5$ soat/sutka bo'lsa, sisteman ni mayjud unumdorligida uning havo unumdorligini oshirish maqsadida kelayotgan havoni sun'iy tarzda sovutish yoki faol shamollatish tizimini rekonstruksiyalash talab etiladi.

Reversiv rejimda sistemaning ish vaqtini deyarli ikki barobar qisqaradi va $\Delta t_{\text{v}}=0,5\cdot24\cdot0,57\approx7$ soat/sutkani tashkil qiladi. Berilgan holatda uyumni sovutish faqatgina tungi (eng sovuq) vaqtarda ($K_{\text{v}}<0,3$) sun'iy sovuqlik manbalaridan foydalilmagan holda amalga oshirilishi mumkin.

Hashak quritish intensivligini hisoblashni grafo-analitik usulining nazariy-eksperimental asoslari

Hashak quritish jarayonini nam havoning I-d-diagrammalaridan foydalangan holda hisoblash. Hashak quritish jarayoni murakkab issiqlik-fizikaviy jarayondir. Uning ikkita o‘zaro chambarchas bog‘liq asosiy tashkil etuvchilarini ko‘rsatish mumkin: material yuzasida kechadigan mahsulot va atrof-muhit orasidagi issiqlik va namlik almashinish jarayoni; mahsulotni ichki qatlamlaridan uning yuzasi tomon namlikni suyuqlik yoki bug‘ (yoki ikkalasini bir vaqtda) shaklida harakatlanishi kuzatiladi.

Hashak quritish jarayoni ikkita asosiy davrdan iborat (3.11-rasm): quritishning doimiy tezlik davri – gorizontal to‘g‘ri chiziq ($N=dw/d\tau=const$); quritish tezligini kamayish davri ($N=dw/d\tau=var$). Ya’ni o‘rilgan maysada ma’lum vaqt fiziologik hayot davom etib, aerob nafas olish kechadi. Hujayralarning nobud bo‘lishi erkin suvning asosiy massasi $W_{tp} \leq 35\dots40\%$ da ajralib chiqqach boshlanadi, namlikni bu ko‘rsatkichigacha bug‘lanish zonasining chuqurlashuvi kuzatilmaydi. Hujayralararo bo‘shliqdagi havoni to‘liq quritish jarayoni doimiy tezlikda, vital qarshiliksiz kechadi. 3.11-rasmda bu namlikga quritish tezligi chizig‘ini sinish nuqtalari K1 yoki K2 to‘g‘ri keladi.

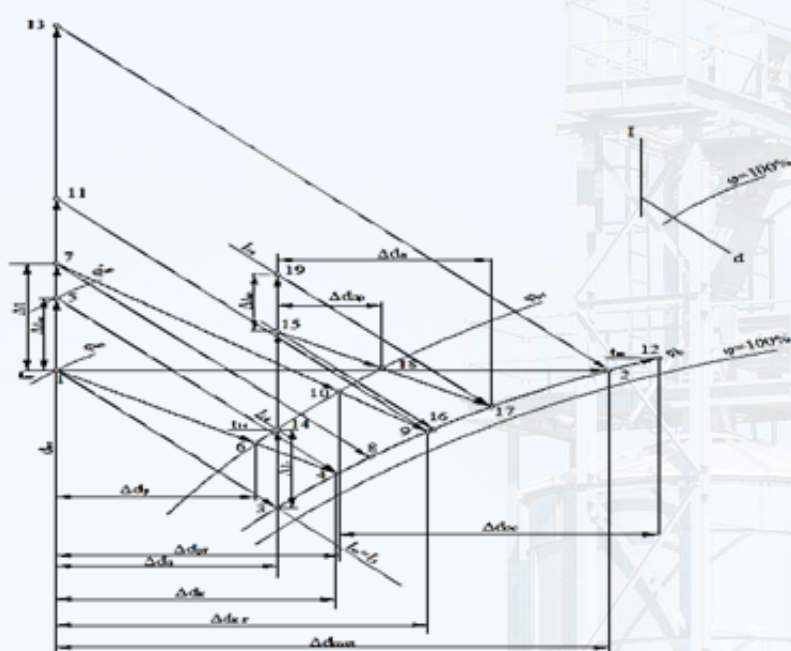


3.11-rasm. Kapillyar-g‘ovak (1) va kolloid kapillyar-g‘ovak (2) jismlarni qurishini tipik egri chiziqlari.

“Quritilayotgan hashak - havo” sistemasida namlik almashinishi jarayonlarining intensivligi biologik faol xom ashyo qatlamidagi issiqlik-massa almashinish jarayonlarini umumiy qonuniyatlariga bo‘ysunadi. Xashak qurishi uchun zarur bo‘lgan shartlar koeffitsienti E_t (2.82) bo‘yicha aniqlanadi.

Hashak quritish uchun zarur shartlar koeffitsienti E_t qiymatlari (2.82)- bo‘yicha aniqlanadi.

I-d-diagrammasida hashak quritish intensivligini xarakterlovchi asosiy jarayonlarni ko‘rsatamiz (3.12-rasm).



3.12-rasm. Hashakni quritish davomiyligi va intensivligi.

Kelayotgan havo t_{bo} , ϕ_{vo} , d_{vo} , I_{vo} , parametrlari /-nuqtada berilgan. Quritishni gipotetik izotermik jarayonida havo tomonidan yutilgan namlik miqdori $\Delta d_{max} = d_2 - d_1$ ga etadi. Real sharoitlarda quritish jarayonining doimiy tezligida ($w_{tr} > a w_n$) jarayon adiabatikga yaqin bo‘lib, havo namlik bilan ϕ_r gacha to‘yinadi. Havoning assimilyasiyalovchi hossasi bu jarayonda $\Delta d = d_3 - d_1$ bo‘ladi. Jarayonning adiabatikligi biologik issiqlik ajralishlar (I-4) hisobiga buzilib, bu havoni Δt_{vo} da isishiga barobar bo‘ladi. Havoning nam yutish hossasi $\Delta d_k = d_4 - d_1$ gacha oshadi.

Hashak namligi gigroskopik namlikdan ($w_{tr} < w_n$, quritish jarayonining kamayib boruvchi tezligi) kamayganda, muvozanat nisbiy namlik qiymati kamayadi. Korreksiyalovchi qatlampagi havoning nam yutish hossasi desorbsiyalanish izotermalarini φ_{r1} hisobga olib aniqlanadi va $\Delta d_p = d_6 - d_1$ (1-6) ga teng bo‘ladi.

Havoni Δt (1-7)-da dastlabki sun’iy isitilishi uning nam yutish hossasini $\Delta d_{kg} = d_9 - d_1$ gacha oshishiga olib keladi, agarda hashak nam (7-9) bo‘lsa yoki uning namligi gigrokopik namlikdan past bo‘lsa (7-10) $\Delta d_{pr} = d_{10} - d_1$ ga olib keladi. Jarayon (7-11) hashakni Δt_{vo} da o‘z-o‘zidan qizishini ko‘rsatadi.

Hashakning asosiy qatlamida biologik issiqlik ajralishlar tufayli havo tomonidan namlikni assimilyasiyalash davom etadi (4-12). Yutilgan namlik $\Delta d_{oc} = d_{12} - d_4$ ni tashkil qiladi.

Yomg‘irlar davrida tashqi havo parametrlari 3-nuqtaga (birinchi yaqinlashuvda 1-3 izoentalpa bo‘yicha $\varphi_n \approx \varphi_r \approx 100\%$ gacha o‘lchanadi) to‘g‘ri keladi va aniq iqlimi sharoitlarga bog‘liq bo‘ladi. Tahlil uchun yomg‘irlar davridagi 3-nuqtaga to‘g‘ri keluvchi havo parametrlarini qabul qilib, quritilayotgan hashakni namlanishini oldini oluvchi shartlarni ko‘rsatamiz. Xashakni bir qismi qurigach, havoni φ_{r1} (3-14) ga to‘g‘ri keluvchi haroratgacha isitish ijobiy natija bermaydi, chunki tashqi havoni $\Delta t_d < (t_{14} - t_3)$ da isitishda hashak bilan ta’sirlashuvi namlanish bilan sodir bo‘ladi. Faqatgina havoni t_{14} dan yuqori haroratgacha isishi uni hashak uchun quritish agenti sifatida ko‘rsatadi.

Yomg‘irlar davrida hashak qatlamiga berilayotgan havoni isitish uchun zarur issiqliknini umumiy miqdori:

$$Q_A = (I_{15} - I_3) L_B \rho_B; \quad (3.18)$$

Bunda quritish uchun foydalanilgan maqsadli issiqlik miqdori:

$$Q_{an} = (I_{15} - I_{14}) L_B \rho_B. \quad (3.19)$$

(3.18) va (3.19)-formulalarda faqatgina tashqi havoni 15-nuqtagacha isitish uchun zarur bo‘lgan issiqlik hisobga olinadi. Nafas olishdagi biologik issiqlik hashak tomonidan doimiy ajraladi.

Hashakdan namlikni dissimilyasiyalash uchun quritish jarayonining doimiy tezligida ($w_{tr} > w_g$) havoning minimal GB_{er} sarfi nazariy jihatdan olganda quyidagicha bo‘ladi.

$$G_{_{B_{er}}} = \frac{10^3 G_{hash}(w_{tr} - w_r)}{(100 - w_r) \Delta d_k} = \frac{10^3 G_c (w_{hash} - w_r)}{(100 - w_{hash}) \Delta d_k}; \quad (3.20)$$

Quritishning gigroskopik hududida ($w_{tr} < w_r$):

$$G_{_{B_r}} = \frac{10^3 G_{hash}(w_{tr} - w_r)}{(100 - w_r) \Delta d_p} = \frac{10^3 G_c (w_{hash} - w_r)}{(100 - w_{hash}) \Delta d_p}, \quad (3.21)$$

Bu yerda G_{tr} va G_s – tegishlicha hashakning boshlang‘ich va quritilgan holdagi massasi, m; Δd_k va Δd_r – havoning nam yutish hossasi, g/kg quruq havo, 3.12-rasmga asosan; w_{tr} , w_g , w_k - tegishlicha boshlang‘ich, gigroskopik va konditsion namligi, % da.

Konditsion namlikga ega quritilgan hashak olish uchun zarur bo‘lgan minimal vaqt faol shamollatish tizimining uzluksiz ish rejimida L_v , (m³/soat) nam hashakni quritish davri davomiyligi τ_1 va gigroskopik hududda qo‘srimcha quritish davrlaridan τ_2 , (soat) iborat:

$$\tau = \tau_1 + \tau_2, \quad (3.22)$$

Faol ventilyatsiya tizimidagi havoni hisoblangan sarfini (L_{FSHT}) havo tarqatish tizimini mukammal emasligi tufayli nazariy jihatdan minimal bo‘lgan miqdorga nisbatan oshirish kerak bo‘ladi. A-ning tajriba koeffitsienti maxsus somonxonalarida $A=1,20\dots1,25$ dan alohida saqlanayotgan qurigan hashak uyumlari uchun $A=2,0\dots2,5$ gacha bo‘ladi.

Aniq misollarda nam havoni *I-d*-diagrammasidan foydalangan holda hashak quritish jrayonini hisoblash metodikasini yoritamiz.

Misol 3.6. Yangi o‘rilgan, og‘irligi $G_{hash}=45$ m. bo‘lgan uyumlarga bir martada uyumlangan quritilishi zarur bo‘lgan o‘tloqi maysaning boshlang‘ich parametrlari quyidagicha: $w_{hash}=40\%$, $t_{hash}=15^{\circ}\text{C}$. Bunga havoning quyidagi muvozanat namligi $\varphi_r=93\%$ (1.1b - rasm) to‘g‘ri keladi.

Atmosfera havosining parametrlari (t./, bu yerda va boshqa joylarda 3.12-rasmdagi nuqtalar raqami):
 $t_{vo}=20^{\circ}\text{C}$; $\varphi_{vo}=55\%$.

I-d-diagramma bo'yicha $d_1=d_{vo}=8,2 \text{ g/kg qur.modda}$, $I_1=I_{vo}=40,7 \text{ kDj/kg}$, $t_3=15^{\circ}\text{C}$, $d_3=10,3 \text{ g/kg qur.modda}$ aniqlaymiz. Faol shamollatish tizimi qurilmasi unumdorligi $L_v=70000 \text{ m}^3/\text{soat}$ bo'lgan ventilyator bilan ta'minlangan.

Hashak tomonidan ajratilayotgan biologik issiqlikni hisobga olmagan holda havoning assimilyaslovchi hossasi $\Delta d_a=d_3-d_1=10,3-8,2=2,1 \text{ g/kg quruq moddani tashkil qiladi}$.

Maysaning namligi $25 < w_{xash} < 45\%$ ($w_{xash}^{or}=35\%$) bo'lganda 2.28-rasmdagi ma'lumotlarni hisobga olgan holda nafas olish issiqligi hisobiga 25% atrofida suv bug'lanadi.

O'z-o'zidan qizish issiqligini utilizatsiyasi $\Delta d_k = d_4 - d_1 = 1,25(d_3 - d_1) = 1,25 \cdot 2,1 = 2,62 \text{ g/kg qur.moddani tashkil qiladi}$.

Havodagi namlik miqdori 4-nuqta $d_4 = d_1 + \Delta d_k = 8,2 + 2,62 = 10,82 \text{ g/kg qur.moddani tashkil etadi}$. I-d-diagramma bo'yicha 4-nuqta parametrlarini aniqlaymiz: $t_4=16^{\circ}\text{C}$; $\varphi_\rho=93\%$; $I_4=43,7 \text{ kDj/kg}$.

Quritish jarayonini yuqori gigroskopiklikga ega hududdan gigroskopik hududga o'tishi $w_{tr}=w_1 \approx 31\%$ da amalga oshadi, qurigan hashakning konditsion namligi $w_k=19\%$.

Maysadan namlikni w_{xash} dan w_r gacha assimilyasiyalash uchun zarur bo'lgan havoning minimal sarfi (quritish jarayonining doimiy tezligida) (3.20) bo'yicha $G_{v,sm}=10^6 \cdot \frac{45(40-31)}{100-31} \cdot 2,62=2,24 \cdot 10^6 \text{ kg ni tashkil etadi}$.

Ajralayotgan namlik miqdori (2.46) $G_{nam}=45 \frac{40-31}{100-31}=5,79 \text{ t ni tashkil qiladi}$.

Hashakni W_1 dan W_k gacha qo'shimcha ravishda quritish uchun (quritish jarayonining bir me'yorda kamayib boruvchi tezligida) (3.21) – bo'yicha $G_{br}=2 \cdot 10^6 (45 - 5,79)(31 - 19)/(100 - 19) \cdot 2,62 = 4,43 \cdot 10^6 \text{ kg ni tashkil etadi}$.

Konditsion namlikga ega hashak olish uchun talab etilayotgan minimal vaqt (3.22) $\tau=\tau_1+\tau_2=26,6+52,7=79,3 \text{ soatni tashkil etadi}$, bu yerda $\tau_1=2,24 \cdot 10^6 / 1,2 \cdot 7 \cdot 10^4 = 26,6 \text{ soat}, \tau_2=4,43 \cdot 10^6 / 1,2 \cdot 7 \cdot 10^4$.

Yomg'irlar davrida atmosfera havosini zarur haroratgacha qizdirish darajasi uning $w_{xash}=40\%$ da nam yutish hossasi avvalgidan, ya'ni $\Delta d_g=2,62 \text{ g/kg qur.modda, saqlanib qolganda}$, I-d-diagrammada quyidagicha aniqlanadi.: namlik miqdori 17-nuqtada: $d_{17}=d_3+\Delta d_g=10,3+2,62=12,92 \text{ g/kg qur.modda}$; $\varphi_{17}=93\%$; $I_{17}=51,2 \text{ kDj/kg}$; $t_{17}=18,5^{\circ}\text{C}$ biologik issiqlikni hisobga olmagan holda hashak uyumidan chiqayotgan havodagi namlik miqdori $d_{16}=12,4 \text{ g/kg qur.modda}$, $t_{16}=18,2^{\circ}\text{C}$; $\varphi_{16}=93\%$; $I_{16}=49,1 \text{ kDj/kg ga teng bo'lar edi}$. 16-nuqtadan

izoentalpani $d_3 = 10,3 \text{ g/kg}$. *qur.modda* bilan kesishguncha olib o'tib 15 nuqtani aniqlaymiz: $d_{15} = d_3 = 10,3 \text{ g/kg}$ *qur.modda*; $t_{15} = 23,2^\circ\text{C}$; $I_{15} = 49,1 \text{ kDj/kg}$; $\varphi_{15} = 55\%$.

Yomg'irlar davrida zarur bo'lgan sun'iy isitish (3.18-bo'yicha) $(t_{15} - t_3) = 23,2 + 15,0 = 8,2^\circ\text{C}$ da $Q_g = (I_{15} - I_3)L_B\rho_B = (49,1 - 40,7) \cdot 7 \cdot 10^4 \cdot 1,2 = 7,05 \cdot 10^5 \text{ kDj/soatni}$ tashkil etadi.

Agar quritilayotgan maysa namligi gigroskopik namlik qiymatidan ($w_{tr} < w_r$) kam bo'lsa, masalan, $\varphi_p = 65\%$ ($14 - nuqta$), $d_{14} = d_3 = 10,3 \text{ g/kg}$. *qur.modda*, $t_{14} = 17,7^\circ\text{C}$, bunda bevosita quritish jarayoniga (3.19) $Q_{g,n} = (I_{15} - I_{14})L_B\rho_B = (49,1 - 45,8) \cdot 7 \cdot 10^4 \cdot 1,2 = 2,77 \cdot 10^5 \text{ kDj/soat} =$ issiqlik sarflanadi. Issiqlikning $Q_{gn} = (I_{14} - I_3)L_B\rho_B = (45,8 - 40,7) \cdot 7 \cdot 10^4 \cdot 1,2 = 4,28 \cdot 10^5 \text{ kDj/soat}$ miqdoridagi qolgan qismi quritilayotgan hashakning namlanib qolishini oldini olish maqsadida havoni nisbiy namligini kamaytirish uchun uni qizdirishga sarflanadi.

Nam havoning I - d - Θ diagrammalaridan foydalangan holda maysani quritish jarayonini nazariy-eksperimental asoslash va hisoblash. Havoning namlik potensiali $Q(2,55...2,59)$ – bog'liqliklar bo'yicha aniqlanadi. Nam havo parametrlarining ma'lum bog'liklar va namlik potensiali ikkalasidan foydalangan holda, I - d -0-diagrammaga namlik potensialining Θ doimiy chiziqlari kiritilib nam havoning I - d - Θ -diagrammasi hosil qilinadi (3.13-rasm). Namlik potensialini θ sonli shkalasini tuzishda filtr – qog'ozning $t = 20^\circ\text{C}$ haroratdagi muvozanat namlik miqdori qabul qilingan.

M.N.Kucherenko tomonidan I - d - Θ -diagrammaga kiritilgan havo potensiali qiymatlarini hisoblash bo'yicha analitik bog'liqliklar olingan:

-havoning nisbiy namligi 80 % dan ham bo'lmaganda (3.14-rasm)

$$\theta = 1,244 e^{0,219d} \quad (20 < d \leq 30); \quad (3.23)$$

$$\theta = 6,78e^{0,131d} \quad (0 < d \leq 20); \quad (3.24)$$

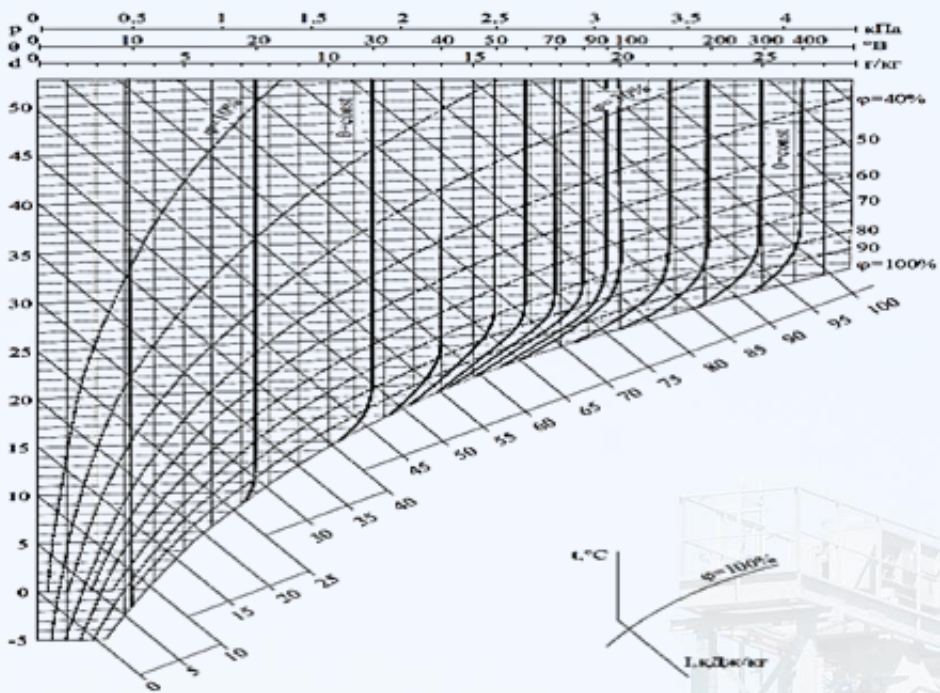
-havoning nisbiy namligi 80 % dan yuqori bo'lganda

$$\lg \theta = 0,096 d + 0,082 \quad (20 < d \leq 30); \quad (3.25)$$

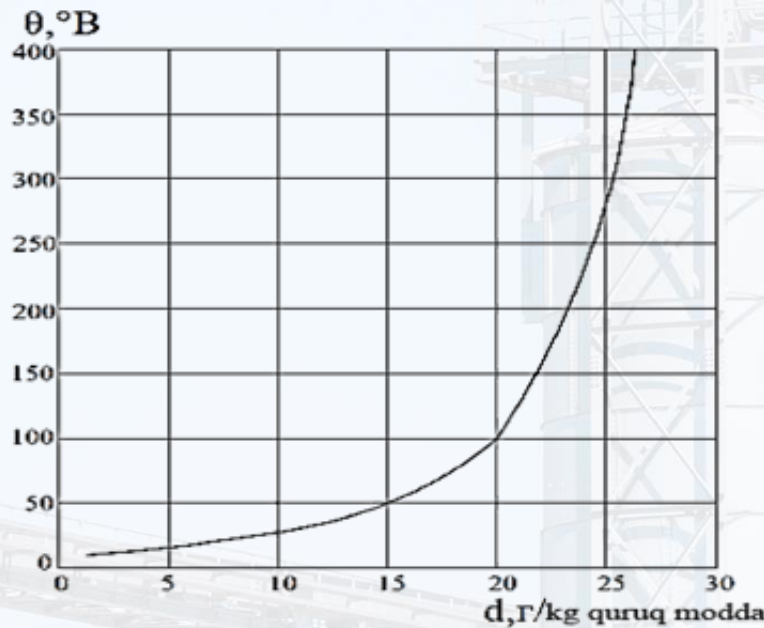
$$\lg \theta = 0,057 d + 0,829 \quad (0 < d \leq 20). \quad (3.26)$$

Umumiy holatda 10 % gacha noaniqlikda:

$$\lg \theta = 0,12 d - 0,049 t + 1,056. \quad (3.27)$$



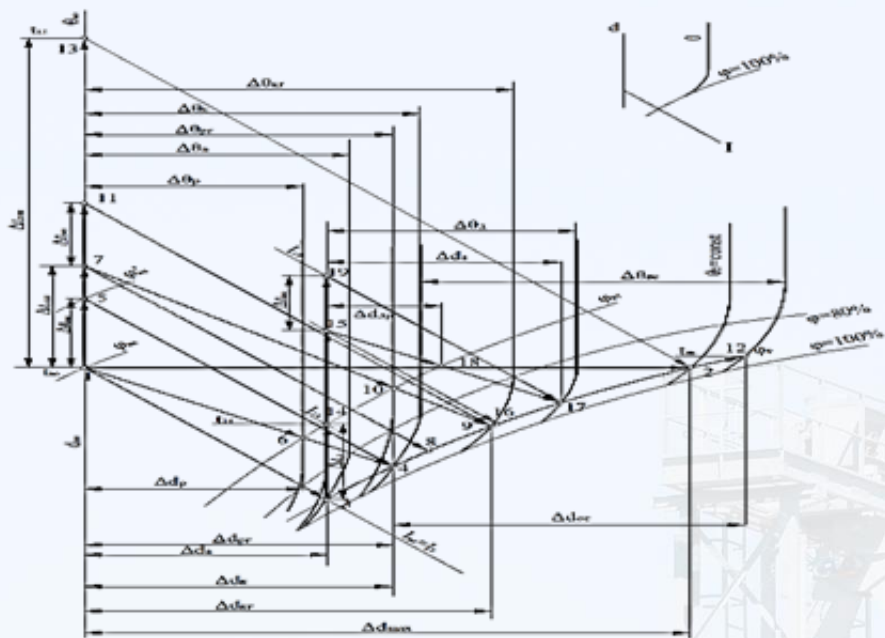
3.13-rasm. Nam havoning I - d - Θ -diagrammasi



3.14-rasm. Havoning namlik potensialini $\theta\varphi_v < 80\%$ havo tarkibidagi namlik miqdoriga bog'liqligi d .

Keltirilgan ma'lumotlar biologik faol xom ashyoni quritishdagi muhandislik hisoblar uchun I - d - Θ -diagrammasini qo'llanish mumkinligi to'g'risida xulosa qilishga imkon beradi. Havo (quritish agenti) va quritilayotgan maysa (quritish ob'ekti) orasida issiqlik-massa almashinishi jarayonlarini 3.15-rasmda keltirilgan I - d - Θ -diagrammada

aks ettirish *I-d*-diagrammada havoga ishlov berish jarayonlarini aks ettirishga o‘xshash bo‘ladi.



3.15-rasm. I-d- Θ -diagrammada havoga ishlov berish jarayonlari.

Massasi *G_{xash} bo'lgan* quritilayotgan hashakdan quritish agentiga ajralayotgan namlik miqdori W, g/soat (3.15-rasm, 1-4 jarayonlar) (2.60) ga ko'ra quyidagicha bo'ladi:

$$W = a_0(\theta_4 - \theta_1)G_{\text{tp}}, \quad (3.28)$$

bu yerda θ_1 va θ_2 – tegishlicha quritish jarayonining boshi va oxiridagi havo namlik potensiallari.

Quritilayotgan hashak yuzasiga yaqin bo‘lgan qatlamda havo namligining potensiali $\theta_4 = \theta_{yuza}$ massa namligiga va tegishligicha nisbiy namlikga bog‘liq: $w_{tr} < w_1$ da $\varphi_{yuza} = \varphi_r$; $w_{tr} > w_r$ da $\varphi_{yuza} \approx 100\%$. Hashak yuzasining lokal harorati (2.80) – tenglama bo‘yicha aniqlanadi.

Korreksiyalovchi qatlamdan chiqishda havoning namlik potensiali uning V – nuqtadagi parametrlari bilan aniqlanadi (2.19-rasm). V-nuqtadagi potensial desorbsiya izotermalari bilan ta’riflangan materialning gigroskopik hossalaridan kelib chiqadi yoki (3.23...3.25) bog‘liqlar bo‘yicha hisoblanadi.

Asosiy qatlamda 11 (2.17-rasm) namliklarining potensiali $\Delta\theta$ faqatgina maysa yuzasi va havo haroratlarining farqi Δt bilan aniqlanadi, chunki havoning nisbiy namligi doimiy bo‘ladi ($\varphi_v = \varphi_r = const$).

Eksperimental tadqiqotlar natijasida olingan ko‘chish koefitsientining $\alpha\theta$, g/(m² soat²V) grafik bog‘liqligi (2.29-rasm) uning qiymatini 10 % aniqlikgacha analitik usulda aniqlash uchun quyidagi ifodalarni qo‘llashga imkon beradi.

$$\alpha_0 = 8,15t + 363 \quad t < 20^\circ\text{C}; \quad (3.29)$$

$$\alpha_0 = 10,4t + 317 \quad 20 < t < 25^\circ\text{C}; \quad (3.30)$$

$$\alpha_0 = 23,8t - 27 \quad 25 < t < 30^\circ\text{C}. \quad (3.31)$$

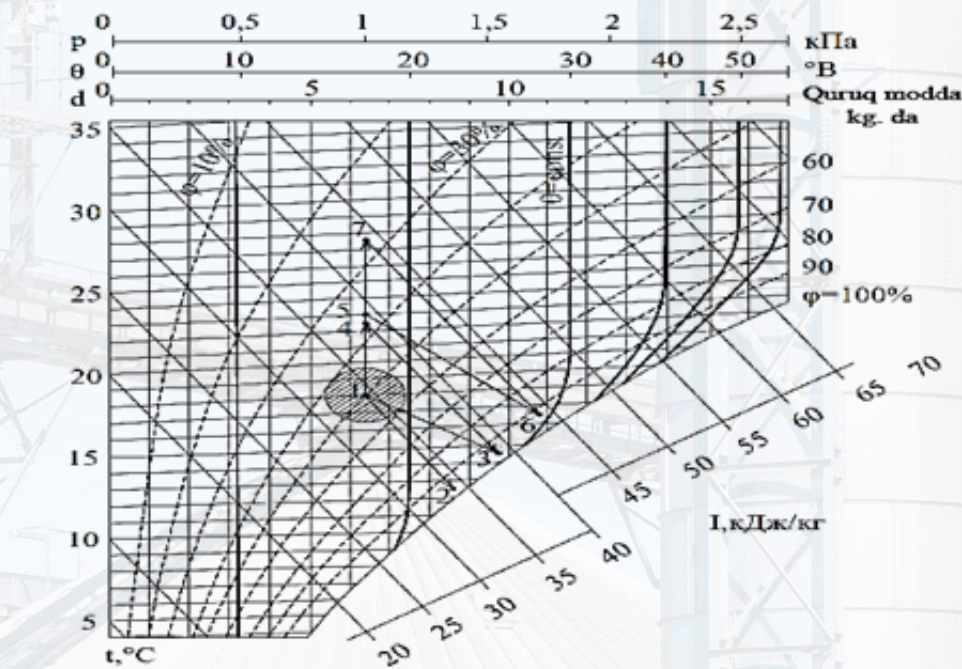
Havo tomonidan yutilgan namlik miqdori quyidagicha

$$W = G_v (d_4 - d_1), \quad (3.32)$$

bu yerda $G_v = L_{ul}G_{tr}$ – hashak havo miqdori, kg/soat; L_{ud} – havoning solishtirma farqi, kg/(t·soat)

(3.27) va (3.31) – ifodalarning tengligi aniq eksperimental sharoitlarda a_0 – koefitsientini qiymatlarini olishga imkon beradi.

$$\alpha_0 = L_{yd} (d_4 - d_1) / (\theta_4 - \theta_1). \quad (3.33)$$



3.16-rasm. Nam havoning I - d - Θ -diagrammasidan foydalangan holda hashaklarni quritish intensivligi va davomiyligini hisoblash.

Nam havoni *I-d-* Θ -diagrammasidan foydalangan holda quritish jarayonini intensivligi va davomiyligini aniqlashni ishlab chiqilgan metodikasi materialdan bug‘lanayotgan namlik miqdori va havo namligi potensialini qiymatini grafoanalitik usulda aniqlashga imkon beradi(3.16-rasm).

Issiqxonalarda mikroiqlim parametrlarini shakllantirishni termodinamik asoslari

Yilning sovuq va o‘tish davrlari. Yilning sovuq va o‘tish davrlarida issiqlikni transmission yo‘qotishlari sezilarli miqdorda bo‘lib, buni shisha yoki plyonkaning kichik termik qarshiligi keltirib chiqaradi. Bunday holatda Farg‘ona viloyati hududidagi issiqxonalarda solishtirma issiqlik kuchlanish 130 Vm/m^3 ni tashkil etib, bu ko‘rsatkich shaffof bo‘lmagan to‘sqli binolardagiga nisbatan 5...7 marta ko‘p bo‘ladi.

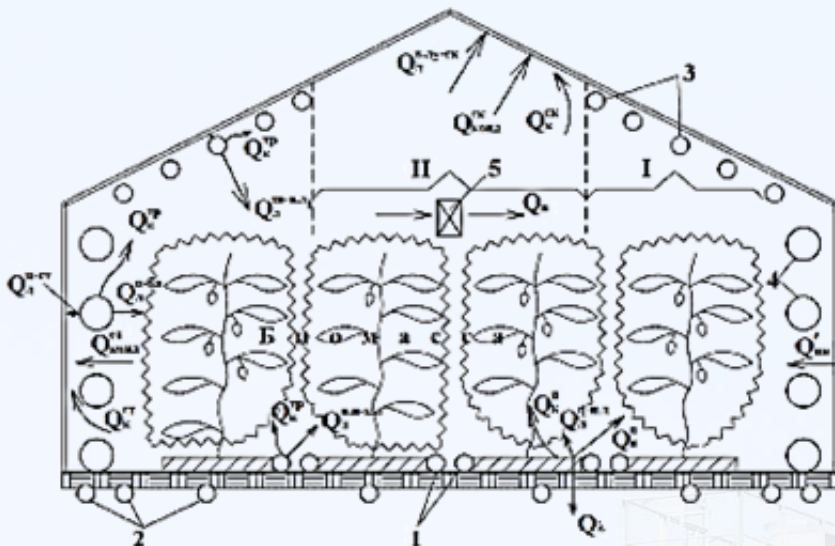
Farg‘ona politexnika instituti olimlari tomonidan ishlab chiqilgan issiqxonalarini isitish uchun zarur bo‘lgan issiqlik miqdorini aniqlash metodikasida hisob davri uchun issiqlik yo‘qotishlari miqdori maksimal bo‘lgan tungi vaqt qabul qilingan. Issiqxonalarini isitish quvvatini Q_{om} hisoblash tenglamasi quyidagi ko‘rinishga ega (3.17-rasm).

$$Q_{\text{ot}} = Q_k^{ck} + Q_k^{ct} + Q_{\pi}^{III-CK} + Q_{\pi}^{B,L-CK} + Q_{\pi}^{II-CT} + \sum Q_{\pi}^n + Q_u^n + Q_{\lambda} + Q'_{\text{uu}} \quad (3.34)$$

(3.34) da Q_k^{ck} , Q_k^{st} – devor va to‘sqliarning ichki tomoniga yo‘naltirilgan konvektiv issiqlik oqimlari; $Q_l^{v,l-sk}$ – to‘sqliar orasidagi nurlanish issiqlik almashinuvi; Q_u^n , ΣQ_u^l – tuproq va yaproqlar yuzasidan namlikni bug‘lanishi uchun zarur bo‘lgan issiqlik; Q_{λ} – grunt orqali issiqlik yo‘qotishlar; Q_{in} - infiltratsion havoni isitish uchun sarflangan issiqlik miqdori.

Issiqxonalar suvli tizimlar (3.17-rasm): sokolli qism (Q_y), shatyorli qism (Q_{sh}), tuproq osti qimi (Q_{np}) yordamida isitiladi, shuningdek isitish uchun havoli tizimdan (Q_v) foydalilanildi:

$$Q_{\text{ot}} = Q_u + Q_{\text{uu}} + Q_{\text{nn}} + Q_{\text{nn}} + Q_{\text{v}}. \quad (3.35)$$



3.17-rasm. Issiqxonada qishki vaqtida nurli-konvektiv isitish usulida isitishda issiqlik oqimlarining sxemasi:

1-tuproq usti qatlami; 2-tuproq osti qatlami; 3-shaterli qism; 4-sokolli qism; 5-havoli qatlama; Q_k^{tr} – isitish quvurlaridan konveksiya usulida ajralayotgan issiqlik oqimi; Q_l^{sh-v-l} , Q_1^{s-st} , $Q_l^{s-b.l}$ shatyorli isitish quvurlaridan to'siglar, yuqorigi yaproqlar tomon va sokolli isitish tizimi quvurlaridan devorlar va yon yaproqlar tomon ajralayotgan nurlanishli issiqlik oqimi; $Q_l^{np-n.l}$, $Q_l^{p.n.l}$ – tuproq usti qatlami isitish tizimi quvurlari va poldan quyi yaproqlar tomon ajralayotgan nurlanish issiqlik oqimi

Elementlar bo'yicha to'liq yoki qisman bo'lgan isitish tizimlarining har birini hisobi adabiyotlarda keltirilgan.

Biz faqatgina inshootlarni mikroiqlim parametrlarini ta'minlash sistemasini ekspluatatsion xarakteristikalarini va energiyaga bo'lgan talab darajasiga ta'sir qiluvchi issiqxonalar hajmidagi termodinamik va issiqlik-fizik jarayonlarning xususiyatlarini tahlil qilamiz.

Havoli isitish tizimining quvvati Q_v shamol tezligidan kelib chiqib issiqlikga bo'lgan umumiyl talabni 15...45 % ni tashkil qiladi.

Shatyorli isitish tizimining quvvati Q_{sh} tomdagi qorlarni erishi uchun zarur bo'lgan sharoitdan aniqlanadi. Tomni isitish uchun sarflangan issiqlik miqdori q_{sk} , Vm/m^2 qor yog'ish intensivligi R_q $kg/(m^2 \cdot soat)$, harorat t_p , 0C va tashqi havoning tezligidan V_n , m/s aniqlanadi. Tom yuzasining tashqi haroratini ta'minlash uchun $\tau_{sk}^n = 0,5$ 0C quyidagi miqdorda issiqlik uzatish zarur:

$$q_{ce} = 45,6 - 6,83 t_n + (94,5 - 0,7 t_n) P_c + (16,2 - 3,6 t_n) V_n. \quad (3.36)$$

Bunday miqdordagi issiqlikni to'siqlar shatyorli isitish tizimi quvurlari bilan konvektiv va nurlanishli issiqlik almashinish va suv bug'larining kondensatsiyalanishi hisobga olish kerak. Isitishni bunday tizimiga issiqxonani isitish issiqligining 50...70 % to'g'ri keladi. Isitishni *sokolli tizimining* quvvati tahminan yon tomondagi tashqi to'siqlar orqali yo'qotilayotgan issiqlik miqdoriga teng bo'ladi (issiqxonadagi issiqlikni umumiy sarfini 10 % dan 15 % gacha).

Tuproq usti qatlamining isitish tizimining po'lat quvurlaridan ($d_y=40\ldots50$ mm) aravalar uchun rels sifatida ham foydalaniladi. Issiqlik tashuvchining (suvning) harorati $t_n=95$ °C, $t_0=70$ °C.

Tuproq osti isitish tizimining quvvati ($t_r=45$ °C, $t_0=30$ °C) quvurlarning joylashish chuqurligi $h_{tr}=0,4$ m va ular orasidagi masofa $S_{mp}=1,5$ m bo'lganda quyidagini tashkil qiladi:

$$Q_{nn} = [32,8\lambda_n + 4,27 - (11,5\lambda_n + 2,9)S_{rp}]F_{pp}, \quad (3.37)$$

bu yerda λ_n - tuproqning issiqlik o'tkazuvchanlik koeffitsienti, $Bm/(m \cdot ^\circ C)$; F_{pp} – issiqxonaning tuproq osti qatlamining isitilish maydoni, m^2 .

Issiqlik oqimlarining intensivligini aniqlash bo'yicha aniq bog'liqliklar tegishli manbalarda keltirilgan.

Konvektiv issiqlik almashinish jarayoni. Konveksiya usulida tashqi to'siqlar, tuproq va yaproqlar tomonidan berilayotgan yoki qabul qilinayotgan issiqlik miqdori quyidagiga teng:

$$Q_k = a_k(t - \tau)F. \quad (3.38)$$

Konveksiya koeffitsienti

$$a_k = A m \sqrt[3]{t - \tau}. \quad (3.39)$$

Proporsionallik koeffitsienti $t_v=20$ °C da $A=1,66$ ga va $t_v=0$ °C da $A=1,69$ ga teng m-koeffitsienti issiqlik beruvchi (issiqlik qabul qiluvchi) yuza holati bilan aniqlanadi. Vertikal yuzalar (devorlar, vertikal yaproqlar) uchun $m=1,0$ bo'ladi. Kultivatsion inshootlar issiqlik-texnik hisoblarida tuproq yassi yuza shaklida qabul qilinadi. Gorizontal yuzalar uchun agar ularning issiq tomoni yuqoriga yoki sovuq tomoni

pastga qaragan bo'lsa $m=1,3$ bo'ladi, aksincha, issiq tomoni pastga va sovuq tomoni yuqoriga qaratilgan bo'lsa $m=0,7$ bo'ladi.

Vertikal va gorizontal yaproqlar uchun yaproqning ikkala tarafidagi konveksiya holidagi issiqlik oqimining yig'indisi quyidagini tashkil qiladi:

$$Q_{\kappa}^n = 3,32 \left(t_{\text{b}}^n - \tau_{\text{a}}^n \right)^{4/3} f_{\text{a}}, \quad (3.40)$$

Qiyaliklar uchun m-koeffitsienti quyidagi nisbat orqali ifodalanadi:

$$m = (\sum F_{\text{cr}} + 0,7 \sum F_{\text{ck}}) / (\sum F_{\text{cr}} + \sum F_{\text{ck}}). \quad (3.41)$$

V.M.Garbuz tomonidan tuproqlar yuzasi va plyonkali to'siqlar yuzasi uchun isitiladigan grunt sharoitida quyidagi bog'likliklar olingan:

-tuproq uchun $\tau_w > t_v^n$ da

$$\text{Nu} = 0,12 (\text{Gr} \cdot \text{Pr})^{0,47}; \quad (3.42)$$

-qiyaliklarning ichki yuzasi uchun, $\alpha = 30^\circ$ va τ_v^{sk} da

$$\text{Nu} = 0,0104 (\text{Gr} \cdot \text{Pr})^{0,59}. \quad (3.43)$$

Devorlar va tomlarning tashqi tomonlarida majburiy konveksiya kuzatiladi.

YUzaga havo oqimi ko'ndalang yo'nalishda kelganda:

$$\text{Nu} = 0,035 \text{ Pr}^{0,33} \text{ Re}^{0,8}. \quad \text{bo'ladi.} \quad (3.44)$$

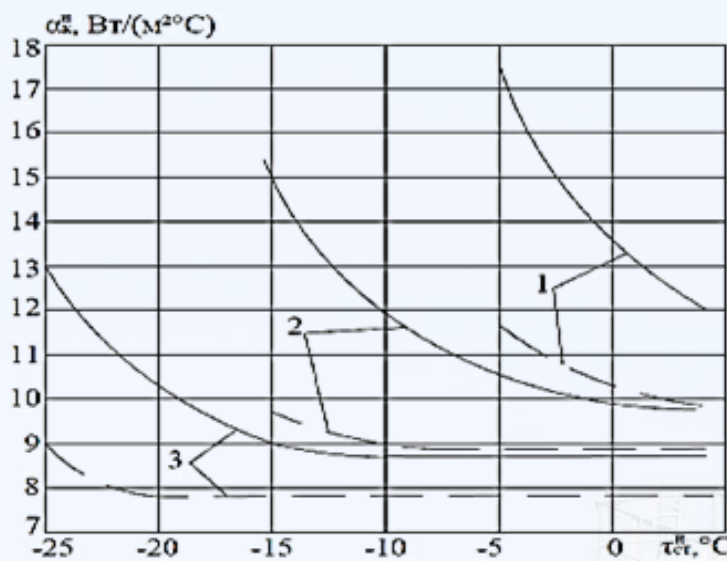
SHamol harakatining yo'nalishi devorga perpendikulyar bo'lganda, issiqlik almashinishi kelayotgan oqim tezligiga bog'liq bo'ladi.

$$a_{\kappa}^n = 10 \sqrt{v_n}. \quad (3.45)$$

Nurlanishli issiqlik almashinish jarayoni. To'siqlarning tashqi yuzalaridagi nurlanish natijasida ajralayotgan issiqlik miqdorini hsoblashda qo'shimcha ravishda bo'shliqdagi nurlanish samaradorligi hisobga olinadi:

$$q_{\text{a}}^n = \varepsilon_{\text{ap}} C_o \varphi_{\text{u.o}} b \left(\tau_{\text{cr}}^n - t_{\text{b}}^n \right) + q_{\text{a}\Phi}. \quad (3.46)$$

(3.46) da kultivatsion inshootlarning yuzalarini harorati tashqi havo haroratiga teng va nurlanish koeffitsienti $\varphi_{no} = 1,0$ deb qabul qilingan. 3.18-rasmida nurlanish usulidagi issiqlik almashinish koeffitsientining issiqlxonaning tashqi yuzasi haroratiga bog'liqligi ko'rsatilgan bo'lib, bu bog'liqlik $a_l^n = g_l^n / (\tau_{cm}^n - t_n)$ ifodadan aniqlanadi.



3.18-rasm. Alovida holdagi kultivatsion inshoot uchun $\alpha_l^v = f(\tau_{cm}^n)$ bog'liqligi: 1,2,3-tegishicha tashqi havo haroratlari, $t_n = -10 \text{ } ^\circ\text{C}, -20 \text{ } ^\circ\text{C}-30 \text{ } ^\circ\text{C}$; - bulutlik $n_0 = 0,5 \text{ da}$; ----- - bulutlilik $n_0 = 1,0 \text{ da}$.

Bug'lanish va kondensatsiya jarayonlaridagi issiqlik-massa almashinish jarayonlari. Tuproq yuzasidan bug'lanayotgan namlik miqdori (tuproq namligi $\eta = 0,80 \dots 0,85$) quyidagiga teng:

$$G_v^n = \eta \beta' (b_v^n - b_v^{p,3}) / 101,3 F_v / p_0, \quad (3.47)$$

bu yerda b_v^p va $b_v^{r,3}$ – ishchi zonadagi tuproq harorati va tuproq yuzasini 100 % - to‘yinoshidagi suv bug‘ining konsentratsiyasi, g/m^3 .

Tabiiy konveksiya sharoitida massa almashinish koeffitsienti quyidagi bog'liqlik orqali ifodalanadi:

$$\beta' = \frac{0,66D}{l} \left(\frac{gl^3}{v^2} \frac{\rho_b^n - \rho_b^{p,3}}{\rho_b^n} Pr_d \right)^{0,26} \quad (3.48)$$

bu yerda $D=0,0754 \text{ m}^2/\text{soat}$ suv bug‘i uchun diffuziya koeffitsienti; $L=\sqrt{F_n} - aniqlovchi o'lcham$; $Pr_d = 0,61$ – Prandtl diffuzion kriteriysi; $P_v^n = \frac{353}{\tau_p + 273} \left\{ 1 - \frac{0,378p_1}{R_b} \right\}$ – tuproq yuzasidagi sharoitlar uchun havo zichligi; $P_v^{r,3} = \frac{353}{t_v^{r,z} + 373} \left\{ 1 - \frac{0,378Rn^2}{R_b} \right\}$ – ishchi zonadagi havo zichligi; P_{n1} va P_{n2} – suv bug‘larining 100 % - to‘yinsh va tuproq haroratida yuzadagi va ishchi zonadagi parsial bosimlari.

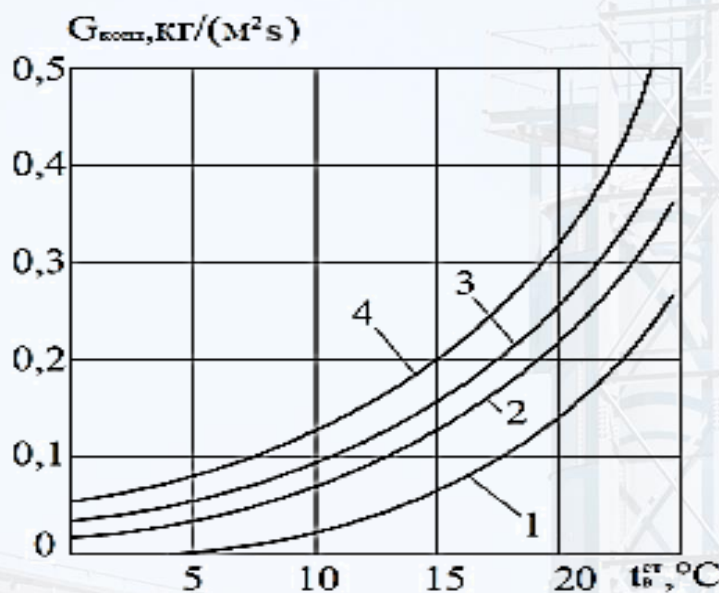
Tuproq yuzasi G_u^n va o'simliklar tomonidan $\sum G_i^l$ bug'lanayotgan namlik miqdori sug'orish uchun sarflanadigan suvning 90 % ni tashkil etadi. Bug'lanish vaqtida bir martalik sug'orishdan so'ng tahminiy bir xillilikni quyidagicha qabul qilamiz.

$$G_u^n + \sum G_i^l \approx 0,9 G_{n,a} / \tau_g, \quad (3.49)$$

bu yerda τ_g - sug'orishlar orasidagi davr, soatda.

Tuproqlar yuzasi va o'simliklardagi bug'lanish jarayonlariga sarflanadigan issiqlik miqdori $Q_n = 0,278 G_u^n$ ma'lum bo'lgan bog'liklik bo'yicha qabul qilinadi.

To'siqlarning ichki yuzalarida kondensatlanayotgan namlik miqdori to'siqlar harorati τ va ular yonidagi muhit parametrlari t_v va φ_v larga bog'liq. Yon to'siqning ichki yuzalari kondensatsiyalanayotgan suv bug'larini aniqlash uchun bog'liqlik 3.19 rasmda keltirilgan. Suv bug'larining kondensatsiyalanish natijasida to'siqlar tomonidan qabul qilingan issiqlik miqdori $Q_{kond} = 0,278 G_{kond}$ ni tashkil etadi.



3.19-rasm. Yon yuzalarda kondensat hosil bo'lish intensivligini to'siq atrofidagi havo haroratiga bog'liqligi 1 -0 $^{\circ}C$ da; 2- (-10) $^{\circ}C$; 3- (-20) $^{\circ}C$; 4- (-30) $^{\circ}C$.

Grunt orqali issiqlik yo'qotishlar Q_λ . Ko'rinib turibdiki tuproqni isitish tizimiga ega bo'lmagan issiqxonalarda grunt orqali issiqlik yo'qotishlar 15...17 % ga yuqori bo'ladi. SHuningdek kultivatsion inshootlarning o'ziga xos shartlarini hisobga olgan holda grunt orqali o'tayotgan issiqlik oqimini aniqlash bo'yicha masalani analitik

yechimi, issiqlik oqimini Q va tuproq issiqlik uzatishga qarshi qarshilikni aniqlashga bo‘yicha hisoblar ham keltirilgan. Grunt orqali issiqlik yo‘qotilishining eng ko‘p miqdori yon to‘siquidan 0,4 m gacha bo‘lgan masofada kuzatiladi. To‘siquidan 2,0...2,5 m uzoqlikda issiqlik oqimi me’yorlashib, Farg‘ona viloyati iqlimiylar sharoitlari uchun 6...8 Vt/m^2 ni tashkil qiladi.

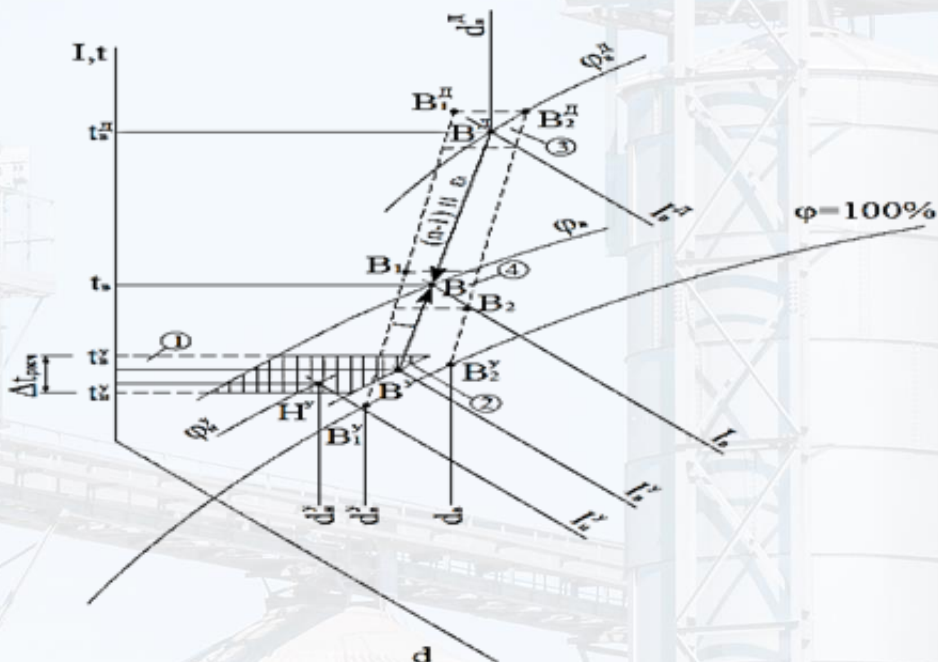
Filtrlovchi havoni isitishdagi issiqlik yo‘qotishlar quyidagiga teng.

$$Q'_{\text{un}} = 0,278 G_{\text{un}} c_{\text{un}} (t_{\text{un}}^{\text{p,3}} - t_{\text{un}}). \quad (3.50)$$

Yilning sovuq vaqtida infiltrlovchi havoni isitish uchun binoni isitishga ketayotgan issiqlikni 30-50 % gacha bo‘lgan miqdori sarflanadi.

Yilning issiq faslida issiqxonalar hajmida kechadigan termodinamik jarayonlar.

SHamollatilmaydigan va oyna va framugalari yopiq bo‘lgan turli ekinlar o‘sayotgan issiqxonada yilning issiq vaqtidagi havo holatini o‘zgarish dinamikasi nam havoning *I-d*-diagrammasida ko‘rsatilgan (3.20-rasm).



3.20-rasm. Ishlov berilmagan atmosfera havosi bilan sovutishda issiqxonalardagi mikroiqlimni o‘z-o‘zini boshqarish hududi:

1-issiqxonalardagi texnologik haroratlar hududi; tonggotar va tong vaqtidagi haroratlar hududi; 3-havo almashilmaganda maksimal haroratlar hududi; 4-tashqi havo bilan shamollatilganda havoning kuzatilishi mumkin bo‘lgan parametrlar hududi.

Tongotar va tong soatlari o'simliklar o'sayotgan issiqxonadagi havo harorati e_v^u tashqi havo haroratiga t_n^u (t.nu) yaqin yoki biroz yuqori, havoning nisbiy namligi $\varphi_v^u \rightarrow 100\%$ (t.V^u) bo'ladi. SHaffof to'siqlarning ichki yuzasida kondensat hosil bo'lishi kuzatiladi. Sutkaning berilgan davrida aniq harorat t_v^u 3.20-rasmda ko'rsatilgan, haroratlar gradientasi Δt past bo'lgan shtrixlangan hududdagi hisoblangan texnologik haroratdan past, teng yoki yuqori bo'lishi mumkin.

$t_v^l, \varphi_v^g, d_v^g, /_v^g$ parametrlarga ega V^D – nuqta kunduzgi vaqtda havo almashinish kuzatilmaydigan issiqxonadagi havo holatini ko'rsatadi. Havo harorati t_v^g quyosh radiatsiyasi hisobiga ko'tarilib, hisoblangan haroratdan sezilarli darajada yuqori bo'ladi. Bunday iqlimiylar Farg'ona viloyati hududida aprel oyi o'rtalaridan boshlab kelib chiqadi. Kunning yarmiga yaqin havoning nisbiy namligi φ_v^g biroz pasayadi, lekin tarkibidagi namlik miqdori d_v^g tuproq yuzasidan va o'simliklar tomonidan bug'langan namlik hisobiga olinadi.

Ichki havo parametrlari (n.V) V^u-V^d chizig'ida yotib, bular issiqxonalarning shamollatilmaydigan binolarida havo holati nuqtalarini geometrik holati hisoblanadi.

Havo haroratini pasaytirishni birinchi bosqichida framuga va oynalarni ochish hisobiga shamollatish jarayoni tashkil etiladi. Havo xaroratini yanada pasaytirish uchun texnologik yo'laklar va havo tortuvchi aeratsion shaxtalar ochiladi. So'ngra qo'shimcha ravishda aeratsion shaxtadagi havo tortish ventilyatori ishga tushiriladi.

$V^u - V^d$ chizig'idagi V – nuqtaning holati sutkaning aniq vaqt, η -soni, 1/soat, issiqxonaga atmosfera havosi berilganda havo almashinish jarayoni, biomassani havo almashinmaydigan sharoitdagи kunduzgi vaqtda V^d – nuqta yonida, mikroiqlim parametrlarini o'zi boshqarish xossasi, tabiiy havo almashinish sharoitida kunduzgi vaqtda V-nuqta yonida, tongi vaqtda shamollatish uchun framugalarni ochishdan oldin bo'lgan mikroiqlim parametrlarini boshqarish hossasiga bog'liq bo'ladi. SHunday qilib $V_1^u - V_1 \cdot V_2^g - V_2 - V_2^u$ – nuqtalari bilan chegaralangan hudud issiqxonadagi atmosfera havosini tabiiy va mexanik havo almashinish va o'simliklar tomonidan boshqarish hisobiga havo holatini termodinamik jarayonlar chegaralarini tavsiflaydi.

Issiqxonadagi havo holati V^u - V^d chiziqda joylashgan nuqtani (n.V) aniq joylashuvi havo almashinishlar soni n-ga bog‘liq. Havo almashinishlar soni tabiiy ventilyatsiyada $n = 5 \dots 10$ l/ soatgacha, mexanik ventilyatsiyalda esa $n = 25 \dots 30$ l/soatgacha o‘zgarib turadi. V-nuqtaning joylashuvi $V^u - V^d$ chiziq bo‘ylab 1(p-1) nisbatda V^u – nuqta tomon siljiydi.

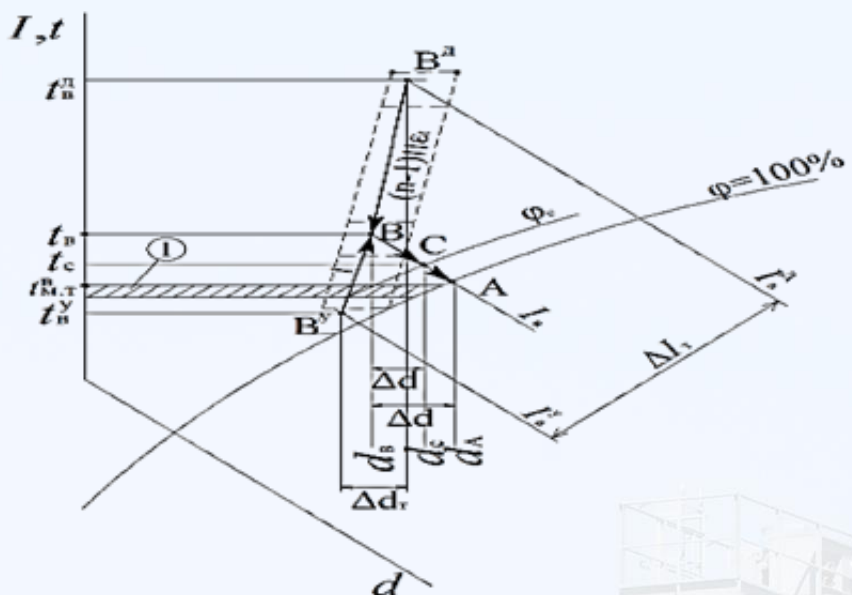
Tashqi havo o‘ziningsovutuvchanlik hossasini yo‘qotgach, issiqxonalardagi havoni sun’iy sovutishga ehtiyoj tug‘iladi. Bu davr quyosh radiatsiyasining yig‘indisi 450 Vm/m^2 tashkil etuvchi yorug‘ kunga (Farg‘ona viloyati sharoitida may-oktyabr oylariga) to‘g‘ri keladi.

Biomassali issiqxonada yilning issiq davrida iqtisodiy jihatdan eng tejamkor hisoblanuvchi suv-aerozol sovutish tizimining ish faoliyatida havo holatining o‘zgarish jarayonlari 3.21-rasmda ko‘rsatilgan. Sistema ishga tushirilgach, ya’ni suvni purkash boshlaganda issiqxona hajmida havoning $I_v = \text{const}$ bo‘yicha $\varphi_v = 97\text{-}98\%$ gacha (3.21-rasmda jarayon shartli ravishda $\varphi_v = 100\%$ gacha ko‘rsatilgan) $t_v = \text{haroratdan}$ ho‘l termometr haroratga adiabatik sovutish jarayoni amalga oshadi. Bir vaqtning o‘zida issiqxonadagi namlik miqdori d_v dan d_a gacha ortadi.

Agar issiqxonadagi quyosh radiatsiyasi issiqligi suvli aerozol tomchilarini bug‘lanishidagi yutilgan issiqlik miqdoridan yuqori bo‘lsa, sovutish jarayoni $t_c = \text{haroratda}$, havoning nisbiy namligi φ_s va tarkibidagi namlik d_c da S-nuqtada o‘z nihoyasiga etadi.

Havoga suv-aerozolli sovutish tizimi bilan ishlov berilgach, harorat issiqxonadagi texnologik haroratlar (V-A nuri) diapazonigacha kamayishi yoki ortishi (V-S nuri) mumkin. Hajmi V_1, M^3 bo‘lgan, xavo almashinishlar soni $n = \text{bo‘lganda issiqxonadagi}$ havoning aniq parametrlari purakalayotgan suv miqdori G_{nam} , kg/saoat sarfidan kelib chiquvchi miqdoriga Δd bog‘liq bo‘ladi.

$$\Delta d = d_c (d_A) - d_a = 1000 G_{\text{nam}} / V_1 n \rho_a. \quad (3.51)$$



3.21-rasm. Biomassaga ega issiqxonada havo holatining o‘zgarish parametrlari; I-texnologik haroratlar hududi.

Issiqxonaga ortiqcha miqdorda namlik uzatish (havoning $\varphi_v = 100\%$ da va A-nuqtadagi t maksimal namlik yutish hossasidan yuqori) o'simliklarga namlikni tomchi shaklida tushishiga olib keladi, bu esa ularning rivojlanishiga salbiy ta'sir ko'rsatadi.

Kunning ikkinchi yarmida quyosh radiatsiyasi intensivligining kamayishida havo haroratining pasayishi kuzatiladi, suv – aerozolli sovutish tizimi ishi to‘xtatiladi. Ichki havo parametrlari V-nuqta holatiga o‘tadi, bu esa adiabatik sovutish tizimini $I_v=\text{const}$ da ishchi holatga o’tishgacha bo‘lgan holatiga to‘g‘ri keladi. Bu termodinamik jarayonni bo‘lishi aniqdir, chunki issiqxonalardagi uskunalarining issiqlik sig‘imi juda kichik bo‘ladi, o‘simgiliklar esa namlik transpiratsiyasidagi moslashuvchanlik jarayonlari davomida o‘z atrofidagi havo parametrlarini o‘zlari boshqara oladi.

Kunduzgi vaqtda $E_t = \Delta/t / \Delta G_{isp}$ jarayonda nur yo‘nalishi qabul qilingan umumiy uslubiyotlar bo‘yicha aniqlanadi. Issiqxonadagi to‘liq issiqlik ajralishlar ΔI quyosh radiatsiyasi hisobiga keluvchi issiqlik oqimlarini intensivligini inobatga olgan holda hisoblanadi. Issiqxonadagi namlik ajralishlar $\Delta G_{isp} = \Delta d_t \cdot V_t \cdot P_v$ tuproq yuzasidan va o‘simliklar tomonidan bug‘langan namlik yig‘indisidan iborat. Kun davomidagi burchak masshtabi o‘zgaruvchan qiymat hisoblanadi, shuning uchun $V - nuqtaning I$ -d-diagrammadagi holati ham o‘zgarib turadi. Yozgi vaqtda issiqlik ajralishlar

maksimal bo‘lgan davrda Farg‘ona viloyati sharoiti uchun $E_t=3700..4800$ kDJ/kg.tashkil etadi.

Yilning issiq davrida issiqxonalarining issiqlik, havo va namlik rejimlari.

Yilning issiq davrida amaliyotga joriy etilgan va ekspluatatsiya qilinayotgan qizib ketishni oldini oluvchi sistemalar qo‘llaniluvchi issiqxonalarda ularning hajmi bo‘ylab issiqlik balansini tashkil etuvchilarini aniqlashtiramiz. Issiqxonalardagi mikroiqlim parametrlarini dinamikasini ta’riflovchi issiqlik, havo va namlik massasi bo‘yicha balans tenglamalarni aniqlashtirilgan sistemalari aniqlanadi.

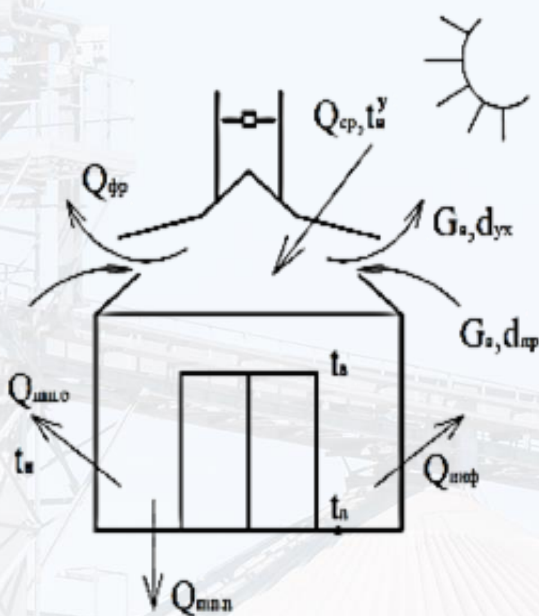
Qizib ketishni to‘xtatuvchi kompleks sistemalarda yil davrlari va yorug‘ kun davomida quyosh radiatsiyasining intensivligi ortganda ularni ayrim elementlarini navbatma-navbat ishga tushirilishi ko‘zda tutilgan. Taqdim qilingan sistemaning energetik va iqtisodiy samarasi uzoq vaqt davomida mikroiqlim parametrlarini (framugalar, aeratsion shaxtalar va texnologik tirqishlar) passiv (konstruktiv) sistemalaridan foydalanishda va asosiy elementi suv-aerozol sovutish sistemasi bo‘lgan sistemani faol elementlarini qisqa muddatga ishga tushirishdan iborat.

To‘liq issiqlikning $Q_n=Q_{ya}+Q_{skr}$ oqimlarini sxemasi 3.22...3.27-rasmlarda keltirilgan, bunda yilning issiq davrida mikroiqlim parametrlarini ta’minalash va qizib ketishni oldini oluvchi kompleks sistemani eng ko‘p tarqalgan oltita ish rejimi keltirilgan.

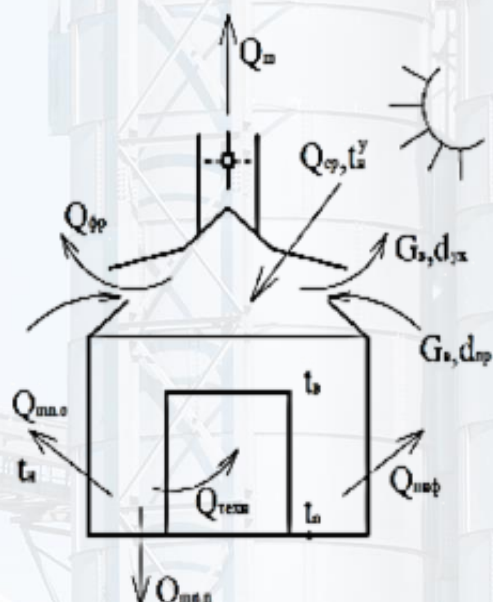
3.22-rasmida *I-rejim-issiqlik oqimlarini sxemalari va rejali shamollatish rejimi* ko‘rsatilgan, bunda fortochka framugalari ochiq bo‘ladi, 1-rejim uchun xos bo‘lgan balans tenglamalar sistemasi quyida keltirilgan.

$$\begin{aligned}
 \sum Q_n &= Q_{c,p} - Q_{tn,o} - Q_{tn,n} - (Q_{nn\phi} + Q_{\phi p}) - Q_{csp} = 0; \\
 Q_{c,p} &= V_t n c_b \rho (t_a^y - t_a); \\
 Q_{tn,o} &= \sum F (t_a - t_h) / R_o; \\
 Q_{tn,n} &= F_n (t_b - t_h) / R_{o,n}; \\
 Q_{nn\phi} + Q_{\phi p} &= V_t n c_b \rho_a (t_b - t_h); \\
 Q_{csp} &= V_t n \rho_b (d_{yx} - d_{np}) r / 1000; \\
 K_{06}^{cyT} &= 0,567; K_{06}^{roA} = 0.
 \end{aligned} \tag{3.52}$$

3.23-rasmda II-rejim-faol aeratsiyalash va shamollatish tizimlarini birlashtirilgan ish rejimi keltirilgan: bunda fortouchka framugalar, texnologik tirqishlar va havo tortuvchi aeratsion shaxta ochiq bo‘ladi. II-rejim sharoitida havo almashinish framugalar, texnologik tirqishlar G_{texn} orqali havo kirib keladi, havo tortish uchun mo‘ljallangan shaxta G_{sh} orqali esa havo chiqarilib yuboriladi. Infiltrlovchi havo G_{inf} miqdori o‘zgaruvchan qiymatga ega. SHuning uchun havo balansi umuman olganda issiqxonadagi havo almashinishlar soni bilan ko‘rib chiqiladi.



3.22-rasm. Rejalashtirilgan shamollatishda (I-rejim) yilning issiq vaqtida issiqxonadagi issiqqlik oqimlarining sxemasi.



3.23-rasm. Rejalashtirilgan shamollatish va faol aeratsiya sistemalarini birlashtirilgan ish rejimida issiqxonadagi issiqqlik oqimlarining sxemasi.

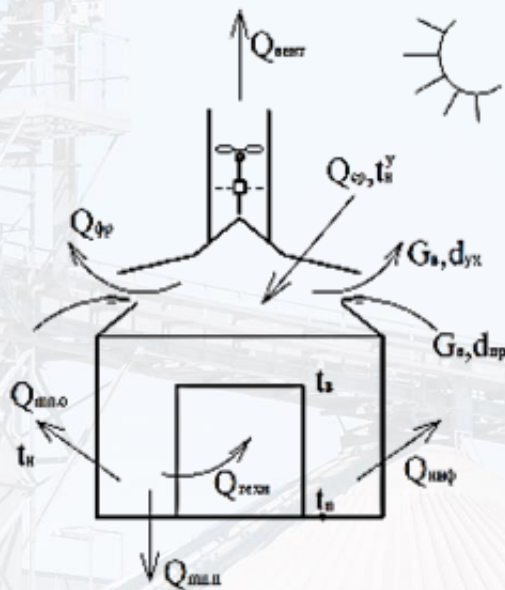
Issiqlik balansi tenglamasi quyidagi ko‘rinishga ega:

$$\begin{aligned}\Sigma Q_n &= Q_{c,p} - Q_{\text{тп.о}} - Q_{\text{тп.и}} - (Q_{\text{ш}} + Q_{\text{инф}}) - Q_{\text{екр}} = 0; \\ Q_{\text{ш}} + Q_{\text{инф}} &= V_T n c_B \rho_B (t_B - t_H); \\ K_{\text{об}}^{\text{сүз}} &= 0,6; \quad K_{\text{об}}^{\text{тод}} = 0.\end{aligned}\tag{3.53}$$

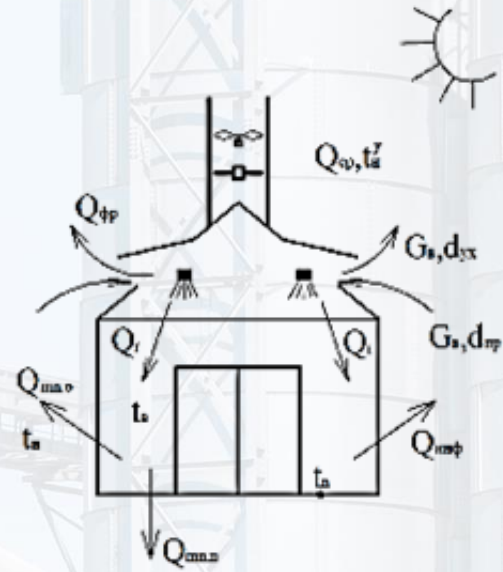
3.24-rasmida *III-rejimdagi issiqlik oqimlarining sxemasi* keltirilgan: fortosha framugalarini va texnologik tirkishlar ochiq bo‘ladi, havo tortish shaxtasiga o‘rnataligan havo tortish ventilyatori ishga tushiriladi. Issiqxonaga havo framugalar G_{fr} va texnologik tirkishlar G_{texn} orqali beriladi va ventilyator G_{vent} va qisman infiltratsiya G_{inf} yo‘li bilan chiqariladi.

$$\begin{aligned}\Sigma Q_n &= Q_{c,p} - Q_{\text{тп.о}} - Q_{\text{тп.и}} - (Q_{\text{вент}} + Q_{\text{инф}}) - Q_{\text{екр}} = 0; \\ Q_{\text{вент}} + Q_{\text{инф}} &= V_T n c_B \rho_B (t_B - t_H); \\ K_{\text{об}}^{\text{сүз}} &= 0,63; \quad K_{\text{об}}^{\text{тод}} = 0,05.\end{aligned}\tag{3.54}$$

3.25-rasmida *IV-rejimdagi shamollatish va suv-aerozolli sovutish sistemalarining issiqlik oqimlarining sxemalari* keltirilgan: forsunkalar orqali suv purkaladi, fortosha framugalar ochiq bo‘ladi. Texnologik tirkishlar va havo tortuvchi aeratsion shaxta ochiq bo‘ladi. Texnologik tirkishlar va havo tortuvchi aeratsion shaxta ochiq bo‘ladi.



3.24-rasm. Yilning issiq davrida shamollatish tizimiga ega mexanik shamollatish rejimida issiqxonalardagi issiqlik oqimi sxemalari (rejimlari).



3.25-rasm. Yilning issiq davrida shamollatishga va mexanik ventilyatsiyaga ega issiqxonalarda issiqlik oqimlarining sxemasi.

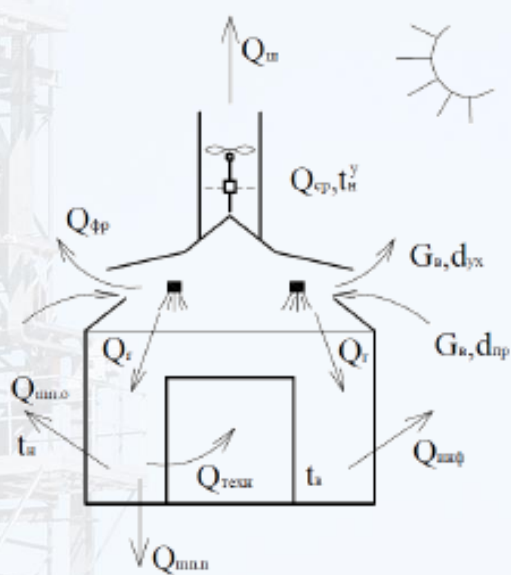
$$\Sigma Q_n = Q_{c,p} - Q_{\tau n,o} - Q_{\tau n,n} - (Q_{nn\phi} + Q_{\phi p}) - Q_{csp} - Q_r = 0; \quad (3.55)$$

$$Q_r = G_{\text{вод}} r.$$

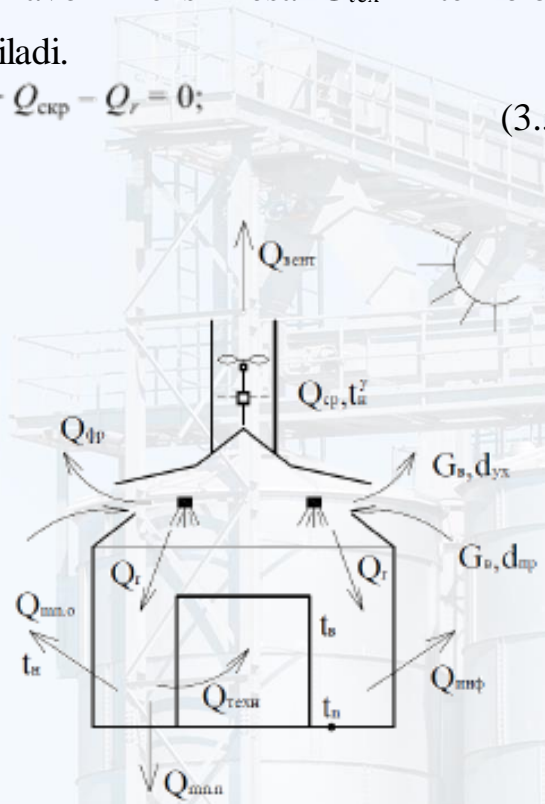
3.26-rasmda suv aerozolli sovutish tizimi, mehanik shamollatish va faol aeratsiya tizimlarini hamkorlikdagi faoliyatini (V-rejim) davridagi issiqlik oqimlarini sxemalari keltirilgan: fortoczka framugalar, texnologik tirqishlar va havo tortish shaxtalari ochiq holatda bo’ladi: havo tortish ventilyatori nofaol holatda bo’ladi. Havo G_{sh} – shaxtasi orqali va infiltratsiya hisobiga chiqariladi. Havoni kelishi esa G_{tex} – texnologik tirqishlar va G_f – framuga orqali amalga oshiriladi.

$$\Sigma Q_n = Q_{c,p} - Q_{\text{тп.о}} - Q_{\text{тп.п}} - (Q_{\text{ш}} + Q_{\text{инф}}) - Q_{\text{скр}} - Q_r = 0; \quad (3.56)$$

$$K_{\text{сг}}^{\text{сyt}} = 0,833; \quad K_{\text{сг}}^{\text{год}} = 0,25.$$



3.26-rasm. Yilning issiq vaqtida
issiqxonada suvli-aerozolli sovutish
tizimi, hamkor shamollatish va faol
aeratsiyaning birgalikdagi faoliyati
vaqtidagi issiqlik oqimlarining sxemasi
(V-rejim)



3.27-rasm. Yilning issiq vaqtida
issiqxonada suvli-aerozolli sovutish
tizimi, shamollatish va mehanik
shamollatish tizimlarining bиргаликдаги
faoliyati vaqtidagi issiqlik oqimlarining
sxemasi (VI-rejim)

3.27-rasmda suv aerozol sovutish tizimini, mehanik ventilyatsiya va shamollatish tizimlarini hamkorlikdagi ish faoliyati (VI-rejim) ko'rsatilgan: fortochka framugalar va texnologik tirqishlar ochiq bo'ladi, ventilyatorlar faol holatda bo'ladi. Issiqxonaga havo G_{fr} – framugalar va G_{tex} – texnologik tirqishlar orqali keladi. Havo tortish ventilyatori va qisman G_{inf} -infiltratsiya orqali chiqariladi.

$$\Sigma Q_n = Q_{c,p} - Q_{tp,o} - Q_{tp,n} - (Q_{vent} + Q_{inf}) - Q_{skr} - Q_r = 0; \quad (3.57)$$

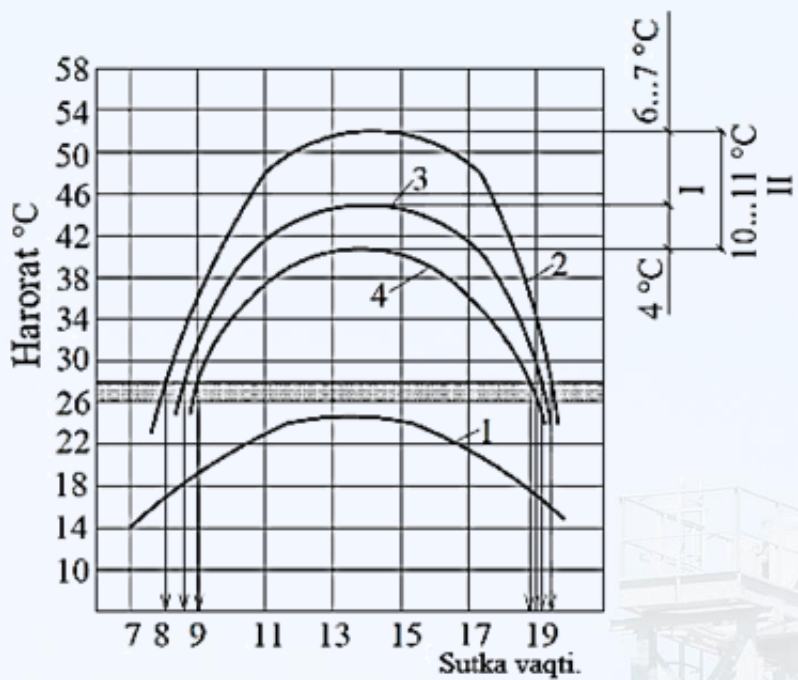
$$K_{ob}^{cyt} = 1,0; K_{ob}^{roq} = 1,0.$$

Umumqabul qilinganlardan tashqari 3.22...3.27 rasmlarga shartli belgilar: $Q_{s.r}$ – quyosh radiatsiyasidan issiqxonaga kelayotgan issiqlik oqimi, V_m ; V_t – issiqxonadagi havo hajmi, m^3 ; $Q_{tp,o}$ – tashqi to'siqlar orqali issiqlik yo'qotishlar, V_m ; $Q_{tp,p}$ – tuproqdag'i issiqlik yo'qotishlar, V_m ; $(Q_{inf} + Q_{fr})$ – issiqxonaga ochiq framugalar va infiltratsiya hisobiga keluvchi havoni isitish uchun zarur issiqlik sarfi, V_m ; Q_{skr} – namlikni bug'latish uchun zarur bo'lgan issiqlik miqdori, V_m ; $(Q_m + Q_{fr})$ – texnologik tirqishlar va framugalar orqali kelayotgan va aerodinamik shaxta orqali chiqarilayotgan havoni isitish uchun zarur bo'lgan issiqlik miqdori V_m ; $(Q_{vent} + Q_{inf})$ – texnologik tirqishlar va framugalar orqali kelayotgan va aeratsiyalash va havo tortish ventilyatorlari orqali chiqarilayotgan havoni isitish uchun zarur bo'lgan issiqlik miqdori, V_m ; suv-aerozol sovutish tizimini ishi natijasida hosil bo'lgan suv aerozolini bug'latish uchun zarur bo'lgan issiqlik miqdori, V_m ; suv sarfi G_{suv} , kg/soat.

Bir sutka davomida ($N=24$ soat) qizib ketishni bartaraf etish samaradorligi sifatida sovutish sistemalarini ta'minlanish koeffitsienti K_{um}^{sut} qabul qilingan. Uning qiymati bir sutka davomida issiqxonadagi haroratni hisoblangan haroratga nisbatan oshib ketishiga yo'l qo'yilmaydigan umumiyl soatlari:

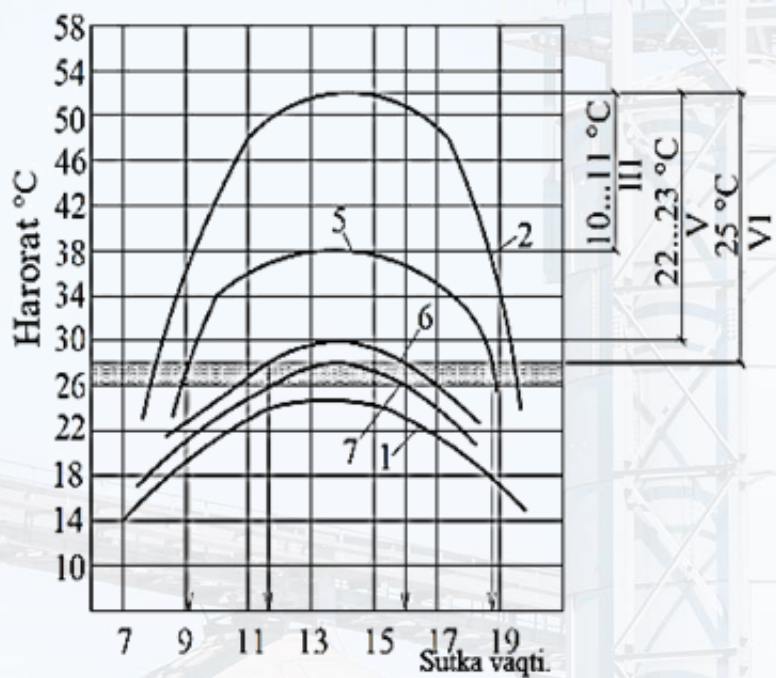
$$K_{ob}^{cyt} = (N - n)/N, \quad (3.58)$$

bu yerda n – sutka davomida issiqxonadagi havo haroratini oshib ketgan soatlari.



3.28-rasm. Yorug' kun davomida issiqxonadagi havo haroratini o'zgarishi:

1-tashqi havo; 2-qizib ketishni bartaraf etuvchi sistemalar ishlamagan holatidagi ichki havo;
3-rejali shamollatish tizimlari ish holatida (I-rejim); 4-shamollatish va faol aeratsiya tizimlarining
birgalikdagi ish holatida (II-rejim)



3.29-rasm. Yorug' kun davomida issiqxonadagi havo haroratining o'zgarishi; 1,2 – 3.28-rasmga qarang; 5-mexanik shamollatish va rejalashtirilgan shamollatish tizimlarini birgalikdagi ish holatida (III-rejim); 6-suv-aerozolli sovutish va rejalashtirilgan shamollatish tizimlarini birgalikdagi ish holatida (V-rejim); 7-suv-aerozolli sovutish, mexanik shamollatish va rejalashtirilgan shamollatish tizimlarining birgalikdagi ish holatida (VI-rejim).

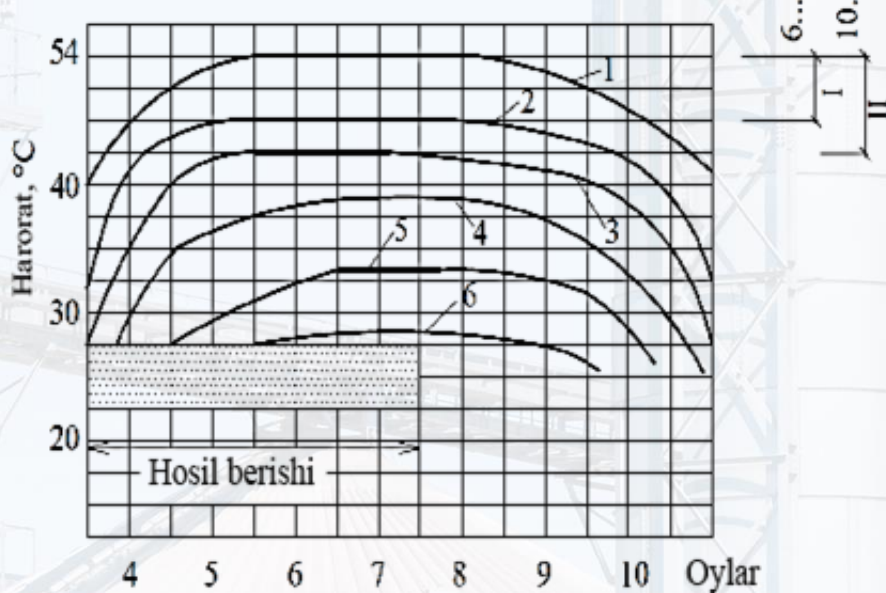
3.28 va 3.29-rasmlarda quyoshli kunning eng issiq vaqtidagi haroratni eksperimental yo‘l bilan olingan umumlashgan holati ko‘rsatilgan. Qoraytirilgan qismi turli ekinlar etishtirish uchun zarur bo‘lgan ichki havoning optimal haroratlar hududini ko‘rsatadi. Qizishini bartaraf etuvchi kompleks sistemani ekspluatatsiya qilishni IV-rejimi mamlakatimiz sharoitida amalda o‘z samarasini ko‘rsatmagan, shuning uchun etarli darajada o‘rganilmagan.

K_{um}^{sut} – qiymatlarini aniqlash natijalari va qizishni bartaraf etuvchi kompleks sistemaning har bir ish rejimidagi harorat pasayishining miqdoriy ko‘rsatkichlari 3.5-jadvalda keltirilgan.

3.5-jadval

K_{um}^{sut} va Δt_v qiymatlari

Ish rejimlari	I	II	III	V	VI
Δt_v , oS	6...7	10...11	14...15	22...23	28 gacha
K	0,567	0,60	0,63	0,833	1,0



3.30-rasm. Ekinlarni hosil berish davrida issiqxonadagi havo haroratining o‘zgarishi: 1-qizib ketishni barataf etuvchi sistemalar ish holatida bo‘lmaganda; 2-I-rejim; 3-II-rejim; 4-III-rejim; 5-V-rejim; 6-VI-rejim.

Yillik siklda issiqxonadagi harorat rejimining harorat rejimining ta'minlanganlik darajasi koeffitsienti yilning 1 apreldan 1 avgustgacha bo'lgan davri oralig'ida aniqlanadi.

$$K_{\text{об}}^{\text{год}} = 1 - (N^{\text{год}} - n^{\text{год}})/N^{\text{год}}. \quad (3.59)$$

Farg'ona viloyati sharoiti uchun ekinlarni (bodring, pomidor) hosil berish davri 160 sutkani tashkil qiladi. Issiqxonalardagi mikroiqlim parametrlarini ushlab turuvchi sistemalarni ish rejimlaridan kelib chiqib fevral-mart oylarida ichki havo parametrlarini ruxsat etilgan haroratni maksimal ko'rsatkichlarida ushlab turish vaqtini ($t_v \leq 28 {}^\circ\text{C}$) n'yil sut. 3.30-rasmdan aniqlanadi.

3.6-jadval

Foydalanishni yillik siklida rejimlarning ta'minlanganlik darajasi

Kompleks tizimning ish rejimlari	I	II	III	V	VI
Nyillik, sut.	120	120	120	120	120
N yillik, sut.	0	0	6	60	120
Kum, ulushida	0	0	0,05	0,25	1,0

Ekinlarni hosil berish davri uchun yillik siklda rejimlarning ta'minlanganlik koeffitsientini analitik aniqlash natijalari 3.6-jadvalda keltirilgan.

XULOSA

“Qishloq xo’jaligi mahsulotlarini quritish va saqlash nazariyasi” monografiyasida mualliflar tomonidan turli-tuman issiqlik va namlik ko‘chish jarayonlarini ichidan murakkabligi va kam o‘rganganligi bilan alohida biologik faol sistemalarga to‘xtalib, ulardagi qo‘shma nostatsionar issiqlik-massa ko‘chish jarayonlaridagi mavjud muammolarni yechimini ko‘rsatib berishdi. Mualliflar fikriga ko‘ra hisoblarning yakuniy va eng muhim natijalari issiqlik almashinish apparatlarini takomillashtirish, jumladan issiqxonalardagi mikroiqlim parametrlarini ta’minlash sistemalarining energiyaga bo‘lgan talabini kamaytirish bo‘yicha amaliy miqdoriy natijalar olishga imkon beradi. Issiqlik-massa ko‘chish jarayonlari borasidagi tadqiqotlar ob’ekti qanchalik murakkab va keng qamrovli bo‘lsa, odatda faqatgina intuitsiya va “tajriba va mantiqiy fikrlashga” asoslangan, mos kelmaydigan variantlarni avvaldan aniqlashga va qo‘llamaslikga, shuningdek optimal variantlarni tavsiya qilishga qaratilgan ilmiy usullar shunchalik muhim hisoblanadi. Hozirgi vaqtda texnika va texnologiyalar shunchalik tez o‘zgaradiki, “tajriba” hatto ommalashishga ulgurmaydi, natijada “oddiy fikrlashga” asoslangan usullar muammo yechimini ilmiy jihatdan ishlab chiqilgan usullariga nisbatan samarasiz hisoblanadi.

Quritish va saqlash jarayonlaridagi issiqlik-massa ko‘chish jarayonlarini boshqarish va texnikasini rivojlantirishni samarali yo‘llarini ilmiy asoslash faqatgina quritilayotgan mahsulot va saqlanayotgan barra o‘simlik xom ashvosini asosiy biologik va issiqlik-fizik hossalarini kompleks holda hisobga olmay, mikroiqlimni differensial parametrlarini ta’minlash va yaratish qonunlarini yaxshi bilmay turib amalga oshirib bo‘lmaydi. Bu esa binolarni issiqlik-fizik hossalarini va hajmiy-rejaviy yechim yo‘llarini maqbullashtirish yo‘llarini, binolar hajmida issiqlik-massa ko‘chishni nostansionar jarayonlarini dinamikasini, qabul qilingan issiqlik-fizik modelda issiqlik-massa ko‘chishni harakatlantiruvchi kuchini aniqlashni chuqur tadqiq qilish zaruriyatini keltirib chiqaradi. Adabiyotlarda mavjud bo‘lgan biologik faol sistemalardagi issiqlik – massa almashinish jarayonlarini hisoblash bo‘yicha tavsiyalar

eskirgan bo‘lib, aniq sharoitlar, iqtisodiy, texnologik, texnik, tashkiliy va ekologik jihatlarini hisobga olmaydi.

Biologik faol sistemalarda, ya’ni dag‘al hashak tayyorlashda hashak misolida uni quritish va barra o‘simlik xom ashynosini saqlashdagi issiqlik va namlik ko‘chishni muvozanat jarayonlarini tahlili keltirilgan. Termodinamik sistema, entropiya, muvozanatni umumiyligi qonuniyatlari, muvozanatsiz jarayonlarni termodinamik harakatlantiruvchi kuchi va boshqa tushunchalar keng yoritilgan. Biologik xom ashynoni namlik bilan bog‘lanish energiyasi va shakli ko‘rsatilgan, termodinamik muvozanat sharoitida sorbsiya va desorbsiya izotermalarini qo‘llanilish zarurligi, sistemani erkin energiyasining qiymatlari keltirilgan. Quritish va saqlash jarayonlaridagi biologik faol muhitlarni fizik-mexanik, aerodinamik va issiqlik-fizik xarakteristikalarini, jumladan, mahsulotni issiqlik-fizik xossalari va havoli muhit parametrlari batafsil yoritilgan.

Biologik faol sistemalarda issiqlik va namlik ko‘chishidagi issiqlik – fizik hodisalarni o‘rganish muaaliflar tomonidan ishlab chiqilgan o‘z ichiga qatlamdagagi tabiiy va majburiy konveksiya sikllarining davriyligi, ishchi muhitning (havoning) iqlimiyligi parametrlarini, issiqlik va namlik ko‘chish jarayonlari o‘xshash hududlarini o‘z ichiga oluvchi quritish va saqlash jarayonlarini issiqlik-fizik modeliga asoslangan. Barra o‘simlik xom ashynosi uyumlarini saqlashda va quritilayotgan hashak qatlamidagi issiqlik - massa ko‘chishdagi masalalarini aniq yechimlari keltirilgan. Saqlash omborlari va hashak quritish qurilmalarida mikroiqlim parametrlarini ta’minlash sistemalarini unumdorligini va ish rejimini hisoblashni muhandislik usullari ishlab chiqildi.

SHartli belgilar:

- a-harorat o‘tkazuvchanlik koeffitsienti, m^2/s ;
- b-uyum balandligi bo‘ylab harorat gradientasi, s/m ;
- c-solishtirma issiqlik sig‘imi, $kDj/(kg \ ^0C)$, $Bm\cdot soat/(kg \ ^0C)$;
- d-havodagi namlik miqdori, g/kg qur.modda;
- diametr, m , sm ;
- g_v – ajralayotgan karbonat angidridning solishtirma miqdori, $g CO_2/(m\cdot soat)$
- h -balandlik, m ;
- j, w – havo bilan assimilyasiyalangan namlik massasi, $g/soat$, $kg/soat$
- l -uzunlik, xos o‘lchov, m ;
- p -bosim, N/m^2 ; πa ; $mm\cdot simob$ ustuni;
- q_1 -mahsulot nafas olishining solishtirma issiqligi, Bm/m , Bm/m^3 ;
- r-radius, mm , m ; fazaviy o‘tishning solishtima issiqligi, kDj/kg ;
- t,T- harorat, 0C , K ;
- u_f -namlik miqdori, kg/kg ; uyumdagi havo harakatchanligi, m/s ;
- u_f – havoning filtratsion tezligi, m/s ;
- v-havoning harakatchanligi (tezligi), m/s ;
- w-mahsulot namligi, ulushda%;
- D-difuzuysi koeffitsienti, m^2/s
- F-maydon, m^2 ;
- G-umumiyy massa, m ;
- I-entalpiya, kDj/kg ;
- K_B -ventilyatsiyadan foydalanish koeffitsienti, ulushda;
- L-havo sarfi, $m^3/soat$, havoning solishtirma sarfi, $m^3/(m^2\cdot soat)$;
- Q-issiqlik oqimi, Vm ;
- R-universal gaz doimiysi $R=8314 \ Dj/(kmol\cdot K)$;
- S-sistema entropiyasi; Dj/K ;
- U-kuchlanish, V ;
- V-issiqlik berish koeffitsienti, $Vm/(m^2\cdot soat)$;

α_d , α_o –massa almashinish koeffitsienti, $g/(m^2 \cdot soat \cdot \pi a)$, $g/(m^2 \cdot soat \cdot V)$;

$\beta = 1/273$, $1/\text{grad}$. – havoning hajmiy kengayish koeffitsienti;

ϵ_t -havo holatini o‘zgarish jarayonining issiqlik – namlik xarakturistikasi, kDj/kg ;

E_i -mahulotni “nam” qismi maydonining ulushi;

θ – namlik potensiali; V ;

λ -issiqlik o‘tkazuvchanlik koeffitsienti, $Vm/(m^0 C)$;

μ -kimyoviy potensial, $Dj/kmol$, bug‘ singdiruvchanlik koeffitsienti, $g/(m.s. \pi a)$;

v -kinematik qovushoqlik koeffitsienti, m^2/s ;

ρ -zichlik, kg/m^3 ;

τ - vaqt, soat, soniya;

φ -havoning nisbiy namligi, ulushlar, %;

Indekslar:

b-barometrik;

v-ichki, havo;

vk-majburiy konveksiya;

vo-havoning boshlang‘ich holati;

g-gigroskopik;

yak-tabiyy konqeksiya;

z-muzlash;

i-nurlanish;

k-koeveksiya, uyum (mahsulot) karkasi, konditsion holat;

k o – mahsulotning boshlang‘ich holati;

ks- korreksiyalovchi qatlam;

l – nurlanish;

M.t – xo‘l termometr;

n- tashqi; uyum holidagi;

os- asosiy qatlam;

p- to‘liq issiqlik;

pov – yuza;

R- muvozanat bosim;

r.z.- ishchi hudud;

s-sorbsion holat, hashak;

sk-yashirin issiqlik;

t-issiqlik o‘tkazuvchanlik;

tr-maysa;

e-elektroosmos;

g-aniq issiqlik;

d-diffuzion;

t – harorat;

θ – namlik potensiali.

Kriterial bog'likliklar

Grasgof (issiqlik almashinish) bog'liqligi: ko'taruvchi kuch va qovushqoq ishqalanish kuchlari orasidagi nisbatni ko'rsatadi.

$$Gr_t = \beta g l_t^3 \Delta t / v^2;$$

Prandtl (issiqlik almashinish) bog'liqligi: haroratlar va tezliklar maydonini o'xshashlik me'yorini bildiradi.

$$Pr_t = v / a;$$

Prandtl (diffuzion) bog'liqlik

$$Pr_d = v / D;$$

Reley bog'liqligi

$$Ra = Gr_t Pr_t;$$

Nusselt (issiqlik almashinish) bog'liqligi: suyuqlikdan jism yuzasiga issiqliknii konvektiv o'tkazdirish va qalinligi lo ($d_{o,rt}$) bo'lgan suyuqlikning issiqlik o'tkazuvchanligi yordamida issiqlik o'tkazdirishni o'zaro nisbatini ifodalaydi.

$$Nu_t = a_t d_{cp} / \lambda;$$

Nusselt (diffuzion) bog'liqlik:

$$Nu_d = a_d d_{cp} / D;$$

Reynolds bog'liqligi:

inersion kuch va ichki ishqalanish kuchi orasidagi nisbatni ifodalaydi.

$$Re = w_o l_o / v;$$

Guxman bog'liqligi T_s va $T_{x,t}$ – quruq va ho'l termometrlar bo'yicha, o'rtacha harorat, K:

$$Gu = (T_c - T_{m,t}) / T_c;$$

Fure bog'liqligi: o'lchovsiz vaqtning fizikaviy mohiyatini ko'rsatadi:

$$Fo = a_k \tau / r^2;$$

Bio bog'liqligi: qattiq jismda harorat maydonini topish uchun foydalilanildi.

$$Bi = a_t r_{cp} / \lambda_k;$$

Foydalanilgan adabiyotlar ro'yhati

1. Nazirova R. M., Sulaymonov O. N., Usmonov N. B./*Qishloq xo'jalik mahsulotlarini saqlash omborlari va texnologiyalari//* 0'quv qo'llanma. Premier Publishing s.r.o. Vienna - 2020. 128 bet.
2. Nazirova R.M., Xamrakulova M.X., Usmonov N.B. "Moyli ekin urug'larini saqlash va qayta ishlash texnologiyasi" O'quv qo'llanma. Farg'ona – 2020. 240 bet.
3. Биохимическая термодинамика. – М.: Мир, 1982. – 440 с.
4. Oripov R., Sulaymonov I., Umurzoqov E. "Qishloq xo'jalik mahsulotlarini saqlash va qayta ishlash texnologiyasi". Darslik. Toshkent. "Mehnat". 1991 yil. 296 bet.
5. Abdukarimov D.T., Xushvaqtov C.X., Umurzaqov E.U. Tamakichilik. T.: "Mehnat". 1985 yil.
6. Imomaliyev A., Zikiryoyev A. "O'simliklar biokimyosi". T: O'qituvchi. 1978 yil.
7. Rasulov A. Sabzavot va poliz mahsulotlarini saqlash. T: "O'zbekiston", 1980.
8. Xlupov V, Kurtov I, Rizayev R. "Meva va uzumni saqlash va quritish". T: O'zbekiston, 1968 yil.
9. Дьяченко В.С. Хранение картофеля, овощей и плодов. М: Агропромиздат, 1988 г.
10. Личко Н.М. Основы стандартизации продукции растениеводства. М: Агропромиздат, 1987 г.
11. Назирова Р.М., Усмонов Н.Б., Тухташев Ф.Э., Сулаймонов Р.И// Влияние температуры хранения на сохранность и химический состав плодовоовощного сырья// "Проблемы современной науки и образования" научно-методический журнал. Издательство «Проблемы науки». Москва, 2019. № 11 (144). Часть 2 стр 10-12. URL: <https://cyberleninka.ru/article/n/vliyanie-temperatury-hraneniya-na-sohrannost-i-himicheskiy-sostav-plodoovoschnogo-syrya>
12. Назирова Р.М., Курбанова У.С., Усмонов Н.Б./ Особенности обработки озоном некоторых видов плодов и овощей для их долгосрочного хранения// Universum: химия и биология: научный журнал. – № 6(72). М., Изд. «МЦНО», 2020. стр 6-9. URL: – <https://cyberleninka.ru/article/n/osobennosti- obrabotki-ozonom-nekotoryh-vidov-plodov-i-ovoschey-dlya-ih-dolgosrochnogo- hraneniya>
13. Nazirova R.M., Maksudova G.U., Usmonov N.B./ Modern technologies for processing soy and the use of Processing by-products// Novateur publications JournalNX-A Multidisciplinary Peer Reviewed Journal ISSN No: 2581 – 4230, volume 7, issue 1, Jan. -2021. page 172-175.

<https://www.neliti.com/publications/336289/modern-technologies-for-processing-soy-and-the-use-of-processing-by-products>

14. Nazirova R.M., Akhmadjonova M.M., Usmonov N.B.// Analysis of the state of vine growing and wine making in the republic of uzbekistan// Novateur publications JournalNX- A Multidisciplinary Peer Reviewed Journal ISSN No: 2581 – 4230, volume 7, issue 1, Jan. -2021. page 168-171.
<https://www.neliti.com/publications/336288/analysis-of-the-state-of-vine-growing-and-wine-making-in-the-republic-of-uzbekis>

15. Nazirova Rahnamokhon Mukhtarovna, Akhmadjonova Marhabo Makhmudjonovna, & Usmonov Nodirjon Botiraliyevich. (2021). Analysis of factors determining the export potential of vine and wine growing in the republic of Uzbekistan. Euro-Asia Conferences, 1(1), 313–315.

<http://papers.euroasiaconference.com/index.php/eac/article/view/99>

16. Nazirova R.M., Usmonov N.B., Askarov H.H.// Technology of storing grain in a cooled state// Do desenvolvimento mundial como resultado de realizacoes em ciencia e investigacao científica: Colecao de trabalhos científicos «ΛΟΓΟΣ» com materiais da conferencia científico-pratica internacional. vol 1, page 93-95 URL: <https://ojs.ukrlogos.in.ua/index.php/logos/article/view/4923>

17. Nazirova R.M., Usmonov N.B., Bakhtiyorova D// Innovative technologies for grain storage of different crops// Academicia an international multidisciplionary research journal. 2020. vol 10.issue 6, june, pages 222-228. URL: <https://saarj.com/academicia-past-issue-2020/>

18. Назирова Р.М., Усмонов Н.Б., Зокиров А.//“Изучение влияния обработки на сохранность плодоовошного сырья ингибиторами образования этилена”//, научно-теоретический журнал “Вопросы науки и образования” №7 (53), Москва, 2019, стр 13-19. URL: <https://cyberleninka.ru/article/n/izuchenie-vliyaniya-obrabotki-na-sohrannost-plodoovoschnogo-syrya-ingibitorami-obrazovaniya-etilena/>

19. Назирова Р.М., Усмонов Н.Б., Сулаймонов Р.И.//Изменение химического состава клубней картофеля в процессе хранения// “Проблемы современной науки и образования” научно-методический журнал. Издательство «Проблемы науки». Москва, 2020. № 6 (151). стр 19-22. URL: <https://cyberleninka.ru/article/n/izmenenie-himicheskogo-sostava-klubney-kartofelya-v-protsesse-hraneniya>

20. Nazirova Rakhamohon Mukhtarovna, Mamajonov Gaybullo Gayratjon ugli, and Asqarov Hasanboy Kholdoraliyevich, “Technology of long-term storage of some types of fruits and vegetables using sorbents”, IEJRD - International

21. Триснятский Л.А., Лесик Б.В., Курдина В.И. Хранение и технология сельскохозяйственных продуктов. М: Колос, 1987 г.
22. Богословский В.Н., Кокорин О.Я., Петров Л.В. Кондиционирование воздуха и холодоснабжение. – М.: Стройиздат, 1985. – 367 с.
23. Бодров В.И. Хранение картофеля и овощей: Инженерные методы создания и поддержания технологического микроклимата.– Горький: Волго-Вят. кн. изд-во, 1985. – 220 с.
24. Бодров В.И., Бодров М.В., Ионычев Е.Г., Кучеренко М.Н. Микроклимат производственных сельскохозяйственных зданий и сооружений. – Н. Новгород: Издательство ННГАСУ, 2008. – 623 с.
25. Бодров В.И., Бодров М.В., Кучеренко М.Н., Юдинцев А.А. Системы активной вентиляции для сушки биологически активного сырья. – Н. Новгород: ННГАСУ, 2010. – 148 с.
26. Валушис В.Ю. Основы высокотемпературной сушки кормов. – М.: Колос, 1977. – 304 с.
27. Волкинд И.Л. Комплексы для хранения картофеля, овощей и фруктов. – М.: Колос, 1981. – 223 с.
28. Волков М.А. Тепло- и массообменные процессы при хранении пищевых продуктов. – М.: Легкая и пищевая промышленность, 1982. 272 с.
29. Гинзбург А.С. Основы теории и техники сушки пищевых продуктов. – М.: Пищевая промышленность, 1973. – 528 с.
30. Гинзбург А.С. и др. Теплофизические характеристики пищевых продуктов и материалов. – М.: Пищевая промышленность, 1975. – 223 с.
31. Главачка В. Определение коэффициента теплообмена в слое шариков квазистационарным циклическим методом // ИФЖ, 1975, т. XXVIII, №4. – С. 604...608.
32. Егиазаров А.Г. Отопление и вентиляция зданий и сооружений сельскохозяйственных комплексов. – М.: Стройиздат, 1981. – 239 с.
33. Жадан В.З. Влагообмен в плодовоовоще хранилищах. – М.: Агропромиздат, 1985. – 197 с.
34. Жадан В.З. Теплофизические основы хранения сочного растительного сырья на пищевых предприятиях. – М.: Пищевая промышленность, 1976. – 238 с.
35. Кришер О. Научные основы техники сушки. – М.: И.Л., 1961. – 539 с.
36. Лыков А.В. Теория сушки. М.: Энергия, 1986. – 471 с.

37. Лыков А.В., Михайлов Ю.А. Теория тепло- и массопереноса. – М.-Л.: Госэнергоиздат, 1963. – 535 с.
38. Любарский В.М. и др. Активное вентилирование сельскохозяйственных продуктов. – М.: Колос, 1972. – 152 с.
39. Мальтири В., Петке Э., Шнайдер Б. Сушильные установки сельскохозяйственного назначения. – М.: Машиностроение, 1979. – 526 с.
40. Метлицкий Л.В. Биохимия плодов и овощей. – М.: Экономика, 1970. – 272 с.
41. Николаев Л.А. Основы физической химии биологических процессов. – М.: Высшая школа, 1971. – 238 с.
42. Уотсон С.Дж, Нэш М.Дж. Приготовление и использование сена и силоса. – М.: Колос, 1964. – 664 с.
43. Фальковский И.М. Сушка и увлажнение лубоволокнистых материалов. – М.:Гизлегпром, 1954. – 403 с.
44. Физиология сельскохозяйственных растений. Том III. Физиология водообмена растений. Устойчивость организмов. – М.: Изд-во Московского университета, 1970, – 654 с.
45. Харитонов В.П. Адсорбция в кондиционировании на холодильниках для плодов и овощей (теория применения). – М.: Пищевая промышленность, 1978. – 192 с.
46. Холмквист А.А. Хранение картофеля и овощей. – Л.: Колос, 1972. – 280 с.
47. Чижов Г.Б. Теплофизические процессы в холодильной технологии пищевых продуктов. – М.: Пищевая промышленность, 1979. – 271 с.
48. Чуклин С.Г., Чумак И.Г., Файнзимберг В.Ф. Современные холодильники для хранения фруктов. – Кишинев: Картя Молдаваняске, 1970. – 171 с.
49. Эккерт Э.Р., Дрейк Р.М. Теория тепло- и массообмена. – М.-Л.: Госэнергоиздат, 1961. – 680 с.
50. Hunter J.H. A simulation model for potato storage ventilation // ASAE Technical paper №78-4061. – 29 p.

MUNDARIJA

KIRISH.....	3
1-BOB. BIOLOGIK FAOL SISTEMALARIDA ISSIQLIK-NAMLIK KO‘CHISHINI MUVOZANAT JARAYONLARI.....	5
Ho‘l xashak va qishloq xo‘jaligi mahsulotlari uyumlarini termodinamik sistema sifatida tavsifi.....	5
Biologik faol muhitlarni saqlash va quritish jarayonlaridagi fizik-mexanik va issiqlik-fizik jarayon tavsiflari.....	17
2-BOB. BIOLOGIK FAOL SISTEMALARDA ISSIQLIK VA NAMLIK KO‘CHISHINING ISSIQLIK-FIZIK HODISALARI.....	24
Issiqlik-massa ko‘chishining ayrim masalalarining fizik-matematik ta’rifi va ularning yechimlari.....	24
Issiqlik – massa almashinish masalalarining ayrim yechimlari.....	34
Biologik faol sistemalarda havo holatini belgilovchi jarayonlarni grafik ifodasi.....	50
Biologik faol sistemalarda namlik almashinish intensivligini hisoblashda namlik potensialini termodinamik asoslash.....	57
Namlik potensiali asosida barra o‘simlik xom ashyosining namlik yo‘qotilishlarini hisoblash metodikasi.....	61
Quritilayotgan hashak qatlami uyumida namlik potensiali asosida namlik almashinish intensivligini hisoblash metodikasi.....	68
Tashqi to‘silalar orqali namlik ko‘chishini intensivligini hisoblashni o‘ziga xos xususiyatlari.....	77
3-BOB. BIOLOGIK FAOL SISTEMALARDA ISSIQLIK-MASSA ALMASHINISH BO‘YICHA OLIB BORILGAN NAZARIY-EKSPERIMENTAL TADQIQOTLARNING AMALIY NATIJALARI.....	84
Sabzavot va kartoshka saqlash omborlarida mikroiqlimni ta’minalash sistemalarining ish rejimi va unumdarligini hisoblashni issiqlik-fizik asoslari.....	84
Hashak quritish intensivligini hisoblashni grafo-analitik usulining nazariy-eksperimental asoslari.....	100
Issiqxonalarda mikroiqlim parametrlarini shakllantirishni termodinamik asoslari.....	109
Xulosa.....	127
Shartli belgilar.....	129
Indekslar.....	131
Kriterial bog‘likliklar.....	132
Foydalanilgan adabiyotlar ro‘yhati.....	133